

# গ্যাসের আণবিক তত্ত্ব

# গ্যাসের আণবিক তত্ত্ব

( KINETIC THEORY OF GASES )

শীঘ্রতা পরুমার চৌধুরী

এম. এসসি. (কলিকাতা) ;  
পি-এইচ. ডি. (লন্ডন), ডি. আই. সি

WEST BENGAL LIBRARY BOARD  
Acc. No. 6611 .....  
Dated 14.5.99 .....  
Call No. 533.7/1 .....  
Price /Page Rs. 12/-

পশ্চিমবঙ্গ রাজ্য পুস্তক পর্যবেক্ষণ

**GYASER ANABIK TATTA**  
**SRI PRATIP KUMAR CHAUDHURI**

© West Bengal State Book Board

© পশ্চিমবঙ্গ রাজ্য পুস্তক পর্যবেক্ষণ

প্রথম প্রকাশ : মার্চ ১৯৭১

প্রকাশক :

পশ্চিমবঙ্গ রাজ্য পুস্তক পর্যবেক্ষণ ;  
৬এ রাজা সুবোধ মালিক হোয়ার  
কলিকাতা-৭০০ ০১৩।

মূল্য : বার টাকা।

মুদ্রক :

সুরেণ দত্ত।  
মডার্ন প্রিণ্টার্স ;  
১২ উন্টাড়াঙ্গা মেন রোড ;  
কলিকাতা-৭০০ ০৬৭।

প্রচন্দ : শ্রীকামল শেষ।

চিত্রাঙ্কন : শিথা দত্ত।

Published by PROF. PRADYUMNA MITRA, Chief Executive Officer, West Bengal State Book Board under the Centrally Sponsored Scheme of production of books and literature in regional language at the University level, launched by the Government of India, the Ministry of Education and Social Welfare (Department of Culture), New Delhi.

## উৎসর্গ

অগ্রজপ্রাপ্তিম

৭সলিলকুমার নাগের

শ্বাসিতে এই পুস্তক উৎসর্গিত হ'ল

## তুমিকা

পদার্থবিদ্যার শিক্ষাক্রমের মধ্যে গ্যাসের আণবিক তত্ত্বের একটি বিশেষ স্থান আছে। বহুপুঁজের সামগ্রিক ধর্মের পর্যাবেক্ষণ থেকে পদার্থবিদ্যা উন্নীর হয় বস্তুর আণবিক ও পারমাণবিক গঠনের ভিত্তিতে তার আচরণের বিশ্লেষণে। এই উন্নরণের পথে গ্যাসের আণবিক তত্ত্বই প্রথম প্রয়াস। এবং এই প্রয়াসের সাফল্য বিগতবৃত্তের বৈজ্ঞানিককে যে প্রেরণা যুগয়েছে 'উন্নরকালে পদার্থবিদ্যার জয়বাতায় তার মূল্য অল্প নয়।

পদার্থবিদ্যার আরও অনেক শাখার মত আণবিক তত্ত্বের সীমানা ও সুর্বার্দ্ধক করা সম্ভব নয়। এমন অনেক বিষয়ের আলোচনা এই পুনর্কের মধ্যে পাওয়া যাবে না, যেগুলি যে কোনও গ্রহকারই গ্যাসের আণবিক তত্ত্বের অন্তর্ভুক্ত করতে শুরু হবেন। পুনর্কের প্রশ্নাবিত আয়তন এবং সাম্মানিক স্নাতক শ্রেণীর ছাত্রদের উপযোগিতা—মোটামুটি এই দুই দিকে দৃষ্টি রেখেই পুনর্কের বিষয়সূচী নির্ধারিত হয়েছে।

আণবিক তত্ত্বের প্রার্থমিক পরিচয়ের পর এই পুনর্কে আলোচিত হ'য়েছে আদর্শায়িত গ্যাসের আচরণ—অবাধপথ, গতিবেগের বন্টন ও এগুলি থেকে উন্নত গ্যাসের বিজ্ঞ ধর্মাবলী। অতি অল্প চাপে গ্যাসের ধর্মের উল্লেখযোগ্য পরিবর্তন হয়। এরূপ অবস্থায় গ্যাসের আচরণ স্বতন্ত্র অধ্যায়ে বিশ্লেষিত হ'য়েছে। আদর্শায়িত গ্যাসের পর এই পুনর্কের উপজীব্য বিষয় বাস্তব গ্যাসের আচরণ। ব্রাউনীয় গতির প্রকৃত তাৎপর্য ব্যাপকভাবে হ'লেও এখানে বিষয়টির কিছুটা বিস্তৃত আলোচনা করা হ'য়েছে। গ্যাসের আণবিক তত্ত্বের বিকাশে ব্রাউনীয় গতির গুরুত্বই এর কারণ। আলোচিত তত্ত্বের কয়েকটি প্রয়োগ এবং পরিশেষে গ্যাস-অগুর পরিসংখ্যান সহকারে কিছু প্রার্থমিক আলোচনাও এই পুনর্কে সম্মিলিত হ'য়েছে।

বালোভাষায় বৈজ্ঞানিক পরিভাষার অভাব এই পুনর্কের রচনাকালেও অনুভূত হ'য়েছে। যে সকল পারিভাষিক শব্দ এই পুনর্কে নৃতন ব্যবহৃত হয়েছে সেগুলি উপযুক্ত এবং যথার্থ বৈজ্ঞানিক ভাবদ্যোত্তর হয়েছে কিনা, সে বিচারের ভাব পাঠকবর্গের উপর ন্যস্ত হ'ল।

গ্রহকার বিশেষভাবে খণ্ণী প্রেসিডেন্সী কলেজ পদাধীবিদ্যা বিভাগের  
সহকর্মীদের কাছে ষাঁদের অনেকেই গ্রহকারের শিক্ষক বা শিক্ষকতৃপক্ষ। তাঁদের  
সঙ্গে বিভিন্ন সময়ে বিভিন্ন বিষয়ে আলোচনা এই পুস্তক রচনায় অনেক সাহায্য  
ক'রেছে। সর্বোপরি গ্রহকার বিশেষভাবে কৃতজ্ঞ পশ্চিমবঙ্গ রাজ্য পুস্তক পর্যদের  
কাছে—ষাঁদের তত্ত্বাবধান ব্যতীত এই পুস্তক রচিত বা প্রকাশিত হ'ত না।  
পর্যদের মুখ্য প্রশাসন আধিকারিক অধ্যাপক প্রদূষ্য মিত্র ও মডার্ন প্রিস্টার্সের  
শ্রীসুরেশ দত্ত মহাশয়ের আন্তরিক প্রচেষ্টা ব্যতীত এই পুস্তকের প্রকাশনায় অনেক  
বিলম্ব ঘটত। এ'রা দুজনেই গ্রহকারের ধন্যবাদার্থ।

**প্রতিপক্ষমার চৌধুরী**

## সূচীপত্র

পৃষ্ঠাসংখ্যা

১—৯

### প্রথম অধ্যায়—আণবিক তত্ত্বের ইতিহাস

১ আণবিক তত্ত্বের পরিচয় ২ পদাৰ্থের আণবিক চিত্র।

১০—২০

### বিতীয় অধ্যায়—আদর্শ গ্যাসের আচরণ

১ গ্যাসের আণবিক তত্ত্বের প্রাথমিক অঙ্গীকার ২ আদর্শ গ্যাসের ক্ষেত্রে বিশেষ অঙ্গীকার ৩ আধাৰ প্রাচীরে আদর্শ গ্যাস অণুৱ সংঘাত-সংখ্যা ৪ আদর্শ গ্যাসের চাপ ৫ আদর্শ গ্যাসের ধৰ্ম।

২১—৩৬

### অধ্যায়—অণুৱ আয়তন ও অবাধপথ

১ অণুৱ আয়তন ২ গড় অবাধপথের তাৎক্ষণ মান নিৰ্ণয় ৩ চাপ ও উক্তার সংগে গড় অবাধপথের সম্পর্ক ৪ অবাধ-পথের দৈর্ঘ্যের বণ্টন ৫ ব্যবহারিক উপায়ে গড় অবাধপথের মান নিৰ্ণয় ৬ ইলেকট্রনের গড় অবাধপথ ৭ অবাধপথের বণ্টননীতি অনুবায়ী সংঘাত-সংখ্যা ও চাপের পূর্ণনিৰূপণ।

৩৭—৭৪

### চতুর্থ অধ্যায়—গ্যাস-অণুৱ বেগবণ্টন

১ স্থির অবস্থার গ্যাস-অণুৱ বেগবণ্টনের বৈশিষ্ট্য ২ ম্যাজ্ঞাওয়েলের সম্ভাব্যতা প্রণালী ৩ বোল্টস্মানের সংবর্ধ প্রণালী ৪ ৫ ও ৫ খুবকম্ভয়ের মান ও গতিবেগের গড় ৬ অণুৱ গতীয় শক্তির বণ্টন ৬ ব্যবহারিক উপায়ে ম্যাজ্ঞাওয়েলীয় বেগবণ্টন সূত্রের প্রার্থিপাদন ৭ আতঙ্গসংখ্যা, ম্যাজ্ঞাওয়েল সূত্রে বোল্টস্মানের সংশোভন ও গতীয় শক্তির সংবিভাজন নীতি ৮ গ্যাসের আপোক্ষিক তাপ ৯ ম্যাজ্ঞাওয়েলীয় বেগবণ্টনসূত্র অনুবায়ী গড় অবাধপথের তাৎক্ষণ মান নিরূপণ।

## পঞ্চম অধ্যায়—পরিবহণ প্রক্রিয়া

৭৫—১১

১ গ্যাসের সামগ্রীন অবস্থা ২ গ্যাসের স্থিতা ৩ চাপ  
ও উক্তার উপর গ্যাসের স্থিতাকের নির্ভরশীলতা ৪  
গ্যাসের তাপপরিবাহিতা ৫ চাপ ও উক্তার সংগে তাপ-  
পরিবাহিতার সম্পর্ক ৬ গ্যাসের ব্যাপন ৭ ব্যাপনসংক্রান্ত  
পরীক্ষালক্ষ ফল এবং চাপ ও উক্তার উপর ব্যাপনাকের  
নির্ভরশীলতা ।

## ষষ্ঠ অধ্যায়—তন্ত্রজুড় গ্যাসের আচরণ বৈশিষ্ট্য

১২—১০৫

১ অতি অল্প চাপে বিভিন্ন প্রক্রিয়ার প্রকৃতিস্থান্ত্র  
২ কৈশিকের মধ্যে গ্যাসের প্রবাহ ৩ নুডসেনের তন্ত্র  
৪ নিঃসরণ ৫ তাপজ নির্গমন ৬ অল্পচাপে তাপের  
পরিবহণ ৭ নুডসেনের নিরপেক্ষ প্রেৰণান ।

## সপ্তম অধ্যায়—বাস্তব গ্যাস

১০৬—১২৯

১ বাস্তব গ্যাসের আচরণ ২ অ্যানড্রজ ও আমাগাটের  
পরীক্ষা ৩ ভ্যানডারওয়াল্সের অবস্থা সমীকরণ ৪  
ভ্যানডার ওয়াল্স সমীকরণের আলোচনা ৫ পরীক্ষাদ্বারা  
'a' ও 'b' ধূবকবরয়ের মান নির্ণয় ৬ ভ্যানডার ওয়াল্স  
সমীকরণ অনুযায়ী সংক্ষ-ধূবক সমূহের মান ৭ ক্রিসিয়াসের  
ভিরিয়াল উপপাদ্য ৮ ভিরিয়াল উপপাদ্যের প্রয়োগ  
৯ সংক্ষ-ধূবকের সাহায্যে অবস্থা সমীকরণের সংক্ষেপণ  
১০ অন্যান্য অবস্থা সমীকরণ ।

## অষ্টম অধ্যায়—আউনীয় গতি

১৩০—১৪২

১ আউনীয় গতির প্রকৃতি ২ পেরীর পরীক্ষার তত্ত্বগত  
ভিত্তি ৩ পেরীর পরীক্ষার বর্ণনা ৪ রৈখিক আউনীয়  
গতি ৫ গ্যাসের মধ্যে রৈখিক আউনীয় গতির পর্যবেক্ষণ  
৬ কৌণিক আউনীয় গতি ।

## অৰম অধ্যায়—আণবিক ভঙ্গের প্রয়োগ

১৪৩—১৫৮

১ সূচনা ২ পদার্থের মেরুপ্রবণতা ৩ গ্যাসীয় আয়নের  
সচলতা ও ব্যাপনাক ৪ আয়নের পুনর্গঠন ।

( iii )

ଦ୍ୱାର୍ଥ ଅଧ୍ୟାତ୍ମ—ପଦାର୍ଥର ଆଗବିକ ପରିସଂଖ୍ୟାନ

୧୯୯—୧୯୬

୧ ଆଗବିକ ପରିସଂଖ୍ୟାନେର ପ୍ରଯୋଜନୀୟତା ୨ ବୋଲ୍ଟୁସ୍ମାନ  
ଓପପାଦ୍ୟ—ଅବିନାଶତା ଓ ସଭାବ୍ୟାତାର ସମ୍ପର୍କ ୩ ପ୍ରାକ୍-  
କଣକାବାଦୀ ଓ କଣକାବାଦୀ ବନ୍ଦନ୍ସୂତ୍ର ୪ କୋଷସଂଖ୍ୟା  $c_s$   
ଏବଂ  $\alpha$  ଓ  $\beta$  ହୃଦକଷ୍ଟରେର ଘାନ ୫ ବିଭିନ୍ନ ଗ୍ୟାସେର ପରି-  
ସଂଖ୍ୟାନଗତ ପ୍ରକୃତି ।

ପରିଭାଷା

୧୯୭—୧୯୮

ଏହୁଚୂଟି

୧୯୯

## ଆଗବିକ ତଥ୍ବର ପରିଚୟ

### ୧୧ ଆଗବିକ ତଥ୍ବର ପରିଚୟ

ପଦାର୍ଥ ସେ ଅসଂଖ୍ୟା କୁଦ୍ରାତକୁଦ୍ର କଣିକାର ସମକ୍ଷି, ଏହି ସତ୍ୟ ବହୁ ଶତାବ୍ଦୀ ଦାର୍ଶନିକଦେର ତତ୍ତ୍ଵଗତ ଧାରଗାର ମଧ୍ୟେ ନିବନ୍ଧ ଛିଲ । ପ୍ରାଚୀନ ଭାରତେର ବୈଶେଷିକ ଦର୍ଶନରେ ପ୍ରତିଠାତା ମହିର୍ବ କଣାଦ, ଗ୍ରୀକ ଦାର୍ଶନିକ ଲ୍ୟୁକ୍ପିପାସ (Leucippus) ଓ ତୀର ଶିଷ୍ୟ ଡେମୋକ୍ରିଟୁସ (Democritus) ଖୃଷ୍ଟପୂର୍ବ ପଞ୍ଚମ ଓ ଚତୁର୍ଥ ଶତାବ୍ଦୀତେ କୋନ୍ଦରକମ ବ୍ୟବହାରିକ ପରୀକ୍ଷାର ଭିତ୍ତି ଛାଡ଼ାଇ କମ୍ପନା କରତେ ପେରେଛିଲେନ ସେ ସଙ୍ଗରଣ୍ଣାଲ ଅସଂଖ୍ୟା କଣିକାର ସଂଖ୍ୟାଗେହ ବିଶ୍ୱଭାବୋର ସୃଜି । ଡେମୋକ୍ରିଟୁସ ପ୍ରଚାର କରିଲେ “କଣିକା ଓ ଶୂନ୍ୟାନ ବ୍ୟାତିତ ଆର କିଛି ଅନ୍ତର ନାହିଁ ; ବାକୀ ସବ କିଛି ଶତାମତ ମାତ୍ର ।” ତବେ ଡେମୋକ୍ରିଟୁସ ପ୍ରମୁଖ ଗ୍ରୀକ ଦାର୍ଶନିକରା ଏହି କଣିକାର ଉପର କୋନ ଗୁଣି ଆରୋପ କରେନ ନି । ତୀରା ସ୍ଵିକାର କରିଲେନ ଶୁଦ୍ଧ ପରିମାଣଗତ ପାର୍ଥକା । ଏଦେର ରଚନାର ଅନୁପ୍ରାଣିତ ହେଲେବେଳେ ପରବର୍ତ୍ତୀ ଯୁଗେର ରୋମ୍ୟାନ କବି ଲୁକ୍ରେଶ୍ୟାସ (Lucretius) । ଖୃଷ୍ଟପୂର୍ବ ପ୍ରଥମ ଶତାବ୍ଦୀର ଏହି କବିର ରଚିତ “De Natura Rerum” ( ପଦାର୍ଥର ପ୍ରକୃତି ପ୍ରସଙ୍ଗେ ) କାବ୍ୟେ ପଦାର୍ଥର ଆଗବିକ ପ୍ରକୃତି ଏବଂ ତାର ଉପର ଭିତ୍ତି କ'ରେ ପ୍ରାକୃତିକ ସ୍ଟାନାବଳୀର ବାଖ୍ୟା ଉପର୍ଦ୍ଧାପିତ ହ'ରେହେ ।

ବୈଶେଷିକ ଦର୍ଶନ ବିଭିନ୍ନ ପ୍ରକାର ଅଗ୍ନର ଗୁଗଗତ ପାର୍ଥକାଓ ଅନୁଯିତ ହ'ରେହେ, ସଦିଓ ପଦାର୍ଥର ଯୌଲିକ ଉପାଦାନକେ ବୈଶେଷିକରା ଚିନତେ ପାରେନ ବି । ତାମେର ଧାରଗା ଛିଲ ପଦାର୍ଥର ମୂଳ ଉପାଦାନ କ୍ଷିତି ବା ମାଟି, ଜଳ, ତେଜ ଓ ବୟୁ ।

ଆଶ୍ରୟର ବିଷୟ ଏହି ସେ ଏରପର ବହୁ ଶତାବ୍ଦୀ ବିଷୟର ଚିନ୍ତାଶୀଳ ସମାଜ ଏହି ବିଷୟର ପ୍ରତି ଏକାଓ ମନୋନିବେଶ କରେନ ନି । ଅରିସ୍ଟୋଟିଲେର (Aristotle, ଖୃଷ୍ଟପୂର୍ବ ଚତୁର୍ଥ ଶତାବ୍ଦୀ ) ମତ ଲଙ୍ଘପ୍ରାତିଷ୍ଠାତାକାରୀ ଏହି କଣିକାତତ୍ତ୍ଵର ବିଭାଗିତା କରେ ଗେଲେ, ପଦାର୍ଥକେ ଅବିଚ୍ଛନ୍ନ କୋନ ଉପାଦାନେ ଗଠିତ ବ'ଲେ କମ୍ପନା କ'ରେହେଲ । ୧୬୫୦ ଥେବେ ୧୭୦୦ ଖୃଷ୍ଟାବ୍ଦୀର ମଧ୍ୟେ କଣିକାତତ୍ତ୍ଵର ଭାଗ୍ୟ କିଛିଟା ସୁପ୍ରସମ ହେଲ । ରୋବାର୍ଟ ବ୍ୟୋଲ (Robert Boyle), ରୋବାର୍ଟ ହୁକ୍ (Robert Hooke) ଓ ଆଇଜ୍ୟାକ ନିਊଟନ (Isaac Newton)—ଏହି ତିନଙ୍କର ଇଂରାଜ ପଦାର୍ଥବିଦ୍ ବ୍ୟୋଲ ସୂତ୍ରର ବାଖ୍ୟା ତୈରୀ କରେନ ଗ୍ୟାସେର ଆଗବିକ ପ୍ରକୃତି କମ୍ପନା କ'ରେ । ୧୭୩୮ ଖୃଷ୍ଟାବ୍ଦୀ ପ୍ରକାଶିତ

হয় সুইস গাণিতিবিদ বার্নুলির (Daniel Bernoulli) "Hydrodynamics" (প্রবাহীগাণিতিবিদ্যা)। গ্যাসের আণবিক তত্ত্বের গাণিতিক ভিত্তি এই রচনাতেই প্রথম প্রতীষ্ঠিত হয়।

কিন্তু এতদুর পর্যন্ত আণবিক তত্ত্ব অগ্রসর হ'য়েছে কোন ব্যবহারিক পরীক্ষার অপেক্ষা না করেই। প্রায় ১৮০০ খ্রিস্টাব্দে পর্যন্ত আণবিক তত্ত্বের প্রধান বিরোধী ছিল তাপের 'ক্যালরিক মতবাদ'। এই মতবাদ অনুযায়ী বস্তুর উক্তা তার মধ্যে অবস্থিত 'ক্যালরিক' নামে এক কম্পত প্রবাহীর পরিমাণের উপর নির্ভর করে। ঘর্ষণের ফলে বস্তুর মধ্যে অবস্থিত ক্যালরিক নির্গত হয়, আর তার ফলেই তাপের উন্নত হয়। ১৭৯৮ খ্রিস্টাব্দে কাউন্ট রামফোর্ড (Count Rumford) ও ১৭৯৯ খ্রিস্টাব্দে হার্মান্ড ডেভী (Humphry Davy) সর্বপ্রথম ক্যালরিক মতবাদের বিরুদ্ধে ব্যবহারিক প্রমাণ উপস্থাপিত করেন। রামফোর্ড দেখান, যে নিরেট ধাতুর বেলনের মধ্যে গর্ত ক'রে বন্দুকের নল তৈরীর সময় যে পরিমাণ তাপ উৎপন্ন হয় তা বায়িত শক্তির সঙ্গেই সমানুপাতী। ক্যালরিক মতবাদ অনুযায়ী এই তাপ যে পরিমাণ ধাতু চেঁছে বার করা হয় তার সংগেই সমানুপাতী হওয়া উচিত, বায়িত শক্তির সঙ্গে তার সম্পর্ক থাকার কথা নয়। কাজেই রামফোর্ডের পরীক্ষার ফল ক্যালরিক মতবাদের সম্পূর্ণ বিরোধী। ক্যালরিক মতবাদীরা বিশ্বাস করতেন দুই বস্তুর ঘর্ষণের ফলে যে বস্তুর উৎপন্ন হয় তার চেয়ে প্রাথমিক বস্তুস্বরের অন্তর্গত ক্যালরিকের পরিমাণ বেশী হবে। ১৭৯৯ খ্রিস্টাব্দে ডেভী দেখান যে দুইখণ্ড বরফ ঘর্ষণের ফলে জলে ঝূপাঞ্চারিত হয়। যেহেতু জলের মধ্যে ক্যালরিকের পরিমাণ বরফের চেয়ে বেশী ব'লে সকলেই বিশ্বাস করতেন, ক্যালরিক মতবাদ পুনরায় এক অন্তর্ভুক্ত বাধার সম্মুখীন হ'ল।

ইতিমধ্যে রাসায়নিক গবেষণাগারেও অনেক অগ্রগতি হ'য়েছে। উন্নিবশ শতাব্দীর প্রথম দশকেই জন ড্যাল্টন (John Dalton) পদার্থের রাসায়নিক ক্রিয়ার পর্যবেক্ষণ থেকে পদার্থের আণবিক গঠন আর্বিষ্ঠার করেন। ১৮১১ খ্রিস্টাব্দে ইটালীয় বৈজ্ঞানিক আভোগাড়ো (Avogadro) তাঁর প্রথ্যাত প্রকল্প প্রকাশ করেন।

১৮৪০ খ্রিস্টাব্দে ম্যাপেস্টারে জেমস প্রেস্কট জুল (James Prescott Joule) বায়িত শক্তি ও উৎপন্ন তাপের অনুপাত সূজ্জভাবে নির্ণয়ের জন্য পরীক্ষা শুরু করেন। জুলের পরীক্ষার ফলে এই অনুপাতের নিয়ত্যা স্বীকৃত হয় এবং তাপ যে শক্তির এক প্রকাশমাত্র, এই সত্তা সর্বজনগৃহীত হয়। এই অবস্থাতেই পদার্থের অর্ণনিহিত তাপশক্তিকে অগ্ৰসম্মতের গতীয়শক্তি ঝূপে

কল্পনা করা দুর্ভ ছিল না। এমন কি জুল নিজেই ১৮৫১ খ্রিস্টাব্দে এক গবেষণাপত্রে আণবিক গতির ভিত্তিতে গ্যাসের চাপ তত্ত্বগতভাবে নির্ণয় করেন। এর অব্যবহিত পরেই ১৮৫৭ খ্রিস্টাব্দে দুই জার্মান পদার্থবিদ, ক্লাসিয়াস (Clausius) ও ক্রনিং (Crönig) স্বতন্ত্রভাবে গ্যাসের আণবিক তত্ত্বকে পরীক্ষালক্ষ ফলের ভিত্তিতে প্রতিষ্ঠিত করেন। জুল, ক্লাসিয়াস ও ক্রনিংকে গ্যাসের আধুনিক আণবিক তত্ত্বের জনক হিসাবে ধরা যেতে পারে।

গ্যাসের এই আধুনিক আণবিক তত্ত্ব অনুযায়ী পদার্থমাত্রাই অসংখ্য অতিক্রম অণুবাদী গঠিত। অণুসমূহ সর্বদাই সগুরমান এবং তাদের গতির অসংবন্ধ (random) অংশের ফলে যে গতীয় শক্তির উন্নত হয় তাই তাপশক্তির প্রতীয়মান হয়। অণুসমূহের সংবন্ধ গতি (mass motion) পদার্থের ঘোঁথগাতি উৎপন্ন করে, যার সঙ্গে তাপশক্তির কোন সম্পর্ক নেই। অণুসমূহের অসংবন্ধ গতি যত বৃদ্ধি পায়, পদার্থের উক্ততা তত অধিক বলে অনুভূত হয়।

প্রবর্তী কালের পদার্থবিদ্রা আণবিক তত্ত্বের সাহায্যে পদার্থের বহু ধর্মের সন্তোষজনক বাখ্যা দিতে সক্ষম হন। লর্ড কেলভিন (Lord Kelvin) নিরপেক্ষ তাপমাত্রার উন্নাবন করেন ১৮৪৮ খ্রিস্টাব্দে। এরপর আসেন ম্যাক্সওয়েল (Maxwell) ও বোল্ট্সম্যান (Boltzmann)। ১৮৬০ খ্রিস্টাব্দে ম্যাক্সওয়েল নির্ধারণ করেন গ্যাস-অণুর গতিবেগের বণ্টনসূচী, এবং এর পরেই বোল্ট্সম্যান ম্যাক্সওয়েল সূচনের বাপকতর প্রয়োগ প্রচালিত করেন। তবু বিজ্ঞম ক্ষেত্রে সাফল্য সত্ত্বেও আণবিক তত্ত্বকে বিবৃক্ষ সমালোচনার সম্মুখীন হ'তে হয়, যার প্রধান কারণ অণুর অস্তিত্বের ও তাদের সগুরণশীলতার প্রত্যক্ষ প্রমাণের অভাব। বিবেচনাদলের প্রধান ছিলেন ওষ্টওল্ড (Ostwald)। তাঁর মত ছিল এই যে তাপগতিবিদ্যাই (Thermodynamics) সরলত প্রাকৃতিক ঘটনার বাখ্যা দিতে সক্ষম এবং পদার্থের গঠন-সম্পর্কত কোনও অপর্যাগত প্রকল্পের উপস্থাপন একেবারেই নিষ্পত্তিযোজন।

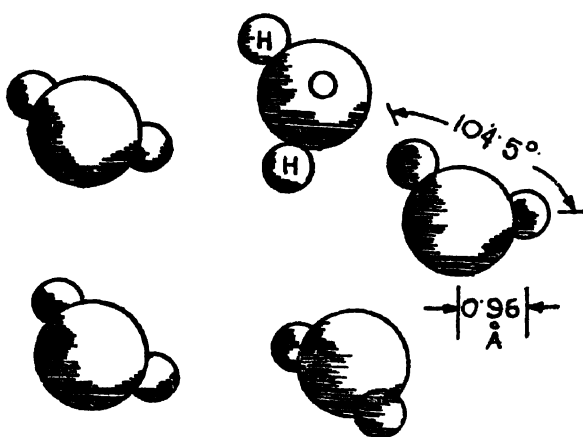
কিন্তু সব ইতিহাসের মত পদার্থবিদ্যার ইতিহাসেও উখান-পতনের দৃষ্টান্তের অভাব নেই। ১৯০৮ এ এমন ঘটনা ঘটল যে স্বয়ং ওস্টওল্ডও আণবিক তত্ত্বে বিশ্বাসী হ'য়ে পড়লেন। ইতিপূর্বে ১৮২৭ এ বৃটিশ উচ্চদিবিদ্ রবার্ট ব্রাউন (Robert Brown) অণু-বীক্ষণের সাহায্যে জলের মধ্যে বিলম্বিত সূক্ষ্ম রেণুর এক অস্তুত অনিয়মিত গতি লক্ষ্য করেছিলেন। ১৯০৪—০৫ খ্রিস্টাব্দে আইনস্টাইন (Einstein) ও স্মলুকভৰ্কি (Smoluchowski) এই গতির পরিসংখ্যানমূলক তত্ত্বপ্রকাশ করেন। ১৯০৮ এ জেন পেরিন (Jean Perrin)

পরীক্ষায় এই তত্ত্বের সত্যতা সম্পূর্ণরূপে প্রতিষ্ঠিত হয় এবং সেই সঙ্গে আণবিক গাত্রের সম্পর্কে শেষ সন্দেহও দূরীভূত হয়।

ইতিহাসের পর্যালোচনা আমদের এখানেই শেষ। গ্যাসের আণবিক তত্ত্বের মূল বিষয়ে প্রবেশের পূর্বে এই অধ্যায়ে আমরা পদার্থের আণবিক চিত্রের সংগে কিছুটা পরিচয় লাভ করব। পরবর্তী অধ্যায়সমূহে গ্যাসের আণবিক তত্ত্বের ক্রমবিকাশ ও বিভিন্ন ক্ষেত্রে তার প্রয়োগ আলোচিত হবে।

## ১.২ পদার্থের আণবিক চিত্র

কল্পনা করা যাক, আমরা কোন এক অতিশান্তিশালী অণ্ডবীক্ষণের সাহায্যে পদার্থকে  $10^8$  গুণ বিবর্ধিত ক'রে দেখতে পারি। স্টীমপূর্ণ এক আধারের মধ্যে এই যত্নের সাহায্যে দৃষ্টিপাত করা যাক। আমরা হয়ত আধারের অতি কুদুর্ব অংশই দেখতে পাব। এই দৃশ্য কতকটা চিত্র ১.১ এর মত দেখাবে। চিত্রে র্যাদও পাঁচটি জলের অণ্ড দেখা যাচ্ছে, মনে রাখতে হবে, এই বিবরণে সাধারণ অবস্থায় এক ঘন-মিটার আয়তনের মধ্যে মাত্র  $20-25$ টি অণ্ড দেখা যাবে। অণ্ডবীক্ষণের দৃষ্টিক্ষেত্রে অনেকসময় একটিও অণ্ড দেখা যাবে না।



চিত্র ১.১—স্টীম

জলের এই অণ্ডগুলি মোটেই ছুরি নয়। তারা অবিরাম চতুর্দিকে সরলরেখায় ধারিত হয় এবং অনবরতই পরম্পরারের সংগে অথবা আধারের গাত্রের সংগে তাদের সংবর্ধ হয়। প্রতি সংবর্ধে তাদের গাত্রবেগের দিক ও

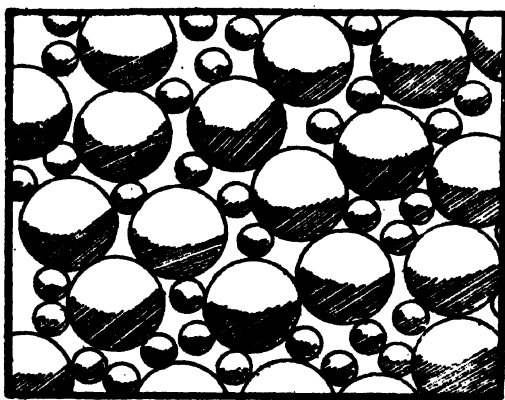
আধাৰ পৰিৱৰ্তন ঘটে।\* কল্পনা কৰা যাক যে স্টীমেৰ আধাৰটি একটি বেলন ও তাৰ মধ্যে একটি পিস্টন লাগানো আছে। পিস্টনগাত্ৰেৰ সঙ্গে সংৰৰ্থেৰ ফলে অণ্ডগুলি পিস্টনকে বাইৱেৰ দিকে ঠেলে সঁৰিয়ে দিতে চায়। এই পিস্টনকে স্থাঞ্চানে রাখাৰ জন্য বাইৱেৰ থেকে তাৰ উপৰ বল প্ৰয়োজন প্ৰয়োজন। অণ্ডগুলি যখন পিস্টন থেকে প্ৰতিফলিত হয় তখন তাদেৱ ভৱবেগেৰ দিক পৰিৱৰ্তন ঘটে। ভৱবেগেৰ এই পৰিৱৰ্তন অণ্ডগুলিৰ উপৰ আধাৰগাত্ৰ-প্ৰযুক্তি বল দ্বাৱাই সাধিত হয় এবং এই বল পিস্টনগাত্ৰেৰ ক্ষেত্ৰফলেৰ সমান্বাপত্তি। পিস্টনকে স্থাঞ্চানে বিদামান রাখতে এৱ উপৰ প্ৰতি একক ক্ষেত্ৰফলে যে বল প্ৰয়োজন কৰতে হয় তাকেই স্টীমেৰ চাপ বলে অনুভূত কৰা বায়।

এখন যদি কোনও উপায়ে আধাৰমধ্যান্ত স্টীমেৰ উষ্ণতা বৃক্ষি পায় তবে এই অণ্ডগুলিৰ ক্ৰিপু পৰিৱৰ্তন লক্ষ্য কৰা যাবে? আমৱা যদি অণ্ডগুলিৰ গতিবেগেৰ কোনৱকম গড় আগেই নিৰ্ণয় ক'ৱে রাখতাম তাহলে দেখা যেত এই গড় গতিবেগেৰ মান বৃক্ষি পৰেয়েছে। পিস্টনেৰ সংগে অণ্ডগুলিৰ সংৰৰ্থ এখন আৱাও জোৱ হবে এবং পিস্টনকে ধ'ৱে রাখতে আৱাও বেশী বলেৰ প্ৰয়োজন হবে। অৰ্থাৎ, উষ্ণতাবৃক্ষিৰ সংগে স্টীমেৰ চাপও বৃক্ষি পাবে।

ধৰা যাক যে আধাৰেৰ প্ৰাচীৰ যে পদাৰ্থে নিৰ্মিত তা তাপেৰ সম্পূৰ্ণ অপৰিবাহী। এই অবস্থায় বলপ্ৰয়োজন ক'ৱে পিস্টনকে ত্ৰুম্ভঃ ভিতৰ দিকে ঠেলে স্টীমেৰ আয়তন কৰিয়ে আনা যাক। পিস্টন যে সময় ভিতৰ দিকে প্ৰবেশ কৰছে সেই সময় যে সমষ্টি অণ্ডৰ পিস্টনেৰ সংগে সংৰৰ্থ হবে, পিস্টন থেকে প্ৰতিফলনেৰ পৰ তাদেৱ গতিবেগ কিছুটা বৰ্ধিত হবে। ক্ৰিকেট ব্যাট যখন সামনেৰ দিকে চালনা কৰা হয় তখন যদি ব্যাট ও বলে সংৰৰ্থ হয়, তখন সংৰৰ্থেৰ পৰ বল বৰ্ধিত গতিতে বিপৰীত দিকে ছুটে যাব। স্টীম অণ্ডগুলিৰ ক্ষেত্ৰেও অনুৱৃপ্ত ঘটনা ঘটে। মোটোৰ উপৰ, কিছু সময় ধ'ৱে স্টীমেৰ আয়তন কৰিয়ে আনাৰ পৰ দেখা যাবে অণ্ডগুলিৰ গড় গতিবেগ কিছুটা বৃক্ষি পৰেয়েছে। যে প্ৰক্ৰিয়াৰ বৰ্ণনা দেওয়া হ'ল, পদাৰ্থ বিদ্যাৰ ভাষায় তাৰ নাম “ৰুক্ষতাপ সংলগ্ন” (adiabatic compression)। স্পষ্টভাবে, এই প্ৰক্ৰিয়াৰ স্টীমেৰ উষ্ণতা বৃক্ষি পাবে। এৱ বিপৰীত প্ৰক্ৰিয়ায়, অৰ্থাৎ রুক্ষতাপ প্ৰসাৱণে উষ্ণতা হাসপ্তাশ্চ হবে।

\* সমান ভৱ ও বেগেৰ মাত্ৰাবিশিষ্ট দুই অণুৰ সংৰৰ্থেৰ ক্ষেত্ৰে অবশ্য গতিবেগেৰ দিকই পৰিৱৰ্তিত হয়, মাত্ৰা নহ।

ସ୍ଟୀମେର ଉକ୍ତତା ସହି କ୍ରମଶଃ କରିଯାଇ ଆନା ସାଇ, ତବେ ଅଣ୍ଟଗୁଲିର ଗାତ୍ର କ୍ରମଶଃ ହୂସପ୍ରାପ୍ତ ହବେ ଏବଂ ଅବଶେଷେ ଦେଖା ଯାବେ ଯେ ଅଣ୍ଟଗୁଲି ପରମ୍ପରରେ ସଙ୍ଗେ ସଂଲଗ୍ନ ହ'ତେ ଚାଇଛେ । ଏହି ଆଚରଣେର ମୂଳ କାରଣ ଅନୁସନ୍ଧାନ କରା ଯାକୁ । ଦୁଇଟି ଅଣ୍ଟ ସଥିନ ପରମ୍ପରା ଥିଲେ ସଥିରେ ସଥିରେ ଅବଶ୍ୱାନ କରେ ତଥିନ ତାଦେର ମଧ୍ୟେ କୋନ ପାରମ୍ପରିକ ବଳ କିମ୍ବା କରେ ନା । କିନ୍ତୁ ସଥିନ ତାରା ଖୁବ ନିକଟବର୍ତ୍ତୀ ହୁଏ ତଥିନ ତାଦେର ମଧ୍ୟେ ଏକ ଅନ୍ତର୍ଭାବର ଆକର୍ଷଣୀ ବଲେର ଉତ୍ସବ ହୁଏ, ବୈଦ୍ୟାତିକ ଆଧାନେର ମଧ୍ୟେ କୁଳବ୍ (coulomb) ପ୍ରତିକିର୍ଣ୍ଣାଇ ସାର ଉଂଚ । ଦୁଇଟି ଅଣ୍ଟ ସଥିନ ପରମ୍ପରା ସଂଲଗ୍ନ ହୁଏ ଅର୍ଥାତ୍ ତାଦେର ଇଲେକ୍ଟ୍ରନ୍-ମେଘଗୁଲି ପରମପରକେ ଭେଦ କରାର ଉପକ୍ରମ କରେ ତଥିନ ଅବଶ୍ୟ ଏହି ଆକର୍ଷଣୀ ବଲର ଚେରେ ଅନେକ ବେଶୀ ଶକ୍ତିଶାଲୀ ଏକ ବିକର୍ଷଣ ଦେଖା ସାଇ ସାର ଫଳେ ଅଣ୍ଟରେ ଆର ଅଧିକତର ନିକଟବର୍ତ୍ତୀ ହୁଏ ନା । ଦୁଇ ଅଣ୍ଟର ସଂଘର୍ଯ୍ୟକାଳେ ସହି ତାଦେର ଗତୀଯ ଶକ୍ତି ସଥିରେ ବେଶୀ ହୁଏ, ତଥିନ ତାରା ଅନ୍ତ ସହଜେଇ ପୂର୍ବୋଳ୍ଲାଖିତ ଆକର୍ଷଣୀ ବଲକେ କାଟିଯେ ଉଠିତେ ପାରେ । ଅବଶ୍ୟ ଏକେହି ଏହି ଗତୀଯ ଶକ୍ତି ମାପିତେ ହବେ ଅଣ୍ଟରେର ଯୌଥ ଭରକେନ୍ଦ୍ରିକ ନିର୍ଦ୍ଦେଶାଂକେ—ଯେ ନିର୍ଦ୍ଦେଶାଂକେ ଅଣ୍ଟରେର ଯୌଥ ଭରକେନ୍ଦ୍ରି ନିଶ୍ଚଳ ଥାକେ । ହୂସପ୍ରାପ୍ତ ଉକ୍ତତାଯ, ଉଳ୍ଲାଖିତ ଗତୀଯ ଶକ୍ତି ବ୍ୟପ ମାନେ ଏହି ଆକର୍ଷଣ ଅଣ୍ଟଗୁଲିକେ କ୍ରମଶଃ ପରମପରର ସଂଗେ ସଂଲଗ୍ନ କ'ରେ ଏକ ଘନୀଭୂତ ବୃତ୍ତପୁଞ୍ଜେର ସୃଷ୍ଟି କରେ । ଏହି ବୃତ୍ତପୁଞ୍ଜେ ସ୍ଟୀମେର ତରଳାବଶ୍ୱ ବା ଜଳ (ଚିତ୍ର ୧୨) ।



ଚିତ୍ର ୧୨—ଜଳ

ଜଳେର ମଧ୍ୟେ ପ୍ରତିଟି ଅଣ୍ଟି ତାର ସମ୍ବିପବର୍ତ୍ତୀ ଅନ୍ୟାନ୍ୟ ଅଣ୍ଟଗୁଲିର ଆକର୍ଷଣୀ ବଲେର ପ୍ରଭାବେର ମଧ୍ୟେ ଥାକେ । ଅଣ୍ଟଗୁଲିର ମଧ୍ୟେ ଫାଁକ ଖୁବଇ କମ, ସାର ଫଳେ ଜଳେର ଘନତ୍ବ ସ୍ଟୀମେର ଚେରେ ବହୁଗୁଣ ବେଶୀ । ତରଳେର ଆରଭାବେର ମଧ୍ୟେ

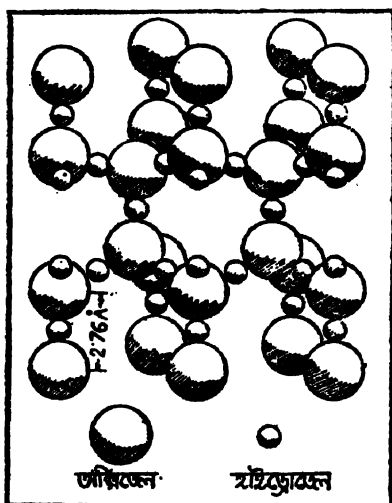
ଅଣ୍ଟଗୁଲି ଅନ୍ୟାନ୍ୟ ଅଣ୍ଟଗୁଲିର ପାଶ କାଟିଯେ ସ୍ଥିତିଭାବେ ବିଚରଣ କରାତେ ପାରେ । କିନ୍ତୁ ସମ୍ଭବନୀୟ କୋନ ଏକଟି ଅଣ୍ଟ ତରଲେର ସୀମାନାମ ଉପରୀତ ହୁଏ, ତାର ନିକଟ୍ବର୍ତ୍ତୀ ଅଣ୍ଟଗୁଲିର ମୋଟ ଆର୍କର୍ଣ୍ଣି ବଳ ତାକେ ତରଲେର ଭିତର ଦିକେ ଆହୁରି କରେ । ଏହି ଆର୍କର୍ଣ୍ଣି ତରଲେର ସ୍ଥିତିପୁଞ୍ଜକେ ଏକଟି ରାଖେ ଏବଂ ତରଲେର ପୃଷ୍ଠା ଅଣ୍ଟର ସଂଖ୍ୟା ସତ୍ତ୍ଵରେ କମ ରାଖାର ଚେତ୍ତା କରେ । ତରଲେର ପୃଷ୍ଠ ଏଇ ଫଳେ ସର୍ବଦା ସର୍ବଜ୍ଞାନିକ ହ'ତେ ଚାହିଁ, ବାର ପ୍ରତ୍ୟକ୍ଷ ଫଳ ତରଲେର ପୃଷ୍ଠଟାଳ (surface tension) ।

ତରଲେର ପ୍ରତିଟି ଅଣ୍ଟର ଗତୀଯ ଶକ୍ତି ଅବଶ୍ୟ ଏକ ନମ । କୋନ କୋନ ଅଣ୍ଟର ଗତୀଯ ଶକ୍ତି ଏତ ବେଣୀ ହ'ରେ ସାଓରା ସନ୍ତବ ସେ ତାରା ତରଲେର ଅନ୍ୟାନ୍ୟ ଅଣ୍ଟର ଆର୍କର୍ଣ୍ଣି ଛିନ୍ନ କ'ରେ ବୈରିଯେ ସେତେ ପାରେ । ଏଇଭାବେ ନିଯତିଇ ତରଲେର ପୃଷ୍ଠ ଥେକେ କିନ୍ତୁ ସଂଖ୍ୟାକ ଅଣ୍ଟ ନିର୍ଗତ ହତେ ଥାକେ ସାକେ ଆମରା ବଳି ତରଲେର ବାଞ୍ଚୀଭବନ । ବାଞ୍ଚୀଭବନେର ଫଳେ ତରଲେର ସେ ଅଣ୍ଟଗୁଲି ନିର୍ଗତ ହୁଏ ତାଦେର ପ୍ରତିଟିଇ ଗଡ଼ ଗତୀଯ ଶକ୍ତିର ଚେଯେ ଅନେକ ବେଣୀ ଗତୀଯ ଶକ୍ତି ବହନ କରେ । ଫଳେ ତରଲେର ଅର୍ବାଶକ୍ତି ଅଣ୍ଟଗୁଲିର ଗତୀଯ ଶକ୍ତିର ଗଡ଼ ଆଗେର ଚେଯେ କମ ହୁଏ ଏବଂ ତରଲେର ଉକ୍ତତା ପୂର୍ବେର ଚେଯେ କମ ବଳେ ଅନୁଭୂତ ହୁଏ । ପଦାର୍ଥବିଦ୍ୟାର ଉକ୍ତତାର ଏହି ହୃଦୟକେ “ଜୀବ-ତାପ” ଏଇ ସାହାର୍ଯ୍ୟେ ବ୍ୟାଖ୍ୟା କରା ହୁଏ ।

ତରଲ ର୍ଦ୍ଦି କୋନ ଉନ୍ନ୍ତ ଆଧାରେ ଥାକେ, ତାହଲେ ବାଞ୍ଚୀଭବନେ ନିର୍ଗତ ଅଣ୍ଟଗୁଲି ବାଇରେ ବାହୁର ସଂକେ ମିଶେ ସାବେ ଏବଂ ସତ୍ତ୍ଵର ନା ତରଲ ନିଃଶ୍ଵେତ ହୁଏ, ବାଞ୍ଚୀଭବନ ଚଲାନେଇ ଥାକିବେ । କିନ୍ତୁ ର୍ଦ୍ଦି ତରଲେର ଆଧାର ବର୍କ ଥାକେ ତବେ ଏଇ ଅଣ୍ଟଗୁଲି ତରଲେର ଉପରଙ୍ଗ ମୁକ୍ତକ୍ଷମନେ ଜୟା ହତେ ଥାକିବେ ଏବଂ ସାଧାରଣ ଗ୍ୟାସ-ଅଣ୍ଟର ଘତିଇ ବିଚରଣ କରିବେ । ଏହି ଅବଚ୍ଛାୟ ବାଞ୍ଚେର କିନ୍ତୁ ଅଣ୍ଟ ତରଲେର ପୃଷ୍ଠରେ ପରିତ ହବେ ଏବଂ ପୂନରାଯାର ତରଲେର ମଧ୍ୟେ ପ୍ରବେଶ କରିବେ । ଏହି ପ୍ରକିର୍ତ୍ତାକେଇ ବଳା ହୁଏ ବାଞ୍ଚେର ସର୍ବଜ୍ଞାନିକବନ । ବାଞ୍ଚେର ମଧ୍ୟେ ବିରିଦିଷ୍ଟ ଆଯତନେ ଅଣ୍ଟର ସଂଖ୍ୟା ସତ୍ତ୍ଵ ସତ ବୃଦ୍ଧି ପାବେ ସର୍ବଜ୍ଞାନିକର ହାରାଣ ତତ ବେଣୀ ହବେ । ଅବଶ୍ୟେ ଏମନ ଅବଚ୍ଛାୟ ସୃଷ୍ଟି ହବେ ସତ୍ତ୍ଵରେ ସତ୍ତ୍ଵରେ ଏକ ଆର୍କର୍ଣ୍ଣି ଘଟନା ଜାଙ୍କିତ ହବେ । ଅଣ୍ଟଗୁଲି ପରମ୍ପରାର ଗାୟେ ଲେଗେ ଏକ ସୁବିନାନ୍ତ ଦ୍ୱିମାତ୍ରିକ ସାରି ରଚନା କରିବେ (ଚିତ୍ର ୧.୩) । ଏହି ସୁବିନାନ୍ତ ସାରିର ନାମ କ୍ରେଲାସ (crystal) । ଜଳେର ଉକ୍ତତା

ଜଳେର ଉକ୍ତତା ଏବାର ଆରା କମାନେ ଥାକ୍ । ଦେଖା ସାବେ ଜଳେର ଅଣ୍ଟଗୁଲିର ସ୍ଥିତିଭାବେ କମେ ଆସିଛେ । ଅବଶ୍ୟେ ଏକ ଆର୍କର୍ଣ୍ଣି ଘଟନା ଜାଙ୍କିତ ହବେ । ଅଣ୍ଟଗୁଲି ପରମ୍ପରାର ଗାୟେ ଲେଗେ ଏକ ସୁବିନାନ୍ତ ଦ୍ୱିମାତ୍ରିକ ସାରି ରଚନା କରିବେ (ଚିତ୍ର ୧.୩) । ଏହି ସୁବିନାନ୍ତ ସାରିର ନାମ କ୍ରେଲାସ (crystal) । ଜଳେର ଉକ୍ତତା

কঠিনে বা পাওয়া গেল তার নাম জলের কঠিন অবস্থা বা বরক। কেলাসের মধ্যে প্রাণ্টি অণ্ডুর একটি নির্দিষ্ট স্থান আছে। অণ্ডুগুলি এই নির্দিষ্ট স্থানে সর্বাধিক ধারণেও তাদের কিছুটা তাপীয় গতিশীল বিদ্যমান থাকে, যার ফলে নির্দিষ্ট সাম্যবিন্দুর চতুর্দিকে অণ্ডুগুলির কম্পন লক্ষিত হয়। উক্তার



চিত্র ১.৩—বরফের কেলাস

বৃক্ষের সংগে এই কম্পন বৃক্ষ পায়, এমনকি এক বিশেষ উক্তার অণ্ডুগুলি নিজের স্থান ত্যাগ ক'রে কেলাসকে তরলে পরিণত করে। ঐ বিশেষ উক্তাই কঠিন পদার্থের গলনাংক। অপর দিকে উক্তা যত হ্রাস পায় কেলাসিত অণ্ডুর কম্পন তত করে। অবশ্যে সর্বনিম্ন উক্তা অর্থাৎ নিরপেক্ষ শূন্যের (absolute zero) নিকটে উপনীত হ'লে অণ্ডুগুলির কম্পনের পরিমাণও নিম্নতম হয়।

বরফের কেলাসের কিছু বৈশিষ্ট্য আছে। লক্ষ্য করলে দেখা যাবে এর গড়ন কতকটা ত্রিভুজাকৃতি ভূমির উপর গঠিত পিরামিড বা টেট্রাহেড্রনের (tetrahedron) মত। কেলাসটির গঠনে ত্রিকোণিক প্রতিসাম্য (trigonal symmetry) বর্তমান এবং এর ফলেই তৃব্যাকুণার ষষ্ঠিকোণী আকৃতির উন্নত হয়। এছাড়া কেলাসটির অভ্যন্তরে কিছু ঝাঁক বা শূন্যস্থানও দেখা যাবে। জলের মধ্যে এই শূন্যস্থান অনেক কম থাকে, যার ফলে তরল জলের ঘনত্ব বরফের চেয়েও কিছুটা বেশী হয়। অবশ্য বেশীর ভাগ পদার্থের কেলাসেই অণ্ডুগুলি জলের তুলনায় বেশী ঘনসমিক্ষিক থাকে এবং কঠিন কেলাসের ঘনত্ব

ভৱলের চেয়ে অধিক হয়। জলকেই বরং এই ব্যাপারে ব্যাড়িক্ষম বলা যেতে পারে।

মোটামুটিভাবে, জল এবং তার গ্যাসীয় ও কঠিন অবস্থা—স্টীম ও বরফের বৃপ্ত আবরণ প্রত্যক্ষ করলাম। এই বৃপ্ত অনেকটা আদর্শান্বিত এবং অভিসরলীকৃত। পরীক্ষাগারে ব্যবহৃত কোন জলই সম্পূর্ণ বিশুद্ধ হয় না। তার মধ্যে অর্জিজেন, নাইট্রোজেন প্রভৃতির অণ্ড দ্রবীভূত অবস্থার থাকে। বহু রাসায়নিক ঘোগও জলের মধ্যে থাকতে পারে, যথা সাধারণ-সবগ। মুখীভূত অবস্থার অণ্ডগুলির কিছু অংশ বিভক্ত হ'য়ে তর্ডিতাহিত আয়নবৃপেও থাকতে পারে। এই সমস্ত অবিশুক্তা জলের আচরণে নানা জটিলতা আনন্দন করে, যা আমরা বর্তমান আলোচনার গভীর বাইরে রেখেছি। পদার্থের আণবিক চিত্রে নানা রাসায়নিক প্রক্রিয়ার ব্যাখ্যাও অনুসন্ধান করা যেতে পারে যা থেকে আমরা বিরত থাকব।

সৃষ্টির প্রতি রহস্যময় প্রক্রিয়া—সুন্দর নীহারিকার অভাসের নকশের জন্ম থেকে জীবের মন্তিকের কোষাগারে স্থূলতর সংরক্ষণ—এর সব কিছুই অণ্ড-প্রয়োগের বিচ্ছ লীলার প্রকাশ মাত্র। সীমাহীন সভাবনামূল পথে প্রথম দু চারটি পদক্ষেপই এই পুনর্কের উপজীব্য বিবর।

ଛିତ୍ତୀଙ୍କ ଅଧ୍ୟାତ୍ମ

## ଆଦର୍ଶ ଗ୍ୟାସେର ଆଚରଣ

### ୨.୧ ଗ୍ୟାସେର ଆଗବିକ ତଥେର ପ୍ରାର୍ଥିକ ଅଙ୍ଗୀକାର

ପୂର୍ବବର୍ତ୍ତୀ ଅଧ୍ୟାରେ ଆଗବିକ ତଥେ ଗ୍ୟାସେର ସେ ଚିତ୍ର କମ୍ପନା କରା ହୁଏ ତାର ବର୍ଣ୍ଣା ଦେଖୋ ହ'ରେହେ । ଗ୍ୟାସେର ଆଚରଣେର ଗାର୍ଗାତିକ ବିଶ୍ଲେଷଣ କରତେ ହ'ଲେ ତାର ପ୍ରକଳ୍ପିତ ସଂପର୍କେ କିନ୍ତୁ ଅଙ୍ଗୀକାର କରା ପ୍ରଯୋଜନ । ସେ କୋନାଓ ବାନ୍ଧବ ଗ୍ୟାସେର କେତେ ପ୍ରଦେଶ୍ୟ ପ୍ରାର୍ଥିକ ଅଙ୍ଗୀକାରଗୁଣିଲି ଲିପିବକ୍ଷ ହ'ଲା :

- ୧ । ଗ୍ୟାସ ମାତ୍ରେଇ ବହୁ ସଂଖ୍ୟକ ଅଣ୍ଟର ସମ୍ଭାବ୍ନି ଏବଂ କୋନାଓ ଏକ ପ୍ରକାର ଗ୍ୟାସେର ପ୍ରତିଟି ଅଣ୍ଟର ସମ୍ଭାବ୍ନି ।
- ୨ । ଗ୍ୟାସେର ଅଣ୍ଟଗୁଣିଲ ସର୍ବଦାଇ ସମ୍ପରଗଣିଲ । କିନ୍ତୁ ସେହେତୁ ଅଣ୍ଟର ସଂଖ୍ୟା ଅତିମାତ୍ରାଯ ବୃଦ୍ଧ, ଅଣ୍ଟର ଗାତ୍ର ସତ୍ରେ ଓ ସାମ୍ୟାବନ୍ଧାର ଗ୍ୟାସେର ମଧ୍ୟରେ ପ୍ରତି ବିଶ୍ଵୁତେ ଏକକ ଆଯତନେ ଅଣ୍ଟର ସଂଖ୍ୟା ଏକଇ ଥାକେ । ଏହି ସଂଖ୍ୟାକେ ଅଣ୍ଟର ‘ଘରକୁସଂଖ୍ୟା’ ବଲା ହେବ ।
- ୩ । ଆଧାରେର ପ୍ରାଚୀର ଓ ଅନ୍ୟାନ୍ୟ ଅଣ୍ଟର ସଂଗେ ଅଣ୍ଟଗୁଣିଲର ନିଯନ୍ତରେ ସଂଘର୍ଷ ହୁଏ । ସଂଘର୍ଷକାଳେ ଅଣ୍ଟଗୁଣିଲ କଠିନ ଶ୍ରିତିକ୍ଷାପକ ଗୋଲକେର ମତ ଆଚରଣ କରେ । ଫଳେ ପ୍ରାଚୀରେର ସଂଗେ ସଂଘର୍ଷେ କୋନ ଅଣ୍ଟର ଗତୀର ଶକ୍ତି ପରିବାର୍ତ୍ତନ ହୁଏ ନା । ଦୁଇ ଅଣ୍ଟର ମଧ୍ୟେ ସଂଘର୍ଷେ ଉଭୟର ଗତୀର ଶକ୍ତିର ଯୋଗଫଳ ସମାନ ଥାକେ । କୋନ ଅଣ୍ଟର ଉପର୍ଯ୍ୟାପିର ଦୁଇ ସଂଘର୍ଷେର ମଧ୍ୟେ ସେ ସମୟ ଅତିବାହିତ ହୁଏ ତାର ତୁଳନାଯାର କୋନ ସଂଘର୍ଷେର ଶ୍ରିତିକାଳ ଉପେକ୍ଷାଗୀଯ । ଅର୍ଥାଏ ପ୍ରତିଟି ସଂଘର୍ଷରେ ନିମେବେ ସଂଘଟିତ ହୁଏ ବ'ଲେ କମ୍ପନା କରା ଥାଏ ।
- ୪ । ସଂଘର୍ଷେର ମୁହଁର୍ତ୍ତ ସାତୀତ ଅନ୍ୟ ସମୟ କୋନ ଅଣ୍ଟର ଉପର କୋନ ବଲ କାଜ କରେ ନା । ଅର୍ଥାଏ ଅଣ୍ଟଗୁଣିଲର ମଧ୍ୟେ କୋନାଓ ପାଇସ୍ପାରିକ ବଲ କ୍ରିଯା କରିଲେଓ ଏ ବଲ ଅତି ବ୍ରାହ୍ମ ପାଞ୍ଚାର । ଅଣ୍ଟଗୁଣିଲ ସେହେତୁ ନିଉଟନେର ଗାତ୍ରସ୍ଥିତ୍ୟ ମେନେ ଚଲେ, ଦୁଇ ସଂଘର୍ଷେର ମଧ୍ୟବର୍ତ୍ତୀ ସମୟେ ପ୍ରତିଟି ଅଣ୍ଟ ସମୟବେଗେ ସରଳରେଥାଯ ଧାରିବିତ ହୁଏ ।
- ୫ । ଗ୍ୟାସ ଅଣ୍ଟଗୁଣିଲର କାହେ ସବ ଦିକରେ ସମାନ, କୋନ ଦିକରେଇ କୋନ ବୈଶିଷ୍ଟ୍ୟ ନେଇ । ଅର୍ଥାଏ ଗ୍ୟାସେର ସମୟ ଆନ୍ତରନଟିକେଇ ‘ସମୈଦେଶିକ’ (isotropic) ହିସାବେ ଗଣ୍ଡ କରା ଥାଏ ।

ଏই ଅଙ୍ଗୀକାରଗୁଲିର ମଧ୍ୟେ ପ୍ରଥମ ଦୁଇଟିର ସତାତା ବହୁ ପରୀକ୍ଷାର ମଧ୍ୟମେ ପରୋକ୍ଷ ଓ ପ୍ରତ୍ୟକ୍ଷଭାବେ ପ୍ରାତିପତ୍ର ହ'ରେହେ । ସାମ୍ୟାବସ୍ଥାର ସାଧାରଣ ଭାବେ ଗ୍ୟାସେର ପ୍ରତି ବିନ୍ଦୁତେ ଘନଫସ୍ତଂଖ୍ୟା ଏକ ହ'ତେଇ ହବେ । ପଞ୍ଚମ ଅଧ୍ୟାୟେ ଦେଖା ଥାବେ ସେ ଅନ୍ୟଥାରେ ବ୍ୟାପନେର ଫଳେ ଗ୍ୟାସେର ମଧ୍ୟେ ସାମଗ୍ର୍ୟକ ଗତିର ଉତ୍ତବ ହବେ ଏବଂ ତାର ଫଳେ ଅବଶେଷେ ପ୍ରତି ବିନ୍ଦୁତେ ଘନଫସ୍ତଂଖ୍ୟା ସମାନ ହବେ ।

ଗ୍ୟାସ-ଅଣ୍ଟର ଚିହ୍ନିତକ୍ଷାପକତା ସଂକ୍ଷାନ୍ତ ଅଙ୍ଗୀକାରଟି ଏକପରମାଣ୍କ ଗ୍ୟାସେର କ୍ଷେତ୍ରେ ସର୍ବତୋଭାବେ ପ୍ରମୋଜ । ଦୁଇ ବା ତତୋଧିକ ପରମାଣ୍କ-ବିଶିଷ୍ଟ ଗ୍ୟାସ ଅଣ୍ଟର ବେଳାର କୋନ ସଂଘର୍ଷେର ଫଳେ ଅଣ୍ଟର ଘୂର୍ଣ୍ଣ ବା କମ୍ପନର୍ଜନିତ ଗତିଯ ଶକ୍ତିର ହ୍ୟାସବ୍ୟକ୍ତ ଘଟତେ ପାରେ । ତବେ ପ୍ରତି ସଂଘର୍ଷେ ବୈରିଧିକ ଗତିଯ ଶକ୍ତିର ଗଡ଼ ପରିବର୍ତ୍ତନ ଅବଶ୍ୟାଇ ଶୂନ୍ୟ ହବେ । କେବଳା କୋନ ଡାପନିରୋଧକ ଆଧାରେ ରକ୍ଷିତ ଗ୍ୟାସେର ଅଣ୍ଟଗୁଲିର ଘୂର୍ଣ୍ଣ ବା କମ୍ପନର୍ଜନିତ ଶକ୍ତିର ହ୍ୟାସ ବା ବୃକ୍ଷିର ଫଳେ ସର୍ଦି ତାଦେର ବୈରିଧିକ ଗତିଯ ଶକ୍ତିର ସଥାନରେ ବୃକ୍ଷ ବା ହ୍ୟାସ ଘଟେ, ତବେ ଏହି ଗ୍ୟାସେର ଚାପା ନିଜେ ନିଜେଇ କ୍ରମଶଃ ବାଢ଼ତେ ବା କରିବାକବେ । ଏବୁପ ଟଟଳା ଆମାଦେର ବାନ୍ତବ ଅଭିଜ୍ଞତାର ବିରୋଧୀ ଏବଂ ଏହି ଅର୍ଥେ ଗ୍ୟାସ ଅଣ୍ଟର ସଂଘର୍ଷକେ ଚିହ୍ନିତକ୍ଷାପକ ବଲା ଯେତେ ପାରେ ।

ଗ୍ୟାସ ଅଣ୍ଟକେ କଠିନ ଗୋଲକରୂପେ କମ୍ପନା ଅପେକ୍ଷାକୃତ ଅଧିକ ସମାଲୋଚନା-ସାପେକ୍ଷ । ପ୍ରଥମତଃ କୋନ ଅଣ୍ଟକେ ତଥନଇ ଗୋଲକରୂପେ କମ୍ପନା କରିବା ସମ୍ଭାବନା ସଥିନ ତାଦେର ପ୍ରୟୁକ୍ଷ ବଲ ଥେକେ ଜାତ ସର୍ବାବିଦ୍ୱିତ୍ୱ ତଳଗୁଲି (equipotential surfaces) ଗୋଲକାର୍ତ୍ତି । କୋନ କୋନ ନିଜିଯ ଗ୍ୟାସେର ଏକପରମାଣ୍କ ଅଣ୍ଟ-ବ୍ୟାତୀତ ଅନ୍ୟାନ୍ୟ କ୍ଷେତ୍ରେ ଏହି ସର୍ତ୍ତ କାର୍ଯ୍ୟକ୍ରମୀ ହୁଯ ନା । ବିତୀର୍ଣ୍ଣତଃ କୋନ ଅଣ୍ଟଇ ବାନ୍ତବିକଭାବେ 'କଠିନ' ପଦାର୍ଥର ମତ ଆଚରଣ କରିବା ପାରେ ନା । ଦୁଇ ଅଣ୍ଟର ଇଲେକ୍ଟ୍ରନ୍-ମେଘ ସଥିନ ପରିଷ୍ପରକେ ଭେଦ କରିବା ଉଦ୍ୟତ ହୁଯ ତଥନ ଏକ ଅନ୍ତି-ଶକ୍ତିଶାଲୀ ବିକର୍ଷଣୀ ବଲେର ଉତ୍ତବ ହୁଯ । ଅଣ୍ଟ ଦୁଇଟିର କେନ୍ଦ୍ରବସ୍ତରେ ଦୂରତ୍ତ ସର୍ଦି / ହୁଯ ଏବଂ ଏହି ବିକର୍ଷଣୀ ବଲକେ ସର୍ଦି  $\frac{1}{r^n}$  ଏର ସମାନୁପାତୀ ବଲେ ଧରିବା ଯାଇ ତବେ  $n$ -ଏର ସ୍ୟବହାର୍ଯ୍ୟ ମାନ 13 ଥେକେ 15 ହୁଯ । ଦୁଇ ଅଣ୍ଟର ସଂଘର୍ଷକାଳେ ତାଦେର କେନ୍ଦ୍ରବସ୍ତରେ ମଧ୍ୟେ ସର୍ବନିମ୍ନ ଦୂରତ୍ତ ନିର୍ଭର କରେ । ପ୍ରଥମତଃ ଅଣ୍ଟରରେ ଭାରକେର୍ଣ୍ଣକ ନିର୍ଦ୍ଦେଶାଂକେ ତାଦେର ଗତିଯ ଶକ୍ତିର ଉପର ଏବଂ ବିତୀର୍ଣ୍ଣତଃ ତାଦେର ସଂଧାତ-ପରାମିତିର (impact parameter) ଉପର । କିନ୍ତୁ ଦୂରତ୍ତ / କମାର ସଂଶେଖ୍ୟା ବଲ ଥେକେ ଉତ୍ସୃତ ବିଭବ ଏତ ଦୂର ବୃକ୍ଷ ପାଇଁ ସେ ବିଭିନ୍ନ ଅବଶ୍ୟାଯ / ଏର ସର୍ବନିମ୍ନ ମାନେର ଖୁବ ବେଳୀ ପ୍ରଭେଦ ହୁଯ ନା । ଏହି କାରଣେ ଏବଂ ଗ୍ୟାସ-ଅଣ୍ଟକେ କଠିନ ଗୋଲକରୂପେ କମ୍ପନା କରିଲେ ଗାର୍ଣ୍ଣିତକ ବିଲେଖଣେ ସେ ସୁବିଧା ହୁଯ ତାର ଜନ୍ୟ ଆମରା ଆଲୋଚ୍ୟ ଅଙ୍ଗୀକାରଟିକେ ମେନେ ଦେବ । ଦୁଇ ସମ୍ମ ଅଣ୍ଟର ବିଭିନ୍ନ ଆପେକ୍ଷକ କୌଣସି ଅବଶ୍ୟାନ ଓ ବିଭିନ୍ନ ଆପେକ୍ଷକ

গতির জন্য তাদের ক্ষেত্রের সর্বিন্দ্র ব্যবধানের গড় মানকেই আমরা ঐ অণ্ডুর ব্যাস মনে করব ।

এই প্রসঙ্গে উল্লেখযোগ্য যে দুই অণ্ডুর মধ্যে অপেক্ষাকৃত দূরপাণ্ডার বলও বর্তমান থাকে । দুই অণ্ডুর মধ্যে মহাকর্ষজ বল এই প্রকৃতির । তবে এই বল এত অন্প শক্তির যে সাধারণ অবস্থায় তাপীয় গতিশক্তির তুলনায় দুই অণ্ডুর মহাকর্ষজ বিভিন্ন উপেক্ষা করা যায় । সাধারণ তাপে দুইটি হিলিয়াম অণ্ডুর তাপীয় গতিশক্তির সঙ্গে তারা ষথন পরম্পরাকে স্পর্শ করে সেই সময় তাদের মহাকর্ষজ ছৈতিক শক্তির তুলনা করা যাক ।  $27^{\circ}\text{C}$  বা  $300^{\circ}\text{K}$  উষ্ণতায় প্রতিটি অণ্ডুর তাপীয় গতিশক্তি ( $\frac{1}{2}kT$ ,  $k$ =বোলৎসমান ধূবক,  $T$ =নিরপেক্ষ উষ্ণতা ) প্রায়  $6 \times 10^{-14}$  আর্গ । এই অণ্ডুর ব্যাস প্রায়  $2.3\text{\AA}$  ( ভ্যানডার-ওলাল সংক্ষিপ্তগের  $b$  ধূবক থেকে নির্ধারিত ) এবং ভর  $6.7 \times 10^{-24}$  গ্রাম । ক্ষেত্রের ব্যবধান ষথন  $2.3\text{\AA}$  তথন তাদের মহাকর্ষজ ছৈতিক শক্তির পরিমাণ  $( G \cdot \frac{m^3}{r}, G = \text{মহাকর্ষ ধূবক}, m = \text{অণ্ডুর ভর} )$   $1.3 \times 10^{-40}$  আর্গ, যা অবশাই তাপীয় শক্তির তুলনায় উপেক্ষণীয় । কোন কোন ক্ষেত্রে অণ্ডুল বৈদ্যুত-ছিমের বিশিষ্ট হয়, যার উদাহরণ জল, আয়োনিয়া প্রভৃতির অণ্ড । এই প্রকার দুইটি অণ্ডুর মধ্যে  $r^{-4}$ -এর সমানুপাতী এক বল ক্রিয়া করে এবং তার ফলে তাদের ছৈতিক শক্তির প্রকৃতি আরও জটিল হয় । আমরা ধরে নেব যে  $r$  এর যে লাইষ্ট মানের জন্য দূর পাণ্ডার ছৈতিক শক্তি অণ্ডুর তাপীয় গতিশক্তির তুলনায় উপেক্ষণীয় হবে, তা অণ্ডুল গড় অবাধপথের তুলনায় অতি ক্ষুদ্র ।

গ্যাসের আয়তনের মধ্যে অসম্বদ্ধেশিকতা (anisotropy) সৃষ্টির সবচেয়ে সাধারণ কারণ অভিকর্ষ । যদি গ্যাসের আধারের উচ্চতা  $h$ , অভিকর্ষজ ঘৰণ  $g$  হয়, তবে যে কোনও গ্যাসের ক্ষেত্রে  $mgh$  রাশির মান তাপীয় গতিশক্তি  $6 \times 10^{-14}$  আর্গের সংগে তুলনীয় হ'লে তবেই অসম্বদ্ধেশিকতা দৃশ্যমান হবে ।  $h=1$  মিটার হ'লে হিলিয়ামের ক্ষেত্রে  $mgh=6.6 \times 10^{-10}$  আর্গ । এই মান  $6 \times 10^{-14}$  আর্গের তুলনায় উপেক্ষণীয় হওয়ায় সাধারণ অবস্থায় ঐ গ্যাসকে সম্বদ্ধেশিক ধ'রে নেওয়া চলে । সমগ্র বায়ুমণ্ডলের ক্ষেত্রে  $h$  এর মান এত অধিক যে অভিকর্ষের প্রভাব মোটেই উপেক্ষণীয় নয় । এইরূপ অবস্থায় অভিকর্ষের প্রভাব পরে আলোচিত হবে ।

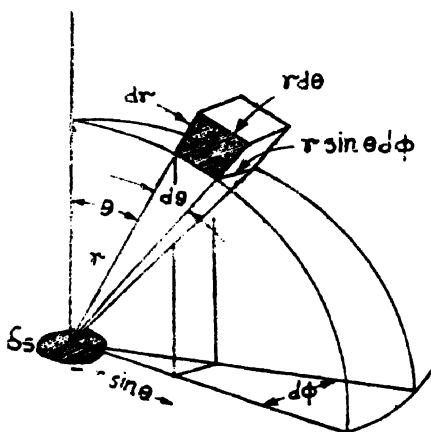
## ২.২ আকর্ষ গ্যাসের ক্ষেত্রে বিশেষ অঙ্গীকার

পূর্ববর্তী অংশে যে প্রাথমিক অঙ্গীকারগুলি উল্লিখিত হ'ল তার থেকে

গ্যাসের এক সরলীকৃত চিত্র পাওয়া যায়। বিজ্ঞেনের সুবিধা হেতু আমরা দ্বিতীয় পর্যায়ে আরও কয়েকটি অঙ্গীকার দ্বীকার করব। সেগুলি হল :

- ১। গ্যাসের অণ্ডগুলির আয়তন উপেক্ষণীয়, অর্থাৎ অণ্ডগুলি বিস্তুত নয়।
- ২। গ্যাসের অণ্ডগুলির পরস্পরের মধ্যে বা আধার প্রাচীর ও অণ্ডগুলির মধ্যে ( প্রাচীর ও অণ্ড মধ্যে সংবর্ধকাল ব্যতীত ) কোন বলই কাজ করে না অর্থাৎ অণ্ডগুলির শক্তির কোন অংশই স্থিতিক নয়।

যে গ্যাস এই সর্তগুলি পালন করে তাকে 'আদর্শ গ্যাস' (perfect gas) বলা হয়। কোন বাস্তব গ্যাসই সর্বাবস্থায় আদর্শ গ্যাসের মত আচরণ করে না। তবে যথেষ্ট উচ্চ উক্ততায় এবং অল্প চাপে সকল গ্যাসের আচরণই আদর্শ গ্যাসের মত হয়। কারণ, প্রথমতঃ অল্প চাপে গ্যাস অণ্ড অবাধ পথ অণ্ড ব্যাসের তুলনায় এত বড় হয় যে অণ্ডগুলির আয়তনকে উপেক্ষা করা চলে। দ্বিতীয়তঃ, অণ্ডগুলির তাপীয় গতিশক্তি অধিক হ'লে তুলনায় অল্প স্থিতিক শক্তির কোন প্রভাব থাকে না।



চিত্র ২.১—গোলীয় নির্দেশতন্ত্র

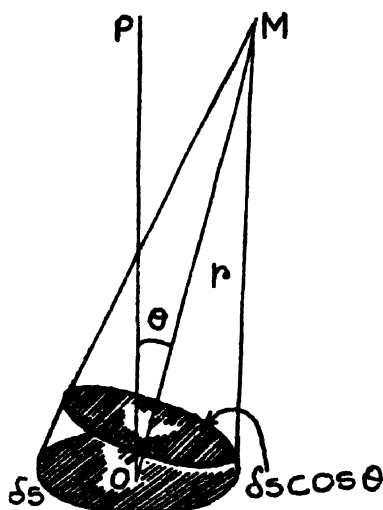
পূর্ণ আদর্শতার ক্ষেপনা থেকে অবশ্য অনেক অবাস্তবতার সূত্রপাত হয়। আদর্শ গ্যাসে অন্তর্গত সংবর্ধ ঘটে না। এই অবস্থায় ভিন্ন উক্ততায় দুইটি গ্যাস রিশ্বিত হ'লেও তাদের মধ্যে তাপের আদান-প্রদান ঘটতে পারে না। গ্যাসের সাম্রতা, তাপপরিবাহিতা প্রভৃতি ধর্মের ব্যাখ্যাও 'আদর্শ' গ্যাসের ক্ষেত্রে দেওয়া যায় না।

### ২.৩ আধাৱ প্ৰাচীৱে আদৰ্শ গ্যাস অণুৱ সংস্থান-সংখ্যা

ধৰা যাক কোন আধাৱেৰ মধ্যে গ্যাসেৰ অণুৱ ঘনফস্থ্যা  $n$ , প্ৰতি অণুৱ  
ভৱ  $m$  ও গৰ্ভিবেগ  $c$ । আধাৱেৰ প্ৰাচীৱে  $\delta s$  ক্ষেত্ৰফলেৰ এক অৰ্ত কুন্ত  
সমতল কম্পনা কৰা যাক (চিত্ৰ ২.১)। ধৰা যাক  $OP \delta s$  তলেৰ উপৱ  
লম্ব।  $OP$ কে অক্ষ হিসাবে ধৰে এক গোলীয় নিৰ্দেশতন্ত্ৰ  $(r, \theta, \phi)$  কৰি  
কৰা যাক। এই নিৰ্দেশতন্ত্ৰে বাসাৰ্ধ  $r$  ও  $r + \delta r$ , নতাৎশ  $\theta$  ও  $\theta + \delta\theta$  এবং  
দিগ্নংশ  $\phi$  ও  $\phi + \delta\phi$  এৰ মধ্যে প্ৰাৱ আয়তফলকাৰীত যে আয়তন আবক্ষ হবে  
তাৱ তিন ধাৱেৰ দৈৰ্ঘ্য  $\delta r$ ,  $r\delta\theta$  এবং  $r \sin \theta \delta\phi$ । এখানে  $\delta r$  অৰ্ত কুন্ত  
দৈৰ্ঘ্যাংশ এবং  $\delta\theta$  ও  $\delta\phi$  অৰ্ত কুন্ত কোণ। আয়তফলকেৰ মোট আয়তন

$$\delta v = r^2 \sin \theta \delta\theta \delta r \delta\phi \quad 2.3.1$$

এই আয়তনেৰ মধ্যে যে কোনও মুহূৰ্তে  $n\delta v$  সংখ্যক অণু থাকবে এবং গ্যাসেৰ  
সমদৈশিকতা হেতু তাৰে গৰ্ভিবেগেৰ দিক চাৰিদিকে সমভাৱে বিনাশ্ব থাকবে।  
 $\delta v$  আয়তনেৰ অন্তৰ্গত যে কোনও বিন্দু  $M$  (চিত্ৰ ২.২) এৰ সংগে  $\delta s$  তলে  
 $O$  বিন্দুকে যোগ কৰা যাক। দৈৰ্ঘ্য  $OM = r$  এবং  $\angle POM = \theta$ ।



চিত্ৰ ২.২

সূতৰাং  $\delta s$  ক্ষেত্ৰফল  $M$  বিন্দুতে  $\frac{\delta s \cos \theta}{\rho_s}$  ঘনকোণ উৎপন্ন কৰে। তখন

$n\delta v$  সংখ্যক অণ্ট চতুর্দিকের  $4\pi$  ঘনকোণে সমভাবে ধারিত হ'লে  $\delta s$  তল অঙ্গুথে ধারিত অণ্টৰ সংখ্যা হবে

$$\delta n = \frac{n\delta v \delta s \cos \theta}{4\pi r^2} \quad 2.3.2$$

যদি  $r \leq c \Delta t$  হয় তবে এই  $\delta n$  সংখ্যক অণ্ট  $\Delta t$  সময়ের মধ্যে  $\delta s$  তলকে আঘাত করবে। সুতরাং  $\Delta t$  সময়ের মধ্যে  $\delta s$  তলে মোট সংঘাতের সংখ্যা

$$\int_{r=0}^{c\Delta t} \int_{\theta=0}^{\pi/2} \int_{\phi=0}^{2\pi} \frac{n\delta v \delta s \cos \theta}{4\pi r^2}$$

[  $\theta$  এর উর্ধসীমা এখানে  $\pi/2$  কেননা কেবলমাত্র  $\delta s$  তলের উপরচ অর্ধগোলক থেকেই কোন অণ্ট এসে  $\delta s$  কে আঘাত করতে পারে ]

$$\begin{aligned} &= \frac{n\delta s}{4\pi} \int_{r=0}^{c\Delta t} dr \int_{\theta=0}^{\pi/2} \sin \theta \cos \theta d\theta \int_{\phi=0}^{2\pi} d\phi \\ &= \frac{nc}{4} \delta s \Delta t \end{aligned}$$

অর্থাৎ আধাৱগাত্রের একক ক্ষেত্ৰফলে একক সময়ে আঘাতকাৰী অণ্টৰ সংখ্যা  $\frac{nc}{4}$ ।

প্ৰকৃতপক্ষে গ্যাস-অণ্টৰ প্ৰতিটিৰ গতি এক নয়। একক আয়তনে  $c_1$  গতিবিশিষ্ট  $n_1$  অণ্ট,  $c_2$  গতিবিশিষ্ট  $n_2$  অণ্ট ইত্যাদি বিদ্যমান এবং এইভাবে অসংখ্য মানেৰ গতিবিশিষ্ট অণ্ট থাকা সম্ভব।  $n$  যদি অণ্টৰ মোট ঘনত্বসংখ্যা হয় তবে  $n = \sum_i n_i$  এবং অণ্টগুলিৰ গড় গতিবেগ

$\bar{c} = \frac{1}{n} \sum_i n_i c_i$ । আধাৱগাত্রের একক ক্ষেত্ৰফলে একক সময়ে আঘাতকাৰী অণ্টৰ মোট সংখ্যা বা

$$\text{অণ্টৰ সংঘাত সংখ্যা } N_o = \frac{1}{4} \sum_i n_i c_i = \frac{\bar{nc}}{4} \quad 2.3.3$$

## ২.৪ আদর্শ গ্যাসের চাপ

ইতিপূর্বে ২.৩.২ সূত্রে  $\delta v$  আয়তনে অবস্থিত ও  $\delta s$  তল-অভিযুক্ত ধারিত অণ্ডৰ সংখ্যা নির্ধারিত হ'য়েছে। এই অণ্ডগুলৰ প্রতিটি  $mc$  ভৱবেগের সংগে  $\delta s$  তলকে আঘাত করে এবং ছৃঙ্খিলাপক গোলকের ন্যায় প্রতিফলিত হয়। প্রতিফলনের ফলে ভৱবেগের স্পার্শক (tangential) উপাংশ  $mc \sin \theta$  অপরিবর্তিত থাকে। কিন্তু অভিলম্ব (normal) উপাংশ  $mc \cos \theta$  দিক পরিবর্তন ক'রে  $-mc \cos \theta$  তে পরিণত হয়। মোট পরিবর্তন  $2mc \cos \theta$   $\delta s$  তল কর্তৃক অণ্ডটির উপর প্রযুক্ত আবেগের স্বারাই সংঘটিত হয়। স্বত্বাবতঙ্গ অণ্ডটও  $\delta s$  তলের উপর সমগ্রিমাণ আবেগ প্রয়োগ করে।  $\delta n$  সংখ্যক অণ্ড কর্তৃক প্রযুক্ত মোট আবেগ  $\delta n \cdot 2mc \cos \theta$ ।

সুতরাং পূর্বের মত  $\Delta t$  সময়ে প্রযুক্ত মোট আবেগ

$$\int 2mc \cos \theta \cdot ndv \cdot \frac{\delta s \cos \theta}{4\pi r^2} \\ \cdot \frac{n \delta s}{4\pi} \cdot 2mc \int_{r=0}^{c \Delta t} dr \int_{\theta=0}^{\pi/2} \sin \theta \cos^2 \theta d\theta \int_{\phi=0}^{2\pi} d\phi \\ = \frac{1}{8} mnc^2 \delta s \cdot \Delta t$$

বাদ পূর্বের মত গ্যাস-অণ্ডৰ গতিবেগের বিভিন্নতা কম্পনা কৰা যাব। এবং একক আয়তনে  $c_i$  গতিবেগবিশিষ্ট অণ্ডৰ সংখ্যা  $n_i$  ধৰা যাব। তবে  $\delta s$  তলে  $\Delta t$  সময়ে প্রযুক্ত আবেগ হবে  $\frac{1}{8} m \delta s \Delta t \sum n_i c_i^2$ । এই নিয়ন্ত্ৰ প্রযুক্ত আবেগ আধাৰগতে যে চাপ সৃষ্টি কৰে, ধৰা যাক তাৰ মান  $P$ । সেক্ষেত্ৰে  $\delta s$  তলে  $\Delta t$  সময়ে মোট প্রযুক্ত আবেগ  $P \delta s \Delta t$ । অতএব

$$P \delta s \Delta t = \frac{1}{8} m \delta s \Delta t \sum_i n_i c_i^2$$

$$\text{বা } P = \frac{1}{8} m \sum_i n_i c_i^2$$

গতিবেগের বৰ্গেৰ গড় মান বা 'গড়বৰ্গবেগ'  $= \bar{c^2} = \frac{1}{n} \sum_i n_i c_i^2$  এবং গ্যাসেৰ

স্বল্প  $p = mn$ । সুতৰাং

$$P = \frac{1}{8} mnc^2 = \frac{1}{8} \rho c^2$$

সংঘাতসংখ্যা ও চাপের গণনা  $\Delta t$  এর বে কোনও মানের জন্যই প্রযোজ্য। প্রথম উত্তে পারে বে আধারের পরিসর অপেক্ষা  $c \Delta t$  বড় হলে এই গণনা ঠিক থাকে কিনা। মনে রাখতে হবে বে আধারের প্রাচীর অণ্ডগুলিকে সম্পূর্ণরূপে প্রতিফলিত করে।  $\delta s$  তলে অবস্থিত কোন পর্যবেক্ষকের কাছে আধারের প্রাচীর আয়নার মত কাজ করে এবং আধারের আয়ন পর্যবেক্ষকের কাছে অসীম বলে মনে হয়।

2.4.1 সূত্র থেকে সহজেই দেখা যায় বে যাদি কোনও নির্দিষ্ট পরিমাণ গ্যাসের আয়ন  $V$  ও অণ্ড সংখ্যা  $N$  হয় তবে

$$PV = \frac{1}{2} mnVc^2 = \frac{1}{2} mNc^2$$

এই  $N$  সংখ্যক অণ্ড মোট গতীয় শক্তি  $E = N \cdot \frac{1}{2} m \bar{c}^2$ , সুতরাঃ

$$PV = \frac{1}{2} E \quad 2.4.2$$

এক গ্রাম-অণ্ড গ্যাসের ক্ষেত্রে অণ্ড মোট গতীয় শক্তিকে গ্যাসের ‘আভ্যন্তরীণ শক্তি’ (internal energy) বলা হয়। ‘আভ্যন্তরীণ শক্তিকে  $U$  এবং এক গ্রাম-অণ্ড গ্যাসের আয়নকে  $V_0$  দ্বারা চিহ্নিত ক’রে লেখা যায় :

$$PV_0 = \frac{1}{2} U \quad 2.4.3$$

## ২.৫ আদর্শ গ্যাসের ধর্ম

2.4.1 সূত্রের মধ্যেই আদর্শ গ্যাসের সূত্রগুলি নির্ধারিত আছে। এই অংশে সেগুলির আলোচনা করা থাক।

### ড্যাল্টনের আংশিক চাপ সূত্র :

কোন আধারের মধ্যে যাদি অনেক প্রকার গ্যাসের মিশ্রণ থাকে এবং তাদের অণ্ড ভর  $m_i$ , ঘনত্ব সংখ্যা  $n_i$  এবং গড়বর্গবেগে  $\bar{c}_i$  1, 2, 3...ইত্যাদি পাদাংক দ্বারা চিহ্নিত হয়, তবে  $\delta s$  তলে  $\Delta t$  সময়ে মোট প্রযুক্ত আবেগ হবে

$$\begin{aligned} & \frac{1}{2} m_1 n_1 c_1^2 \delta s \Delta t + \frac{1}{2} m_2 n_2 c_2^2 \delta s \Delta t + \dots \\ &= \frac{1}{2} \delta s \Delta t \sum_i m_i n_i c_i^2 \end{aligned}$$

এই রাশি পূর্বের মত  $p \delta s \Delta t$  এর সমান, সুতরাঃ

$$P = \frac{1}{2} \sum_i m_i n_i c_i^2$$

কিন্তু  $i$ -তম গ্যাসের স্বতন্ত্রভাবে প্রযুক্ত চাপ  $P_i = \frac{1}{2} m_i n_i c_i^2$ ।

$$\therefore P = \sum_i p_i \quad 2.5.1$$

অর্থাৎ গ্যাসের মিশ্রণের মোট চাপ তাদের স্বতন্ত্রভাবে প্রযুক্ত ‘আংশিক চাপ-গুলির যোগফলের সমান। এই নিয়মকেই ড্যাল্টনের আংশিক-চাপ-সূত্র বলা হয়।

### উক্তার ধারণা ও আভোগাড়ো সূত্র :

ধৰা যাক দুইটি গ্যাস আদানভাবে একই চাপে আছে। 1 ও 2 পদাংকে  
ধৰা গ্যাস দুইটির অণুর ভর ইত্যাদিকে চিহ্নিত করলে 2.4.1 সূত্র থেকে

$$p = \frac{1}{3} m_1 n_1 \bar{c}_1^2 = \frac{1}{3} m_2 n_2 \bar{c}_2^2,$$

$$\text{অথবা } n_1 \epsilon_1 = n_2 \epsilon_2$$

2.5.2

এখানে  $\epsilon_1$  ও  $\epsilon_2$  দুই প্রকার গ্যাস অণুর গড় গতীয় শক্তি।  $\epsilon_1$  ও  $\epsilon_2$   
প্রত্যক্ষভাবে মাপা হয় না।  $\epsilon_1$  ও  $\epsilon_2$  এর সঙ্গে সম্পর্কসূত্র বে ভৌত রাশি  
ব্যবহারিক উপায়ে পরিমাপযোগ্য তা গ্যাসের উক্তা।

দুইটি গ্যাসের উক্তা সমান বলতে বোঝানো হয় যে যখন গ্যাস দুইটি  
পরস্পরের সংশ্লেষণ-আসে তখন তাদের অণুগুলির মধ্যে কোন গতীয় শক্তির  
আদানপ্রদান ঘটে না, দুইটি গ্যাসই সাম্যবস্থার থাকে। দুই প্রকার গ্যাসের  
অণুর স্বর্বর্ণের ফলে মোট গতীয় শক্তির আদানপ্রদান তখনই শূন্য হয় যখন  
 $\epsilon_1 = \epsilon_2$  হয়। ( ২.২ অংশে উল্লিখিত হ'য়েছে যে প্রকৃত আদর্শ গ্যাসের ক্ষেত্রে  
অন্তর্গত সংবর্ষ ঘটে না এবং সেহেতু গতীয় শক্তির আদানপ্রদানও হ'তে পারে  
না। এখানে এই অব্যাক্তিভাবে উপেক্ষা করা হ'ল। ) 2.5.2 সূত্রের সাহায্যে  
এখন লেখা বায়

$$n_1 = n_2$$

2.5.3

অর্থাৎ দুই গ্যাসের ঘনত্বসংখ্যা সমান। যে কোনও দুই গ্যাসের উপরাই এই  
সূত্র প্রযোজ্য সূত্রাং বলা বায় যে ‘সমান চাপ ও উক্তায় যে কোনও গ্যাসের  
ঘনত্বসংখ্যা একই।’ এই নিয়মই আভোগাড়ো সূত্র। প্রমাণ চাপ ও  
উক্তায়, অর্থাৎ 760 টুর চাপে ( 1 টুর = 1 মিলিমিটার পারদন্তভের চাপ ) ও  
বরফের গলনাংকে  $n$  এর মান প্রতি ঘন সেক্রিমিটারে  $2.687 \times 10^{19}$ । এই  
সংখ্যাকে লোশ্মিট সংখ্যা ( Loschmidt number ) বলা হয় ;

### বরেল সূত্র :

বাদ কোন গ্যাসের সংনমন বা প্রসারণের সময় তার উক্তা সমান রাখা  
বায় তবে পূর্বের ধারণা অনুযায়ী অণুগুলির গড় গতীয় শক্তি  $\epsilon$  অপরিবর্তিত  
থাকবে।  $N$  সংখ্যক অণুর গতীয় শক্তি  $E = N\epsilon$ , সূত্রাং  $E$  এর মানও  
স্থিত থাকবে। 2.4.2 সূত্র থেকে এখন লেখা বায়

$$pv = \text{ধূবক}$$

2.5.4

$p$  ও  $v$  এর এই সম্পর্ককেই বরেল সূত্র বলা হয়।

এ পর্যন্ত আমরা উক্তার হুসব্র্যুজির বিষয়ে চিন্তা করিনি। রামকোড়,

জুল ইত্যাদির পরীক্ষায় প্রমাণিত হয়েছে যে পদার্থ কর্তৃক গৃহীত গতীয় শক্তি তাপীয় শক্তিতে পরিণত হয় এবং পদার্থের উষ্ণতা বৃক্ষ পায়।  $E$  বা  $N\epsilon$ , যা  $N$  সংখ্যক গ্যাস অণুর মোট গতীয় শক্তি, তার সংগে ঐ গ্যাসের উষ্ণতা নিষ্ঠাই জড়িত হবে। উষ্ণতার পরিমাপের জন্য তাপমাত্রার (scale of temperature) ক্ষেপনা করা হয় এবং গ্যাসের উষ্ণতা স্থির করার জন্য এমন কোন বস্তুর সংগে ঐ গ্যাসের তাপীয় সাম্য আনতে হয় যার কোন পরিমেয় ধর্ম উষ্ণতাবৃক্ষির সংগে পরিবর্তিত হয়। এমন বস্তুর উদাহরণ সাধারণ পারদ তাপমান (thermometer) যার মধ্যে পারদের আয়তন উষ্ণতাবৃক্ষির সংগে বৃক্ষ পায় এবং ঐ বৃক্ষ সহজেই মাপা যায়। কিন্তু এই উপায়ে উষ্ণতা মাপার অসুবিধা আছে। পারদের আয়তন বৃক্ষ উষ্ণতা বৃক্ষের সংগে নিয়ন্ত্রিতভাবে হয় কিনা তা আমাদের অভ্যাস। ফলে “পারদ তাপমাত্রা” পারদের ধর্মের উপর নির্ভরশীল হবে। কোন বিশেষ পদার্থের ধর্মের উপর নির্ভরশীল নয় এবং নিরপেক্ষ তাপমাত্রা গঠনের এইজন্যাই প্রয়োজন।

এই অবস্থায় আদর্শ গ্যাসকেই তাপমাত্রিক পদার্থ হিসাবে ব্যবহার করা সুবিধাজনক। গ্যাস-অণুর গড় গতীয় শক্তি  $\epsilon$ -কে আদর্শগ্যাস তাপমাত্রার উষ্ণতা  $T$  এর সমানুপাত্তি বলে ধরা যাক। বস্তুতঃ আমরা  $R$  খুবকের সংজ্ঞা এমনভাবে নির্দিষ্ট করি যাতে  $2.4.3$  সূত্রে

$$PV_0 - \frac{2}{3}U = RT \quad 2.5.5$$

হয়। এই ' $R$ ' কে বলা হয় গ্যাস-ক্রিবক। আভ্যন্তরীণ শক্তি  $U$  কে  $N_0\epsilon$  ( $N_0$  = এক গ্রাম-অণু গ্যাসে অণুর সংখ্যা বা আভোগাড়ো সংখ্যা) রূপে লিখলে

$$\epsilon = \frac{3}{2} \cdot \frac{R}{N_0} \cdot T = \frac{3}{2} kT \quad 2.5.6$$

পাওয়া যায়। এখানে  $\frac{R}{N_0}$  বা  $k$  ‘বোল্সমান খুবক’ নামে পরিচিত।

**2.5.6** সূত্র থেকে  $\epsilon$  ও  $T$  এর সমানুপাতিত্ব সহজবোধ্য হবে।

আদর্শ-গ্যাস-তাপমাত্রা  $T$  এর শূন্য সহজেই নির্দিষ্ট হয়। **2.5.5** সূত্রানুযায়ী যে উষ্ণতায়  $PV_0$  এর মান শূন্য হবে তাকেই আদর্শ-গ্যাস-তাপমাত্রার শূন্য বলা হবে। বাস্তবে এই উষ্ণতায় পৌঁছানো সম্ভব নয় এবং এর অনেক অধিক উষ্ণতায় সমস্ত গ্যাস তরলে রূপান্তরিত হয়। তবে বাহির্মূল্যাঙ্কনের (extrapolation) সাহায্যে এই উষ্ণতার অবস্থান নির্ণয় করা যায়।

$R$  ( এবং সেইসঙ্গে  $k$  ) এর মান নির্দিষ্ট করার জন্য শূন্য ব্যতীত অপর কোন নির্দিষ্ট অবস্থাতে  $T$  এর মান স্থির করা প্রয়োজন। প্রমাণ চাপে বরফের গলনাংককে এই হিসাবে  $273^{\circ} \cdot 16$  বলা যাক।  $R$  এর মান এইভাবে নির্দিষ্ট হ'লে আদর্শ গ্যাস তাপমাত্রাও নির্দিষ্ট হয়ে কেবল ‘ $PV_0$ ’ এর পরিমাপ ক'রে যে কোন অবস্থায়  $T$  এর মান নির্ণয় করা যায়। এই তাপমাত্রাকে ‘কেলভিন তাপমাত্রা’ও বলা হয় এবং এইভাবে নির্দিষ্ট তাপমাত্রার ডিগ্রীকে বলা হয়  $1^{\circ} K$  বা এক ডিগ্রী কেলভিন।  $273 \cdot 16$  রাশিটিকে বেছে নেওয়ার কারণ এই যে প্রমাণ চাপে বরফের গলনাংক থেকে জলের স্ফুটনাংকের প্রভেদ এই তাপমাত্রায়  $100^{\circ}$  হয়। বরফের গলনাংক বা  $273 \cdot 16^{\circ} K$  কে  $0^{\circ}$  এবং জলের স্ফুটনাংক বা  $373 \cdot 16^{\circ} K$  কে  $100^{\circ}$  ধরলে যে তাপমাত্রা পাওয়া যায় তাই আমাদের দৈনন্দিন জীবনে ব্যবহৃত সেক্ষ্টেগ্রেড বা সেলসিয়াস (celsius) তাপমাত্রা।

তাপগার্তিবিদ্যায় দেখা যায় যে প্রত্যাবর্তক (reversible) এঞ্জিনের ধর্ম ব্যবহার ক'রে এক নিরপেক্ষ তাপমাত্রার শূন্যাকে এবং দুইটি বন্ধুর উষ্ণতার অনুপাতকে নির্দিষ্ট করা যায়। এক্ষেত্রেও প্রমাণ চাপে বরফের গলনাংক ও জলের স্ফুটনাংকের প্রভেদকে  $100^{\circ}$  ধরা হয় এবং তার ফলে যে নিরপেক্ষ তাপগার্তিক তাপমাত্রা (Thermodynamic scale of temperature) পাওয়া যায় তা পূর্বের আদর্শ-গ্যাস-তাপমাত্রা থেকে অভিম।

গ্যাস-ধূবক ‘ $R$ ’ এর পরীক্ষালক মান প্রতি গ্রাম অণ্ড পিছু  $8 \cdot 317$  Joule/ $^{\circ}K$ । আভোগাঞ্জো সংখ্যার মান  $6 \cdot 0247 \times 10^{23}$  ( 32 গ্রাম  $O_2^1$  গ্যাসে অণ্ডের সংখ্যা ) ধরে বোল্টস্মান ধূবকের মান পাওয়া যায়  $1 \cdot 3805 \times 10^{-23}$  Joule/ $^{\circ}K$ ।\*

অণ্ড গড় গতীয় শর্ত

$$\frac{1}{2}mc^2 - \epsilon = \frac{3}{2}kT \quad ( 2.5.6 \text{ সূত্র থেকে } )$$

হ'লে 2.4.1 সূত্র থেকে চাপের মান পাওয়া যায়

$$P = nkT \quad 2.5.7$$

2.5.6 সূত্র থেকে অণ্ড মূল গড় বর্গ বেগের মানও পাওয়া যায় :

$$\sqrt{\bar{c}^2} - \sqrt{\frac{3kT}{m}} \quad 2.5.8$$

\* অধুনা ব্যবহৃত  $C_{12}$  মানে  $N_0 = 6.0225 \times 10^{23}$  ( 12 গ্রাম  $C_{12}$  এর অণ্ডের সংখ্যা ),  $R = 8 \cdot 3143$  Joule/ $^{\circ}K$ ।

## অণুর আয়তন ও অবাধপথ

### ৩.১ অণুর আয়তন

বাস্তব গ্যাসের ক্ষেত্রে অণুর আয়তনকে উপেক্ষা করা চলে না। প্রত্যক্ষ-ভাবে অণুর আয়তনের পরিমাপ সম্ভবপর না হ'লেও নানা পরোক্ষ উপায়ে এই আয়তনের কিছুটা ধারণা পাওয়া যায়। মনে রাখা প্রয়োজন যে কোরাটোম-তত্ত্ব অনুযায়ী অণুর কোন নির্দিষ্ট সীমানা নেই, সুতরাং কোন নির্দিষ্ট আয়তনও নেই। 2.1 অংশে অণুকে যে অর্থে কঠিন গোলকরূপে কম্পনা করা হয়েছে এখানে সেই অর্থেই ঐ গোলকের আয়তন সম্পর্কে আলোচনা করা হবে।

অণুর ব্যাস নির্ণয়ের একটি সরল উপায় তরলের মধ্যে অণুগুলি ঘতদূর সম্ভব ঘনসমূহবৰ্দ্ধ অবস্থায় থাকে ব'লে কম্পনা করা। সমান মাপের অনেকগুলি গোলককে সর্বান্বিত আয়তনের মধ্যে রাখার উপায় সেগুলিকে চতুষ্কলক বিন্যাসে (Tetrahedral packing) সংজ্ঞিত করা। এই প্রকার বিন্যাসে 'পরম্পর স্পর্শকারী চারিটি অণুর কেন্দ্র এক চতুষ্কলকের (Tetrahedron) চার শীর্ষে অবস্থিত থাকে। এবং  $\sigma$  ব্যাসের প্রাংতিটি অণু  $\frac{8}{3\sqrt{15}} \sigma^3$  আয়তন দখল ক'রে থাকে ( চিত্র ৩.১ )। কিন্তু তরলের ঘনত্ব  $\rho$  ও আর্গাবিক ভর  $M$  হ'লে প্রতি অণুর অধিকৃত আয়তন  $\frac{M}{N_0 \rho}$  এর সমান। দুই মানের সমতা থেকে পাওয়া যায়

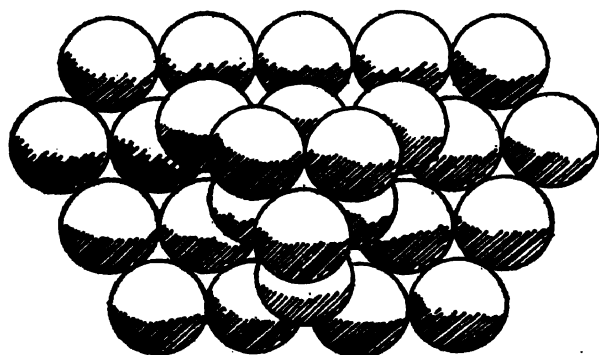
$$\cdot \left[ \frac{3\sqrt{15}}{8} \cdot \frac{M}{N_0 \rho} \right]^{\frac{1}{3}} \quad 3.1.1$$

বিভিন্ন গ্যাসের তরল অবস্থায় ঘনত্ব থেকে 3.1.1 সূত্রের সাহায্যে নির্ধারিত অণুর ব্যাসের মান ৩.১ সারণীতে দেখানো হ'ল। অণুর ব্যাস আরও কয়েকটি উপায়ে নির্ণয় করা যায়, যথা ভ্যান-ডার-ওয়ালস্ অবস্থা সরীকরণের  $b$  ধূবক থেকে বা গ্যাসের সামৃতার মান থেকে। বিভিন্ন উপায়ে নির্ণীত মানগুলির মধ্যে অল্প পার্থক্য থাকলেও মোটামুটিভাবে সমস্ত সাধারণ গ্যাসের অণুর ব্যাসই কয়েক  $\text{A}^*$  এককের ( $10^{-8} \text{ cm.}$ ) সমান।

গ্যাস	আণবিক ভর $M$	সন্ত $\rho$ (তরল অবস্থার) ( $gm/CC$ )	উক্তা $T$ ( $^{\circ}C$ )	অণুর ব্যাস $\sigma$ ( $\text{\AA}$ )
H <sub>2</sub>	2·016	·089	- 267	3·79
N <sub>2</sub>	28·02	1·035	- 269	4·03
O <sub>2</sub>	32·00	1·460	- 253	3·75
Cl <sub>2</sub>	70·91	2·030	- 160	4·38
He	4·003	·120	4·22 °K	4·32
Ne	20·18	1·442	- 268	3·23
A	39·94	1·656	- 233	3·87
Kr	83·80	3·000	- 188	4·07
H <sub>2</sub> O	18·02	1·000	4	3·52

### ৩.১ সারণী—চতুর্ভুলক বিন্যাস থেকে অণুর ব্যাস

অণুর অনুপেক্ষণীয় আয়তনের প্রতাক্ষ ফল গ্যাস অণুর বিচ্ছিন্নত পারম্পরিক সংবর্ধ। দুই সংবর্ধের মধ্যে কোন অণু সরলরেখায় যে পথ অতিক্রম করে তার



চিত্র ৩.১—চতুর্ভুলক বিন্যাস

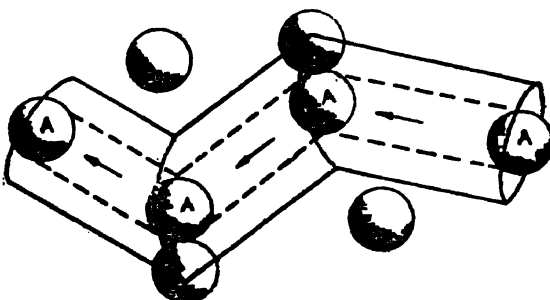
নাম “অবাধ পথ” (free path)। একটি বিশেষ অণু উপর্যুক্তির যে সকল অবাধ পথ অতিক্রম করে তাদের গড়কেই ঐ বিশেষ অণুর “গড় অবাধ পথ”

(mean free path) বলা হয়। যদি একাধিক আকারের অণ্ড একত্রে অবস্থান করে তবে গড় অবাধ পথের মান বিভিন্ন প্রকার অণ্ডের ক্ষেত্রে বিভিন্ন হবে।

### ৩.২ গড় অবাধ পথের তাত্ত্বিক মান নির্ণয়

ধরা যাক কোন গ্যাসের মধ্যে অণ্ডের ঘনসংখ্যা  $n$  এবং প্রতিটির ব্যাস  $\sigma$ । এদের কোন একটিকে  $A$  নামে চিহ্নিত করা হ'ল। আমরা  $A$  অণ্ডটির গড় অবাধ পথের মান নির্ণয় করব।

$A$  অণ্ডের নিজৰ গতিবেগকে  $v$  এবং অন্যান্য অণ্ডের তুলনায়  $A$  অণ্ডের গড় আপোক্ষিক গতিবেগকে  $v'$  বলা যাক। কম্পনা করা যেতে পারে যে অন্যান্য নিশ্চল অণ্ডের মধ্যে দিয়ে  $A$  অণ্ডটি  $v'$  গতিতে ধার্বিত হ'চ্ছে। অন্য যে কোনও অণ্ডের সংগে ঘন্থন  $A$  অণ্ডের সংবর্ধ হয় তখন দুই অণ্ডের কেন্দ্র পরস্পর থেকে  $r$  দূরত্বে থাকে।  $A$  অণ্ডের সংগে সমকেন্দ্রিক  $\sigma$  ব্যাসার্থের এক গোলক কম্পনা করা যাক। এই গোলক ঘন্থন  $A$  অণ্ডের সংগে  $v'$  গতিবেগে ধার্বিত হবে তখন  $\pi \sigma^2$  প্রস্থচ্ছেদের এক বেলনাঙ্কৃতি আয়তন এই গোলক দ্বারা অভিক্ষেপ্ত হবে। ঐ আয়তনের মধ্যে যদি অন্য কোন অণ্ডের কেন্দ্র অবস্থিত থাকে তবে সেই অণ্ডের সংগে  $A$  অণ্ডের সংবর্ধ হবে, ফলে  $A$  অণ্ডের গতিবেগের দিক পরিবর্তিত হবে (চিত্ৰ ৩.২)।  $A$  অণ্ডের সমকেন্দ্রিক  $\sigma$  ব্যাসার্থের যে গোলক কম্পনা করা হ'চ্ছে তাকে  $A$  অণ্ডের ‘প্রভাব গোলক’ (Sphere of influence) বলা হয়।



চিত্ৰ ৩.২

অন্যান্য অণ্ডের তুলনায় এই প্রভাবগোলক  $\Delta^*$  সময়ে  $v\Delta^*$  পথ অতিক্রম করে। এই সময়ে প্রভাবগোলকের অভিক্ষেপ্ত আয়তন  $\pi \sigma^2 \cdot v\Delta^*$ । এই আয়তনে গড়ে  $n \cdot \pi \sigma^2 \cdot v\Delta^*$  সংখাক অণ্ড থাকে। সুতরাং  $\Delta^*$  সময়ে  $A$  অণ্ডের সমসংখ্যক সংবর্ধ হবে। কিন্তু  $\Delta^*$  সময়ে  $A$  অণ্ডের প্রকৃত গতিপথের

দৈর্ঘ্য  $u\Delta t$ । সূতৰাং দুই সংসর্কের মধ্যে  $A$  অণ্ডৰ গড় অভিজ্ঞত দৈর্ঘ্য বা গড় অবাধপথ  $\lambda = \frac{u\Delta t}{n \cdot \pi \sigma^2 \cdot v\Delta t} = \frac{u}{\pi n \sigma^2}$  3.2.1

এৱ আৰু

**প্রাথমিক পক্ষতি :** বিশ্লেষণের সুবিধাৰ জন্য ধৰা বাক  $A$  অণ্ডৰ গাত্তবেগ  $C$  এবং অন্যান্য অণ্ডৰ গাত্তবেগ  $C$  এৱ তুলনায় উপেক্ষণীয়। এই অবস্থাম

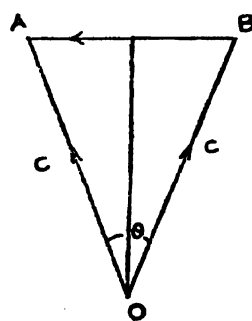
$$u = v = C \quad 3.2.2$$

3.2.1 সূত্রে এই মান ব্যবহার ক'রে দেখা যায়

$$\lambda = \frac{1}{\pi n \sigma^2} \quad 3.2.3$$

এই পক্ষতি সাধাৱণ গ্যাসেৰ ক্ষেত্ৰে বাস্তবানুগ না হ'লেও বিশেষ ক্ষেত্ৰে, যদি গ্যাসেৰ মধ্যে উচ্চগাতিসম্পন্ন ইলেক্ট্ৰনৰ গড় অবাধ পথ নিৰ্ণয়ে এই পক্ষতি উপযোগী। ৩.৬ অংশে এ সহজে আলোচনা কৰা হবে।

**ক্রিয়াসেৰ পক্ষতি :** এই পক্ষতিতে প্রতি অণ্ডৰ গাত্তবেগই  $C$  ধৰা হৈ। এক্ষেত্ৰে  $u=C$ ।  $v$ -এৱ মান নিম্নলিখিত উপায়ে বাব কৰা যায়। ধৰা বাক ভেট্টৰ  $OA$  এবং  $OB$  যথাক্রমে  $A$  অণ্ড এবং অন্য কোন অণ্ড  $B$  এৱ গাত্তবেগ বোঝায় ( চিত্ৰ ৩.৩ )। উভয়েৰ দৈর্ঘ্যই  $C$  এৱ সমান এবং  $\theta$  তাদেৱ

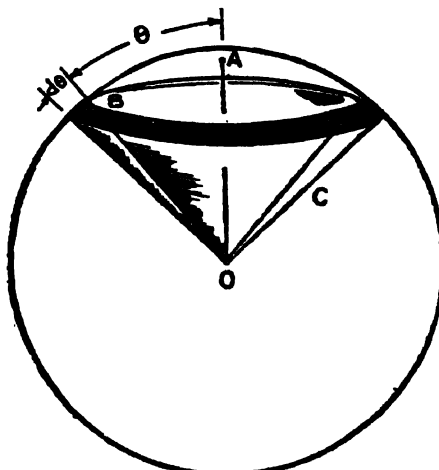


চিত্ৰ ৩.৩

অন্তৰ্গত কোণ।  $B$  এৱ তুলনামূলক  $A$  অণ্ডৰ আপেক্ষিক গাত্তবেগে  $BA$  ভেট্টৱেৰ সমান। এই গাত্তবেগেৰ মান  $= BA$  ভেট্টৱেৰ দৈর্ঘ্য

$$= 2C \sin \frac{\theta}{2}$$

$\theta$  কোণের বিশ্বর মানের জন্য এই রাশির গড় নির্ণয় করতে  $\theta$  এর বক্টরসূচ জানা প্রয়োজন।  $O$  বিন্দুকে কেন্দ্র ক'রে  $C$  বাসার্ধের এক গোলক কম্পনা



চিত্র ৩.৪

করা যাব।  $A$  ও  $B$  বিন্দুদ্বয় এই গোলকের উপর অবস্থিত হবে (চিত্র ৩.৪)।  $A$  বিন্দুকে স্থির ধরলে  $B$  বিন্দু গ্যাসের সমদৈর্ঘ্যকতা হেতু গোলকের তলে যে কোন স্থানে সমান সম্ভাবাতায় অবস্থিত হ'তে পারে।  $OA$  কে অঙ্ক ধ'রে  $\theta$  এবং  $\theta + d\theta$  অধিশিরঃকোণ বিশিষ্ট দুইটি শক্ত কম্পনা করলে গোলকের বলয়াকৃতি ছায়াচ্ছিত অংশ এই দুই শক্তুর মধ্যে অবস্থিত হবে এবং  $B$  বিন্দু এই অংশের মধ্যে অবস্থিত হ'লে  $\angle AOB$  এর মান  $\theta$  ও  $\theta + d\theta$  এর মধ্যে থাকবে। সূতরাং  $\angle AOB$  এর মান  $\theta$  ও  $\theta + d\theta$  এর মধ্যে থাকার

$$\text{সম্ভাব্যতা} = \frac{\text{বলয়াকৃতি অংশের ক্ষেত্রফল}}{\text{গোলকভূমির মোট ক্ষেত্রফল}}$$

$$= \frac{2\pi C \sin \theta \cdot C d\theta}{4\pi C^2} \quad ( \text{কেননা বলয়াকৃতি অংশের বাসার্ধ } C \sin \theta \text{ এবং প্রস্থ } C \cdot d\theta )$$

$$= \frac{1}{2} \sin \theta \ d\theta$$

$$\text{সূতরাং } v = \int_{\theta=0}^{\pi} 2C \sin \frac{\theta}{2} \cdot \frac{1}{2} \sin \theta \ d\theta * = \frac{4}{3} C$$
3.2.4

\* কোন চলমাণি  $x$  এর মান  $x$  ও  $x+dx$  সীমার মধ্যে থাকার সম্ভাব্যতা

### ৩.২.১ সূত্র থেকে পাওয়া বায়

$$\lambda = \frac{3}{4\pi n \sigma^3} \quad 3.2.5$$

সঠিকভাবে গড় অবাধপথের তাত্ত্বিক মান নির্ণয়ের জন্য গ্যাসঅণুর গতিবেগের বক্টরসূত্র সমকে ধারণা থাকা প্রয়োজন। ম্যানুয়েলের বেগবক্টনসূত্র অনুযায়ী গড় অবাধপথের মান হিসাব করলে পাওয়া বায়

$$\lambda = \frac{1}{\sqrt{2\pi n \sigma^2}} \quad 3.2.6$$

চতুর্থ অধ্যায়ে এই সূত্র প্রমাণিত হবে।

### ৩.৩ চাপ ও উক্তার সংগে গড় অবাধপথের সম্পর্ক

৩.২.৬ সূত্র অনুযায়ী  $\lambda \propto \frac{1}{n \sigma^2}$ । নির্দিষ্ট উক্তায়  $n$  বা গ্যাসের ঘনত্ব-সংখ্যা চাপ  $p$  এর সমানুপাতী ( ২.৫.৭ সূত্র )। সূত্রাঃ

$$\lambda \propto \frac{1}{p} \quad 3.3.1$$

নির্দিষ্ট আয়তনে গ্যাসের উক্তা পরিবর্তিত হলেও  $n$  অপরিবর্তিত থাকে। কিন্তু  $\sigma^2$  এর মান উক্তায় সংগে অঙ্গমাত্রায় পরিবর্তিত হয়। গ্যাস অণুগুলির পরস্পরের মধ্যে যে অঙ্গমাত্রার দুর্বল আকর্ষণ কাজ করে তার ফলে গ্যাস অণুর অন্যান্য অণুর সংগে সংবর্ধের হার সামান্য বৃদ্ধি পায়। এর ফলে  $\lambda$  এর মান সামান্য হ্রাসপ্রাপ্ত হয়। কিন্তু উক্তা এবং সেইসঙ্গে সংবর্ধমান গ্যাস অণুগুলির আপেক্ষিক গতিবেগ বত বৃদ্ধি পায় উল্লিখিত আকর্ষণী বলের প্রভাব তত হ্রাস পায়। দেখানো বায় যে  $\lambda$  এর প্রকাশার্থে ব্যবহৃত ইলিমিলার  $\sigma^2$  এর স্থানে  $\sigma^2 \left( 1 + \frac{b}{T} \right)$  ব্যবহার করা যেতে পারে। এখানে  $\sigma^2 =$  অসীম উক্তায়  $\sigma$  এর মান,  $b =$  ধূবক, বায় মান গ্যাস-অণুর আকর্ষণী বলের পরিমাণ ও প্রকৃতির উপর নির্ভরশীল এবং  $T =$  নিরপেক্ষ উক্তা। স্পষ্টতই,

$$\lambda \propto \frac{1}{1 + \frac{b}{T}} \quad 3.3.2$$

অর্থাৎ উক্তা বাড়লে গড় অবাধপথও সামান্য বৃদ্ধি পায়।

বাদি  $P(x) dx$  হবে  $x$  এর বে কোনও অপেক্ষক  $f(x)$  এর গড় মান  $\bar{f}(x) = \int f(x) P(x) d(x)$ । এই সমাকলন  $x$  এর সকল সম্ভবপর মানের উপর ব্যাপ্ত।

### ৩.৪ অবাধপথের দৈর্ঘ্যের বক্টর

গ্যাসের নির্দিষ্ট কোন অণুর অবাধপথের মান আধাৰ প্রাচীৱের সংগে সংৰ্ব উপেক্ষা কৰলে শূন্য থেকে অসীম পৰ্যাপ্ত হওয়া সম্ভব। ধৰা যাক কোন অণুর পতিপথে  $x$  দৈৰ্ঘ্যৰ মধ্যে কোন সংৰ্ব না হওয়াৰ সন্তাবাতা  $f(x)$  এবং পৱিত্ৰ  $dx$  দৈৰ্ঘ্যৰ মধ্যেই অণুটিৰ সংৰ্ব হওয়াৰ সন্তাবনা  $F(x) dx$ ।  $f(x)$  ও  $F(x)$  অপেক্ষকবৰ্যেৰ প্ৰকৃতি নিৰ্গং কৰাই আমদেৱ প্ৰয়োজন।

ধৰা যাক কোন একটি অণু  $x$  দৈৰ্ঘ্যৰ পথ বিনা সংৰ্বে অতিক্ৰম ক'ৰেছে। এৱ পৱিত্ৰ  $dx$  দৈৰ্ঘ্যে অণুটিৰ প্ৰভাৱগোলক যে আয়তন অতিক্ৰম কৰে তাৰ মধ্যে অন্য কোন অণুৰ কেন্দ্ৰ অবস্থিত হওয়াৰ সন্তাবাতা  $F(x) dx$  এৱ সমান। স্পষ্টতই এই সন্তাবাতা  $x$  এৱ উপৰ নিৰ্ভৱশীল হবে না এবং  $dx$  এৱ সমানুপাতী হবে। অৰ্থাৎ, আমৰা লিখতে পাৰি

$$F(x) dx = P dx \quad (P = \text{ধূৰক}) \quad 3.4.1$$

যে কোনও  $dx$  দৈৰ্ঘ্যৰ পথে অণুটিৰ সংৰ্ব না হওয়াৰ সন্তাবাতা  $(1 - P dx)$ । সুতৰাং অণুটিৰ  $x$  দৈৰ্ঘ্যৰ পথ বিনা সংৰ্বে অতিক্ৰম কৰা এবং সেইসঙ্গে পৱিত্ৰ  $dx$  দূৰহৰে কোন সংৰ্ব না হওয়াৰ মুগ্ধ সন্তাবাতা  $f(x) \cdot (1 - P dx)$ । কিন্তু এই রাশি প্ৰকৃতপক্ষে  $x + dx$  দূৰত্ব বিনা সংৰ্বে অতিক্ৰম কৰাৰ সন্তাবাতাৰ সমান। কাজেই

$$f(x + dx) = f(x) (1 - P dx)$$

$f(x + dx)$  কে টেলৰ শ্ৰেণীতে  $f(x) + \frac{df(x)}{dx} \cdot dx$  লিখলে পাৰিব যাৰ

$$\frac{df(x)}{f(x)} = - P dx$$

$$\text{সমাকলন দ্বাৰা } \ln f(x) = - Px + \ln A \quad (\ln A = \text{সমাকলন ধূৰক})$$

$$\text{বা } f(x) = Ae^{-Px}$$

$A$  ও  $P$  এই দুইটি অজ্ঞাত ধূৰকেৰ মান নিৰ্গং কৰতে আমৰা নিয়োজ দুইটি তথ্য ব্যবহাৰ কৰতে পাৰি।

1.  $x$  যত ছোট হয়,  $f(x)$  মান তত বাড়ে। অবশেষে যখন  $x = 0$  হয়,  $f(x) = 1$  হয়।
2. সমস্ত অবাধপথেৰ গড় মান  $\lambda$  এৱ সমান হবে।

প্রথম তথ্য অনুযায়ী  $A = 1$ । সূতরাং  $f(x) = e^{-Px}$ । এখন কোন অবাধপথের দৈর্ঘ্য  $x$  ও  $x+dx$  এর মধ্যে থাকার সম্ভাব্যতা,  $\phi(x) dx$ , প্রথমে  $x$  দৈর্ঘ্য বিলাস সংবর্ধে অতিক্রম করা ও পরবর্তী  $dx$  দৈর্ঘ্যে সংবর্ধ হওয়ার বৃক্ষ সম্ভাব্যতার সমান। এই সম্ভাব্যতার মান  $e^{-Px} \cdot P dx$ । অতএব গড় অবাধপথ বা

$$\begin{aligned}\lambda &= \int_{x=0}^{\infty} x \cdot e^{-Px} \cdot P dx \\ &= \frac{1}{P}\end{aligned}$$

$$\therefore P = \frac{1}{\lambda} \quad \text{এবং } f(x) = e^{-\frac{x}{\lambda}} \quad 3.4.2$$

অবাধপথের মান  $x$  ও  $x+dx$  এর মধ্যে থাকার সম্ভাব্যতা।

$$\phi(x) dx = e^{-Px} \cdot P dx = \frac{1}{\lambda} e^{-x/\lambda} dx \quad 3.4.3$$

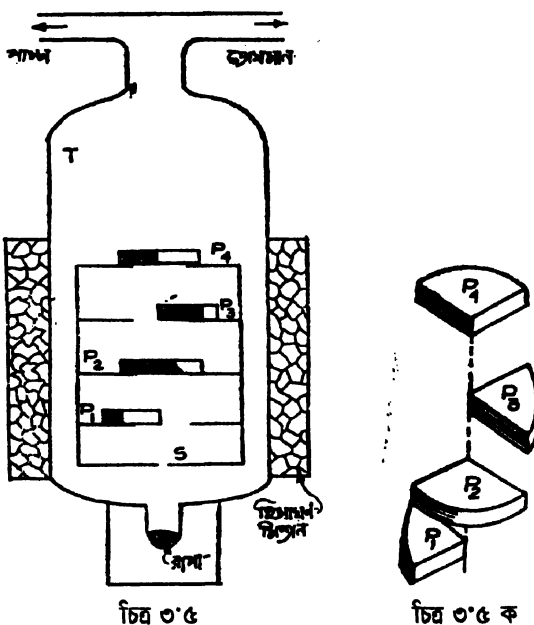
$f(x)$  এবং  $\phi(x)$  উভয়ই  $x$  এর মান বৃদ্ধির সংগে সূচক (exponential) নিয়মানুযায়ী হ্রাসপ্রাপ্ত হয়।  $x \rightarrow \infty$  সীমায় উভয়ের মানই শূন্য হয়। সহজেই দেখা যায় মোট অবাধপথের মাত্র 37% গড় অবাধপথ অপেক্ষা দীর্ঘতর হয়। 4.6  $\lambda$  অপেক্ষা দীর্ঘতর হয় অবাধপথের মাত্র 1%।

### ৩.৫ ব্যবহারিক উপায়ে গড় অবাধপথের মান নির্ণয়

১৯২০ খ্রিস্টাব্দে মার্ক্স বৱল্ম (Max Born) বিভিন্ন গ্যাসের মধ্যে বৃপ্তির অণ্ডার গড় অবাধপথের পরিমাপ করেন। বর্ণের পরীক্ষায় অবাধপথ সম্পর্কে তাঁকে ধারণার সত্যতাও প্রতিপন্থ হয়।

**ব্যবহারিক পরীক্ষা :** ব্যবহৃত ঘন্টের বিন্যাস ৩.৫ চিঠ্ঠে দেখানো হল। এখানে  $T$  একটি কোয়ার্জ নির্মিত ফাঁপা বেলন। এর নিম্নাংশ একটি কুন্দু পাত্রের মত এবং তার মধ্যে কিছু বৃপ্তি উৎপন্ন করা হয়। বাস্পীভূত বৃপ্তি  $S$  ছিন্নের মধ্যে দিয়ে অণ্ডারিশ্ব বৃপ্তি নির্গত হয়। বেলনের মধ্যে মধ্যস্থলে গোলছন্দু বিশিষ্ট চার্কটি পিতলের চার্কাত সমান উচ্চতা অন্তর সাজানো আছে। প্রতিটি চার্কাতের উপর বৃত্তের এক-চতুর্থাংশ আকৃতির একটি কাচের পাত (১<sub>১</sub>, ১<sub>২</sub>, ১<sub>৩</sub> বা ১<sub>৪</sub>) রাখা আছে। এই পাতগুলি এমনভাবে সাজানো

থাকে যেন তাদের সমকোণী শীর্ষগুলি বেলনের অক্ষের উপর থাকে এবং প্রতিটি পরবর্তীটির তুলনায়  $90^{\circ}$  কোণে ঘোরানো থাকে (চিত্ৰ ৩.৫ ক)।  $S$  ছিদ্র থেকে পাতগুলির দূরত্বকে  $x_1, x_2, x_3$  ও  $x_4$  বলা যাক।



পিতলের চাকতি ও কাচের পাতগুলিকে শীতল রাখার জন্য বেলনের কিছু অংশ হিমায়ণ-মিশ্রণে বেষ্টিত থাকে।  $T$  এর সংগে করেক্টি নল দ্বারা পাম্প ও প্রেসুরান বৃক্ত থাকে।  $T$  এর মধ্যে যে কোণও গ্যাস প্রবেশ করানো যায় এবং তার চাপ নিয়ন্ত্রণ করা যায়।

বেলনের নিয়াৎশে রাষ্ট্রিক্ত রূপা উভয় হ'লে রূপার অণ্ড  $S$  ছিদ্রের মধ্য দিয়ে নির্গত হ'য়ে কাচের পাতগুলির শীর্ষাংশের উপর পড়ে। পাতগুলি হিমায়িত থাকায় অণ্ডগুলি তাদের গতীয় শক্তি হারায় এবং কাচের উপর প্রলেপ সৃষ্টি করে। বিভিন্ন পাতের উপর প্রলেপের গভীরতায় তুলনা করার জন্য আলোকার্মাতির (photometry) সাহায্য নেওয়া হয়।

বেলনটিকে প্রথমে ঘতদূর স্তুব গ্যাসশূন্য করা হয়। এই অবস্থায় চারটি কাচের পাতের উপর যে প্রলেপ পাওয়া যায়, ধরা যাক তাদের গভীরতা  $D_1, D_2, D_3$  ও  $D_4$ । উচ্চতার সংগে রূপার অণ্ডগুলি ক্রমশঃ

হাড়মে পড়ার ফলে এই চারটি গভীরতার মানে সামান্য তারতম্য হয়। বেলনের মধ্যে এখন কোন গ্যাস আকাঙ্ক্ষিত চাপে প্রবেশ করানো হ'ল। পুনরায় কাচের উপর যে প্রলেপ পাওয়া যাবে, ধরা যাক তাদের গভীরতা  $d_1, d_2, d_3$  ও  $d_4$ । পূর্বের থেকে এই রাশিগুলি দুই কারণে বিভিন্ন হবে। বিভীরক্ষেত্রে রূপার কিছু অণ্ট বেলনমধ্যস্থ গ্যাসের অণ্টগুলির সংগে সংঘর্ষের ফলে অণ্টরিঞ্চ থেকে অপসৃত হবে। গ্যাসের মধ্যে রূপার অণ্ট গড় অবাধপথ  $\lambda$  হলো অণ্টগুলির মান  $e^{-x_1/\lambda}, e^{-x_2/\lambda}$  ইত্যাদি অংশ কাচের উপর পড়বে এবং প্রলেপের গভীরতাও সমানুপাতে হ্রাসপ্রাপ্ত হবে। এছাড়া দুইক্ষেত্রে অণ্টরিঞ্চের তীব্রতা ও প্রলেপনের সময়ের বিভিন্নতার জন্য এক সমানুপাত ঝুঁক (k) ও অন্তর্ভুক্ত হবে। সূতরাং

$$d_1 = k D_1 e^{-x_1/\lambda}; \quad d_2 = k D_2 e^{-x_2/\lambda} \text{ ইত্যাদি} \quad 3.5.1$$

এরূপ চারটি সূত্রের যে কোনও দুইটি থেকেই  $\lambda$  এর মান পাওয়া যাবে যথা :

$$\lambda = \frac{x_2 - x_1}{\ln \left[ \frac{d_1}{d_2} \cdot \frac{D_2}{D_1} \right]} \quad 3.5.2$$

$x_1$  ও  $x_2$  পৃথকভাবে জানা না থাকলেও  $(x_2 - x_1)$ , অর্থাৎ  $P_1$  ও  $P_2$  এর মধ্যে ব্যবধান সূজ্জিভাবে মাপা যায়।  $\frac{d_1}{d_2}$  এবং  $\frac{D_1}{D_2}$  এর মান ব্যবহার ক'রে গড় অবাধপথ  $\lambda$  এর মান পাওয়া যেতে পারে।

ব্রনের পরীক্ষায় ( $x_2 - x_1$ ) এর মান ছিল 1 cm.।  $4.5 \times 10^{-8}$  ও  $5.8 \times 10^{-8}$  টো চাপে বায়ুর মধ্যে  $\lambda$  এর মান পাওয়া যায় যথাক্রমে 2.4 ও 1.7 cm.।  $p\lambda$  এর মান দুই ক্ষেত্রে প্রায় সমান। এছাড়া  $\lambda$  এর পরীক্ষালক্ষ মান বায়ু ও বাস্পীভূত রূপার সান্ততার থেকে হিসাব ক'রে যে মান আশা করা যায় তার সংগে মেলে। সূতরাং ব্রনের পরীক্ষা থেকে 3.4.2 সূত্রের সত্যতা যেমন প্রমাণিত হয় তেমনই 3.3.1 সূত্রের  $\lambda$  ও  $p$  এর সম্পর্কও সত্য প্রতিপন্থ হয়। এই পরীক্ষায় রূপার অণ্ট যে গড় অবাধপথের পরিমাপ করা হয় তার তত্ত্বগত প্রকৃতি ৪.৯ অংশে আলোচিত হবে।

### ৩.৬ ইলেক্ট্রনের গড় অবাধপথ

গ্যাসের মধ্যে ইলেক্ট্রনের গড় অবাধপথের তাত্ত্বিকমান হিসাব করতে হ'লে দুইটি বিষয়ে লক্ষ্য রাখা প্রয়োজন। প্রথমতঃ, সাধারণ অবস্থায় গ্যাস অণ্ট

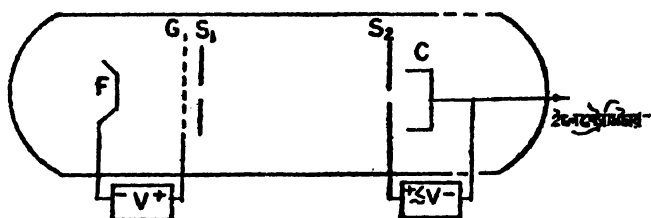
তুলনায় ইলেক্ট্রনের গতিবেগ অনেক বেশী হয়।  $300^{\circ}\text{K}$  ( $27^{\circ}\text{C}$ ) উভতাম  $M$  আণবিক ভৱ বিশিষ্ট গ্যাস-অণুৱ মূল গড় কৰ্তবেগ প্রায়  $\frac{2.7}{\sqrt{M}}$  km/sec। অপৱপক্ষে  $V$  ভোট বিভবপ্রভেদ দ্বাৰা স্বীকৃত ইলেক্ট্রনের গতিবেগ প্রায়  $600 \sqrt{V}$  km/sec (আপেক্ষিকবাদী নম, এমন গতিতে, অৰ্থাৎ  $V < 0.51 \times 10^6$  হ'লে)।  $M = 28$  (নাইট্রোজেন গ্যাসেৰ ক্ষেত্ৰে) এবং  $V = 1$  ধৰলে ইলেক্ট্রনের গতিবেগ নাইট্রোজেন অণুৱ তুলনায় প্রায় 1200 গুণ বেশী হ'তে দেখা যায়। এই অবস্থায় নাইট্রোজেন অণুৱ গুলিকে ছিৱ ধৰে নেওয়া অযোৰ্জিক নম। স্বতীয়তঃ সাধাৰণ গ্যাস অণুৱ ব্যাস ঘেৰানে  $10^{-8}$  cm এৰ মত, সেখানে ইলেক্ট্রনের ব্যাস মাত্ৰ  $10^{-13}$  cm এৰ কাছাকাছি। সূত্ৰাঙ ইলেক্ট্রনকে প্ৰকৃত বিন্দুভৱ হিসাবে কম্পনা কৰা ঘেতে পাৱে এবং ইলেক্ট্রনেৰ প্ৰভাৱগোলকেৰ ব্যাসাৰ্ধকে গ্যাস অণুৱ ব্যাসাৰ্ধেৰ সমান বলে ধৰা ঘেতে পাৱে। 3.2.3 সূত্ৰে ‘০’ এৰ স্থলে গ্যাসঅণুৱ ব্যাসাৰ্ধ  $r$  ব্যবহাৰ কৰলেই ইলেক্ট্রনেৰ গড় অবাধপথ জানা ঘেতে পাৱে, অৰ্থাৎ

$$\lambda_{0.1} = \frac{1}{\pi r^2} \quad 3.6.1$$

লেনাৰ্ড ( ১৮৯৫ ) সৰ্বপ্ৰথম ব্যবহাৰিকভাৱে প্ৰমাণ কৰেন যে যথন কোন ইলেক্ট্রন ৱৰ্ণন গ্যাসেৰ মধ্যে  $x$  দূৰত্ব অৰ্তিকৰণ কৰে তখন ইলেক্ট্রন-সংখ্যা  $e^{-ax}$  এৰ অনুপাতে হুসপ্রাপ্ত হয়। এখানে  $a$  একটি ঝুঁক এবং 3.4.2 সূত্ৰে সংগে তুলনা কৰলে দেখা যাবে যে  $a = \frac{1}{\lambda_{0.1}}$ । লেনাৰ্ডৰ পৱীক্ষায় লক্ষিত হয় যে অণ্পগাতিৰ ইলেক্ট্রনেৰ জন্য গড় অবাধপথেৰ মান 3.6.1 সূত্ৰেৰ সংগে মোটামুটিভাৱে মেলে। কিন্তু উচ্চগাতিৰ ইলেক্ট্রনেৰ ক্ষেত্ৰে গড় অবাধ-পথ প্ৰত্যাশিত মানেৰ থেকে অনেক বড় হয়।

১৯২১ খৃষ্টাব্দে মেয়াৱেৱে (Mayer) পৱীক্ষায় অণ্পগাতিতে ইলেক্ট্রনেৰ গড় অবাধপথ আৱাও সূক্ষ্মভাৱে নিৰ্ণ্যাত হয়। মেয়াৱেৱ ব্যবহৃত ঘঞ্জে (ঢিয় ৩.৬) উত্তপ্ত ফিলামেন্ট  $F$  থেকে ইলেক্ট্রন উৎপন্ন হয় এবং  $F$  এৰ তুলনায়  $V$  ধৰাৰক বিভবে গ্ৰিড  $G$  দ্বাৰা স্বীকৃত হয়। ইলেক্ট্রনগুলি এৰাৰ পৰম্পৰায়েৰ মধ্যে  $x$  ব্যবহাৰনে ৱৰ্ণিত  $S_1$  ও  $S_2$  পৰ্দাৰ ছিদ্ৰেৰ মধ্য দিয়ে নিৰ্ণ্যাত হয়।  $S_1$  পৰ্দাৰ পক্ষতে একটি ইলেক্ট্রন সংগ্ৰাহক  $C$  থাকে।  $S_2$  এবং  $C$  এৰ মধ্যে যে বিভবপ্রভেদ থাকে তা ইলেক্ট্রনগুলিকে মন্দিত কৰে। এই বিভবপ্রভেদ  $V$  অপেক্ষা সামান্য কম, ফলে যে ইলেক্ট্রনগুলি মধ্যপথে কোনৰূপ

সংবর্ধে লিপ্ত হয় না শুধু সেগুলি ইলেকট্রন সংখ্যা নির্গমের জন্য  $C$  এর সংগে ইলেকট্রোমিটার সংযুক্ত থাকে। সবকটি তড়িৎপ্রবাহ একটি কাচের আধারের মধ্যে সীল করা থাকে এবং এই আধারকে প্রয়োজনমত বাষ্পশূন্য বা নির্দিষ্ট চাপে কোন গ্যাস দ্বারা পূর্ণ



চিত্র ৩.৬

করা যায়।  $S_1$  ও  $S_2$  এর ব্যবধান ( $x$ ) প্রয়োজনমত বাহির থেকে নির্যাপ্ত করা যায়।

ধরা যাক, আধারের মধ্যে গ্যাসের চাপ বর্ধন  $p$ ,  $C$  তে সংগৃহীত ইলেকট্রন তর্ফে  $I$  তড়িৎপ্রবাহ উৎপন্ন করে।  $I$  নানা কারণে  $x$  এর উপর নির্ভরশীল হবে। প্রথমত,  $p$  চাপে অণুগুলির সংগে ইলেকট্রনের সংবর্ধের ফলে ইলেকট্রন সংগ্রহের হার এবং সেই সঙ্গে  $I = e^{-(\beta + \alpha p)x}$  এর সমানুপাতী হবে (3.3.1 ও 3.4.2 সূত্রানুযায়ী)। দ্বিতীয়তঃ, বতদ্বাৰা সম্ভব নির্ধারিত অবস্থাতেও আধারে যে গ্যাস অবশিষ্ট থাকে, তাৰ ফলে তড়িৎপ্রবাহ আৰ একটি উৎপাদক  $e^{-\beta x}$  এর সমানুপাতী হবে। এবং তৃতীয়তঃ,  $x$  দূৰত্ব অতিক্রমকালে ইলেকট্রন ব্ৰাশুর কৌণিক বিক্ষেপণের ফলে  $x$  এৰ কোন অপেক্ষক  $f(x)$  এৰ সংগে  $I$  সমানুপাতী হবে। এছাড়াও  $x$  এৰ নির্দিষ্ট মানে চাপেৰ বৃদ্ধিৰ সংগে ফিলামেন্টেৰ উক্ততাৰ দ্বাস পায়, সুতৰাং তড়িৎপ্রবাহও কমে। মোটেৱ উপৰ লোখা যায়।

$$I = I_0(p) f(x) e^{-(\beta + \alpha p)x} \quad 3.6.2$$

$p$  ও  $x$  রাশিসময়েৰ মান বৰ্ধন  $p_1$  ও  $x_1$  তখন তড়িৎপ্রবাহকে  $I_{11}$  দ্বাৰা চিহ্নিত কৰা যাক।  $p_1$  ও  $p_2$  চাপে,  $x$  এৰ মান  $x_1$  ও  $x_2$  হ'লে তড়িৎপ্রবাহেৰ নির্ধারিত মান হবে :

$$I_{11} = I_0(p_1) f(x_1) e^{-(\beta + \alpha p_1)x_1}$$

$$I_{12} = I_0(p_1) f(x_2) e^{-(\beta + \alpha p_1)x_2}$$

$$I_{s_1} = I_0(p_s) f(x_1) e^{-(\beta + \alpha p_s)x_1}$$

$$\text{এবং } I_{s_2} = I_0(p_s) f(x_2) e^{-(\beta + \alpha p_s)x_2}.$$

যদি  $\ln \frac{I_{s_1}}{I_{s_2}}$  কে  $L_1$  ও  $\ln \frac{I_{s_1}}{I_{s_2}}$  কে  $L_2$  বলা যাব তবে দেখানো

যাব যে

$$\alpha = \frac{L_1 - L_2}{(p_1 - p_2)(x_2 - x_1)} \quad 3.6.3$$

$\alpha$  এর মান 3.6.3 সূত্র থেকে সহজেই নির্ণয় কৰা যাব।

3.6.2 সূত্রের  $e^{-\alpha p \cdot x}$  উৎপাদকটি  $e^{-x/\lambda_{e.s.}}$  এর সংগে তুলনীয়।

অর্থাৎ  $\alpha p = \frac{1}{\lambda_{e.s.}}$ । অথবা 3.6.1 সূত্রানুযায়ী  $\alpha p = \pi n r^2$ । এই রাশি

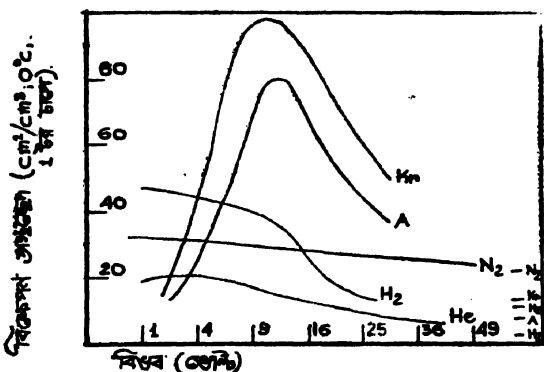
1 c.c. আয়তনে অবস্থিত সমস্ত অণুর মোট প্রস্থচ্ছেদের সমান। গ্যাসঅণুর আচরণ কঠিন গোলকের মত হ'লে 'ap' বা ' $\lambda_{e.s.}$ ' এর মান ইলেক্ট্রন-বেগ-নিরপেক্ষ হওয়া উচিত। গ্যাসের সামৃতা থেকে গ্যাসের মধ্যে কোন অণুর গড় অবাধপথের যে মান  $\lambda$  পাওয়া যাব তা  $\frac{1}{4\sqrt{2}\pi n r^4}$  এর সমান। অর্থাৎ

$$\lambda_{e.s.} = 4\sqrt{2}\lambda \quad 3.6.4$$

$V$  এর অর্তি অস্পমান (কয়েক ভোল্ট ) ব্যতীত সেবার্ড ও মেয়ারের পরীক্ষায় এই সূত্র সত্য ব'লেই প্রতিপন্থ হয়। অর্তি অস্পর্গাত ইলেক্ট্রনের ক্ষেত্রে যে অনেকা দেখা যাব রামসাউয়ারের (Ramsauer) সমসামর্যিক পরীক্ষায় তা আরও সূক্ষভাবে পরীক্ষিত হয়।

রামসাউয়ারের পরীক্ষার উন্নত ফিলামেন্ট থেকে নির্ণত ইলেক্ট্রনের পরিবর্তে ফটো-ইলেক্ট্রন কাজে লাগানো হয় এবং তাদের গাতি নির্বাচনের জন্য চৌমাকক্ষেত্রের সাহায্য নেওয়া হয়। মেয়ারের পরীক্ষা ও এই পরীক্ষার ফল মেটার্যাট একুপ। রামসাউয়ার ইলেক্ট্রনের বিভিন্ন গাতির জন্য ইলেক্ট্রন বিক্ষেপণের প্রস্থচ্ছেদ নির্ণয় কৰেন। ৩.৭ চিত্রে এই পরীক্ষার লকফল লেখের সাহায্যে দেখানো হ'য়েছে। লেখাচিত্রের অনুভূমিক অক্ষে ইলেক্ট্রনের স্থরণ সৃষ্টিকারী বিভব এবং উল্লম্ব অক্ষে ১ টার চাপে  $0^{\circ}\text{C}$  উক্ততার 'ap' অথবা 1 c.c. আয়তনে অবস্থিত গ্যাস অণুর মোট বিক্ষেপণ প্রস্থচ্ছেদ অঙ্কিত হ'ল। ডানাদিকের দুটি অনুভূমিক রেখাগুলি গ্যাসের সামৃতা থেকে লক 'ap' এর প্রত্যাখ্যাত মান সূচিত কৱে। স্পষ্টই দেখা যাব গাতিবেগের সংগে 'ap' এর

মানের প্রচুর পরিবর্তন ঘটে। সাধারণভাবে উচ্চ গাত্তিবেগে ‘ $\alpha p$ ’ এর মান প্রত্যাশিত মানের কাছাকাছি হলেও অন্প গাত্তিতে অনেক বেশী, আবার অতুচ্চ গাত্তিতে আরও কম হয়। অতুচ্চ গাত্তিবেগে ইলেক্ট্রন অণুর ইলেক্ট্রন-মেঘ তেজ ক'রে যেতে পারে। সুতরাং ‘ $\alpha p$ ’ এর মান অন্প হওয়া সম্ভব। সমস্ত



চিত্ৰ ৩.৭—ৱামসাউডিওরের পরীক্ষার ফল

নির্জন্ম গ্যাসের ক্ষেত্ৰে ইলেক্ট্রনের বিশেষ গাত্তিবেগে গ্যাস-অণুর (বা পৰমাণুৰ) নির্জন্ম ইলেক্ট্রনের উচ্চতাৰ শক্তি বিশেষজ্ঞ অবস্থায় অনুনাদী উৎক্ষেপণ (resonance excitation) ঘটে। এই অবস্থায় গ্যাস-অণুর ইলেক্ট্রন বিক্ষেপণ-প্ৰবণতা বৰ্ধিত হয়। ফলে বিক্ষেপণ-প্ৰস্থচ্ছেদও বাড়ে। অতি অন্প গাত্তিবেগে নির্জন্ম গ্যাসের অণুর বিক্ষেপণ-প্ৰস্থচ্ছেদ অতিমাত্ৰায় ছাস পায়। এই ঘটনার ব্যাখ্যা কোয়ান্টাম-গাত্তিতত্ত্বের সাহায্যেই দেওয়া সম্ভব।

### ৩.৭ অবাধপথেৰ বণ্টনৰীতি অনুযায়ী সংষাতসংখ্যা ও চাপেৰ পুনৰ্বিকল্পণ

2.3.2 সূত্ৰে পাওয়া গেছে  $dv$  আয়তনেৰ মধ্যে যে কোনও মুহূৰ্তে  $dn = \frac{n dv \delta s \cos \theta}{4\pi r^2}$  সংখ্যক অণুৰ গাত্তি  $\delta s$  অভিমুখী হয়। যদি গ্যাস-অণুৰ সংৰোধ কম্পনা কৰা হাব তবে এই অণুগুলিৰ একাংশ  $\delta s$  পৰ্যন্ত পৌছানোৰ আগেই সংৰোধ লিপ্ত হবে। অপৰপক্ষে যে সকল অণুৰ গাত্তি  $\delta s$  অভিমুখী ছিল না তাদেৱ কতকগুলিৰ মধ্যপথে সংৰোধৰ ফলে  $\delta s$ -এ পৌছাতে পারে। সুতৰাং গ্যাস-অণুৰ সংৰোধ কম্পনা কৰা হ'লে আধাৰ গাত্তে গ্যাস-অণুৰ সংষাত-সংখ্যা এবং প্ৰযুক্তি ভৱিবেগ, অৰ্থাৎ চাপ, উপন্যুক্ত উপায়ে নিৰ্গম কৰা প্ৰয়োজন।

ধরা যাক, আধারের মধ্যে একই প্রকার অণু বর্তমান স্থানের মধ্যে  $c$  এবং  $c + dc$  এর মধ্যে গাতিবেগ বিশিষ্ট অণুর ঘনত্বসংখ্যা  $dn$ , এবং গড় অবাধপথ  $\lambda$ । এই অণুগুলির যে কোনটি সেকেতে গড়ে  $\frac{c}{\lambda c}$ -সংখ্যক সংঘর্ষে লিপ্ত হয়।

পূর্বের  $dv$  আয়তনে (চিত্র ২.১) যে কোনও সময়ে  $dn_c dv$  সংখ্যক এবং অণু থাকবে এবং তাদের মধ্যে সংঘর্ষের ফলে একক সময়ে মোট  $dn_c dv \frac{c}{\lambda_c}$  সংখ্যক অণুর অবাধপথ শূরু হবে। গ্যাসের সমদৈশিকতাহেতু এই অবাধ পথগুলি চারিদিকে সমভাবে বিন্যস্ত থাকবে ফলে পূর্বের মত অণুগুলির  $\frac{\partial s \cos \theta}{4\pi r^2}$  অংশের

গতিবেগ  $\partial s$  অভিযুক্তি হবে। 3.4.2 সূত্র অনুযায়ী এই অংশেরও  $e^{-\frac{r}{\lambda_c}}$  অংশ  $\partial s$  তলে পৌঁছাবে, বাকী অংশ সংঘর্ষের ফলে অনাপ্ত বিক্ষিপ্ত হবে। অতএব মোট যে অণুগুলি একক সময়ে  $dv$  আয়তনের মধ্যে সংঘর্ষের ফলে যাত্রাশূরু ক'রে  $\partial s$  তলে পৌঁছাবে তাদের সংখ্যা

$$dn_c dv \frac{c}{\lambda_c} \cdot \frac{\partial s \cos \theta}{4\pi r^2} \cdot e^{-\frac{r}{\lambda_c}} \quad 3.7.1$$

$dv$  এর পরিবর্তে  $r^2 \sin \theta d\theta dr d\phi$  লিখে গতিবেগ  $c$  ও  $\partial s$  এর উপর উপর সমাকলন করলে মোট সংঘাত সংখ্যা পাওয়া যায় :

$$N_c = \frac{1}{\partial s} \int_{c=0}^{\infty} \int_{r=0}^{\infty} \int_{\theta=0}^{\pi/2} \int_{\phi=0}^{2\pi} dn_c \frac{c}{\lambda_c} \cdot \frac{\partial s \cos \theta}{4\pi r^2} \cdot e^{-\frac{r}{\lambda_c}} \cdot r^2 \sin \theta d\theta dr d\phi \quad 3.7.1$$

$$\begin{aligned} &= \frac{1}{4} \int_{c=0}^{\infty} c dn_c \\ &= \frac{nc}{4} \quad (n = \text{অণুর মোট ঘনত্ব সংখ্যা}, \quad c = \text{গড় গতিবেগ}) \quad 3.7.2 \end{aligned}$$

এই ফল 2.3.3 সূত্রে লক্ষ ফলের সমান। পূর্বের সমাকলনে আধারের আয়তন সীমিত হলেও  $r$  এর উর্কসীমা  $\infty$  ধরা হ'য়েছে। এর কারণ পূর্বে ২.৪ অংশে আলোচিত হ'য়েছে।

আধার গাত্রে সংঘর্ষের ফলে  $dv$  আয়তন থেকে আগত এবং  $c$  ও  $c + dc$  এর মধ্যে গতিবেগবিশিষ্ট প্রতিটি অণু আধারের প্রাচীরে  $2mc \cos \theta$  পরিমাণ

গতিবেগ প্রদান করে।  $\delta s$  তলে প্রতি সেকেন্ডে সকল অণুর প্রদত্ত ভরবেগের পরিমাণ

$$\int_{c=0}^{\infty} \int_{r=0}^{\infty} \int_{\theta=0}^{\pi/2} \int_{\phi=0}^{\pi} 2mc \cos \theta \cdot dn \cdot \frac{c}{\lambda_c} \cdot \frac{\delta s \cos \theta}{4\pi r^2} \cdot e^{-\frac{r}{\lambda_c}} \cdot r^2 \sin \theta d\theta dr d\phi$$

$$-\frac{m\delta s}{3} \int_{c=0}^{\infty} c^3 dn$$

$$-\frac{1}{6} m n c^2 \cdot \delta s \quad (c^2 = \text{গড় বর্গ গতিবেগ})$$

যেহেতু এই ভরবেগ  $p\delta s$  এর সমান,

$$p = \frac{1}{6} m n c^2 \quad 3.7.3$$

পৰ্বে ২.৪.১ অংশে এই সংজ্ঞাটি নির্ণীত হয়েছে।

## গ্যাস অণুর বেগবন্টন

### ৪.১ ছির অবস্থার গ্যাস অণুর বেগবন্টনের বৈশিষ্ট্য

ছির অবস্থার গ্যাস অণুর গতিবেগ এক নির্দিষ্ট বন্টননীতি অনুসরণ করে। বর্তমান অধ্যায়ে “ম্যাজ্জওয়েলীয় বেগবন্টন” নামে অভিহিত এই বন্টনের প্রকৃতি নির্ধারিত হবে ও তার ফলপ্রভাব আলোচিত হবে।

কোন নির্দিষ্ট গ্যাস-অণুর গতিবেগ প্রতি সংঘর্ষেই পরিবর্তিত হয়। কিন্তু ছির অবস্থার বন্টননীতির কোন পরিবর্তন ঘটে না। কোন গ্যাসের মধ্যে  $c$  এবং  $c + \Delta c$  সীমাবদ্ধয়ের মধ্যে গতিবেগ বিশিষ্ট কিছু সংখাক গ্যাস-অণুর গতিবেগ প্রতি সেকেন্ডে সংঘর্ষের ফলে পরিবর্তিত হ'য়ে এই সীমাবদ্ধয়ের বাইরে যায়। কিন্তু মোটের উপর ঠিক ততগুলি অণুর গতিবেগ এই সময়ের মধ্যে অন্যান্য মান থেকে পরিবর্তিত হ'য়ে  $c$  এবং  $c + \Delta c$  সীমাবদ্ধয়ের মধ্যে ফিরে আসে। ফলে এই দুই সীমার মধ্যে গতিবেগ বিশিষ্ট অণুর সংখ্যা অপরিবর্তিত থাকে। অপর পক্ষে যদি প্রাথমিক অবস্থায় অণুগুলির গতিবেগ ভিন্নপ্রকারে বিন্দিত থাকে তবে সংঘর্ষের ফলে ক্রমশঃ ছির অবস্থা প্রতিষ্ঠিত হয় এবং অণুর গতিবেগ ক্রমশঃ ম্যাজ্জওয়েলীয় বন্টননীতি অনুসরণ করে।

গ্যাস অণুর বেগবন্টন সূত্র দুই উপায়ে নির্ধারিত হবে :

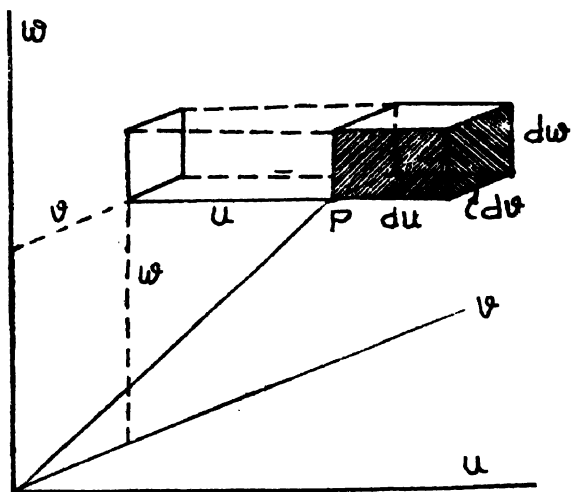
- (ক) ম্যাজ্জওয়েলের সন্তানাতা প্রণালী ও (খ) বোলৎসমানের সম্বর্ধ প্রণালী।

### ৪.২ ম্যাজ্জওয়েলের সন্তান্যতা প্রণালী

সন্তান্যতা প্রণালীতে অণুর বেগবন্টন-সূত্র নির্ধারণের জন্য ছির অবস্থায় গ্যাসের সাধারণ প্রকৃতি সমক্ষে যে অঙ্গীকারগুলি প্রয়োজন সেগুলি হ'ল (ক) গ্যাসের সমগ্র আয়তনের সমদৈশিকতা ( আদর্শ গ্যাসের ক্ষেত্রেও এই অঙ্গীকার স্বীকৃত হ'য়েছে ) এবং (খ) পরস্পর সমকোণী অক্ষে কোন এক অণুর গতিবেগ উপাংশগুলির পারস্পরিক স্থান্ত্র্য। প্রথম অঙ্গীকারটি (ক) সহজেই মেনে নেওয়া গেলেও বিতীয় অঙ্গীকারটি সাধারণ বুদ্ধির পরিপন্থ। কোন অণুর গতিবেগের এক উপাংশের মান অন্প বা অধিক হ'লে অপর কোনও উপাংশেও

যথাক্রমে অল্প বা অধিক হওয়া স্বাভাবিক বলে মনে হ'তে পারে। তবে এই অঙ্গীকার আপাতদৃষ্টিতে না হ'লেও বাস্তব ক্ষেত্রে সত্য।

ধরা যাক, কোন এক সমকোণী কার্টেজীয় নির্দেশ তত্ত্বে গ্যাস-অণুর গতিবেগ  $C$  এর  $x, y$  ও  $z$  অক্ষে উপাংশ যথাক্রমে  $u, v$  ও  $w$ । যথেচ্ছভাবে নির্বাচিত কোন এক অণুর গতিবেগের  $x$ -উপাংশ  $u$  ও  $u+du$  এর মধ্যে থাকার সম্ভাব্যতা পূর্বের অঙ্গীকার অনুযায়ী কেবলমাত্র  $u$  এর উপরই নির্ভরশীল হতে পারে,  $v$  বা  $w$  এর উপর নয়। ধরা যাক এই সম্ভাব্যতা  $f(u) du$ । সুতরাং গতিবেগের  $y$ -উপাংশ  $v$  ও  $v+dv$  এর মধ্যে থাকার সম্ভাব্যতা  $f(v) dv$  এবং  $z$ -উপাংশ  $w$  ও  $w+dw$  এর মধ্যে থাকার সম্ভাব্যতা  $f(w) dw$ । যেহেতু  $x, y$  ও  $z$  দিকগুলির কোন গুণগত পার্থক্য নেই, অতএব পূর্বের তিনি ক্ষেত্রেই গতিবেগ-উপাংশগুলির একই অপেক্ষক ( $f$ ) ব্যবহার করা যাবে। কোন অণুর গতিবেগের  $x, y$  ও  $z$  উপাংশগুলি একই সংগে পূর্বোক্ত সীমার মধ্যে থাকায় মুগ্ধ সম্ভাব্যতা  $f(u) f(v) f(w) du dv dw$  কেন্দ্র উপাংশগুলির স্বাতন্ত্র্যের ফলে তাদের মধ্যে কোন অনুবন্ধ (correlation) নেই। এই প্রকার অণুকে  $A$ -প্রকারের অণু, বলা হবে।



৪.১ নং চিত্র

গ্যাস অণুগুলির গতিবেগ এক শিমান্তিক লেখচিত্রে দেখানো যেতে পারে (চিত্র ৪.১)। কোন অণুর গতিবেগ উপাংশগুলি  $u, v, w$  হ'লে এই লেখচিত্রে  $(u, v, w)$  স্থানাঙ্ক বিশিষ্ট  $P$  বিন্দু অণুটিকে নির্দেশ করবে। সমস্ত

$A$  প্রকারের অণুর নির্দেশক বিন্দু চিহ্নে প্রদর্শিত আয়তফলকের মধ্যে অবস্থিত হবে, অন্য কোন অণুর নির্দেশক বিন্দু এর মধ্যে থাকবে না। গ্যাস-অণুর মোট সংখ্যা  $N$  হ'লে মোট  $A$  প্রকারের অণুর সংখ্যা

$$\begin{aligned} dN &= N f(u) f(v) f(w) \, du \, dv \, dw \\ &= N f(u) f(v) f(w) \, dt \end{aligned} \quad 4.2.1$$

এখানে,  $dt = du \, dv \, dw$  = আয়তফলকের আয়তন। কিন্তু  $dN$  পৃথকভাবে  $u, v$  ও  $w$  এর উপর নির্ভরশীল হ'তে পারে না কেননা  $x, y$  ও  $z$  অক্ষগুলি বিশেষভাবে নির্বাচিত। বরং  $dN$  মোট গাত্তবেগ  $c$  এর উপর নির্ভরশীল হবে এবং বেগ নির্দেশক নির্দেশতত্ত্বে আয়তন  $dt$  এর সমানুপাতী হবে। অর্থাৎ

$$dN = N F(c) \, dt \quad 4.2.2$$

এবুপ দেখা যেতে পারে।  $F(c)$  এখানে  $c$  এর কোন অপেক্ষক। 4.2.1 ও 4.2.2 সূত্র থেকে দেখা যায়

$$f(u) f(v) f(w) = F(c) \quad 4.2.3$$

$f(u)$  কে  $\phi(u^2)$  ইত্যাদি এবং  $F(c)$  কে  $\Phi(c^2)$  হিসাবে লিখলে ( $\phi$  ও  $\Phi$  অন্য দুই অপেক্ষক সূচিত করে) পাওয়া যায়

$$\phi(u^2) \cdot \phi(v^2) \cdot \phi(w^2) = \phi(c^2) = \phi(u^2 + v^2 + w^2) \quad 4.2.4$$

সঙ্গেই বোধা যায় যে  $\phi(u^2)$  কে যদি  $a e^{b u^2}$  হিসাবে এবং  $\phi(v^2)$  ও  $\phi(w^2)$  কে অনুরূপভাবে লেখা যায় তবে 4.2.4 সমীকরণ সিদ্ধ হয়। নিম্নে এর গাণিতিক প্রমাণ উপস্থাপিত হল।

যদি  $c$  এর মান স্থির থাকে তবে 4.2.3 থেকে পাওয়া যায়—

$$\ln f(u) + \ln f(v) + \ln f(w) = \ln F(c) = \text{মূলক}।$$

অন্তরকলন ক'রে

$$\frac{f'(u)}{f(u)} \, du + \frac{f'(v)}{f(v)} \, dv + \frac{f'(w)}{f(w)} \, dw = 0 \quad 4.2.5$$

( এখানে  $f'(u) = \frac{d}{du} f(u)$  ইত্যাদি ) .

আবার  $u^2 + v^2 + w^2 - c^2 = \text{মূলক}$ । এই সমীকরণকে অন্তরকলন ক'রলে  $u \, du + v \, dv + w \, dw = 0$  4.2.6

4.2.6 সমীকরণকে কোনও অনিন্দিত খুবক  $\lambda$  দ্বারা গুণ ক'রে 4.2.5 সমীকরণের সংগে যুক্ত করলে পাওয়া যায় :

$$\left( \frac{f'(u)}{f(u)} + \lambda u \right) du + \left( \frac{f'(v)}{f(v)} + \lambda v \right) dv + \left( \frac{f'(w)}{f(w)} + \lambda w \right) dw = 0$$

4.2.7

$\lambda$ -খুবকটির মান ইচ্ছামত নির্ধাচন করা যায় আবার  $du$ ,  $dv$  ও  $dw$  এর যে কোনওটিকে ইচ্ছামত শূন্য ব'লে ধরা যায়। সেজন্য 4.2.7 সমীকরণের বামপার্শের যে কোনও দুইটি রাশির মানই শূন্য হতে পারে। সে অবস্থায় সমীকরণটিকে সিক্ক করতে তৃতীয় রাশিটিও শূন্য হবে।  $u$ ,  $v$  ও  $w$  উপাংশগুলির পারস্পরিক স্থাত্ত্বের জনাই এরূপ হয়। তখন লেখা যেতে পারে যে

$$\frac{f'(u)}{f(u)} + \lambda u = 0, \quad \frac{f'(v)}{f(v)} + \lambda v = 0 \quad \text{ও} \quad \frac{f'(w)}{f(w)} + \lambda w = 0$$

প্রথমটিকে সমাকলন করলে পাওয়া যায়

$$\ln f(u) = -\frac{\lambda}{\alpha} u^{\alpha} + C, \quad (C = \text{সমাকলন খুবক})$$

$e^C = a$  এবং  $\frac{\lambda}{\alpha} = \frac{1}{\alpha}$  লিখলে পাওয়া যায়

$$\left. \begin{aligned} f(u) &= ae^{-u^{\alpha}/\alpha}, \\ \text{অনুরূপভাবে } f(v) &= ae^{-v^{\alpha}/\alpha} \quad \text{ও} \quad f(w) = ae^{-w^{\alpha}/\alpha} \end{aligned} \right\} \quad 4.2.8$$

গাত্তবেগের  $x$ ,  $y$  ও  $z$  উপাংশ যথাক্রমে  $u$  ও  $u+du$ ,  $v$  ও  $v+dv$  এবং  $w$  ও  $w+dw$  সীমার মধ্যে যুগ্মভাবে থাকার সম্ভাবাতা।

$$\begin{aligned} F(u, v, w) du \, dv \, dw &= f(u) f(v) f(w) \, du \, dv \, dw \\ &= a^3 e^{-(u^{\alpha} + v^{\alpha} + w^{\alpha})/\alpha} \, du \, dv \, dw \\ &= a^3 e^{-c^{\alpha}/\alpha} \, du \, dv \, dw \end{aligned} \quad 4.2.9$$

4.2.8 ও 4.2.9 সূত্রগুলিকে গ্যাস অণুর বেগবন্ধন সূত্র বলা যায়।  $a$  ও  $\alpha$  এখানে অনিন্দিত দুইটি খুবক। 8.8 অংশে এগুলির মান নির্ধারিত হবে।

### ৪.৩ বোল্টজমানের সংর্বর্ধ প্রণালী

গ্যাস অণুর সংর্বর্ধকে দুইটি অণ্টরূপ স্থিতিস্থাপক গোলকের সংর্বর্ধ হিসাবে কল্পনা ক'রে এবং স্থির অবস্থায় সংর্বর্ধের ফলে বিশেষ গাত্তবেগবিশিষ্ট অণুর

সংখ্যায় কোন তারতম্য ঘটেনা এই সত্ত্বেও উপর ভিত্তি করেই এই প্রণালীতে বেগের বর্ণনসূত্র নির্ণয় হয়।

প্রথমে দুইটি অনুরূপ চিহ্নিতক্ষাপক গোলকের সোজাসুজি সংবর্ধ কম্পনা করা যাক। ধরা যাক তাদের প্রার্তিটির ভর  $m$  এবং একই সরলরেখার গতিবেগ  $u_1$  ও  $u_2$ । সংবর্ধের পরে তাদের গতিবেগ  $u_1'$  ও  $u_2'$  হয়। বৈধিক ভরবেগ ও গতীয় শক্তির নিয়ততা হলু

$$mu_1 + mu_2 = mu_1' + mu_2' \text{ অর্থাৎ } u_1 + u_2 = u_1' + u_2' \\ \text{এবং } \frac{1}{2}mu_1^2 + \frac{1}{2}mu_2^2 + \frac{1}{2}mu_1'^2 + \frac{1}{2}mu_2'^2 \text{ অর্থাৎ } u_1^2 + u_2^2 = u_1'^2 + u_2'^2$$

এই দুই সমীকরণ সিদ্ধ হ'লে হয় (i)  $u_1' = u_2$  ও  $u_2' = u_1$

অথবা (ii)  $u_1' = -u_1$  ও  $u_2' = -u_2$

এর মধ্যে সমাধান (ii) অবশ্যই তুচ্ছ (trivial) কেননা সংবর্ধের পূর্বে ও পরে গতিবেগের পরিবর্তন না হ'লে সংবর্ধ আদৌ ঘটেনি ব'লেই ধরা উচিত। সমাধান (i) থেকে দেখা যায় যে দুই অণুর মধ্যে গতিবেগ বিনিয়ন ঘটে।

অণুগুলির গতিবেগের দিককে  $x$ -অক্ষরূপে কম্পনা করা যাক। যদি  $yz$  তলে অণু দুইটির কোন গতিবেগ-উপাংশ থাকে তবে অবশ্যই তার কোন পরিবর্তন ঘটবে না। অর্থাৎ দুই অণুর গতিবেগ উপাংশগুলি যদি বিথাক্রমে  $u_1, v_1, w_1$  এবং  $u_2, v_2, w_2$  হয় তবে সংবর্ধের পর সেগুলি বিথাক্রমে  $u_2, v_1, w_1$  এবং  $u_1, v_2, w_2$  হবে।

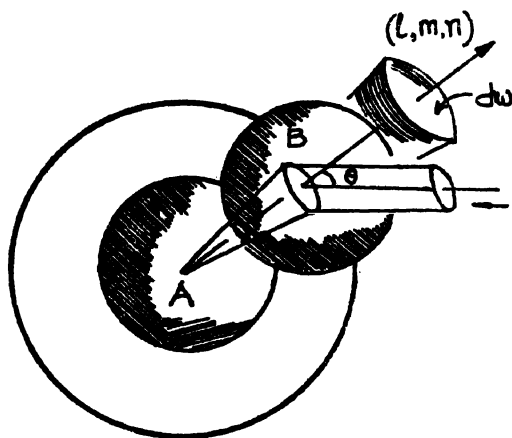
অনুরূপভাবে যদি উপাংশগুলি পূর্বে  $u_1 + du_1, v_1 + dv_1, w_1 + dw_1$  এবং  $u_2 + du_2, v_2 + dv_2, w_2 + dw_2$  হয় তবে সংবর্ধের পর সেগুলি  $u_2 + du_2, v_1 + dv_1, w_1 + dw_1$  এবং  $u_1 + du_1, v_2 + dv_2, w_2 + dw_2$  হবে।

কোন গ্যাসের মধ্যে  $u_1$  ও  $u_1 + du_1, v_1$  ও  $v_1 + dv_1$  এবং  $w_1$  ও  $w_1 + dw_1$  সীমাবর্তনের মধ্যে যে সকল অণুর গতিবেগ উপাংশগুলি থাকবে সেগুলিকে  $A$  প্রকারের এবং  $u_2$  ও  $u_2 + du_2, v_2$  ও  $v_2 + dv_2$  এবং  $w_2$  ও  $w_2 + dw_2$  সীমাবর্তনের মধ্যে যেগুলির গতিবেগ উপাংশ থাকবে সেগুলিকে  $B$  প্রকারের অণু বলা হবে।  $A$  প্রকারের কোন অণুর সংগে  $B$  প্রকারের কোন অণুর সংবর্ধ হ'লে দুইটি অণুর মোট ছয়টি গতিবেগ উপাংশের উক্তি ও নিম্নসীমার মধ্যে ব্যবধানগুলির গুণফল সংবর্ধের পূর্বে ও পরে  $du_1, dv_1, dw_1, du_2, dv_2, dw_2$  এর সমান থাকে। এই গুণফলকে “গতিবেগ-বিন্দুর” বলা হবে। পূর্বের আলোচনার সংবর্ধরেখা  $x$ -অক্ষের সমান্তরাল

থাকলেও গতিবেগ বিভাবের এই খুবহের সংগে  $x$ -অক্ষের কোন বিশেষ সম্পর্ক নেই। সূতরাং সংবর্ধেরখা বে দিকেই থাক না কেন, গতিবেগ-বিভাবের খুবহ সমভাবেই রাঙ্কিত হবে।

৪.২ অংশের মত, কোন অণ্ডের গতিবেগ-উপাংশগুলি  $u$  ও  $+du$ ,  $v$  ও  $v+dv$  এবং  $w$  ও  $w+dw$  সীমাবর্তী মধ্যে থাকার সম্ভাবতাকে  $F(u, v, w)$   $du$   $dv$   $dw$  বলা হবে। এই সম্ভাবতা নিকটবর্তী কোন অণ্ডের গতিবেগের উপর কোনভাবেই নির্ভর করে না।

যদি কোন সংবর্ধের পূর্বে অণ্ড দুইটি একটি  $A$  প্রকারের ও অপরটি  $B$  প্রকারের হয় এবং যদি সংবর্ধেরখা  $l, m, n$  দিকসূচক-কোসাইনে (direction cosine) এক ক্ষুদ্র ঘনকোণ  $d\omega$  এর মধ্যে থাকে তবে সেটিকে  $\alpha$ -প্রকারের সংবর্ধ বলা হবে। ৪.২ চিত্রে এই প্রকারের একটি সংবর্ধ দেখানো হ'য়েছে।



৪.২ নং চিত্র— $\alpha$  প্রকারের সংবর্ধ

ধরা থাক  $\omega$ —অণ্ডের বাস এবং  $V$ —সংবর্ধের পূর্বে অণ্ড দুইটির পরম্পরাগত মধ্যে আপেক্ষিক গতি। সংবর্ধের মুহূর্তে  $B$  অণ্ডের কেন্দ্র  $A$  অণ্ডের প্রভাব-গোলকের উপর  $\sigma^2 d\omega$  ক্ষেত্রফলের তলের উপর অবস্থিত হবে। সংবর্ধেরখা ও গতিবেগ  $V$  এর মধ্যে সূক্ষ্মকোণ  $\theta$  ধরা থাক।  $\sigma^2 d\omega$  তলকে যদি  $V$  এর বিপরীতমুখ্যে  $Vdt$  দূরত্বে পরিচালিত করা যায় তবে এই তল  $\sigma^2 d\omega \cdot Vdt \cdot \cos \theta$  এর সমান আয়তন অতিক্রম করবে।  $B$  অণ্ডের কেন্দ্র কোন মুহূর্তে এই আয়তনের মধ্যে অবস্থিত হ'লে তবেই তারপর  $dt$  সময়ের মধ্যে  $A$  অণ্ডে

ସଂଗେ ତାର ସଂଧର୍ମ ହଟିବେ । ଅଣୁ-ର ଘନତ୍ସଂଖ୍ୟା  $n$  ହ'ଲେ ଏହି ଆରତନେ କୋନ  $B$  ଅଣୁ- ଅବଶ୍ଵତ ହୋଇଥାର ସନ୍ତାବ୍ୟତା

$$nF(u_2, v_2, w_2) du_2 dv_2 dw_2 \cdot \sigma^2 d\omega V dt \cos \theta ।$$

ଯେ କୋନରେ  $A$  ପ୍ରକାର ଅଣୁ-ର  $dt$  ସମୟେ କୋନ  $B$  ପ୍ରକାର ଅଣୁ-ର ସଂଗେ  $\alpha$  ପ୍ରକାର ସଂଧର୍ମେ ଲିପ୍ତ ହୋଇଥାର ସନ୍ତାବ୍ୟତା ଏକହି । ପ୍ରତି ଏକକ ଆରତନେ  $A$  ପ୍ରକାର ଅଣୁ-ର ସଂଖ୍ୟା  $nF(u_1, v_1, w_1) du_1 dv_1 dw_1$  । ସୁତରାଂ ପ୍ରତି ଏକକ ଆରତନେ  $dt$  ସମୟେ  $\alpha$  ପ୍ରକାର ସଂଧର୍ମେର ସଂଖ୍ୟା

$$dN_{\alpha} = n^2 F(u_1, v_1, w_1) F(u_2, v_2, w_2)$$

$$du_1 dv_1 dw_1 du_2 dv_2 dw_2 \cdot \sigma^2 d\omega V dt \cos \theta \quad 4.3.1$$

ଏହି ପ୍ରକାର ସଂଧର୍ମେ  $A$  ଅଣୁର ସଂଖ୍ୟା ଏକ ହୂମ ପାଇ ।

ଏଥନ୍ ଆମରା, ଅନ୍ୟ ଏକ ପ୍ରକାର ସଂଧର୍ମେର କମ୍ପନା କରବ । ସିଦ୍ଧ କୋନ ସଂଧର୍ମେର ପର ଏକଟି ଅଣୁ  $A$  ପ୍ରକାରେର ଏବଂ ଅପରାଟି  $B$  ପ୍ରକାରେର ହେ ଏବଂ ସିଦ୍ଧ ସଂଧର୍ମରେଥା  $\alpha$  ପ୍ରକାରେର ସଂଧର୍ମେର ଜନ୍ମ ଆରୋପିତ ସର୍ତ୍ତକେ ସମ୍ମତ କରେ ତବେ ମେଟିକ୍‌ଟିକ୍ ଭାବରେ ଏକ ପ୍ରକାର ସଂଧର୍ମ ବଲା ହବେ । “ପ୍ରକାରେର ସଂଧର୍ମେ ସମୟେର ଦିକ ବିପରୀତ କରିଲେଇ  $\beta$  ପ୍ରକାରେର ସଂଧର୍ମ ପାଓଯା ଯାଇ ଏବଂ ଏହି ପ୍ରକାର ପ୍ରତି ସଂଧର୍ମେ  $A$  ଅଣୁର ସଂଖ୍ୟା ଏକ ବୃଦ୍ଧି ପାଇ । ଧରା ଯାକ ଏହି ପ୍ରକାର ସଂଧର୍ମେର ପୂର୍ବେ ପ୍ରଥମ ଅଣୁର ଗତିବେଗ ଉପାଂଶ  $u_1'$  ଓ  $u_1' + du_1'$ ,  $v_1'$  ଓ  $v_1' + dv_1'$  ଏବଂ  $w_1'$  ଓ  $w_1' + dw_1'$  ସୀମାର ମଧ୍ୟେ ଏବଂ ଦ୍ୱିତୀୟ ଅଣୁର ଗତିବେଗ ଉପାଂଶ  $u_2'$  ଓ  $u_2' + du_2'$ ,  $v_2'$  ଓ  $v_2' + dv_2'$  ଏବଂ  $w_2'$  ଓ  $w_2' + dw_2'$  ସୀମାର ମଧ୍ୟେ ଥାକେ । ପୂର୍ବେର ମତ ଦେଖାନ୍ତେ ଯାଇ ଯେ ପ୍ରତି ଏକକ ଆରତନେ  $dt$  ସମୟେ  $\beta$  ପ୍ରକାରେର ସଂଧର୍ମେର ସଂଖ୍ୟା ହବେ

$$dN\beta = n^2 F(u_1', v_1', w_1') F(u_2', v_2', w_2') du_1' dv_1' dw_1' du_2' dv_2' dw_2' \cdot \sigma^2 d\omega V dt \cos \theta \quad 4.3.2$$

କିନ୍ତୁ  $\beta$  ପ୍ରକାର ସଂଧର୍ମେର ପ୍ରାଥମିକ ଅବଶ୍ୟାଯ ଗତିବେଗ-ବିଶ୍ରାମ  $du_1' dv_1' dw_1'$   $du_2' dv_2' dw_2'$  ଏବଂ ସଂଧର୍ମେର ପରବର୍ତ୍ତୀ ଅବଶ୍ୟାଯ  $du_1 dv_1 dw_1 du_2 dv_2 dw_2$  । ପୂର୍ବନିର୍ଣ୍ଣାତ ନୀତି ଅନୁଯାୟୀ ଏହି ଦୁଇ ଗତିବେଗ-ବିଶ୍ରାମର ମାନ ସମାନ । ଅର୍ଥାତ୍

$$du_1 dv_1 dw_1 du_2 dv_2 dw_2 = du_1' dv_1' dw_1' du_2' dv_2' dw_2' \quad 4.3.3$$

4.3.1 ଓ 4.3.2 ସୂଚନାର ମଧ୍ୟେ ଲେଖା ଯାଇ ଯେ  $\alpha$  ଓ  $\beta$  ପ୍ରକାର ସଂଧର୍ମେର

অন্ত একক আয়তনে  $A$  প্রকার অণুর সংখ্যাবৃক্ষর হার প্রতি একক সময়ে  
( $F(u_1, v_1, w_1) = F_1$ ,  $F(u_1', v_1', w_1') = F_1'$  ইত্যাদি লিখলে )

$$\frac{dN\beta}{dt} - \frac{dN\alpha}{dt} = n^2 [F_1'F_2' - F_1F_2] du_1 dv_1 dw_1 du_2 dv_2 dw_2.$$

$$\sigma^2 d\omega V \cos \theta .$$

এই রাশিকে  $u_2, v_2, w_2$  এবং  $\omega$  এরস কল মানের জন্য সমাকলিত করলে  
একক আয়তনে  $A$  প্রকারের অণুর সংখ্যাবৃক্ষর মোট হার পাওয়া যাবে :

$$\frac{\partial n_A}{\partial t} = n^2 \sigma^2 du_1 dv_1 dw_1 \int \dots \int [F_1'F_2' - F_1F_2] V \cos \theta du_2 dv_2 dw_2 d\omega$$

$$u_2, v_2, w_2, \omega \quad 4.3.4$$

কিন্তু চিহ্ন অবস্থায়  $A$  প্রকার অণুর মোট ঘনসংখ্যা হ্রাস বা বৃদ্ধি পেতে  
পারে না। সূতরাং  $\frac{dn_A}{dt} = 0$ । এই অবস্থায় 4.3.4 সমীকরণে  $[F_1'F_2' -$   
 $F_1F_2] = 0$  হবে। নতুবা  $[F_1'F_2' - F_1F_2]$  এর মান কখনো ধনাত্মক,  
কখনো ঋণাত্মক হ'য়ে সমগ্র সমাকলনটির মান শূন্য হবে। বোল্ডসমান  
নিয়ালোচিত শুন্তির সাহায্যে প্রমাণ করেন যে  $[F_1'F_2' - F_1F_2]$  এর মান শূন্য  
হতেই হবে।

$$\text{ধরা যাক } \iiint F_1 \ln F_1 du_1 dv_1 dw_1 = H \quad 4.3.5$$

সমাকলনের সীমা  $u_1, v_1$  ও  $w_1$  এর সমস্ত সম্ভব মানের জন্য ব'লে বুঝতে  
হবে।  $F_1$  এর প্রকৃতির উপর নির্ভরশীল  $H$  কোন একটি রাশি।

$$4.3.5 \text{ থেকে } \frac{\partial H}{\partial t} = \iiint (1 + \ln F_1) \frac{\partial F_1}{\partial t} du_1 dv_1 dw_1$$

$$\text{কিন্তু } \frac{\partial}{\partial t} (F_1 du_1 dv_1 dw_1)$$

$$= \frac{1}{n} \cdot \frac{\partial n_A}{\partial t}$$

অতএব, 4.3.4 এর সাহায্যে

$$\frac{\partial H}{\partial t} = n \sigma^2 \int \dots \int (1 + \ln F_1) [F_1'F_2' - F_1F_2] V \cos \theta du_1 dv_1 dw_1$$

$$du_2 dv_2 dw_2 d\omega \quad 4.3.6 (a)$$

4.3.5 সমীকরণে  $F_1$  এর পরিবর্তে  $F_2$  ব্যবহার করলে পাওয়া যাবে

$$\frac{\partial H}{\partial t} = n \sigma^2 \int \dots \int (1 + \ln F_2) [F_1'F_2' - F_1F_2] V \cos \theta du_1 dv_1 dw_1$$

$$du_2 dv_2 dw_2 d\omega \quad 4.3.6 (b)$$

4.3.6 (a) ও (b) থেকে  $\frac{\partial H}{\partial t}$  এর গড় মান

$$\frac{\partial H}{\partial t} = \frac{n\sigma^3}{2} \int \cdots \int (2 + \ln F_1 F_2) [F_1' F_2' - F_1 F_2] V \cos \theta du_1 dv_1 dw_1 \\ du_2 dv_2 dw_2 d\omega \quad 4.3.7 (a)$$

4.3.5 সূত্রে  $F_1$  এবং  $F_2$  এর স্থলে  $F_1'$  ও  $F_2'$  ব্যবহার করে অনুসৃপ ভাবে পাওয়া যাবে

$$\frac{\partial H}{\partial t} = \frac{n\sigma^3}{2} \int \cdots \int (2 + \ln F_1' F_2') [F_1 F_2 - F_1' F_2'] V \cos \theta du_1' dv_1' \\ dw_1' du_2' dv_2' dw_2' d\omega \\ - \frac{n\sigma^3}{2} \int \cdots \int (2 + \ln F_1' F_2') [F_1 F_2 - F_1' F_2] V \cos \theta \\ du_1 dv_1 dw_1 du_2 dv_2 dw_2 \quad 4.3.7 (b) \\ (4.3.3 \text{ সূত্রের সাহায্যে})$$

4.3.7 (a) ও (b) থেকে  $\frac{\partial H}{\partial t}$  এর গড় মান পাওয়া যাবে :

$$\frac{\partial H}{\partial t} = \frac{n\sigma^3}{4} \int \cdots \int (\ln F_1 F_2 - \ln F_1' F_2) [F_1' F_2' - F_1 F_2] V \cos \theta \\ du_1 \dots dw_2 d\omega \quad 4.3.8$$

চির অবস্থার  $F_1$ ,  $F_2$  ইভার্ডির মান অপরিবর্তিত থাকে। সূত্রাং  $H$  এর সংজ্ঞা (4.3.5) অনুযায়ী ' $H$ ' ও অপরিবর্তিত থাকে। এই অবস্থায়  $\frac{\partial H}{\partial t} = 0$ ।

4.3.8 সূত্র থেকে দেখা যাব যে  $\frac{\partial H}{\partial t} = 0$  হ'লে হয়  $[F_1' F_2' - F_1 F_2] = 0$  হবে, নতুন  $(\ln F_1 F_2 - \ln F_1' F_2') = 0$  হবে। কিন্তু  $F_1' F_2' \neq F_1 F_2$  হলে  $(\ln F_1 F_2 - \ln F_1' F_2') (F_1' F_2' - F_1 F_2)$  সর্বদাই অণাউক হবে এবং সমাকলনটির মানও অণাউক হবে। সূত্রাং চির অবস্থায়

$$F_1' F_2' - F_1 F_2 = 0 \\ \text{বা } \ln F_1 + \ln F_2 = \ln F_1' + \ln F_2' \quad 4.3.9$$

অর্থাৎ সংবর্ধমান দুই অণুর  $F$  রাশিসম্মের গুণফল অথবা তাদের লগারিদ্মের যোগফল সংবর্ধের পূর্বে ও পরে সমান থাকবে।

କୋନ ସଂଘରେ ସେ ରାଶିଗୁଲି ପ୍ରକୃତପକ୍ଷେ ଅପରିବାର୍ତ୍ତିତ ଥାକେ ସେଗୁଲି ହ'ଲ ଦୁଇ ଅଗ୍ର ମୋଟ ଭରବେଗେର ତିନଟି ଉପାଂଶ ଏବଂ ମୋଟ ଗତୀର ଶକ୍ତି । ଏହି ଚାରଟି ବ୍ୟାତୀତ ପଣ୍ଡମ କୋନ ରାଶି ଥାକଣେ ପାରେ ନା ; କେନନା ଅଗୁରୁଧେର ପ୍ରାର୍ଥମିକ ଅବଶ୍ୟକ ସମ୍ପୂର୍ଣ୍ଣ ଜ୍ଞାତ ହ'ଲେ ଓ ସଂଘରେରେଖାର ଦିକ, ଅର୍ଥାଏ ଦୁଇଟି କୋଣ ଅନିର୍ଦିଷ୍ଟ ଥାକେ । ସଂଘରେ ପର ଦୁଇଟି ଅଗ୍ର ମୋଟ ଗତିବେଗ ଉପାଂଶେର ମାନ ନିର୍ଣ୍ଣୟ କରଣେ ଏହି ଦୁଇ କୋଣଇ ଜାନା ପ୍ରଯୋଜନ । ସୁତରାଂ ଆରା ଅନର୍ଥିକ (6-2) ବା ଚାରଟି ରାଶିର ମାନଇ ଜାନା ଥାକା ସନ୍ତ୍ବନ ।  $\ln F$  ଏହି ଚାରଟି ରାଶିର କୋନ ଏକଦାତ (linear) ଅପେକ୍ଷକ ହ'ଲେ 4.3.9 ସମୀକରଣ ମିଳି ହବେ । ଧରା ଯାକ

$$\ln F = c_1 \cdot \frac{1}{2}m(u^2 + v^2 + w^2) + c_2 \cdot mu + c_3 \cdot mv + c_4 \cdot mw + c_5 \quad 4.3.10$$

$c_1, c_2 \dots c_5$  ଏଥାନେ ଅନିର୍ଦିଷ୍ଟ ଖୁବକ ।  $c_1, c_2$  ଇତ୍ୟାଦିର ହୁଲେ ଅନ୍ୟ ଖୁବକ ବ୍ୟାବହାର କରେ ପାଇୟା ଯାଇ :

$$F(u, v, w) = a^3 e^{-\frac{(u-u_0)^2 + (v-v_0)^2 + (w-w_0)^2}{a^2}} \quad 4.3.11$$

ସହଜେଇ ଦେଖା ଯାଇ ଯେ ଏଥାନେ  $c_1 = -\frac{2}{ma^2}, c_2 = \frac{2u_0}{ma^2}$  ଇତ୍ୟାଦି ଏବଂ  $c_5 = 3 \ln a - \frac{1}{a^2} (u_0^2 + v_0^2 + w_0^2)$  ।

$u_0, v_0$  ଓ  $w_0$  ଖୁବକଗୁଲିର ବ୍ୟାବହାରିକ ଅର୍ଥ ସହଜେଇ ବାର କରା ଯାଇ ।  $x$ -ଅକ୍ଷେ ଅଗ୍ର ଗତିବେଗ ଉପାଂଶ  $u$  ଏର ଗଡ଼ ମାନ ନିର୍ଣ୍ଣୟ କରା ଯାକ ।

$$\bar{u} = \frac{\int_{-\infty}^{\infty} \int_{-\infty}^{\infty} \int_{-\infty}^{\infty} u F(u, v, w) du dv dw}{\int_{-\infty}^{\infty} \int_{-\infty}^{\infty} \int_{-\infty}^{\infty} F(u, v, w) du dv dw}$$

$$= \frac{\int_{-\infty}^{\infty} ue^{-\frac{(u-u_0)^2}{a^2}} du}{\int_{-\infty}^{\infty} e^{-\frac{(u-u_0)^2}{a^2}} du} \\ = u_0$$

অনুরপভাবে দেখা যাবে  $v = v_0$ ,  $w = w_0$ । অর্থাৎ,  $u_0$ ,  $v_0$  ও  $w_0$  গ্যাস-অণুর গড় গতিবেগ বা গ্যাসের ভরকেন্দ্রের গতিবেগের তিনি উপাখণ সূচিত করে। র্ধাদি গ্যাসের ভরকেন্দ্র নিশ্চল থাকে তবে  $u_0 = v_0 = w_0 = 0$  মেখা যাব এবং 4.3.11 সূত্র সরলীকৃত হয় :

$$F(u, v, w) = a^3 e^{-\frac{u^2 + v^2 + w^2}{a^2}} \quad 4.3.12$$

লক্ষণীয় যে এই সূত্র 4.2.9 সূত্র থেকে অসম্ভব।

ম্যাজ্ঞওয়েলের সম্ভাব্যতা প্রণালীর সংগে বোল্টস্মানের সংঘর্ষ প্রণালীর তুলনামূলক আলোচনা করা যেতে পারে। সম্ভাব্যতা প্রণালীর বিরুক্তে প্রথান শুন্তি এই যে আণবিক গতিবেগের উপাখণগুলির মধ্যে কোন পারম্পরিক নির্ভরতা নেই এবং অঙ্গীকার প্রথমেই ক'রে নেওয়া হয়। বস্তুতঃ এই অঙ্গীকারের প্রয়াণ ও ম্যাজ্ঞওয়েলের প্রণালীতে বেগবন্টন সূত্রের প্রয়াণ পরম্পরার উপর নির্ভরশীল। এছাড়া বোল্টস্মানের মতে গ্যাসের বেগবন্টন আণবিক সংঘর্ষের জনাই সাময় লাভ করে। ম্যাজ্ঞওয়েলের প্রণালী আণবিক সংঘর্ষ না ঘটলেও সমানভাবে প্রযোজ্য থাকে, সুতরাং এই প্রণালী কখনই ঝুঁটিহীন হতে পারে না। বোল্টস্মানের সংঘর্ষ প্রণালী এই ঝুঁটি থেকে মুক্ত হলেও অপ্রয়াণিত অঙ্গীকার এখানেও স্বীকার করা হয়েছে।  $A$  প্রকার অণুর নিকটবর্তী কোন আয়তনে  $B$  প্রকার কোন অণুর থাকার সম্ভাব্যতাকে  $u$ ,  $v$ ,  $w$  এর সম্পূর্ণ নিরপেক্ষ ধরা হ'য়েছে। কিন্তু কোন একটি অণুর গতিবেগ গড় গতিবেগের তুলনায় অনেক বেশী হ'লে আশা করা যায় যে তার সমীপবর্তী অণুগুলির অস্তিত্ব কয়েকটি ঐ দুর্গামী অণুর সংগে সংঘর্ষ হেতু অধিক গতিবেগ লাভ ক'রে থাকবে; এবং তার ফলে সমীপবর্তী অণুগুলির গতিবেগ মোটের উপর অন্যান্য অণুর তুলনায় বেশী হবে। বোল্টস্মানের প্রণালীতে প্রথমেই এর বিপরীত সিদ্ধান্ত ধরে নেওয়া হ'য়েছে। এই দিক দিয়া বিচার করলে বোল্টস্মানের প্রণালীও কিছুটা ঝুঁটিবৃত্ত।

#### ৪.৪ $a$ ও $\alpha$ প্রবক্ষয়ের মান ও গতিবেগের গড়

$a$  প্রবক্ষের মান 4.2.8 সূত্রগুলির যে কোনটির থেকে বার করা যায়।

কোন অণ্টুর গতিবেগের  $x$  উপাখ্য যেহেতু  $-\infty$  থেকে  $\infty$  এর মধ্যে অবস্থিত হবে, অতএব

$$\int_{-\infty}^{\infty} f(u) du = \int_{-\infty}^{\infty} a e^{-u^2/a^2} du = 1$$

$$\text{বা, } a \alpha \sqrt{\pi} = 1 \quad (\text{পাদটীকা মুক্তব্য})$$

$$\text{অর্থাৎ } a = \frac{1}{\alpha \sqrt{\pi}}$$

4.4.1

$f(u)$ ,  $f(v)$  ইত্যাদিতে 'a' মূলকের এই মান ব্যবহার করা যাবে :

$$f(u) = \frac{1}{a \sqrt{\pi}} e^{-u^2/a^2}, \quad f(v) = \frac{1}{a \sqrt{\pi}} e^{-v^2/a^2}$$

4.4.2

$$f(w) = \frac{1}{a \sqrt{\pi}} e^{-w^2/a^2} \quad (4.2.8 \text{ থেকে})$$

$a$  মূলকের ব্যবহারিক অর্থ নির্ণয়ের জন্য লক গতিবেগ  $c$  এর বচ্ছন্সূষ্ট জানা প্রয়োজন। ইতিপূর্বে দেখা গেছে  $u$  ও  $u+du$ ,  $v$  ও  $v+dv$

$$\int_{-\infty}^{\infty} e^{-u^2/a^2} u^n du \text{ এর মান :}$$

$n$	$y$	$n$	$y$
0	$\frac{a}{2} \sqrt{\pi}$	1	$\frac{a^2}{2}$
2	$\frac{a^3}{4} \sqrt{\pi}$	3	$\frac{a^4}{2}$
4	$\frac{3a^5}{8} \sqrt{\pi}$	5	$a^6$
$2k$ ( $k = \text{পূর্ণসংখ্যা}$ )	$\frac{a^{2k+1} \Gamma_{k+\frac{1}{2}}}{2}$ $= \frac{1.3.5...(2k-1)}{2^{k+1}} \sqrt{\pi} \cdot a^{2k+1}$	$2k+1$	$\frac{k!}{2} a^{2(k+1)}$

এবং  $w$  ও  $w + dw$  এই সীমার মধ্যে গতিবেগ-উপাখণিশক্তি অণুর ঘনসংখ্যা

$$dn = n f(u) f(v) f(w) du dv dw$$

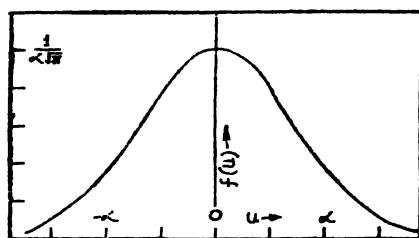
$$= \frac{n}{a^3 \pi^{\frac{3}{2}}} e^{-c^2/a^2} d\tau [d\tau - du dv dw]$$

— গতিবেগ নির্দেশত্বে অভিকৃত আয়তন ]

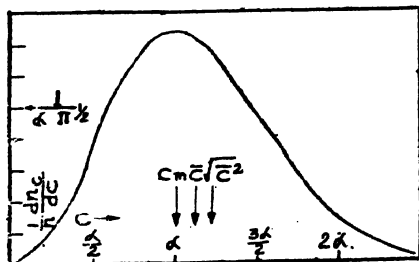
গ্যাস অণুর গতিবেগকে যদি কোন গোলীয় নির্দেশত্বে ( $c, \theta, \phi$ ) নির্দেশিত করা যায় তবে  $d\tau$  এর পরিবর্তে গোলীয় নির্দেশত্বে মান  $c^2 \sin \theta d\theta dc d\phi$  ব্যবহার করা যায়। যেহেতু লক্ষ গতিবেগের বক্টরসূত্র  $\theta$  ও  $\phi$  উপর নির্ভরশীল হ'তে পারে না, কেবলমাত্র  $c$  এর উপর বক্টরসূত্রের নির্ভরশীলতা অনুসন্ধানের জন্য  $\theta$  ও  $\phi$  এর উপর  $dn$  এর সমাকলন প্রয়োজন।  $c$  ও  $c+dc$  এর মধ্যে লক্ষ গতিবেগ বিশিষ্ট অণুর ঘনসংখ্যা

$$dn_c = \frac{n}{a^3 \pi^{\frac{3}{2}}} e^{-c^2/a^2} c^2 dc \int_0^\pi \sin \theta d\theta \int_0^{2\pi} d\phi$$

$$= \frac{4n}{a^3 \pi^{\frac{1}{2}}} e^{-\frac{c^2}{a^2}} c^2 dc \quad 4.4.3$$



চিত্র ৪.৩ (ক) —  $u$  এর বক্টর



চিত্র ৪.৩ (খ) —  $c$  এর বক্টর

4.4.2 ও 4.4.3 সূত্রের সাহায্যে  $u, v, w$  ও  $c$  এর বক্টরপ্রকৃতি জানা যাব।

৪.৩ চিত্রস্বরে  $u$  ও  $c$  এর বক্টর দেখানো হ'ল।

৪.৪.৩ সূচের সাহায্যে লক গাত্তবেগের গড় মান নির্ণয় করা যাব। সচরাচর যে গড় মানগুলি ব্যবহৃত হয় সেগুলি হ'ল—(ক) গাত্তবেগের মধ্যক (arithmetic mean)  $\bar{c}$  (খ) মূল গড় বর্গবেগ  $\sqrt{\bar{c}^2}$  এবং (গ) সর্বাধিক সম্ভাব্য গাত্তবেগ। এই মানগুলি নির্ণয় করা যাব।

$$\begin{aligned}
 \text{(ক) গাত্তবেগের মধ্যক } \bar{c} &= \frac{1}{n} \int_0^{\infty} cdn_e \\
 &= \frac{4}{\alpha^3 \pi^{\frac{1}{3}}} \int_0^{\infty} e^{-bc^3} c^3 dc \\
 &= \frac{2\alpha}{\sqrt{\pi}} \tag{4.4.4}
 \end{aligned}$$

$$\begin{aligned}
 \text{(খ) গড় বর্গবেগ } \sqrt{\bar{c}^2} &= -\frac{1}{n} \int_0^{\infty} c^2 dn_e \\
 &= \frac{4}{\alpha^8 \sqrt{\pi}} \int_0^{\infty} e^{-bc^3} c^4 dc \\
 &= \frac{8}{3} \alpha^2 \tag{4.4.5}
 \end{aligned}$$

$$\begin{aligned}
 \text{(গ) সর্বাধিক সম্ভাব্য গাত্তবেগের } (c_m) \text{ জন্য } \frac{d}{dc} \left( \frac{dn_e}{dc} \right)_{c_m} &= 0 \\
 \text{অথবা } \frac{d}{dc} \left( e^{-c^3/\alpha^3} c^2 \right)_{c_m} &= 0 \\
 \text{বা } c_m &= \alpha \tag{4.4.6}
 \end{aligned}$$

তিনি প্রকার গড় গাত্তবেগের অনুপাত নিম্নরূপ :

$$\begin{aligned}
 \bar{c} : \sqrt{\bar{c}^2} : c_m &= \frac{2}{\sqrt{\pi}} : \sqrt{\frac{3}{2}} : 1 \\
 &= 1.128 : 1.225 : 1
 \end{aligned}$$

প.৩(খ) চিহ্নে গড় গাত্তবেগগুলির অবস্থানও দেখানো হয়েছে।

এখন আমরা  $a$  ধূকের ব্যবহারিক অর্থ নির্ণয় করতে পারি। 2.5.8 ও 4.4.5 সূত্রের সাহায্যে

$$\sqrt{\frac{3}{2}} a = \sqrt{\frac{3kT}{m}}$$

$$\text{অথবা, } a = \sqrt{\frac{2kT}{m}}$$

4.4.7

4.4.2 ও 4.4.3 সূত্রগুলিকে এখন কোন অনিদিক্ষ ধূক ছাড়াই লেখা যেতে পারে :

$$\left. \begin{aligned} f(u) &= \sqrt{\frac{m}{2\pi kT}} e^{-\frac{mu^2}{2kT}} \\ f(v) &= \sqrt{\frac{m}{2\pi kT}} e^{-\frac{mv^2}{2kT}} \\ f(w) &= \sqrt{\frac{m}{2\pi kT}} e^{-\frac{mw^2}{2kT}} \end{aligned} \right\} 4.4.8$$

$$\frac{dn_e}{dc} = n \sqrt{\frac{2}{\pi}} \left(\frac{m}{kT}\right)^{\frac{3}{2}} e^{-\frac{mc^2}{2kT}} c^2. \quad 4.4.9$$

4.4.4 ও 4.4.7 সূত্র থেকে পাওয়া যায়

$$\bar{c} = \sqrt{\frac{8kT}{m\pi}} \quad 4.4.10$$

### ৪.৫ অণুর গতীয় শক্তির বণ্টন

রেখিক গতির জন্য অণুর গতীয় শক্তি  $E = \frac{1}{2} mc^2$ ।  $E$  এর বণ্টনসূত্র

4.4.9 থেকে সহজেই পাওয়া যায়।

$$c^2 = \frac{2E}{m}, \quad dc = \frac{dE}{\sqrt{2mE}} \text{ ব্যবহার ক'রে}$$

$$dn_E = n \sqrt{\frac{2}{\pi}} \left(\frac{m}{kT}\right)^{3/2} e^{-\frac{E}{kT}} \cdot \frac{2E}{m} \cdot \frac{dE}{\sqrt{2mE}}$$

$$= \frac{2n}{\sqrt{\pi k^3 T^5}} \sqrt{E} e^{-\frac{E}{kT}} dE \quad 4.5.1$$

এখানে  $dn_E = E + dE$  সীমার মধ্যে গতীয় শক্তিবিশিষ্ট অণুর হন্দহ-সংখ্যা।  $E$  এর পরিবর্তে ধার্তাবিহীন রাশি  $\epsilon = \frac{E}{kT}$  ব্যবহার করলে উপরের সূত্রটি আরও সরল হয় :

$$dn_E = \frac{2n}{\sqrt{\pi}} \sqrt{\epsilon} e^{-\epsilon} d\epsilon \quad 4.5.2$$

#### ৪.৬ ব্যবহারিক উপায়ে ম্যাজ্ঞওয়েলীয় বেগবন্টন সূত্রের প্রতিপাদন

এই পর্যন্ত যে সমস্ত উপায়ে ম্যাজ্ঞওয়েল সূত্রের সত্যতা প্রমাণিত হ'রেছে সেগুলিকে মোটের উপর প্রতাক্ষ ও পরোক্ষ এই দুইভাগে ভাগ করা যায়। প্রতাক্ষ উপায়ে কোন নির্দিষ্ট উক্তায় অণুর বেগবর্ণালি (velocity spectrum) নিরূপিত হয় অথবা বিভিন্ন গাঁতবেগসীমার মধ্যে অণুর আপেক্ষিক প্রাচুর্য নির্ণ্যাত হয়। পরোক্ষ উপায় বলতে সেইসব পরীক্ষাকে বোঝানো হবে যেখানে অণুর ( বা ইলেক্ট্রনের ) বেগপ্রসূত অন্য কোন ক্রিয়ার পর্যবেক্ষণ করা হয়। এই অংশে দুই প্রকারেরই কয়েকটি প্রণালী আলোচিত হবে।

#### প্রত্যক্ষ উপায়

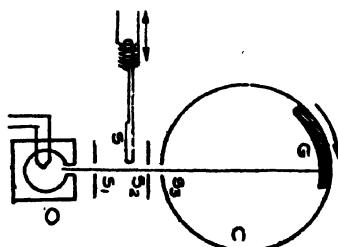
##### (ক) আবর্তক-পাত প্রণালী

এই প্রণালীতে দুইটি প্লিটের মধ্য দিয়ে প্রেরিত অণুর রশ্মি দুটি সরণশীল এক আবর্তনকারী পাতের উপর পড়ে। পাতের উপর অণুর যে প্রলেপ পড়ে, বিভিন্ন স্থানে তার গভীরতা থেকে রশ্মির মধ্যে অণুর বেগের বন্টন নির্ধারণ করা যায়। স্টার্ন (Stern, 1920), জার্টমান (Zartman, 1931) ও কো (Ko, 1934) এই পদ্ধতি ব্যবহার করেন।

#### জার্টমান ও কোর পরীক্ষা :

৪.৪ চিত্রে জার্টমানের ব্যবহৃত ষষ্ঠৈর বিন্যাস দেখানো হ'ল। এখানে  $O$  একটি বৈদ্যুতিক চুল্লী এবং তার মধ্যে উক্তপ্রতি বিসমাখ দুইটি সূক্ষ্ম প্লিট  $S_1$  এবং  $S_2$  এর মধ্য দিয়ে অণুরাশ্রূপে নির্গত হয়। অণুগুলি যাতে অন্য গ্যাস-অণুর সংগে সংবর্ধ না ঘটে সেজন্য সমস্ত ষষ্ঠীটি উচ্চ নির্বাত কক্ষে রাখা হয়। কক্ষের মধ্যে চাপ  $10^{-5}$  মিমি. পারদ বা তার ছেঁয়েও কম থাকে। চিত্রে  $S$  একটি চৌম্বক কপাট এবং এটিকে নির্বাত কক্ষের বাইরে থেকে ইচ্ছামত অণুরাশ্রূপ

পথে প্রবিষ্ট করা যায়।  $C$  একটি দৃত অবর্তনশীল ফাঁপা বেলন। এটির গান্ধেও  $S_3$  স্লিট এমনভাবে কাটা আছে যে বেলনটি দূরলে এক সময়  $S_3 S_4$



৪.৪ চিত্র—জাঁটমানের পরীক্ষার বিন্যাস

এর ঠিক উপরে আসে। এই অবস্থায় অণুরাশি বেলনের অভ্যন্তরে প্রবেশ করে এবং কাঁচের প্লেট  $G$  এর উপর পড়ে। তরল বায়ুর সাহায্যে কঞ্জিটি হিমায়িত রাখা হয়। এতে কক্ষের চাপ কম রাখতে সাহাধ্য করে আবার এর ফলে বিসমাধ অণুরাশি কাঁচের প্লেটের উপর সহজেই প্লেপ সৃষ্টি করতে পারে। চুল্লীর উষ্ণতা থার্মোকাপ্ল্ৰ এর সাহায্যে মাপা যায়।

প্রথমে বেলনটি এমন অবস্থায় স্থির রাখা হয় যাতে  $S_3$  ঠিক  $S_4$  এর উপরে থাকে। চুল্লীটি উত্তপ্ত করার পর  $S$  কপাট কিছুক্ষণ খুলে রাখা হয়, ফলে অণুরাশি  $G$  প্লেটের উপর  $S_3$  এর বিপরীত বিন্দু  $P$ তে এক প্লেপ সৃষ্টি করে। বেলনের মধ্যে প্রবিষ্ট হওয়ার পর স্লিটের প্রস্তুত দরুণ অণুরাশি কিছুটা ছড়িয়ে পড়ে, ফলে এই প্লেপের কিছুটা প্রস্তুত থাকে। নির্দিষ্ট সময়ে মোট নির্গত অণুর সংখ্যা  $n$  এবং প্লেপের প্রস্তুত  $2a$  হয় তবে  $\frac{n}{2a}$  রাশিকে প্লেপের গভীরতা  $I_0$  বলা যায়। প্লেটিকে এখন অপসারিত ক'রে মাইক্রো-ফটোমিটারের সাহায্যে প্লেপের প্রস্তুত ও গভীরতা মাপা হয়।

অনুরূপভাবে বেলনের ঘূর্ণযান অবস্থাতেও প্লেটের উপর বিসমাধ অণুর প্লেপ পাওয়া যায়। কিন্তু এক্ষেত্রে অণুরাশির  $S_3$  এর মধ্য দিয়ে প্রবেশ করার পর  $G$  তে পৌছাবার আগেই প্লেটটি কিছুটা দূরহে সরে যায়। বিস্তৃত অণু আগের গতিবেগ অনুযায়ী প্লেটের বিন্দুতে প্রতিত হয়। ধৰা থাক  $C$  গতিবেগ বিশিষ্ট কোন অণু শূধুমাত্র কাঁচের প্লেটের গতিবেগের জন্ম  $P$  বিন্দু থেকে  $S$  দূরহে প্লেটের উপর পড়ে। বেলনের অভ্যন্তরীণ ব্যাস  $-d$ ,

প্রতি সেকেন্ডে বেলনের আবর্তন সংখ্যা =  $n$ , হ'লে অণ্ডের  $S_0$  থেকে  $G$  পর্যন্ত  
যাওয়ার সময় =  $\frac{d}{C} - \frac{S}{\pi n_r d}$

$$\text{সূত্রাঃ } S = \frac{\pi n_r d^2}{C} - \frac{A}{C} \quad (A = \pi n_r d^2) \quad 4.6.1$$

চুল্লীর মধ্যে উন্নত অণ্ডগুলির গাতবেগ য্যাক্রমেলীর সূত্র অনুবায়ী বট্টিত  
থাকে। কিন্তু যে অণ্ডগুলি চুল্লী থেকে নির্গত হয় তাদের গাতবেগের বট্টন  
একই প্রকার হয় না। চুল্লীর গাত্রে  $dS$  ক্ষেত্রফলের উপর একক সময়ে প্রতিত  
এবং  $C$  থেকে  $c + dc$  এর মধ্যে গাতবেগবিশিষ্ট অণ্ডের সংখ্যা  $\frac{1}{4} dn_0 \cdot c dS$   
(3.7.2 ও 4.4.3 সূত্র দ্রষ্টব্য)। চুল্লীর উপরস্থ ছিদ্রের মধ্য দিয়ে পূর্বের সমান  
সময়ে নির্গত অণ্ডরশ্মির মধ্যে অণ্ডের গাতবেগের বট্টনকে নৌচের সূত্রের সাহায্যে  
ধর্ণনা করা যায় :

$$dn_0 = Ke^{-\frac{c^2}{\alpha^2}} C^3 dC \quad 4.6.2$$

এখানে  $K$  = ধূবক এবং  $dn_0$  = রশ্মির মধ্যে  $C$  ও  $C + dC$  গাতবেগের মধ্যে  
অণ্ডের সংখ্যা। এখন  $dn_0$  বা  $P$  বিন্দু থেকে  $S$  ও  $S + dS$  দূরত্বের মধ্যে  
প্রতিত অণ্ডের সংখ্যা ( 4.6.1 এর সাহায্যে )

$$dn_0 = K'e^{-(S_0/S)^2} S^{-5} dS$$

এখানে  $K'$  = অপর এক ধূবক,  $S_0 = \frac{A}{\alpha}$  বা সর্বাধিক সম্ভাব্য গাতবেগের জন্য  $S$   
এর মান।  $K'$  এর মান  $\int dn_0 = n$  সম্পর্ক থেকে বাব্র করা যায় :

$$n = \int_0^\infty K'e^{-(S_0/S)^2} S^{-5} dS = \frac{K'}{2S_0^4}$$

$$\text{অথবা } K' = 2nS_0^4$$

$$\text{বা } dn_0 = 2nS_0^4 S^{-5} e^{-(S_0/S)^2} dS$$

$$= 4aI_a S_0^4 S^{-5} e^{-(S_0/S)^2} dS \quad 4.6.3$$

এই  $dn_s$ , সংখ্যক অণু- কাচের প্রেটের উপর  $P$  বিন্দু থেকে  $S-a$  ও  $S+a$  দূরত্বের মধ্যে সমানভাবে পার্তি হবে।  $P$  বিন্দু থেকে প্রকৃত দূরত্বকে সর্বিদি  $x$  বলা যায় তবে এই  $dn_s$ , সংখ্যক অণু-র  $\frac{dn_s}{2a} \cdot dx$  অণু-  $x$  থেকে  $x+dx$  দূরত্বের মধ্যে পার্তি হবে।  $x$  থেকে  $x+dx$  দূরত্বে পার্তি অণু-র মোট সংখ্যা।

$$dN_x = \frac{dx}{2a} \int_{S=x-a}^{x+a} dn_s$$

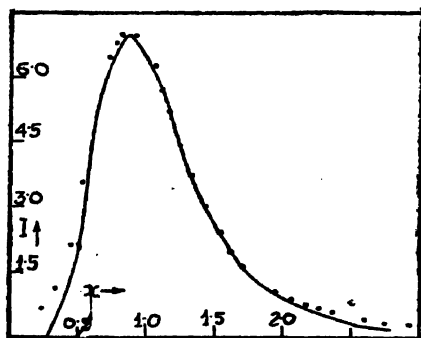
অতএব কাচের প্রেটে প্রলেপের গভীরতা

$$\begin{aligned} I &= \frac{dN_x}{dx} = \frac{1}{2a} \int_{x-a}^{x+a} dn_s \\ &= 2I_0 S_0^4 \int_{x-a}^{x+a} S^{-6} e^{-(S_0/S)^2} dS \\ &= 2I_0 \int_{\frac{x-a}{S_0}}^{\frac{x+a}{S_0}} u^8 e^{-u^2} du \quad \left( u = \frac{S_0}{S} \right) \\ &= I_0 \left[ e^{-\left(\frac{S_0}{x-a}\right)^2} \left\{ \left(\frac{S_0}{x-a}\right)^2 + 1 \right\} - e^{-\left(\frac{S_0}{x+a}\right)^2} \left\{ \left(\frac{S_0}{x+a}\right)^2 + 1 \right\} \right] \end{aligned}$$

4.6.4

এই সূত্রে  $I_0$  এবং  $a$  এর মান পূর্বেই জ্ঞাত আছে।  $S_0$  এর মান চুল্লোয় উক্ততা,  $n_s$  ও  $d$  এর মান থেকে নির্ণয় করা যায়। ৪.৫ চিত্রে রেখার সাহায্যে  $I$  এর প্রত্যাশিত মান এবং বিন্দুর সাহায্যে কো-এর পরিমাপক মান দেখানো হ'য়েছে। প্রত্যাশিত মান নির্ধারণে বিসমাধ অণু-রিচ্চির মধ্যে ৪৪% অণু-  $Bi$ , 54%  $Bi_2$  ও 2%  $Bi_3$  বলে ধরা হ'য়েছে। মোটামুটিভাবে পরীক্ষার বিন্দুগুলি প্রত্যাশিত লেখের সংগে মেলে। অবশ্য কিছুটা গর্বিমল একেতে

অবশ্যভাবী কেননা অণ্ডুরিশ্চির মধ্যে কিছু  $Bi_8$  অণ্ড ও থাকে এবং রাষ্ট্রের প্রকৃত সম্পূর্ণতা (composition) সঠিকভাবে জ্ঞাত নয়।

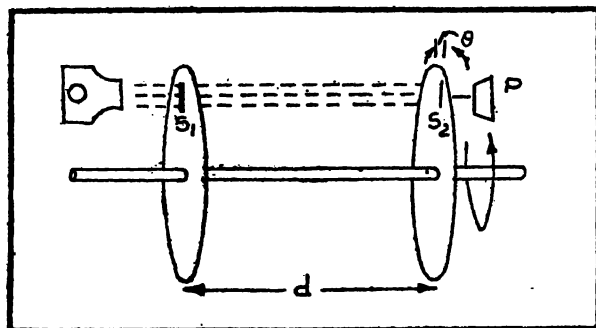


চিত্র ৮.৫—কো এর পরীক্ষালক ফল

#### (খ) বেগনির্বাচক প্রণালী

এখানে অণ্ডুরিশ্চকে এমন কোন ব্যবস্থার মধ্য দিয়ে প্রেরণ করা হয় যাতে কেবল নির্দিষ্ট সীমার মধ্যে গতিবেগবিশুষ্ট অণ্ডগুলিই নিগত হতে পারে। এই অণ্ডগুলির প্রাচুর্য এখন পৃথকভাবে মাপা যায়। যে সকল বিজ্ঞানী এই পদ্ধতি ব্যবহার করেন তাদের মধ্যে আছেন স্টার্ন (1926), কোস্টা, স্মাইথ ও কম্পটন (Costa, Smyth & Compton 1927) ও ল্যাম্বার্ট (Lammert, 1929)। শেষেষ্ঠ জনের পরীক্ষা এখানে আলোচিত হবে।

ল্যাম্বার্টের পরীক্ষা : এই পরীক্ষায় অণ্ডুরিশ্চ নির্বাতকক্ষে রাষ্ট্রিত দুইটি ঘূর্ণমান সমাক্ষ চক্রের ব্যাসার্ধ বরাবর কর্তৃত স্লিটের মধ্য দিয়ে চালিত



চিত্র ৮.৬—ল্যাম্বার্টের পরীক্ষা

হয় (চিত্র ৮.৬) চক্রবর্তের প্রতি ঘূর্ণনে O চূলী থেকে পারদারণ্ড একটি গুচ্ছ

প্রথম চক্রের স্লিট  $s_1$  এর মধ্য দিয়ে নির্গত হয়। এই অণুগুলির বেগ 4.6.2 স্থানুযায়ী বাস্তিত থাকে। দ্বিতীয় চক্রের স্লিট  $s_2$ ,  $s_1$  অপেক্ষা  $\theta$  কোণ পশ্চাতে থাকে। চক্রবর্য যদি একক সময়ে  $n$  বার ঘূর্ণত হয় তবে  $s_1$  থেকে নির্গত অণুরশির পথে আসতে  $s_2$  স্লিটের  $\frac{\theta}{2n\pi}$  সময় লাগে। যে সমন্বয় অণু-চক্রবর্যের মধ্যের দূরত্ব  $d$  অতিরুম্ভ করতে এর সমান সময় নেয় কেবল সেগুলিই  $s_2$  এর মধ্য দিয়ে নির্গত হ'তে পারে। এই অণুগুলির গড় গতিবেগ

$$V = \frac{2n\pi d}{\theta} \quad 4.6.5$$

বক্তৃতাঃ স্লিটগুলির কিছুটা প্রস্তুত থাকার ফলে নির্গত অণুগুলির গতিবেগের কিছুটা বিস্তার থাকে।

দ্বিতীয় চক্রের পশ্চাতে তরলবায়ু দ্বারা হিমায়িত একটি কাঁচের প্লেট  $P$  থাকে। এই প্লেটের উপর পারদঅণুর প্রলেপসৃষ্টি হয় এবং এই প্রলেপ দৃশ্যমান হ'তে যে সময় লাগে অণুরশির মধ্যে উল্লিখিত গতিবেগের অণুর প্রাচুর্য তার বাস্তানুপাতী ব'লে ধরা যায়। বিভিন্ন গতিবেগে সীমার মধ্যে অণুর আপেক্ষিক প্রাচুর্য এই পদ্ধতিতে নির্ণয় করা যায় এবং সেগুলিকে প্রত্যাশিত প্রাচুর্যের সংগে মিলিয়ে ম্যাঝওয়েলীয় সূত্রের সতৰা নির্ধারণ করা যায়।

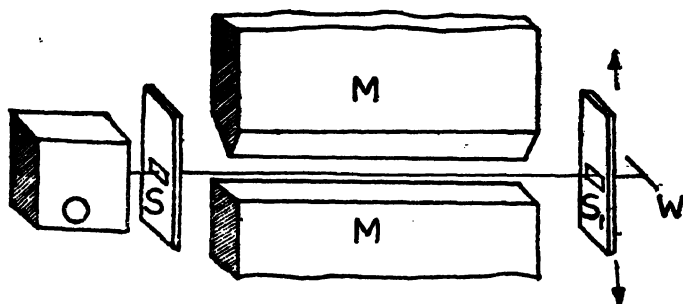
প্রকৃতপক্ষে চক্রবর্যের উপর একাধিক স্লিট থাকে নচেৎ পারদপ্লেপ দৃশ্যমান হ'তে অত্যন্ত বেশী সময় নেয়। উচ্চগতির কিছু অণু দ্বিতীয় চক্রের যে স্লিট দিয়ে নির্গত হয়, কিছু অল্পগতির অণু প্রথম চক্রে একই স্লিট দিয়ে বার হ'লেও দ্বিতীয় চক্রে তার পরবর্তী স্লিট দিয়ে বার হ'তে পারে। ফলে এই পদ্ধতিতে অতি দুর্দ ও অতি মন্দগতি অণুর আপেক্ষিক প্রাচুর্য নির্ণয় করতে অসুবিধা হয়।

#### (গ) অণুর চৌম্বক বিক্ষেপণ প্রণালী

অসমসত্ত্ব চৌম্বকক্ষেত্রে চৌম্বক দ্বিমেরুবিশিষ্ট অণুর বিক্ষেপণ ঘটে। এই বিক্ষেপণ অণুর বেগের উপর নির্ভরশীল, কাজেই বিক্ষেপণের মাত্রা থেকে অণুর বেগের ধারণা করা যায়।

মাইসনার ও শেকার্স (Meissner & Scheffers, 1933) এই পদ্ধতিতে ম্যাঝওয়েলীয় সূত্রের যাধাৰ্য প্রতিপন্থ কৱেন। তাদেৱ পৱীক্ষার ব্যবহৃত ঘন্টের বিন্যাস ৪.৭ চিন্দ্ৰে দেখাবো হ'ল। চূলী  $O$  থেকে পটোশিয়াম

বা লিথিয়ামের এক-পরমাণুক অণু-র বিশ্ব অনুভূমিক প্লট  $s$  এর মধ্য দিয়ে  
বাল্ব হ'য়ে এক নির্বাত কক্ষের মধ্যে উল্লম্ব চৌম্বক ক্ষেত্র  $H_s$  এর মধ্য দিয়ে



চিত্র ৪.৭

গমন করে। এই চৌম্বক ক্ষেত্রের নির্তিমাত্রা (gradient)  $\frac{dH_s}{dz}$  ও প্রবল।

বিশেষ আকৃতির মেরুবিশিষ্ট চুম্বকের ( $M$ ) সাহায্যে এবং চৌম্বক ক্ষেত্রের সৃষ্টি হয়। চৌম্বক ক্ষেত্রের মধ্যে পরমাণুর দ্বিমেরু এমনভাবে বিনাশ হয় যাতে চৌম্বক ভ্রান্তকের (magnetic moment) উল্লম্ব উপাংশ হয়  $g m \mu_B$  ( $g$ -লাঞ্জের অনুপাত ; যদি কোণিক ভরবেগের মোট কোয়ান্টাম সংখ্যা  $j$  হয় তবে  $m = j$  ও  $-j$  এর মধ্যবর্তী কোন পূর্ণসংখ্যা ;  $\mu_B = \frac{e\hbar}{4\pi mc}$  বা বোর ম্যাগনেটন )। এই দ্বিমেরুর উপর  $g m \mu_B \cdot \frac{dH_s}{dz}$  বল ত্রিয়া করে এবং তার ফলে  $M$  ভ্রান্তিশিষ্ট পরমাণুর  $\frac{g m \mu_B}{M} \cdot \frac{dH_s}{dz}$  স্বরূপ হয়। ধরা যাক কোন পরমাণু  $c$  গতিবেগে চৌম্বক ক্ষেত্রের মধ্যে । দৈর্ঘ্য অতিক্রম করে। । দৈর্ঘ্যের পরে এই পরমাণুর মোট বিক্ষেপণ হবে

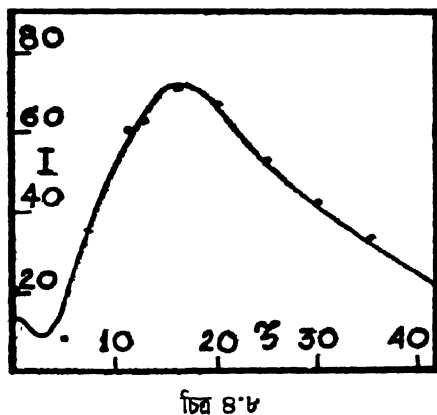
$$\zeta = \frac{1}{2} \left( \frac{g m \mu_B}{M} \cdot \frac{dH_s}{dz} \right) \cdot \left( \frac{l}{c} \right)^2 \quad 4.6.6$$

লিথিয়াম বা পটাশিয়াম পরমাণুর ক্ষেত্রে  $j = \frac{1}{2}$ ,  $g = 2$ , অর্থাৎ

$$\zeta = \pm \frac{\mu_B}{2M} \cdot \frac{dH_s}{dz} \cdot \frac{l^2}{c^2}$$

পূর্বেই দেখা গেছে যে অণু-রশ্মির মধ্যে  $c$  এর বক্টর 4.6.2 সূত্র অনুযায়ী হয়।  
সূত্রাং কে এর মানও তদনৃয়ায়ী বর্ণিত হয়।

অণুর বিক্ষেপণ সূক্ষ্মভাবে নির্ণয় করার জন্য অণুরাঞ্চিকে একটি সূক্ষ্ম অনুভূমিক স্লিটের (s) উপর ফেলা হয়। এই স্লিটের পশ্চাতে প্লাটিনাম বা অন্য কোন ধাতুর একটি সূক্ষ্ম তার (w) থাকে। তারটিকে যদি উভ্যে অবস্থার রাখা যায় তবে স্লিটের মধ্য দিয়ে নির্গত অণুগুলি ঐ তারের উপর পর্যাপ্ত হ'য়ে পজিটিভ আয়নবৃপ্তে পুনর্বিকীর্ণ হয়। এর ফলে তারটির থেকে বে বিদ্যুৎ-প্রবাহ (I) সৃষ্টি হয়, সেটির পরিমাপ করলেই স্লিটের মধ্যে প্রবিষ্ট অণুরাঞ্চির তীক্ষ্ণতার আপেক্ষিক মান পাওয়া যায়। স্লিট ও তার পশ্চাদ্বর্তী তারটিকে মাইক্রোমিটার স্ক্রুর সাহায্যে ওঠানামা করানো যায়। চৌম্বকক্ষেত্রের অনুপার্ছিততে স্লিটের বে অবস্থানে অণুরাঞ্চি স্লিটের উপর পড়ে, সেখান হ'তে উপরে ও নীচে I এর পরিমাপ করা হয়। লিথিয়ামের জন্য I এর প্রত্যাশিত ও সূক্ষ্ম পরিবর্তন ৪.৮ চিহ্নে দেখা যাবে। অতি অল্প বিক্ষেপণের ক্ষেত্রে ব্যাতীত উভয়ের মধ্যে সূচর সমষ্টি দেখা যায়। অল্প বিক্ষেপণে I এর মান বেশী লক্ষিত হওয়ার কারণ এই যে লিথিয়াম অণুরাঞ্চির মধ্যে কিছু চৌম্বক-ছিমেরুহীণ  $Li_2$  অণুও থাকে। চৌম্বক ক্ষেত্রে এগুলির কোন বিক্ষেপ ঘটে না।



### পরোক্ষ উপায়

#### (ক) বর্ণালিরেখার প্রভু থেকে

আলোক বিকিরণকারী কোন উৎস যখন কোন দিকে গতিবেগ সাত করে তখন ঐ গতিবেগের দিকে বিকীর্ণ আলোকের কম্পাক্ষের নিম্নের সূচ অনুযায়ী পরিবর্তন ঘটে :

$$v = v_0 \left(1 + \frac{u}{c}\right)$$

4.6.7

এখানে  $v$  ও  $v_0$ —পরিবর্ণিত ও মূল কম্পাক্ষ,  $c$ —আলোকের গতিবেগ ও  $u$ —বিকিরণের দিকে উৎসের গতিবেগের উপাংশ ( $u < < c$ )। কম্পাক্ষের এই পরিবর্তনকেই ‘ডপলার অভিক্রিয়া’ বলে। যদি মূল বিকিরণের বর্ণালিতে কোন প্রকৃত রেখা থাকে এবং বিকিরণকারী উৎসগুলির গতিবেগ ম্যাজ্ঞওয়েলীয় সূত্র অনুযায়ী বর্ণিত থাকে তবে ডপলার ক্রিয়ার ফলে রেখাটির কিছুটা প্রসারণ হচ্ছে। গতিবেগের কোন এক উপাংশ  $u$  ৪.৪.২ সূত্র অনুযায়ী বর্ণিত হবে, ফলে বর্ণালিরে খার উজ্জ্বলতা  $I_0$  এর মান হবে

$$I_v = I_0 e^{-\alpha^2 v_0^2 (v - v_0)^2}$$

এখানে  $I_0$ —মূল কম্পাক্ষ  $v_0$ তে উজ্জ্বলতার মান। কম্পাক্ষের পরিবর্তে তরঙ্গদৈর্ঘ্য  $\lambda$  ব্যবহার করলে এবং  $\alpha^2 = \frac{2kT}{m}$  লিখলে পাওয়া যায় :

$$I_\lambda = I_0 e^{-\frac{mc^2}{2kT} \cdot \frac{(\lambda - \lambda_0)}{\lambda_0^2}} \quad 4.6.8$$

৪.৬.৮ সূত্রের সত্ত্বে প্রমাণিত হ'লে পরোক্ষভাবে ম্যাজ্ঞওয়েলীয় বক্টরসূত্রও প্রতিপাদিত হয়। নানা উপায়ে ৪.৬.৮ সূত্র পরীক্ষিত হয়েছে। সাধারণতঃ অল্প চাপে গ্যাসের মধ্যে যখন বিদ্যুৎ-প্রবাহ প্রেরিত হয় তখন গ্যাস পরমাণুগুলির রেখা-বর্ণালি পাওয়া যায় এবং ঘনত্ব অল্প হওয়ার ফলে কোন বিহিপ্রভাব বর্ণালিরেখার প্রস্ত সংজ্ঞাত করে না। এই প্রকার রেখা-বর্ণালির আলোকচিত্র বর্ণালি-আলোকমিতির (spectro-photometry) সাহায্যে সূক্ষ্মভাবে পরীক্ষা করে ৪.৬.৮ সূত্রের সঙ্গে মিলিয়ে দেখা যায়।

বর্ণালিরেখা প্রস্তহীন হ'লে বাতিচারজাত ডোরার (Fringe) স্পষ্টতা সব পর্যায়েই (Order) সমান থাকে। অপরপক্ষে বর্ণালিরেখার কিছুটা প্রস্ত থাকলে ডোরার স্পষ্টতা পর্যায় সংখ্যা বাড়ার সংগে কমতে থাকে এবং ক্রমশঃ সেগুলি অদৃশ্য হ'য়ে যায়। সর্বাধিক দৃশ্যমান পর্যায়সংখ্যা কিছুটা পর্যাবেক্ষকের উপর নির্ভর করে। ডোরার মধ্যে সর্বাধিক ও সর্বনিম্ন উজ্জ্বলতা  $I_1$  ও  $I_2$  হ'লে  $\frac{I_1 - I_2}{I_1 + I_2}$  রাশিটিকে ডোরার ‘স্পষ্টতা’ বলে অভিহিত করা যাক। ফেরি ও বুসোর (Fabry and Buisson) মতে ডোরাশ্রেণী দৃশ্যমান হ'তে স্পষ্টতার মান কমপক্ষে  $\frac{1}{4}$  হওয়া প্রয়োজন। আলোক-উৎসের বেগবন্ধন ম্যাজ্ঞওয়েলীয় হ'লে সেক্ষেত্রে সর্বাধিক দৃশ্যমান পর্যায়সংখ্যা হবে

$$n_{max} = 1.22 \times 10^6 \sqrt{\frac{M}{T}} \quad (M = \text{আণবিক ভর}) \quad 4.6.9$$

ফেরি ও বুসো ফেরি-পেরো বার্টিচারমান ষ্টের (Fabry-Perot interferometer) সাহায্যে, উৎস হিসাবে তাপচাপকের মধ্যে স্থিতি বিভিন্ন গ্যাসে পূর্ণ গাইসলার-টিউববাবহার ক'রে বিভিন্ন উষ্ণতার  $n_{max}$  এর মান নির্ণয়করেন। নির্ণিত মান 4.6.9 সৃষ্টি থেকে নির্ধারিত মানের সংগে মেলে।

অবশ্য এই উপায়ে বেগবন্ধন যে অবশ্যই ম্যাজ্ঞওয়েলীয় একথা প্রমাণ হয় না। তবে আলোকের পরমাণু-উৎসগুলির যে গতিবেগ আছে এবং সেই বেগ ম্যাজ্ঞওয়েলীয় ধরণেরই কোন বন্ধনসূত্র মেলে চলে একথা প্রমাণিত হয়।

#### (খ) তাপায়নীয় ডিগ্রিপ্রবাহের মান থেকে

কোন ধাতুর ফিলামেন্টকে অতিমাত্রায় উত্তপ্ত করলে তার থেকে ইলেক্ট্রন নির্গত হয়। নির্গত ইলেক্ট্রনসমূহের গতিবেগের বন্ধন ধাতুর অভ্যন্তরে ইলেক্ট্রনের বেগবন্ধনের প্রকৃতির উপর নির্ভরশীল। ধাতুর মধ্যে ইলেক্ট্রন-গুলিকে ধাতুর উষ্ণতায় অবস্থিত গ্যাসবৃপ্তে কম্পনা করা যায়। বাহিরের তুলনায় ধাতুর অভ্যন্তরে বিভবের মান  $\phi$  পরিমাণ অধিক, অর্থাৎ ইলেক্ট্রনের শ্রেণিক শক্তি  $e\phi$  পরিমাণ (ইলেক্ট্রনের বৈদ্যুতিক আধান = -e) কম হওয়ায় নির্গত হওয়ার জন্য ধাতুগাত্রের লম্ব অভ্যন্তরে ইলেক্ট্রনের গতিবেগ কোন নিয়ন্ত্রণ মান  $u_0$  অপেক্ষা অধিক হওয়া প্রয়োজন। স্পষ্টতঃই

$$e\phi = \frac{1}{2}mu_0^2 \quad 4.6.10$$

ধাতুগাত্র থেকে মোট বৈদ্যুৎপ্রবাহ বির্ণয় করতে হ'লে  $u_0$  অপেক্ষা অধিক অভিলম্ব গতিবেগে ধাতুগাত্রে পার্তিত ইলেক্ট্রনের সংখ্যা নির্ধারণ করা প্রয়োজন। ধাতুগাত্রের উপর  $x$  অক্ষের উপর লম্ব এমন এক তল  $\partial S$  নেওয়া যাক।  $\partial S$  এর উপর  $\partial S$  উচ্চতার এক বেলনাকৃতি আয়তন কম্পনা করা যাক।  $\partial S$   $\partial S$  পরিমাণ এই আয়তনের মধ্যে  $nudS \partial S f(u)du$  সংখ্যক ইলেক্ট্রনের গতিবেগ  $\partial S$  অভ্যন্তরে  $u$  ও  $u+du$  এর মধ্যে থাকবে। বেহেতু গতিবেগের  $x$ -উপাংশই ইলেক্ট্রনকে  $\partial S$  এর মধ্য দিয়ে পরিচালিত করে অতএব অন্য উপাংশসময়কে উপেক্ষা করা যেতে পারে। এই  $nudS \partial S f(u)du$  সংখ্যক ইলেক্ট্রন  $\partial S$  সময়ে  $\partial S$  তল থেকে নির্গত হবে। অতএব প্রতি সেকেন্ডে প্রতি একক ক্ষেত্রফলবিশিষ্ট তলের মধ্য দিয়ে  $u_0$  বা ততোধিক মানের গতিবেগের  $x$ -উপাংশবিশিষ্ট ইলেক্ট্রনের সংখ্যা

$$\int_{u_0}^{\infty} nu \cdot \frac{1}{a\sqrt{\pi}} e^{-u^2/a^2} du = \frac{na}{2\sqrt{\pi}} e^{-\frac{u_0^2}{a^2}}$$

অর্থাৎ তাপমাননীয় তড়িৎ প্রবাহের নির্বিভুতা (Thermionic current density)

$$i = \frac{ne}{2\sqrt{\pi}} e^{-u_0/a^2}$$

$$= ne \sqrt{\frac{k}{2m\pi}} \sqrt{T} e^{-\frac{mu_0^2}{2kT}} \quad (\because a = \sqrt{\frac{2kT}{m}})$$

$$\text{এখন } ne \sqrt{\frac{k}{2m\pi}} = A \text{ এবং } \frac{mu_0}{2k} = b \text{ লিখলে}$$

$$i = A \sqrt{T} e^{-\frac{b}{T}} \quad 4.6.11$$

উক্তা  $T$  এর উপর  $i$  এর নির্ভরশীলতা পরীক্ষার সাহায্যে সহজেই প্রাপ্তগ্রহ করা যায়।

উপরের সূত্র থেকে এছাড়াও দেখানো যায় যে বেসকল ইলেক্ট্রন  $i_{u_1}$  বা ততোধিক অভিলম্ব গতিবেগ নিয়ে ধাতুগাছ থেকে নির্গত হয় কেবলমাত্র সেগুলির সৃষ্টি তড়িৎপ্রবাহের মান

$$i_{u_1} = i_0 e^{-\frac{mu_1^2}{2kT}} \quad 4.6.12$$

শেষোন্ত সূত্রের সত্যতা নির্ধারণের জন্য রিচার্ডসন ও ভ্রাউন এক পরীক্ষা করেন। এই পরীক্ষায় উন্নত ফিলামেন্ট থেকে নির্গত ইলেক্ট্রন ফিলামেন্ট অপেক্ষা খগোষ্ঠক বিভেদে রাশ্কিত ধাতব পাতে সংগৃহীত হয়। ফিলামেন্ট ও পাতের বিভিন্ন প্রভেদে  $\frac{mu_1^2}{2e} - V$  হলো কেবলমাত্র  $eV$  অথবা  $\frac{1}{2}mu_1^2$  অপেক্ষা অধিক গতীয়শক্তি সম্পর্ক ইলেক্ট্রনই সংগ্রহকে পেঁচাতে পারবে অর্থাৎ  $i_{u_1}$  তড়িৎপ্রবাহ সংগৃহীত হবে।  $i_{u_1}$  ও  $V$  এর সম্পর্ক

$$i_{u_1} = i_0 e^{-\frac{ev}{kT}} \quad 4.6.13$$

এই সম্পর্কের সত্যতা সহজেই উপরের পরীক্ষায় প্রমাণ করা যায়।

এই প্রসঙ্গে ঘনে বাধা প্রয়োজন যে ধাতুমধ্যস্থ ইলেক্ট্রন গ্যাস প্রক্রিয়কে যান্ত্রিকভাবে ব্যটনস্য পালন করে না। ইলেক্ট্রন বেহেতু পাউলীর অপবর্জন নীতি (exclusion principle) মেনে চলে সেইহেতু ইলেক্ট্রনগ্যাস ফার্মিডিব্যাক ব্যটনস্য পালন করে। তবে উচ্চ উক্তায় অন্তত অধিক

ଗତିଶାସ୍ତ୍ର ବିଳିଷ୍ଠ ଇଲେକ୍ଟ୍ରନ୍‌ଗୁଲିର ବେଗବଣ୍ଟନ ମୋଟାମୁଟିଭାବେ ଯାହାଓରେଲୀର ସ୍ଥିତି ଅନୁସରଣ କରେ ଏବଂ ତାର ଫଳେଇ ଫିଲାମେଟ୍ ଥେକେ ନିର୍ଗତ ଇଲେକ୍ଟ୍ରନ୍‌ଗୁଲିକେ ଯାହାଓ-ଓରେଲୀର ବେଗବଣ୍ଟନ ପ୍ରତିପାଳନ କରତେ ଦେଖା ଯାଇ ।

### ୪.୭ ଆତମ୍ବ୍ୟସଂଖ୍ୟା, ଯାହାଓରେ ସ୍ତରେ ବୋଲ୍ୟୁସ୍‌ଆନେର ସଂଧୋଜନ ଓ ଗତିଯ ଶକ୍ତିର ସମବିଭାଜନ ନୀତି

ସେ ସଂଖ୍ୟକ ପାରିଚ୍ଛାରିକ ସମ୍ପର୍କବହୀନ ନିର୍ଦ୍ଦେଶାଂକେର ସାହାଯ୍ୟେ କୋନ ବନ୍ଦୁ-ସମକ୍ଷିର ଅବଶ୍ୱାର ପୂର୍ଣ୍ଣ ବର୍ଣନା ଦେଓଯା ଯାଇ ତାକେଇ ଏ ବନ୍ଦୁସମକ୍ଷିର ଆତମ୍ବ୍ୟସଂଖ୍ୟା (degree of freedom) ବଲେ ।

ସାଧାରଣଭାବେ  $x, y, z$  ନିର୍ଦ୍ଦେଶତତ୍ତ୍ଵ ଚଲନଶୀଳ କୋନ ବିନ୍ଦୁଭରେର ଆତମ୍ବ୍ୟସଂଖ୍ୟା ୩ । ଯୌଧଭାବେ ଦୁଇଟି ବନ୍ଦୁସମକ୍ଷିର ଆତମ୍ବ୍ୟସଂଖ୍ୟା ପୃଥିକଭାବେ ବନ୍ଦୁସମକ୍ଷି-ଦ୍ୱରେର ଆତମ୍ବ୍ୟସଂଖ୍ୟାର ଯୋଗଫଳ । ଅର୍ଥାତ୍ ପୂର୍ବେ ଆଲୋଚିତ ଆଦର୍ଶଗ୍ୟାର ଅଣ୍ଟର ମତ  $N$  ସଂଖ୍ୟକ ବିନ୍ଦୁଭରେର ଆତମ୍ବ୍ୟସଂଖ୍ୟା ସାଧାରଣଭାବେ  $3N$  । କିନ୍ତୁ ସାମାନ୍ୟ ବିନ୍ଦୁ-ଭରଗୁଲିର ଅବଶ୍ୱାନେର ଉପର  $v$ -ସଂଖ୍ୟକ ପରିଚାରିକାରୀଙ୍କ ବାଧା ଆରୋପ କରା ଯାଇ ତବେ ଆତମ୍ବ୍ୟସଂଖ୍ୟାରେ  $v$  ପରିମାଣ ହୂମୁ ଘଟେ ।

ଉଦ୍ଦାହରଣପୂର୍ବ ନିର୍ଦ୍ଦେଶାଂକ ବିନ୍ଦୁଭର  $(m_1, m_2, \dots, m_N)$  ଦ୍ୱାରା ରଚିତ ଏକ ଦୃଢ଼ବନ୍ଦୁ (Rigid body) କମ୍ପନା କରା ଯାକ । ଦୃଢ଼ବନ୍ଦୁର ମଧ୍ୟେ ପ୍ରାତିନିଧିତ୍ବ ଦୁଇ ବିନ୍ଦୁଭରେର ମଧ୍ୟେ ଦୂରତ୍ବ  $r_{ij}$  = ଦ୍ୱିତୀୟ ରାଶି । ବିନ୍ଦୁଭରଗୁଲିର ସେ କୋନଓ ଏକଟି, ଧରା ଯାକ  $m_1$ , ସଥେଚର୍ଚଭାବେ ସ୍ଥାପିତ ହ'ତେ ପାରେ । ଦ୍ୱିତୀୟ ବିନ୍ଦୁଭର  $m_2, m_1$  ଥେକେ ନିର୍ଦ୍ଦିଷ୍ଟ ଦୂରତ୍ବ ଥାକବେ ଏବଂ ତାର ଫଳେ  $r_{12} =$  ଦ୍ୱିତୀୟ ରାଶି, ଏହି ଏକଟି ବାଧା ଆରୋପିତ ହବେ । ତୃତୀୟ ବିନ୍ଦୁଭରେର କ୍ଷେତ୍ରେ  $r_{13} =$  ଦ୍ୱିତୀୟ ରାଶି ଓ  $r_{23} =$  ଦ୍ୱିତୀୟ ରାଶି—ଏହି ଦୁଇଟି ବାଧା ଆରୋପିତ ହବେ । ଏର ପର ଅନ୍ୟ ସେ କୋନଓ ତିନଟି ବିନ୍ଦୁଭର ଥେକେ  $m_4, m_5$  ଇତ୍ୟାଦିର ପ୍ରତିଟିର ଦୂରତ୍ବ ନିର୍ଦ୍ଦିଷ୍ଟ ହଲେଇ ବିନ୍ଦୁଭରଗୁଲି ଅ-ଅବଶ୍ୱାନେ ସମ୍ଭାବିତ ହବେ ଅର୍ଥାତ୍ ଆରା ମୋଟ  $3(N-3)$  ସଂଖ୍ୟକ ବାଧା ବିନ୍ଦୁଭରଗୁଲିର ଅବଶ୍ୱାନେର ଉପର ଆରୋପ କରା ହବେ । ଦୃଢ଼ବନ୍ଦୁର ଆତମ୍ବ୍ୟସଂଖ୍ୟାଓ  $3N$  ଏବଂ ପରିବର୍ତ୍ତେ  $3N - [1 + 2 + 3(N-3)] = 6$  ହବେ । ଅନାଭାବେ ଦେଖା ଯାଇ ସେ ଦୃଢ଼ବନ୍ଦୁର ସେ କୋନଓ ଏକଟି ନିର୍ଦ୍ଦିଷ୍ଟ ବିନ୍ଦୁର ତିନଟି ଅବଶ୍ୱାନ ନିର୍ଦ୍ଦେଶାଂକ ଏବଂ ବନ୍ଦୁଟିର କୌଣ୍କ ଅବଶ୍ୱାନ ବୋଲାତେ ତିନଟି ଅଯଳାରୀଯ କୋଣ (Eulerian angles)  $\theta, \phi$  ଓ  $\psi$ —ଏହି ଛୟଟି ରାଶିର ସାହାଯ୍ୟେ କୋନ ଦୃଢ଼ବନ୍ଦୁର ଅବଶ୍ୱାନେର ପୂର୍ଣ୍ଣ ବର୍ଣନା ଦେଓଯା ସମ୍ଭବ । ସୁତରାଂ ଦୃଢ଼ବନ୍ଦୁର ଆତମ୍ବ୍ୟସଂଖ୍ୟା ଏହି ଭାବେଓ ୬ ବଲେ ବୋଲା ଯାଇ ।

স্বাতন্ত্র্যসংখ্যার সংজ্ঞা অন্যভাবেও দেওয়া চলে। কোন বক্সমর্ফিটির গতীয় শক্তি উপরুক্ত নির্দেশতত্ত্বে যদি কিছু সংখ্যক পারম্পরিক নির্ভরতাবিহীন ভরবেগীয় নির্দেশাংকের সমমান (homogeneous) দ্বিঘাত (quadratic) অপেক্ষক হিসাবে প্রকাশ করা যায়, তবে ঐ অপেক্ষকের মধ্যে দ্বিঘাত রাশির সংখ্যাই বক্সমর্ফিটির স্বাতন্ত্র্যসংখ্যা। এখানে কয়েকটি বিভিন্ন ধরণের বক্সমর্ফিটির গতীয় শক্তি ও স্বাতন্ত্র্যসংখ্যার তালিকা দেওয়া হ'ল। স্বাতন্ত্র্যসংখ্যার দ্বিতীয় সংজ্ঞাটির শার্থার্থ্য এর থেকে বোঝা যাবে। এই তালিকায়  $m$  ও  $M$  যথাক্রমে বিন্দুভর ও বক্সমর্ফিটির ভর,  $p_x, v, z$  ও  $P_x, v, z$  যথাক্রমে বিন্দুভর ও বক্সমর্ফিটির রৈখিক ভরবেগ-উপাংশ,  $L_x, v, z$  বক্সমর্ফিটির মুখ্য অক্ষগুলি কৌণিক ভরবেগ-উপাংশ,  $I_x, v, z$  বক্সমর্ফিটির জাড় হ্রাসক (principal moments of inertia) এবং  $p_c$  বিন্দুভরযুগ্মের ক্ষেত্রে প্রতিটির (ভরকেন্দ্রিক নির্দেশতত্ত্বে) ভরবেগ।

বক্সমর্ফিটির প্রকৃতি	গতীয় শক্তির রাশিমালা	স্বাতন্ত্র্যসংখ্যা
1. $x$ -ক্ষেত্রে চলনশীল বিন্দুভর	$\frac{p_x^2}{2m}$	1
2. $x, y$ ও $z$ ক্ষেত্রে চলনশীল বিন্দুভর	$\frac{p_x^2}{2m} + \frac{p_y^2}{2m} + \frac{p_z^2}{2m}$	3
3. $x, y$ ও $z$ ক্ষেত্রে চলনশীল এবং যে কোনও ক্ষেত্রে ঘূর্ণনশীল দৃঢ়বক্স	$\frac{1}{2M} (p_x^2 + p_y^2 + p_z^2) + \frac{1}{2} \left( \frac{L_x^2}{I_x} + \frac{L_y^2}{I_y} + \frac{L_z^2}{I_z} \right)$	6
4. ছীর ভরকেন্দ্রিক ক্ষেত্রে বিন্দুভরযুগ্ম	$\frac{p_c^2}{m}$	1

৪.১ সারণী

### অ্যাঙ্কওডেলসুজ্জে বোলৎস্মানের সংযোজন

পূর্বের আলোচনা থেকে প্রতীয়মান হয় যে কোনও বক্সমর্ফিটির স্বাতন্ত্র্য সংখ্যা  $n$  হয় তবে  $n$  সংখ্যক নির্দেশাংক দ্বারা ঐ বক্সমর্ফিটির অবস্থার পূর্ণ বর্ণনা দেওয়া সম্ভব। এই নির্দেশাংকগুলির কোনটি রৈখিক, কোনটি কৌণিক ইত্যাদি হ'তে পারে। প্রকৃতি নির্বিশেষে নির্দেশাংকগুলিকে  $q_1, q_2, \dots, q_n$  দ্বারা

নির্দেশিত করা যাক। ‘ $q$ ’-গুলিকে বক্রসমষ্টির ব্যাপক নির্দেশাংক (generalised coordinates) বলা হয়। অনুরূপভাবে  $q_1, q_2 \dots q_n$ -কে বক্রসমষ্টির ব্যাপক গাতিবেগের উপাংশ হিসাবে ধরা যায়।

বক্রসমষ্টির মোট শক্তি  $E$ , গতীয় শক্তি  $L$  ও ছৈতিক শক্তি  $V$  এর যোগফল। ছৈতিক শক্তি  $V$  ক্ষেত্রমাত্র নির্দেশাংক ‘ $q_i$ ’-গুলির উপর নির্ভর করতে পারে। অপর পক্ষে গতীয় শক্তি  $L$  ‘ $q_i$ ’ সমূহের সমমাত্র দ্বিঘাত অপেক্ষক হয়। অর্থাৎ গতীয় শক্তির সূত্র এইভাবে লেখা যায় :

$$L = \sum_{i,j} a_{ij} \dot{q}_i \dot{q}_j \quad 4.7.1$$

এখানে সহগ ‘ $a_{ij}$ ’ গুলি ‘ $\dot{q}_i$ ’ ইত্যাদির উপর নির্ভরশীল নয় তবে সাধারণভাবে সেগুলি ‘ $\dot{q}_i$ ’ গুলির উপর নির্ভর করতে পারে।

যে কোনও নির্দেশাংক ‘ $q_i$ ’ এর সংগে জড়িত ব্যাপক ভরবেগকে  $p_i$  বলা যাক। সংজ্ঞা অনুযায়ী

$$p_i = \frac{\partial E}{\partial \dot{q}_i} \quad 4.7.2$$

প্রতি ব্যাপক ভরবেগ  $p_i$ , ‘ $\dot{q}_i$ ’ সমূহের একঘাত অপেক্ষক হবে। বিপরীতভাবে ‘ $\dot{q}_i$ ’ সমূহের প্রতিটিকে ‘ $p_i$ ’ সমূহের একঘাত অপেক্ষক হিসাবে লেখা যেতে পারবে। 4.7.1 সূত্রে ‘ $\dot{q}_i$ ’ এর সেই রাশিমালা (expression)-গুলিকে স্থাপিত করলে পাওয়া যায়

$$L = \sum_{i,j} b_{ij} p_i p_j \quad 4.7.3$$

অর্থাৎ গতীয় শক্তিকে ব্যাপক ভরবেগসমূহের সমমাত্র দ্বিঘাত অপেক্ষক হিসাবে দেখা যেতে পারে। স্পষ্টতই মোট শক্তি  $E$ ,  $p_i$  ও  $q_i$ , সবগুলির উপরই নির্ভর করে। ব্যাপক নির্দেশাংক ব্যবহার করে নিম্নের আকারে লেখা যায় :

$$F(\dot{q}_1, \dot{q}_2 \dots \dot{q}_n) d\dot{q}_1 d\dot{q}_2 \dots d\dot{q}_n = C e^{-L/kT} d\dot{q}_1 d\dot{q}_2 \dots d\dot{q}_n \quad (C = \text{ধূবক}) \quad 4.7.4$$

এখানে সমীকরণের বামদিকের রাশি অণুসমষ্টির বে অংশের ব্যাপক গাতিবেগের উপাংশগুলি  $(\dot{q}_1, \dot{q}_1 + d\dot{q}_1), (\dot{q}_2, \dot{q}_2 + d\dot{q}_2) \dots$  ইত্যাদি সীমাবদ্ধ অধ্যে অবশ্যিত সেই অংশটিকে নির্দেশিত করে।

বোল্টস্মান 4.7.4 সূত্রের ব্যাপকতর প্রয়োগ করেন। তিনি প্রমাণ করেন অনুসমষ্টির যে অংশের ব্যাপক নির্দেশাংক  $(q_1, q_1 + dq_1)$  ইত্যাদি সীমার মধ্যে এবং ব্যাপক ভরবেগ  $(p_1, p_1 + dp_1)$  ইত্যাদি সীমার মধ্যে থাকবে তার মান

$$\begin{aligned} F(q_1 \dots q_n, p_1 \dots p_n) dq_1 \dots dq_n dp_1 \dots dp_n \\ = Ce^{-E/kT} dq_1 \dots dq_n dp_1 \dots dp_n \end{aligned} \quad 4.7.5$$

C এখানে অপর কোন মূল্যক। 4.7.4 সূত্রে নির্দেশাংকসমূহের অনুভূতি এবং শুধুমাত্র গতীয় শক্তি L-এর পরিবর্তে মোট শক্তি E এর ব্যবহারই বোল্টস্মানের সংযোজন।

### গতীয় শক্তির সমবিভাজন নীতি

নির্দিষ্ট উপরায় ধর্মি কোন বন্ধুসমষ্টি সাম্যতা লাভ করে তবে তার মোট গতীয় শক্তি বিভাজন প্রকার স্বাতন্ত্র্যের মধ্যে সমানভাবে বিশ্বিত হয় এবং প্রত্যেক প্রকার স্বাতন্ত্র্যের জন্য গতীয় শক্তির পরিমাণ  $\frac{1}{2}kT$  হয়। এখানে  $k$  = বোল্টস্মান মূল্যক ও  $T$  = নিরপেক্ষ উচ্চতা। এই নীতিকেই গতীয় শক্তির সমবিভাজন নীতি করা হয়। এই নীতি এখন প্রমাণিত হবে।

4.7.3 সূত্রে  $n$ -সংখ্যক ব্যাপক ভরবেগ ‘ $p_i$ ’ ব্যবহার করা হ'রেছে। ব্যাপক ভরবেগগুলির পরিবর্তে সেগুলির  $n$ -সংখ্যক একথাত সমমাত্র অপেক্ষক ব্যবহার করা যেতে পারে ষেগুলিকে এইভাবে লেখা যায় :

$$\xi_i = \sum_j c_{i,j} p^j$$

‘ $\xi_i$ ’ রাঁ খগুলিকে ‘উপভরবেগ’ বলা যেতে পারে। এগুলিকে এমনভাবে নির্বাচিত করা হয় যাতে 4.7.3 সূত্রের পরিবর্তে গতীয় শক্তিকে

$$L = \sum_i \beta_i \xi_i^2 \quad 4.7.6$$

এইরূপে প্রকাশ করা যাব। 4.7.5 সূত্রকেও অনুপ্রভাবে পরিবর্তিত রূপে লেখা যেতে পারে :

$$\begin{aligned} F(q_1 \dots q_n, \xi_1 \dots \xi_n) dq_1 \dots dq_n d\xi_1 \dots d\xi_n \\ = Ce^{-E/kT} dq_1 \dots dq_n . d\xi_1 \dots d\xi_n \end{aligned} \quad 4.7.7$$

এখন এই  $n$ -সংখ্যক ‘উপভরবেগ’ বা ‘ $\xi$ ’ এর যে কোনওটির সংগে যুক্ত গতীয় শক্তির গড় মান নির্ণয় করা যেতে পারে। মোট শক্তি  $E$  এর মধ্যে কোন এক বিশেষ উপভরবেগ  $\xi$ ; এর উপর নির্ভরশীল শক্তির পরিমাণ  $\beta_j \xi^2$ । মোট শক্তির বাকী অংশে র্দিন  $E'$  হবে তবে

$$E = E' + \beta_j \xi_j^2$$

4.7.7 সূত্রে ‘ $E$ ’র এই রাশিমালা ব্যবহার ক’রে সমীকৰণের দুই পার্শ্বকে  $q_1 \dots q_n$  ও  $\xi_1 \dots \xi_n$  এই  $2n$ -সংখ্যক রাশির সকল সম্ভবপর মানের জন্য সমাকলন করলে পাওয়া যায় :

$$\int_{\mathbb{R}^n} C e^{-(E' + \beta_j \xi_j^2)/kT} dq_1 \dots dq_n d\xi_1 \dots d\xi_n = 1$$

$$\text{অর্থাৎ } C = \frac{1}{\int_{\mathbb{R}^n} e^{-(E' + \beta_j \xi_j^2)/kT} dq_1 \dots dq_n d\xi_1 \dots d\xi_n} \quad 4.7.8$$

‘ $\xi_j$ ’ উপভরবেগের সংগে যুক্ত গতীয় শক্তি  $\beta_j \xi_j^2$  এর গড় মান

$$\int_{\mathbb{R}^n} \beta_j \xi_j^2 \cdot C e^{-(E' + \beta_j \xi_j^2)/kT} dq_1 \dots dq_n d\xi_1 \dots d\xi_n$$

অথবা, 4.7.8 সূত্র থেকে  $C$  এর মান ব্যবহার ক’রে

$$\begin{aligned} & \frac{\int_{\mathbb{R}^n} \beta_j \xi_j^2 e^{-(E' + \beta_j \xi_j^2)/kT} dq_1 \dots dq_n d\xi_1 \dots d\xi_n}{\int_{\mathbb{R}^n} e^{-(E' + \beta_j \xi_j^2)/kT} dq_1 \dots dq_n d\xi_1 \dots d\xi_n} \\ &= \frac{\int_{-\infty}^{\infty} \beta_j \xi_j^2 e^{-\frac{\beta_j \xi_j^2}{kT}} d\xi_j \int_{\mathbb{R}^{n-1}} e^{-E'/kT} dq_1 \dots dq_n d\xi_1 \dots d\xi_{j-1} d\xi_{j+1} \dots d\xi_n}{\int_{-\infty}^{\infty} e^{-\frac{\beta_j \xi_j^2}{kT}} d\xi_j \int_{\mathbb{R}^{n-1}} e^{-E'/kT} dq_1 \dots dq_n d\xi_1 \dots d\xi_{j-1} d\xi_{j+1} \dots d\xi_n} \\ &= \frac{1}{kT} \end{aligned} \quad 4.7.9$$

অর্থাৎ যে কোনও উপভরবেগের সংগে যুক্ত গতীয় শক্তির গড় মান  $\frac{1}{kT}$ । তবে বন্ধুসমষ্টির ব্যাপক ভরবেগ বা উপভরবেগের সংখ্যা স্বাতরাসংখ্যার সমান। কাজেই বলা যেতে পারে যে এই  $\frac{1}{kT}$  পরিমাণ গতীয় শক্তি প্রতি স্বাতরোর সংগেই সংগ্রহ আকে।

### ৪.৮ গ্যাসের আপেক্ষিক তাপ

গতীয় শক্তির সমৰিভাজন নীতি থেকে সহজেই গ্যাসের আপেক্ষিক তাপের মান নির্ণয় করা যায়। গ্যাস অণুর প্রতিটির স্বাতন্ত্র্যসংখ্যা অণুর গঠনের উপর নির্ভর করে। এক পরমাণুক অণুর আচরণ বিশুভরের মত সূতরাং তার স্বাতন্ত্র্যসংখ্যা ৩। কাজেই এই অণুর গতীয় শক্তির গড় মান  $\frac{1}{2}kT \times 3$  বা  $\frac{3}{2}kT$ । হিপরমাণুক অণুর ক্ষেত্রে সাধারণ উক্ততায় তিনটি অঙ্কে ঐরুখিক গাতির জন্য ৩ এবং অণু-বৰ্ষের সংযোগকারী সরলরেখার সমৰিষ্ঠিক তলে পরম্পর সমকোণে অবস্থিত দুই অঙ্কের উপর ঘূর্ণনের জন্য ২-মোট স্বাতন্ত্র্যসংখ্যা এই ৫ হয়। এরূপ অণু-র গতীয় শক্তির গড়মান অবশ্যই  $\frac{5}{2}kT$ । অবশ্য অধিক উক্ততায় অণু-বৰ্ষের কম্পনের জন্য স্বাতন্ত্র্যসংখ্যা আরও অধিক হ'তে পারে।

ধৰা যাক কোন বিশেষ গ্যাস-অণু-র স্বাতন্ত্র্যসংখ্যা ।। এক গ্রাম-অণু-গ্যাসের জন্য, অর্থাৎ মোট  $N_0$  (আভোগাড়ো সংখ্যা) অণু-র স্বাতন্ত্র্যসংখ্যা  $lN_0$ । এই অণু-সমষ্টির মোট গতীয় শক্তি  $kT \cdot \frac{l}{2}N_0$  বা  $\frac{1}{2}lRT$  এবং এই রাশি পূর্বোক্ত আভ্যন্তরীণ শক্তি ' $U$ ' এর সমান। স্থির আয়তনে গ্রাম-আণবিক আপেক্ষিক তাপ

$$C_V \text{ বা } \left(\frac{\partial Q}{\partial T}\right)_V = \left(\frac{\partial U}{\partial T}\right)_V = \frac{1}{2}lR \quad 4.8.1$$

( এখানে  $Q$  = এক গ্রাম-অণু গ্যাস কর্তৃক গ্রহীত তাপ )

তাপগাতিবদ্য থেকে জানা যায় স্থির চাপে গ্রাম-আণবিক আপেক্ষিক তাপ

$$C_P \text{ বা } \left(\frac{\partial Q}{\partial T}\right)_P = C_V + \left[ \left(\frac{\partial U}{\partial V}\right)_T + P \right] \left(\frac{\partial V}{\partial T}\right)_P$$

আদর্শ গ্যাসের ক্ষেত্রে  $\left(\frac{\partial U}{\partial V}\right)_T = 0$  এবং  $PV = RT$ । সূতরাং

$$C_P = C_V + R = \left( 1 + \frac{l}{2} \right) R \quad 4.8.2$$

এবং দুই আপেক্ষিক তাপের অণুপাত

$$\gamma = \frac{C_P}{C_V} = 1 + \frac{2}{l} \quad 4.8.3$$

এই সূত্রানুসারে একপরমাণুক অণুর ক্ষেত্রে  $\gamma = \frac{5}{3}$  ( $l = 3$ ), সাধারণ উক্ততায় অর্থাৎ কম্পনজনিত স্বাতন্ত্র্য বিদ্যমান না থাকলে হিপরমাণুক অণুর ক্ষেত্রে  $\gamma = \frac{7}{5}$  ( $l = 5$ ) এবং অধিকতর পরমাণুবিশিষ্ট অণুর ক্ষেত্রে  $\gamma = \frac{9}{7}$  ( $l = 6$ ).

হয়। গ্যাস-অণুর কম্পনজনিত স্থাত্ত্বা থাকলে, এর মান স্থভাবত্তঙ্গ আরও কম হবে। ৪.২ সারণীতে বিভিন্ন প্রকার গ্যাসের ক্ষেত্রে, এর পরীক্ষালক্ষ মান দেওয়া হ'ল।

গ্যাস	উক্তা (°C)	$\gamma$	$\gamma_C^*$
He	0	1.63	
A	0	1.667	{ 1.667
H <sub>2</sub>	4	1.407	
O <sub>2</sub>	5	1.400	{ 1.400
N <sub>2</sub>	20	1.401	
Cl <sub>2</sub>	18	1.365	
CO <sub>2</sub>	10	1.300	
"	300	1.22	
"	500	1.20	
H <sub>2</sub> O	100	1.334	{ 1.333
CH <sub>4</sub>	15	1.31	
C <sub>2</sub> H <sub>6</sub>	15	1.20	

৪.২ সারণী—বিভিন্ন প্রকার গ্যাসের ক্ষেত্রে,  $\gamma$  এর মান

(\*  $\gamma_C$  = অণুর কম্পনহীন অবস্থার 4.8.3 স্তৰ থেকে  $\gamma$  এর প্রত্যাশিত মান।)

৪.২ সারণী থেকে বোধা যায় যে দুই আপেক্ষিক তাপের অনুপাতের প্রত্যাশিত ও পরীক্ষালক্ষ মানের মধ্যে সুন্দর সঙ্গতি বিদ্যমান। বহুপরমাণুক অণুর ক্ষেত্রে অণুর গঠনের জটিলতার সঙ্গে বিভিন্ন কম্পনজনিত স্থাত্ত্বার উন্নত হয় ফলে, এর মান কম্পনহীন অবস্থার প্রত্যাশিত মানের তুলনায় সুন্দর হ'তে থাকে। Cl<sub>2</sub>, Br<sub>2</sub> ইত্যাদি গ্যাসের ক্ষেত্রে পরীক্ষাগারের উক্তাতেই যথেষ্ট পরিমাণ কম্পন উপস্থিত থাকে, ফলে এগুলির ' $\gamma$ ' অন্যান্য দ্বিপরমাণুক গ্যাসের তুলনায় কিছুটা কম হয়।

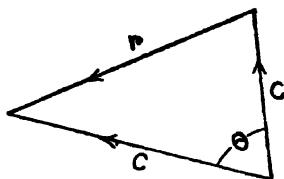
তবে আলোচিত তত্ত্বের সাহায্যে উক্তার সংগে আপেক্ষিক তাপের পরিবর্তনের ব্যাখ্যা দেওয়া যায় না। C<sub>p</sub> বা C<sub>v</sub> এর যে কোনও পরিবর্তন R টি এর কোন গুণত্বকের সমান হওয়া উচিত, কেননা স্থাত্ত্বসংখ্যা কেবলমাত্র

পূর্ণসংখ্যাই হ'তে পারে। কিন্তু বাস্তবক্ষেত্রে আপোন্ক্রিক তাপের হাস বা বৃক্ষ ঝরশঃ ঘটে, এই পরিবর্তন ধাপে ধাপে হয় না। বিশেষতঃ উক্তা যত নিরপেক্ষ শূন্যের দিকে হেতে থাকে, আপোন্ক্রিক তাপও ততই শূন্যের নিকটবর্তী হয়। আপোন্ক্রিক তাপের পরিবর্তনের এই প্রকৃতি কণিকাবাদের সাহায্য ব্যতীত ব্যাখ্যা করা যায় না।

#### ৪.৯ ম্যার্কওয়েলীয় বেগবন্ধনসূত্র অনুধাবী গড় অবাধপথের ভাস্তুক মান নিরূপণ

ভূতীয় অধ্যায়ে ক্লিসরাসের পদ্ধতিতে গ্যাসঅগ্র গড় অবাধপথের মান নির্ণ্যাত হ'য়েছে ( 3.2.5 সূত্র )। অবাধপথের গড় নির্ণয়ের এই পদ্ধতিতে সকল অণ্ডুর গাতিবেগ সমান ধরা হ'য়েছে। প্রকৃতপক্ষে অণ্ডুর গাতিবেগ ম্যার্কওয়েলীয় সূত্র অনুধাবী বচ্ছিত থাকে এবং অবাধপথের গড় নির্ণয়েও এই বন্ধনসূত্র প্রযুক্ত হবে।

পূর্বের মত ধরা যাক  $A$  অণ্ডুর গড় অবাধপথ নির্ণ্যাত হবে এবং  $B$  অন্য কোনও অণ্ডু।  $A$  ও  $B$  অণ্ডুর গাতিবেগ ঘথাক্রমে  $C$  ও  $C'$  এবং সুই গাতিবেগের মধ্যস্থ কোণ  $\theta$  ( চিত্র ৪.৯ )।  $B$  অণ্ডুর তুলনায়  $A$  অণ্ডু



চিত্র ৪.৯

গাতিবেগ ধরা যাক  $r$ ।  $r$  সর্বদাই ধনাত্মক রাশি এবং

$$r^2 = c^2 + c'^2 - 2cc' \cos \theta \quad 4.9.1$$

যখন  $\theta=0$ ,  $r=|c-c'|$ ; যখন  $\theta=\pi$ ,  $r=c+c'$ ।  $\theta$  কোণের  $\theta$  ও  $\theta+d\theta$  সীমাবর্তনে ধারার সম্ভাব্যতা  $\frac{1}{2} \sin \theta d\theta$  ( ৩.২ অঙ্গ দ্রষ্টব্য ) সূতরাং  $\theta$  কোণের বিভিন্ন মানের জন্য  $r$  এর গড় মান

$$\bar{r} = \int_{\theta=0}^{\pi} r \cdot \frac{1}{2} \sin \theta d\theta$$

$$\begin{aligned}
 &= \frac{1}{2cc'} \int_{r=c}^{(c+c')} r^2 dr \quad (\because r dr = cc' \sin \theta d\theta) \\
 &\quad r = |c - c'| \\
 &= \frac{1}{6cc'} [(c+c')^3 - |c - c'|^3]
 \end{aligned}$$

ଅର୍ଥାତ୍ ସାହିତ୍ୟରେ  $c > c'$  ହେଲୁ, ତବେ  $\bar{r} = c + \frac{c'^2}{3c}$

ଏবଂ ସାହିତ୍ୟରେ  $c < c'$  ହେଲୁ, ତବେ  $\bar{r} = c' + \frac{c^2}{3c'} \quad \left. \right\}$

4.9.2

ଏଥନ୍  $c$  ଓ  $c'$  ଏଇ ବିଭିନ୍ନ ମାନେର ଜନ୍ୟ  $\bar{r}$  ଏଇ ଗଡ଼ ମାନ ନିର୍ଣ୍ଣୟ କରା ପ୍ରୋତ୍ସହିତ ।  
 $c'$  ଏଇ ବିଭିନ୍ନ ମାନେର ଜନ୍ୟ  $\bar{r}$  ଏଇ ଗଡ଼ ମାନ :

$$\begin{aligned}
 &\frac{1}{n} \int_{c'=0}^{\infty} \bar{r} \cdot dn_c \\
 &= \int_{c'=0}^{\infty} \bar{r} \cdot \frac{4}{a^8 \pi^{\frac{1}{2}}} e^{-c'^2/a^2} c'^2 dc' \quad (4.4.3 \text{ ମୂଳ ଥେବେ}) \\
 &= \frac{4}{a^8 \pi^{\frac{1}{2}}} \left[ \int_{c'=0}^c \left( c + \frac{c'^2}{3c} \right) e^{-c'^2/a^2} c'^2 dc' \right. \\
 &\quad \left. + \int_{c'=c}^{\infty} \left( c' + \frac{c^2}{3c'} \right) e^{-c'^2/a^2} c'^2 dc' \right]
 \end{aligned}$$

ଅନୁରୂପଭାବେ  $c$  ଏଇ ବିଭିନ୍ନ ମାନେର ଜନ୍ୟ ଉପରେର ରାଶିର ଗଡ଼ ମାନ :

$$\begin{aligned}
 v &= \int_{c=0}^{\infty} \frac{4}{a^8 \pi^{\frac{1}{2}}} \left[ \int_{c=0}^c \left( c + \frac{c'^2}{3c} \right) e^{-\frac{c'^2}{a^2}} c'^2 dc' \right. \\
 &\quad \left. + \int_{c=c}^{\infty} \left( c' + \frac{c^2}{3c'} \right) e^{-\frac{c'^2}{a^2}} c'^2 dc' \right] \frac{4}{a^8 \pi^{\frac{1}{2}}} e^{-\frac{c^2}{a^2}} c^2 dc
 \end{aligned}$$

$$\cdot \frac{16}{a^6 \pi} [I_1 + I_2]$$

$$\text{ଏଥାନେ } I_1 = \int_{c=0}^{\infty} \int_{c'=0}^{\infty} \left( c + \frac{c'^2}{3c} \right) e^{-\frac{c'^2}{a^2}} c'^2 \cdot e^{-\frac{c^2}{a^2}} c^2 dc' dc$$

$$\text{ଏବଂ } I_2 = \int_{c=0}^{\infty} \int_{c'=0}^{\infty} \left( c' + \frac{c^2}{3c'} \right) e^{-\frac{c'^2}{a^2}} c'^2 \cdot e^{-\frac{c^2}{a^2}} c^2 dc' dc$$

ଦେଖାନେ ଯାଇ ଯେ  $I_1$  ଓ  $I_2$  ସମାକଳନକୁରେ ଉଭୟରେଇ ମାନ  $\frac{a^7}{8} \sqrt{\frac{\pi}{2}}$  ।

$$\text{ସୁତରାଙ୍ଗ } v = \frac{2 \sqrt{2}}{\sqrt{\pi}} \cdot a \quad 4.9.3$$

$A$  ଅଣ୍ଟର ପ୍ରକୃତ ଗଡ଼ ମାନ  $\bar{c} = \frac{2a}{\sqrt{\pi}}$  ।  $u$  ଏର କ୍ଷାନେ ଏହି ମାନ

ବ୍ୟବହାର କ'ରେ 3.2.1 ସୂଚ ଥେକେ ପାଞ୍ଜା ବାର

$$\lambda = \frac{\frac{2a}{\sqrt{\pi}}}{\pi n \sigma^2 \cdot \frac{2 \sqrt{2}}{\sqrt{\pi}} \cdot a} = \frac{1}{\sqrt{2} \pi n \sigma^2}$$

ଗଡ଼ ଅବାଧପଥେର ଏହି ମାନ ଇନ୍ତିପୂର୍ବେହି 3.2.6 ସୂଚେ ଉକ୍ତ ହ'ଲେଛେ ।

ଗଡ଼ ଅବାଧପଥ ନିର୍ଣ୍ଣୟର ଉପରିଲିଖିତ ପର୍ଯ୍ୟାନିକ ପରିଭାଷାକୁ ଗ୍ୟାସେର ମିଶ୍ରଣେ ମଧ୍ୟେ କୋନ ଏକପକାର ଗ୍ୟାସ ଅଣ୍ଟର ଗଡ଼ ଅବାଧପଥ ନିର୍ଣ୍ଣୟ ବ୍ୟବହାର କରା ବାର । ଧରା ବାକ କୋନ ନିର୍ଦ୍ଦିଷ୍ଟ ଉକ୍ତତାର ଗ୍ୟାସେର ମଧ୍ୟେ ପ୍ରାତି ଏକକ ଆରତନେ  $n_1, n_2, \dots$  ଇତ୍ୟାଦି ସଂଖ୍ୟକ ମୋଟ  $n$  ପ୍ରକାରେର ଅଣ୍ଟ ଆଛେ । ତାଦେର ଭର  $m_1, m_2, \dots$ , ଏବଂ ବ୍ୟାସାର୍ଥ  $r_1, r_2, \dots$  ଇତ୍ୟାଦି । ଭର ବିଭିନ୍ନ ହେଉଥାଇ ବିଭିନ୍ନ ପ୍ରକାର ଅଣ୍ଟର ବେଗବନ୍ଧୁନ୍ୟତ୍ୟେ ‘ $a$ ’ ଏର ମାନ ବିଭିନ୍ନ ହବେ । ସେ କୋନଓ ( $i$ -ତମ) ପ୍ରକାରେ ଅଣ୍ଟର ‘ $a$ ’ ଏର ମାନ ହବେ  $a_i = \sqrt{\frac{2kT}{m_i}}$  ।  $A$  ଅଣ୍ଟଟି, ଧରା ବାକ,  $i$ -ତମ ପ୍ରକାରେ ।

ସମୀ ଅଣ୍ଟ କୋନ ପ୍ରକାରେ ( $j$ -ତମ) କୋନ ଅଣ୍ଟର ତୁଳନାର  $A$  ଅଣ୍ଟର ଆପେକ୍ଷିକ ଗତିବିଗେର ଗଡ଼ ମାନ  $v_{ij}$ , ହସି ତବେ ଏକକ ସମରେ ଏହି ପ୍ରକାରେ ଅଣ୍ଟର ସଂଗେ  $A$  ଅଣ୍ଟର ସଂଘର୍ଷର ସଂଖ୍ୟା ହବେ  $\pi n_j (r_i + r_j)^2 v_{ij}$  ।  $(r_i + r_j)$  ଏଥାନେ ସଂଘର୍ଷର ମୁହଁରେ ଦୁଇ ଅଣ୍ଟର କେନ୍ଦ୍ରରେର ମଧ୍ୟେ ଦୂରତ୍ବ ଏବଂ ସେଇ ସଂଗେ  $A$  ଅଣ୍ଟର କାର୍ଯ୍ୟକ୍ରମୀ ପ୍ରଭାବଗୋଲକେର ବ୍ୟାସାର୍ଥ । ଏକକ ସମରେ ମୋଟ ସଂଘର୍ଷର ସଂଖ୍ୟା

$\Sigma_j \pi n_j (r_i + r_j)^2 v_{ij} \mid A$  ଅନୁର ପ୍ରକ୍ରତ ଗଢ଼େ  $\frac{2}{\sqrt{\pi}} a_i$ , ସୂଚନା  
A ଅନୁର ଗଡ଼ ଅବାଧପଥ

$$\lambda_i = \frac{\frac{2a_i}{\sqrt{\pi}}}{\sum_j \pi n_j (r_i + r_j)^2 v_{ij}} \quad 4.9.4$$

ଫ୍ରାମ କରା ଯାଇ ଯେ  $v_{ij} = \frac{2}{\sqrt{\pi}} \sqrt{a_i^2 + a_j^2}$  । ଲକ୍ଷଣୀୟ ସେ ଦୁଇ ଅନ୍ଦ  
କିମ୍ବା  $\frac{2a_i}{\sqrt{\pi}}$  ଓ  $\frac{2a_j}{\sqrt{\pi}}$ , ଅର୍ଥାତ୍ ନିଜ ନିଜ ଗଡ଼ ଗାତିବେଗେ ପରମ୍ପରାର ସଂଗେ ସମକୋଣେ  
ଥାବିତ ହ'ଲେ ସେ ଆପେକ୍ଷକ ଗାତିବେଗ ଜାତ ହୁଏ 'v<sub>ij</sub>' ଏଇ ମାନ ତାର ସମାନ ।  
'v<sub>ij</sub>' ଏଇ ଗାଣିତିକ ନିର୍ଧାରଣ ଦୀର୍ଘ ଏବଂ ଏଥାନେ ପରିତ୍ୟାକ୍ତ ହ'ଲ । 'v<sub>ij</sub>'  
ଏଇ ଏଇ ମାନ ବ୍ୟବହାର କରିଲେ ପାଓଯା ଥାବେ

$$\lambda_i = \frac{a_i}{\sum_j \pi n_j (r_i + r_j)^2 \sqrt{a_i^2 + a_j^2}} \quad 4.9.5$$

ଉତ୍ତରଖଣ୍ଡରେ ୩.୫ ଅଂଶେ ବାର୍ଗତ ପରୀକ୍ଷାର ବିଭିନ୍ନ ଗ୍ୟାସେର ମଧ୍ୟେ ବୃପ୍ତାର ଅନୁର  
ସେ ଗଡ଼ ଅବାଧପଥେର ମାନ ପାଓଯା ଥାବେ 4.9.5 ସୂତ୍ର ଥେକେ ତାର ପ୍ରତ୍ୟାଶିତ ମାନ  
ପାଓଯା ସେତେ ପାରେ । ସିଦ୍ଧ ଗ୍ୟାସ ଅନୁର ସନ୍ତୁଷ୍ଟତା ତାର ଗ୍ୟାସ ଓ ବୃପ୍ତାର ବାସାର୍ଥ  
ସଥାନରେ  $r$  ଓ  $r_s$ , ଭର  $m$  ଓ  $m_s$ , ଓ ଉକ୍ତତା  $T$  ଓ  $T_s$  ହୁଏ ତବେ 'a' ଏଇ ମାନର  
ସଥାନରେ  $a_s = \sqrt{\frac{2kT}{m}}$  ଓ  $a_i = \sqrt{\frac{2kT_s}{m_s}}$  ହୁବେ । ଏବଂ 4.9.5 ସୂତ୍ରେ ଏଇ  
ମାନଗୁଣିଲ ବ୍ୟବହାର କ'ରେ ପାଓଯା ଥାବେ

$$\lambda_s = \frac{1}{\pi n (r + r_s)^2 \sqrt{1 + \frac{m_s}{m} \cdot \frac{T}{T_s}}} \quad 4.9.6$$

ଟେଟ (Tait) ଏଇ ପରକାତିତେ ନିର୍ଣ୍ଣାତ ଗଡ଼ ଅବାଧପଥେର ମାନ

ମ୍ୟାର୍କୋରେଲେର ବେଗବଟ୍ଟନ ସୂତ୍ରର ସାହାରେ ଗଡ଼ ଅବାଧପଥେର ସେ ମାନ ନିର୍ଣ୍ଣାତ  
ହ'ଲ, ସ୍ଵଭାବିତ: ତା ଗଡ଼ ଗାତିବେଗକେ ବିଭିନ୍ନ ଗାତିବେଗବିଶିଷ୍ଟ ଅନୁର ସଂଘରେ ଗଡ଼  
ହାର ଦିରେ ଭାଗ କ'ରେ ପାଓଯା ଗେଛେ । ପ୍ରକ୍ରତିପକ୍ଷେ ଅନୁର ଗଡ଼ ଅବାଧପଥେର  
ମାନ ଗାତିବେଗେ ଉପର ନିର୍ଭରଶୀଳ । ଟେଟର ପରକାତିତେ ପ୍ରଥମେ ମ୍ୟାର୍କୋରେଲେର

বেগবন্ধন প্রতিপালনকারী গ্যাসের মধ্যে  $c$  গতিবেগবিশিষ্ট কোন নির্দিষ্ট অণ্ডর গড় অবাধপথ নির্ণয় করা হয়। পরে  $c$  এর বন্ধন ম্যাগ্নেটেলীয়, এম্পুলেন্স কম্পনা করে নির্ণ্যাত গড় অবাধপথের পুনরায় গড় নির্ণয় করা হয়।

টেটের সমীকরণ থেকে পাওয়া যাই  $c$  গতিবেগবিশিষ্ট অণ্ডর গড় অবাধপথের মান:

$$\lambda_o = \frac{c^3}{a^3 \sqrt{\pi n \sigma^2} \psi\left(\frac{c}{a}\right)} \quad 4.9.7$$

$$\text{এখানে } \psi\left(\frac{c}{a}\right) = \frac{1}{2} \int_0^c \frac{c'^2}{a^5} (c'^2 + 3c^2) e^{-c'^2/a^2} dc'$$

$$+ \frac{1}{2} \frac{c}{a^5} \int_c^\infty c'(c^2 + 3c'^2) e^{-c'^2/a^2} dc'$$

এখন  $\lambda_o$  এর গড় মান, বা টেটের পক্ষতিতে নির্ণ্যাত গড় অবাধপথ

$$\lambda_T = \frac{1}{n} \int \lambda_o dn_o$$

$$= \frac{4}{a^6 \pi n \sigma^2} \int_0^\infty \frac{c^4 e^{-\frac{c^2}{a^2}}}{\psi\left(\frac{c}{a}\right)} dc \quad (4.4.3 \text{ সূত্রের সাহায্যে})$$

সমাকলনটির টেট কর্তৃক নির্ণ্যাত মান ব্যবহার ক'রে পাওয়া যাই

$$\lambda_T = \frac{0.677}{\pi n \sigma^2} \quad 4.9.8$$

3.2.6 সূত্রের গড় অবাধপথের মান  $\lambda$  এর সঙ্গে  $\lambda_T$  এর সম্পর্ক নিম্নূপ :

$$\frac{\lambda_T}{\lambda} = 0.957 \quad 4.9.9$$

## পরিবহণ প্রক্রিয়া

### ৫.১ গ্যাসের সাম্যহীন অবস্থা

ম্যাজওয়েলীয় বেগবন্ধনসূত্র নির্ধারণের সময়ে গ্যাসের মধ্যে সাম্যাবস্থা প্রতিষ্ঠিত হয়েছে বলে ধরা হয়। এই অবস্থায় গ্যাসের মধ্যে অণুর ঘনত্ব-সংখ্যা, উচ্চতা এবং অণু-র কোন যৌথ গাত্তবেগ বিদ্যমান থাকলে তার মান সর্বশেষ সমান হয়। সাম্যহীন অথচ স্থির অবস্থায় এই তিনিটির যে কোনওটির মান এক বিন্দু থেকে অপর বিন্দুতে বিভিন্ন হ'তে পারে। অণু-র ঘনত্বসংখ্যা বিভিন্ন বিন্দুতে বিভিন্ন হ'লে যে বিন্দুতে ঘনত্বসংখ্যার মান অধিক সেখান থেকে যে বিন্দুতে এই রাশির মান অল্প সেই বিন্দু অভিযুক্ত, অর্থাৎ ঘনত্ব-সংখ্যার উর্মাতির (gradient) বিপরীতদিকে গ্যাসের প্রবাহের সৃষ্টি হয়। এই প্রক্রিয়াকে ‘ব্যাপন’ (diffusion) বলা হয়। অনুরূপভাবে উচ্চতার উর্মাতির বিপরীতযুক্ত তাপের পরিবহণ (conduction) ঘটে। এবং যৌথ গাত্তবেগের মান বিভিন্ন শরে বিভিন্ন হ'লে এক শর থেকে অন্য শরে যৌথ গাত্তবেগের সংগে সংঘর্ষ ভরবেগের প্রবাহ ঘটে। যার থেকে গ্যাসের সাম্রাজ্য (viscosity) উৎপন্ন হয়। গ্যাসের অণু-র বা তাদের গতীয় শক্তি বা ভরবেগের এরূপ প্রবাহগুলিকে “পরিবহণ প্রক্রিয়া” (Transport Phenomena) বলা হয়।

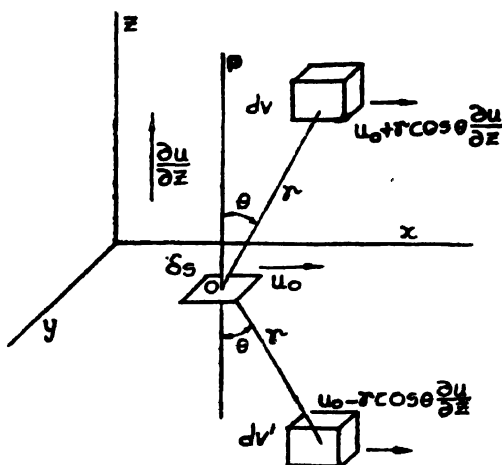
লক্ষণীয় যে পরিবহণ প্রক্রিয়াগুলি সর্বদাই অপ্রত্যাবর্তক (irreversible)। এই প্রক্রিয়াসমূহে শক্তি ক্রমশঃ অলভা হয়, বন্ধুসমষ্টির অবিনাশিতা (entropy) বৃদ্ধি পায়। তাপগাতিবিদ্যা অনুযায়ী এরূপ প্রক্রিয়া বিপরীতযুক্তি হ'তে পারে না।

এই অধ্যায়ে পূর্বে তিন প্রকার পরিবহণ প্রক্রিয়া, অর্থাৎ সাম্রাজ্য, তাপ-পরিবহণ ও ব্যাপন পরিমাণগতভাবে আলোচিত হবে।

### ৫.২ গ্যাসের সাম্রাজ্য

ধরা যাক কোন গ্যাসের মধ্যে অণুগুলির সাধারণ তাপজ গাত্তবেগ ছাড়াও এক যৌথ গাত্তবেগ বিদ্যমান এবং ঐ যৌথ গাত্তবেগের মান গাত্তবেগের উপর

জয় এবং কোনও দিকে সমাহারে বাঁধিত হয়। গতিবেগের দিককে  $x$ -অক্ষ এবং গতিবেগের পরিবর্তনের দিককে  $z$ -অক্ষ ধরা যাক (চিত্র ৫.১)।  $z=0$



চিত্র ৫.১

তলে যৌথ গতিবেগের মান  $u_0$  এবং  $z$ -অক্ষ অভিযুক্ত যৌথ গতিবেগের উমরির হার  $(\frac{\partial u}{\partial z})$  ধরা যাক।  $z=0$  তলে অতিক্রম তল  $\delta s$  কম্পন করা যাক।  $\delta s$  এর উপর  $O$  বিন্দুকে কেন্দ্র ও  $\delta s$  তলের উপর লম্ব  $OP$  কে অক্ষ ধ'রে এক গোলীয় নির্দেশিকা নেওয়া হ'ল। ধরা যাক  $(r, \theta, \phi)$  নির্দেশাংকে  $dv$  এক অত্যন্ত ক্ষুদ্র আয়তন। যদি গ্যাসের মধ্যে অণুর ঘনত্ব-সংখ্যা সর্বত্র  $n$  হয় তবে পূর্বের ৩.৭ অংশের আলোচনা অনুযায়ী প্রাপ্ত একক সময়ে গড়ে

$$dN = n dv \cdot \frac{c}{\lambda} \cdot \frac{\delta s \cos \theta}{4\pi r^2} e^{-r/\lambda} \quad 5.2.1$$

সংখ্যক অণু  $dv$  আয়তনের মধ্যে সংবর্ধের পর  $\delta s$  তলে পৌছাবে। 5.2.1  
সূত্র 3.7.1 রাশিমালাকে ( $\lambda_0 = \lambda$ ,  $c$  এর উপর নির্ভরশীল অবস্থাপ ধ'রে  
নিরে)  $c$  এর সকল মানের জন্য সমাকলন ক'রে পাওয়া গেছে।

উল্লেখযোগ্য এই যে এখানে  $c$  কেবলমাত্র তাপজ গতিবেগেরই গড় মান।  
যৌথ গতিবেগ এই গতিবেগ থেকে অত্যন্ত এবং সাধারণভাবে তাপজ গতিবেগের  
ভূলনাম অনেক অল্প মানের।

কল্পনা করা যাক যে  $dV$  আয়তনের মধ্যে বতগুলি অণ্ড-র সংখ্যা ঘটে তার প্রতিটি এই আয়তনের  $z$ -নির্দেশাংকের উপর্যোগী যৌথ গাতবেগ অর্জন করে। এই যৌথ গাতবেগের পরিমাণ

$$u_0 + r \cos \theta \cdot \frac{\partial u}{\partial z} \quad (\because z = r \cos \theta)$$

সূতৰাং প্রতিটি অণ্ড-র ভর র্ধি  $m$  হয় তবে  $dN$  সংখ্যক অণ্ড- মোট

$$m \left( u_0 + r \cos \theta \frac{\partial u}{\partial z} \right) dN$$

পরিমাণ যৌথ গাতবেগজাত ভরবেগ  $\delta s$  তলের মধ্য দিয়ে পরিচালিত করে।  $(r, \pi - \theta, \phi)$  নির্দেশাংকে এখন  $dv$  এর সমান আয়তন  $dv'$  নেওয়া যাক।  $dv'$  আয়তন থেকেও প্রতি একক সময়ে  $dN$  সংখ্যক অণ্ড-  $ds$  তলে পৌঁছাবে এবং

$$m \left( u_0 - r \cos \theta \frac{\partial u}{\partial z} \right) dN$$

পরিমাণ ভরবেগ  $\delta s$  এর মধ্য দিয়ে পূর্বের বিপরীত দিকে বহন করবে। অর্থাৎ  $dV$  ও  $dV'$  থেকে আগত অণ্ড-সমূহ মোট

$$2m r \cos \theta \frac{\partial u}{\partial z} \cdot dN$$

পরিমাণ ভরবেগ নিয়াভিযুক্ত বহন করবে।  $\delta s$  এর উপরিভাগের সময় আয়তনের জন্য শেষোক্ত রাশির যোগফল নির্ণয় করলে  $\delta s$  এর মধ্য দিয়ে একক সময়ে বাহিত মোট ভরবেগের পরিমাণ  $\delta P$  পাওয়া যাবে। অর্থাৎ

$$\begin{aligned} \delta P &= \int_{r=0}^{\infty} \int_{\theta=0}^{\frac{\pi}{2}} \int_{\phi=0}^{2\pi} 2m r \cos \theta \frac{\partial u}{\partial z} dN \\ &= 2m \frac{\partial u}{\partial z} \cdot \frac{n c}{\lambda} \cdot \frac{\delta s}{4\pi} \int_{r=0}^{\infty} r e^{-\frac{r}{\lambda}} dr \int_{\theta=0}^{\pi/2} \sin \theta \cos^2 \theta d\theta \int_{\phi=0}^{2\pi} d\phi \end{aligned}$$

( 5.2.1 সূত্রে  $dN$  এর মান এবং  $dv = r^2 \sin \theta dr d\phi$  ব্যবহার ক'রে )

$$= \frac{mncl}{3} \cdot \frac{\partial u}{\partial z} \cdot \delta s \quad 5.2.2$$

গ্যাসের সান্ততার সংজ্ঞা অনুযায়ী সান্ততাংক বাদ ন হলে তবে  $\delta s$  তলের উপর প্রসূত বল বা একক সময়ে  $\delta s$  তলের মধ্য দিয়ে পরিবাহিত ভরবেগের পরিমাণ ন  $\frac{\partial u}{\partial z} \cdot \delta s$ । এই রাশি  $\delta P$  এর সমান। সূতরাং

$$\eta = \frac{mn\bar{c}\lambda}{3} = \frac{\rho\bar{c}\lambda}{3} \quad 5.2.3$$

এখানে  $\rho = mn =$  গ্যাসের ঘনত্ব।

### সান্ততাংকের রাশিমালার 'টেট' এর শুরু

সান্ততাংকের রাশিমালা নির্ণয়ে যে পদ্ধতি অনুসৃত হল তাতে প্রত্যেক অণুর একক সময়ে স্থৰ্বরের সংখ্যা  $\frac{c}{\lambda}$  ব'লে ধরা হ'য়েছে। এই সংখ্যা বিভিন্ন গতিবেগের অণুর সংস্রষ্টারের গড় মান হ'লেও পূর্ববর্তী গণনার এই সংখ্যার ব্যবহার কিছুটা প্রাস্তুত সৃষ্টি করে। কেননা অণুর গড় অবাধপথে অণুর গতিবেগের উপর নির্ভরশীল এবং  $\delta P$  এর মান নির্ণয়ার্থে কেবল খুবরাশি হিসাবে দেখা অনুচিত। টেট এর পদ্ধতিতে গড় অবাধপথের গতিবেগনির্ভর মান  $\lambda_0(4.9.7$  সূত্র) ব্যবহার করা হয় এবং সেই সঙ্গে সাম্যহীন অবস্থাতেও যাজ্ঞওয়েলীর বেগবন্ধনসূত্র প্রয়োগের যৌক্তিকতা স্বীকার করা হয়। এই উপায়ে মোট পরিবাহিত ভরবেগের মান পাওয়া যায়

$$\begin{aligned} \delta P &= 2m \frac{\partial u}{\partial z} \cdot n \frac{\delta s}{4\pi} \int_{\theta=0}^{\pi/2} \sin \theta \cos^2 \theta d\theta \int_{\phi=0}^{2\pi} d\phi \\ &\quad \int_{c=0}^{\infty} \int_{r=0}^{\infty} r e^{-\frac{r}{\lambda_0}} dr \frac{c}{\lambda_0} \cdot \frac{4}{a^3 \sqrt{\pi}} e^{-\frac{c^2}{a^2}} c^2 dc \\ &\quad - \frac{\sqrt{2}}{3} \frac{mu\lambda}{a^6} \cdot \frac{\partial u}{\partial z} \cdot \delta s \int_{c=0}^{\infty} \frac{4c^5 e^{-c^2/a^2}}{\psi\left(\frac{c}{a}\right)} dc \left[ \lambda = \frac{1}{\sqrt{2\pi n\sigma^2}} \right] \end{aligned}$$

টেট কর্তৃক নির্ণ্যাত সমাকলনটির মান  $838\alpha^6$ । এর থেকে সান্ততাংকের মান পাওয়া যায়

$$\eta_T = \frac{1.051}{2} mn\bar{c}\lambda \quad 5.2.4$$

অর্থাৎ টেটের পক্ষতত্ত্বে নির্ণ্যাত সাম্ভূতিক্রম মান পূর্বনির্ধারিত মান অপেক্ষা প্রায় 5% অধিক ।

### জীন্স (Jeans) এর গতিবেগের স্থিতিশীলতাজনিত শুষ্ক

সাম্ভূতিক্রম ঘূলসূত (5.2.3) নির্ধারণে কল্পনা করা হ'য়েছে যে কোনও একটি অণ্ড  $dV$  আয়তনের মধ্যে সংবর্ধে লিপ্ত হওয়ার পূর্বে গ্যাসের যে অংশ থেকেই এসে থাক, সংবর্ধের পর ঐ অণ্ড  $dV$  এর অবস্থানের উপরোগী ঘোঁথ গতিবেগ লাভ করবে । জৈন্স সমভৱসম্পন্ন স্থিতিশীলপক গোলকের সংবর্ধের ক্ষেত্রে এই ধারণার অস্তিত্ব প্রদর্শন করেন । আসলে অণ্ডের পূর্ববর্তী গতিবেগের প্রভাব সংবর্ধের পরেও বিদ্যমান থাকে । জৈন্স প্রয়োগ করেন যে এর ফলে অণ্ডের অবাধপথ কার্যতঃ কিছু পরিমাণে বৃক্ষ পায় । টেটের গণনার এইভাবে অণ্ডের অবাধপথের আপাত-বৃক্ষের প্রভাব সংযোজন করলে পাওয়া যায় :

$$\eta = \frac{1.382}{3} mnc\bar{\lambda} = 0.461 mnc\bar{\lambda} \quad 5.2.5$$

চ্যাপম্যান ও এন্স্কগের (Chapman, Enskog) গণনায় ঘোঁথগতিবেগযুক্ত অবস্থায় গ্যাস-অণ্ডের বেগের বন্টননীতি ব্যবহার করা হয় । এই গণনার পাওয়া যায়

$$\eta = 0.499 mnc\bar{\lambda} \quad 5.2.6$$

শেষোন্ত ফলকেই সাম্ভূতিক্রম সর্বাধিক শুষ্ক তাঁতুক মান হিসাবে ধরা যেতে পারে ।

### ৫.৩ চাপ ও উক্তার উপর গ্যাসের সাম্ভূতিক্রমের নির্ভরশীলতা

সাম্ভূতিক্রম রাশিমালায় ১ এর পরিবর্তে  $\frac{1}{\sqrt{2\pi n\sigma^3}}$  লিখলে দেখা যায়

$$\eta \propto \frac{mc}{\sigma^3} \quad 5.3.1$$

‘ $\eta$ ’ এর উপর চাপ ও উক্তার প্রভাব এই সূত্র থেকে সহজেই বোঝা যায় ।

(ক) চাপের প্রভাব : গ্যাসের উক্তা অপরিবর্তিত থাকলে চাপ পরিবর্তিত হলেও  $c$  ও  $\sigma^3$  এর কোন পরিবর্তন হয় না । সুজ্ঞার স্থির উক্তার সাম্ভূতিক্রম মান গ্যাসের চাপ বা ঘনফৌলের উপর নির্ভর করে না ।

সান্ততাক্ষের চাপনিরপেক্ষতা পরীক্ষা দ্বারা প্রমাণিত হ'য়েছে। করেক টর থেকে বায়ুমণ্ডলের চাপের কয়েকগুলি পর্যন্ত চাপে সান্ততাক্ষ অপরিবর্তিত থাকতে দেখা গেছে। অতি অশ্চাপে গড় অবাধপথের সূত্র খাটে না কেননা  $\lambda$  চাপের ব্যানুপাত্তি হওয়ার ক্রমশঃ গড় অবাধপথের মান আধারের পরিসরের সংগে তুলনায় হ'য়ে দাঢ়ায়। এই কারণে অতি অশ্চ চাপে অবাধপথ এত তুষ্ট হয় যে স্বল্প পাঞ্চার অন্তরণ্ক (intermolecular) বল গুরুত্ব অর্জন করে। ভরবেগ প্রকৃতপক্ষে  $\lambda$  অপেক্ষা কিংবিং অধিক দূরত্বে বাহিত হয়। এক্ষেত্রে সান্ততাক্ষের হিসাব ঠিকমত খাটে না। সুতরাং অতি অশ্চ ও অতি উচ্চ চাপে সান্ততাক্ষের পরিবর্তন অপ্রত্যাশিত নয়।

(খ) উষ্ণতার প্রভাব :  $c$  এবং  $\sigma^2$ , উভয়ই নিরপেক্ষ উষ্ণতা  $T$  এর উপর নির্ভরশীল। 4.4.10 স্থানুমানী  $c = \sqrt{\frac{8kT}{m\pi}}$ । ৩.৩ অংশে আলোচিত হ'য়েছে যে  $\sigma^2$  এর মান  $\sigma_{\infty}^2 \left(1 + \frac{b}{T}\right)$  লেখা যেতে পারে।

### 5.3.1 সূত্র থেকে এখন সহজেই দেখা যায় :

$$\eta_{\infty} \frac{\sqrt{T}}{1 + \frac{b}{T}} \quad 5.3.2$$

কোন নির্দিষ্ট উষ্ণতা  $T_0$  তে যদি সান্ততাক্ষ  $\eta_0$  হয় তবে অন্য কোন উষ্ণতা  $T$  তে সান্ততাক্ষের মান

$$\eta = \eta_0 \sqrt{\frac{T}{T_0}} \frac{1 + \frac{b}{T_0}}{1 + \frac{b}{T}} \quad 5.3.3$$

5.3.3 সূত্রকে ‘সান্ততাক্ষ সূত্র’ বলা হয়। অনেক গ্যাসের ক্ষেত্রেই উষ্ণতার সংগে সান্ততাক্ষের পরিবর্তন এই সূত্রের সংগে সুলভভাবে মেলে।

### ৫.৪ গ্যাসের তাপ পরিবাহিতা

গ্যাসের মধ্যে উষ্ণতার বিভিন্নতা থাকলে তাপ পরিবহণের উষ্টব হয়। ধরা যাক স্থির অবস্থায় গ্যাসের মধ্যে  $z$  অক্ষ অভিযুক্ত নিরপেক্ষ উষ্ণতা  $T$  সমহারে বৃক্ষ পার। এই বৃক্ষের হার  $\frac{\partial T}{\partial z}$ ।

৫.১ চিহ্নের অনুরূপ এক চিত্র কম্পনা করা যাক ষেখালে  $\delta s$  তলে উক্ততা  $T_0$  এবং  $dv$  ও  $dv'$  আয়তন দুইটিতে উক্ততা বথাক্রমে  $T_0 + \frac{\partial T}{\partial z} \cdot r \cos \theta$  এবং  $T_0 - \frac{\partial T}{\partial z} r \cos \theta$ ।  $m$  ভর্বিশিষ্ট প্রতিটি অণুর তাপধারণ ক্ষমতা (Thermal capacity)  $mc_v$ । পূর্বের মত যদি কম্পনা করা হয় যে  $dv$  ও  $dv'$  আয়তনের মধ্যে যে সকল অণুর সংস্থর্হ হয় সেগুলি ঐ আয়তনগুলিতে উক্ততা অনুযায়ী গতীয় শক্তি অর্জন করে, তবে সেগুলির দ্বারা বাহিত তাপশক্তির পরিমাণ হবে বথাক্রমে  $mc_v \left( T_0 + \frac{\partial T}{\partial z} r \cos \theta \right)$  এবং  $mc_v \left( T_0 - \frac{\partial T}{\partial z} r \cos \theta \right)$ ।  $dv$  আয়তন থেকে যে  $dN$  সংখ্যক অণু (5.2.1 সূত্র দ্রষ্টব্য) একক সময়ে  $\delta s$  তলে পৌছায় তারা মোট  $mc_v \left( T_0 + \frac{\partial T}{\partial z} r \cos \theta \right) dN$  পরিমাণ তাপশক্তি  $\delta s$  এর মধ্য দিয়ে পরিচালিত করে। অনুরূপভাবে  $dv'$  থেকে আগত সমসংখ্যক অণু ঐ সময়ে  $mc_v \left( T_0 - \frac{\partial T}{\partial z} r \cos \theta \right) dN$  পরিমাণ তাপশক্তি  $\delta s$  এর মধ্য দিয়ে বিপরীত-মুখে পরিচালিত করে। অর্থাৎ এইভাবে মোট বাহিত তাপের পরিমাণ

$$\begin{aligned}\delta E &= \int 2m c_v \frac{\partial T}{\partial z} r \cos \theta dN \\ &= \int_{r=0}^{\infty} \int_{\theta=0}^{\pi} \int_{\phi=0}^{2\pi} 2m c_v \frac{\partial T}{\partial z} r \cos \theta \cdot \frac{n\bar{c}}{\lambda} \cdot \frac{\delta s \cos \theta}{4\pi r^4} \cdot e^{-\frac{r}{\lambda}} \cdot \\ &\quad r^2 \sin \theta d\theta dr d\phi \\ &= 2m c_v \cdot \frac{\partial T}{\partial z} \cdot \frac{n\bar{c}}{\lambda} \cdot \frac{\delta s}{4\pi} \int_{r=0}^{\infty} r e^{-\frac{r}{\lambda}} dr \int_{\theta=0}^{\pi} \sin \theta \cos^2 \theta d\theta \int_{\phi=0}^{2\pi} d\phi \\ &= \frac{mn\bar{c}\lambda}{3} \cdot \frac{\partial T}{\partial z} \cdot c_v \cdot \delta s\end{aligned}$$

গ্যাসের তাপ পরিবাহিতা ধরা যাক  $K$ । সংজ্ঞা অনুযায়ী বর্তমান ক্ষেত্রে  $\delta s$  তলের মধ্য দিয়ে একক সময়ে পরিবাহিত তাপের পরিমাণ  $\delta E = K \frac{\partial T}{\partial z} \cdot \delta s$ ।  $\delta E$  এর দুই পার্শ্বকে সমান ধরে পাওয়া যাবে

$$K = \frac{mn\bar{c}\lambda}{3} c_v = \eta c_v \quad 5.4.1$$

5.4.1 সূত্রের প্রমাণে ধ'রে নেওয়া হ'য়েছে যে  $n$  এবং  $c$  গ্যাসের আন্তনের সর্বত্রই সমান থাকে। উক্তা বিভিন্ন স্থানে বিভিন্ন হ'লে  $c$  অবশ্য সর্বত্র সমান থাকতে পারে না; কেননা  $c = \sqrt{T}$  এর সমানুপাত্তি। গ্যাসের ঘনসংখ্যা  $n$  ও সর্বত্র সমান থাকতে পারে না কেননা স্কেলে চাপ আধারের সর্বত্র সমান থাকবে না এবং ছিল অবশ্য বিষ্টি হবে। তবে  $dN$  সংখ্যা  $e^{-r/\lambda}$  এর সমানুপাত্তি হওয়ার গড় অবাধপথের বহুগুণ দূরত্ব থেকে  $\delta s$  তলে আগত অণুর সংখ্যা উপেক্ষণীয় হবে। সূত্রাংশুপ দূরত্বে  $n$  ও  $c$  এর মান প্রকৃতপক্ষে বিভিন্ন হ'লেও এই বিভিন্নতার ফলে শোট পরিবাহিত তাপশক্তির গণনা অসম্ভব হয় না। প্রকৃতপক্ষে  $\lambda$  দূরত্বের মধ্যে উক্তার পরিবর্তন ( $\text{বা } \lambda \frac{\partial T}{\partial z}$ )  $T$  এর তুলনায় উপেক্ষণীয় হওয়া প্রয়োজন এবং পূর্ববর্তী ‘ $\delta E$ ’ এর গণনায় এই সর্তটি স্বীকার ক'রে নেওয়া হ'য়েছে।

$K = \eta c_v$ , সূত্রের সত্যতা সহজেই পরীক্ষা করা যায়। ৫.১ সারণীতে বিভিন্ন গ্যাসের  $K$ ,  $\eta$ ,  $c_v$  ও  $K/\eta c_v$  এই রাশিগুলির পরীক্ষালক্ষ মান ( $0^{\circ}\text{C}$ ) সন্ধিবিষ্ট হ'ল। তালিকাভুক্ত  $\epsilon$  রাশিটির সম্পর্কে পরে আলোচনা করা হ'য়েছে।

গ্যাস	$K \times 10^5$ cal/sec. $^{\circ}\text{C. cm.}$	$\eta \times 10^4$ gm/sec. cm.	$c_v$ cal/gm. $^{\circ}\text{C}$	$\frac{K}{\eta c_v}$	$-\frac{9\gamma - 5}{4}$
He	34.0	1.87	0.746	2.44	2.50
Ne	11.1	2.98	0.150	2.48	2.50
A	3.89	2.10	0.0745	2.49	2.50
H <sub>2</sub>	40.2	0.84	2.41	1.99	1.92
N <sub>2</sub>	57.3	1.66	0.175	1.97	1.91
O <sub>2</sub>	58.5	1.95	0.157	1.91	1.89
CO <sub>2</sub>	34.6	1.36	0.154	1.65	1.68
N <sub>2</sub> O	36.1	1.37	0.155	1.70	1.68

৫.১ সারণী—বিভিন্ন গ্যাসের ক্ষেত্রে  $K$ ,  $\eta$ ,  $c_v$ ,  $K/\eta c_v$  ও  $\epsilon$  রাশিসমূহের মান (উক্তা =  $0^{\circ}\text{C}$ )।

বিভিন্ন গ্যাসের ক্ষেত্রে  $\frac{K}{\eta c_v}$  এর মান লক্ষ্য করলে দেখা যায় যে রাশিটির মান ১ থেকে নির্ণিতযুক্তি বৃহত্তর। এই মান একপরমাণুক গ্যাসের ক্ষেত্রে সর্ববৃহৎ, প্রায় 2.50। পরমাণুর সংখ্যা যত বৃদ্ধি পায় এই মান ততই হ্রাস-প্রাপ্ত হয়। স্পষ্টতই পূর্বের গগনায় কোন গুরুত্বপূর্ণ প্রাণীর অনুপ্রবেশ ঘটেছে। আসলে প্রতিটি অণু  $c$  গতিবেগে গমন করে এবং গড় পরিমাণ তাপশক্তি  $mc_v \left( T_0 \pm \frac{\partial T}{\partial z} r \cos \theta \right)$  বহন করে এই ধারণাই প্রাণীর সূত্রপাত করে। নির্দিষ্ট উক্তায় অবস্থিত গ্যাসের মধ্যেও বেগের বক্টরছেতু বিভিন্ন বেগের অণু বর্তমান। অপেক্ষাকৃত দ্রুতগতি অণুর সংঘর্ষের হার অধিক ও গড় অবাধপথ দীর্ঘ। তদুপরি এই অণুগুলিই অধিক গতীয় শক্তি বহন করে। অঙ্গুলিত অণুর ক্ষেত্রে বিপরীত অবস্থা লক্ষিত হয়। মোটের উপর অণুগুলিয়ে স্বারা তাপশক্তি বহনের হার এর ফলে নির্ণীত পরিমাণ অপেক্ষা অধিক হয়।

বোল্ট্সমান ও ম্যাজ্ঞাওয়েল এবং পরবর্তীকালে চাপমান ও এনস্কগ অন্তরণুক বিকর্ষণী শক্তির বিভিন্ন সূত্র ব্যবহার ক'রে এই সমস্যা সমাধানের চেষ্টা করেন। চাপমান ও এনস্কগ একপরমাণুক, অর্ধাং ক্ষেত্রমাত্র বৈধিক গতিবিশিষ্ট অণুর ক্ষেত্রে  $\frac{1}{r^n}$  ( $r = \text{অণুর ক্ষেত্রস্থানের মধ্যে দূরত্ব}$ ) এর সমানুপাতী বিকর্ষণী বলের ক্ষেত্রে  $\frac{K}{\eta c_v} (-\epsilon, \text{ ধরা যাক})$  এর মান নির্ণয় করেন।  $n=5$  এর ক্ষেত্রে  $\epsilon = \frac{2}{5}$  পাওয়া যায়।  $n$  এর অন্য মানের জন্য  $\epsilon$  বিভিন্ন হ'লেও হ'ল এর নিকটবর্তী হয়, সূতরাং ক্ষেত্রমাত্র বৈধিক গতির জন্য  $\epsilon$  এর মান অর্ধাং  $\epsilon$ , কে 2.500 হিসাবে ধরা হবে। বৈধিক ব্যাতীত অন্য প্রকার গতির ক্ষেত্রে ( যথা ঘূর্ণন ও ক্ষেপন )  $\epsilon$  এর মান  $\epsilon_r = 1$  ধরে নেওয়া যায় কেননা সাধারণভাবে ঐরূপ গতিজ্ঞিত তাপশক্তি ও অণুর তাপ-পরিবহণ দক্ষতার মধ্যে কোন সম্পর্ক নেই।\*

গ্যাস-অণুর বৈধিক ব্যাতীত অনুপ্রকার গতিজ্ঞিত স্বাত্মাসংখ্যা  $\beta$  ধরা যাক। শক্তির সমবিভাজন নীতি থেকে বলা যায় অণুর বৈধিক গতিজ্ঞিত

\* ক্ষেপনের দিক ও তাপপ্রবাহের দিক এক হ'লে এই উক্তি যথার্থ থাকে না। ঐরূপ ক্ষেপনের স্বারা তাপ পরিবাহিত হ'তে পারে এবং একেতে  $\epsilon$  এর মান ১ ও 2.5 এর মধ্যবর্তী হওয়া উচিত। গগনার সারলোর জন্যই  $\epsilon$  এর মান একেতেও ১ রাখা হল।

শক্তি  $\frac{3}{2} kT$  এবং অন্যপ্রকার গতিজ্ঞিত শক্তি  $\frac{\beta}{2} kT$ । প্রথম প্রকার শক্তির জন্য আপেক্ষিক তাপের মান

$$c_t = \frac{1}{Jm} \frac{d}{dT} (\frac{3}{2} kT) \quad [ J = \text{তাপের ধার্ছিক তুল্যাঙ্ক } ]$$

$$= \frac{3}{2} \frac{k}{Jm}$$

এবং দ্বিতীয় প্রকার শক্তির জন্য

$$c_r = \frac{1}{Jm} \frac{d}{dT} \left( \frac{\beta}{2} kT \right) = \frac{\beta}{2} \frac{k}{Jm}$$

$$\therefore \text{মোট আপেক্ষিক তাপ } c_v = c_t + c_r = \frac{3+\beta}{2} \frac{k}{Jm} \quad 5.4.2$$

এবং মোট তাপ পরিবাহিতার মান

$$K = \eta ( \epsilon_t c_t + \epsilon_r c_r ) \quad 5.4.3$$

$\epsilon_t$ ,  $\epsilon_r$ ,  $c_t$  ও  $c_r$  এর পূর্বলক্ষ মান ব্যবহার ক'রে পাওয়া যাব

$$\epsilon = \frac{K}{\eta c_v} = \frac{\epsilon_t c_t + \epsilon_r c_r}{c_t + c_r}$$

$$= \frac{15+2\beta}{6+2\beta} \quad 5.4.4$$

$\epsilon$  কে গ্যাসের দুই আপেক্ষিক তাপের অনুপাত ' $\gamma$ ' এর মাধ্যমেও লেখা যাব। চিহ্ন চাপে আপেক্ষিক তাপের মান

$$c_p = c_v + \frac{R}{JM} \quad ( M = \text{আণবিক তর } )$$

$$= c_v + \frac{k}{Jm}$$

$$= \frac{5+\beta}{2} \cdot \frac{k}{Jm} \quad 5.4.5$$

5.4.2 ও 5.4.5 সূত্রসম থেকে

$$\gamma = \frac{c_p}{c_v} = \frac{5+\beta}{3+\beta} \quad 5.4.6$$

5.4.4 ও 5.4.6 সূত্রসম থেকে  $\beta$  কে অপনয়ন করলে পাওয়া যাব :

$$\epsilon = \frac{1}{2} (9\gamma - 5) \quad 5.4.7$$

৫.২ সাধারণভাবে বিভিন্ন গ্যাসের ক্ষেত্রে  $5.4.7$  সূচী থেকে জন্ম  $\epsilon$  এর মান লিপিবদ্ধ হ'য়েছে।  $\frac{K}{\eta_{c^*}}$  এর মানের সংগে এই রাশির তুলনা করলে উভয়ের সঙ্গতি সুস্পষ্ট হয়। অতি অল্প সংখ্যক ক্ষেত্রেই দুই রাশির মধ্যে অসঙ্গতি দেখা যায়। এবং সেই অসঙ্গতির কারণ কম্পনশান্তি-পরিবহণের যথার্থ হিসাবের অভাব বা কোন কোন ক্ষেত্রে অতি অল্প উক্তায় পরিবহণ-প্রক্রিয়ার প্রকৃতির পরিবর্তন।

### ৫.৩ চাপ ও উক্তার সংগে তাপপরিবাহিতার সম্পর্ক

তাপপরিবাহিতা বা  $K'_{\eta_{c^*}}$  এর সমানুপাত্তি কেননা  $\epsilon$  কে ছির রাশি হিসাবে ধরা যায়। চাপ বা উক্তার সংগে আপেক্ষিক তাপ বিশেষ পরিবর্তিত হয় না। ফলে তাপপরিবাহিতা গ্যাসের সান্ততার মতই আচরণ করে।

চাপের পরিবর্তনের সংগে তাপপরিবাহিতার সাধারণভাবে বিশেষ পরিবর্তন হয় না। অতি অল্প চাপে যখন গ্যাস-অণ্ডুর গড় অবাধপথ আধারের পরিসরের সংগে তুলনীয় হয় তখন তাপের পরিবহণ ভিন্ন উপায়ে ঘটে এবং পরিবাহিতা হ্রাস পায়। অতি উচ্চচাপে পরিচলনের (convection) প্রভাবে তাপপরিবাহিতার সূক্ষ্ম পরিমাপ করা যায় না। তবে আশা করা যায় যে অতি উচ্চচাপে সান্ততার মত পরিবাহিতাও ছির থাকে না।

উক্তার সংগে তাপপরিবাহিতার পরিবর্তনও মোটায়ুটিভাবে সান্ততার মতই হয়। অর্থাৎ তাপপরিবাহিতা নিরপেক্ষ উক্তা  $T$  এর সংগে  $\sqrt{T}$  অপেক্ষা অধিক হারে ঝোলান্মায় করে। তবে বিভিন্ন উক্তায় তাপপরিবাহিতার পরিমাপ দূরুৎ এবং স্বাভাবিক ভাবেই খুব সূক্ষ্ম নয়। সে হিসাবে আগণ্বিক তত্ত্ব থেকে তাপপরিবাহিতার চাপ ও উক্তার উপর যেরূপ নির্ভরশীলতা প্রত্যাশিত হয়, পরীক্ষালক্ষ ফল তার সংগে সঙ্গতিপূর্ণ বলা যায়।

### ৫.৪ গ্যাসের ব্যাপন

পূর্বে গ্যাসের আয়তনের মধ্যে নির্দিষ্ট দিকে দূরত্বের সংগে অণ্ডুর হৌথ গান্তব্যেগ ও উক্তার সমহারে পরিবর্তন কম্পন। করা হ'য়েছে। অণ্ডুর ঘনত্ব-সংখ্যা যদি অনুরূপভাবে পরিবর্তিত হয় তবে গ্যাসের ব্যাপন ঘটে অর্থাৎ ঘনত্ব-সংখ্যার উন্নতির বিপরীতমুখে গ্যাস যৌথভাবে প্রবাহিত হয়। পরবর্তী আলোচনায় কম্পন। করা হবে যে ব্যাপনসম্বন্ধেও ছির অবস্থা বজায় থাকে অর্থাৎ ঘনত্বসংখ্যা ও তার উন্নতি সর্বত্র অপরিবর্তিত থাকে।

ধৰা থাক  $z$ -অক্ষ অভিযুক্তে কোন গ্যাসের অনসংখ্যা  $n$  সমহারে বৰ্ধিত হয়।  $z=0$  তলে  $n$  এর মান  $n_0$  এবং  $z$  অক্ষ বরাবর  $n$  এর বৃদ্ধির হার  $\frac{\partial n}{\partial z}$ ।  $dv$  ও  $dv'$  আয়তনের মধ্যে ( ৫.১ চিত্ৰ )  $n$  এর মান বৰ্ধান্তমে  $(n_0 + \frac{\partial n}{\partial z} \cdot r \cos \theta)$  ও  $(n_0 - \frac{\partial n}{\partial z} \cdot r \cos \theta)$ । 5.2.1 স্বতে  $n$  এর এই মান ব্যবহার কৰে পাওয়া থায় যে প্রতি একক সময়ে

$$(n_0 + \frac{\partial n}{\partial z} r \cos \theta) dv \cdot \frac{\bar{c}}{\lambda} \cdot \frac{\delta s \cos \theta}{4\pi r^2} e^{-r/\lambda}$$

সংখ্যাক অণু  $dv$  আয়তনে সংঘৰ্ষের পৰ এবং

$$(n_0 - \frac{\partial n}{\partial z} r \cos \theta) dv \cdot \frac{\bar{c}}{\lambda} \cdot \frac{\delta s \cos \theta}{4\pi r^2} e^{-r/\lambda}$$

সংখ্যাক অণু  $dv$  এর সমান আয়তন  $dv'$  এ সংঘৰ্ষের পৰ  $\delta s$  তলে পৌছাবে। অতএব একক সময়ে  $dv$  ও  $dv'$  আয়তন দুইটি থেকে আগত ও  $\delta s$  তলের মধ্য দিয়ে নিম্নাভিযুক্তে ( অর্ধাং  $n$  এর উন্নতিৰ বিপরীত মুখে ) গমনকাৰী অণুৱ মোট সংখ্যা

$$2r \cos \theta \cdot \frac{\partial n}{\partial z} \cdot dv \cdot \frac{\bar{c}}{\lambda} \cdot \frac{\delta s \cos \theta}{4\pi r^2} e^{-r/\lambda}$$

অতএব একক সময়ে  $\delta s$  তলের মধ্য দিয়ে নিম্নগামী অণুৱ মোট সংখ্যা

$$\delta N_D = \int_{r=0}^{\infty} \int_{\theta=0}^{\pi/2} \int_{\phi=0}^{\pi} 2r \cos \theta \cdot \frac{\partial n}{\partial z} \cdot \frac{\bar{c}}{\lambda} \cdot \frac{\delta s \cos \theta}{4\pi r^2} e^{-\frac{r}{\lambda}} r^2 \sin \theta d\theta dr d\phi$$

$$-\frac{1}{3} \bar{c} \lambda \frac{\partial n}{\partial z} \cdot \delta s \quad 5.6.1$$

গ্যাসের ব্যাপনাক ক্ষেত্ৰে  $D$  এর সংজ্ঞানুযায়ী

$$\delta N_D = D \cdot \frac{\partial n}{\partial z} \cdot \delta s \quad 5.6.2$$

$\delta N_D$  এর এই দুই বাণিজ্যিক সমান, সুতৰাং

$$D = \frac{1}{3} \bar{c} \lambda - \frac{\eta}{\rho} \quad (5.2.3 \text{ অনুযায়ী}) \quad 5.6.3$$

ব্যাপন সংক্রান্ত পরীক্ষার সাধারণতঃ আধাৱেৰ মধ্যে দুই প্ৰকাৰ গ্যাস একত্ৰ থাকে এবং চাপ ও উভয় সৰ্বত্ৰ সমান থাকে। তাৱ জন্য উভয় প্ৰকাৰ গ্যাসেৰ ঘনত্ব-সংখ্যাৰ বোগফল সমান থাকা প্ৰয়োজন সূতৰাঙ উভয় ঘনত্বসংখ্যাৰ উম্রাতি সম-হাৱিশিষ্ট কিন্তু বিপৰীতমূৰ্খী হৈবে। ধৰা থাক দুই প্ৰকাৰ গ্যাস  $A$  ও  $B$  এৰ ঘনত্বসংখ্যা  $n_a$  ও  $n_b$ , গড় অবাধপথ  $\lambda_a$  ও  $\lambda_b$  এবং গতিবেগেৰ গড়  $\bar{c}_a$  ও  $\bar{c}_b$ । যেহেতু  $n_a + n_b =$  স্থিৱ রাশি,

$$\frac{\partial n_a}{\partial z} = - \frac{\partial n_b}{\partial z} = \frac{\partial n}{\partial z}, \text{ ধৰা থাক }.$$

$z$ -অক্ষেৰ সঙ্গে সমকোণে অবস্থিত  $\delta s$  তলেৰ মধ্য দিয়ে একক সময়ে নিষ্পত্তি  $A$  ও  $B$  অণ্টৰ সংখ্যা ( 5.6.1 সূচানুবায়ী )

$$\delta N_{Da} = \frac{1}{3} \bar{c}_a \lambda_a \frac{\partial n_a}{\partial z} \cdot \delta s$$

$$\text{এবং } \delta N_{Db} = \frac{1}{3} \bar{c}_b \lambda_b \frac{\partial n_b}{\partial z} \cdot \delta s$$

$A$  ও  $B$  অণ্টৰ নিষ্পত্তিনেৰ মোট হাৰ

$$\delta N_{Da} + \delta N_{Db} = \frac{1}{3} \frac{\partial n}{\partial z} (\bar{c}_a \lambda_a - \bar{c}_b \lambda_b) \delta s \quad (5.6.4)$$

$(\bar{c}_a \lambda_a - \bar{c}_b \lambda_b)$  বৰ্দি শূন্য না হয়, তবে তাৱ অৰ্থ এই যে ক্রমশঃ  $\delta s$  তলেৰ মধ্য দিয়ে গ্যাস একই দিকে প্ৰবাহিত হতে থাকবে। এই অবস্থায় আধাৱেৰ মধ্যে চাপেৰ সমতা বজায় থাকতে পাৰে না। তাপেৰ সমতা বৰ্ক্কাৰ জন্য  $\delta s$  তলেৰ মধ্য দিয়ে উভয় প্ৰকাৰ গ্যাসেৰই এক যৌথ গতিবেগ সৃষ্টি হৈবে। ব্যাপনেৰ ফলে  $A$  ও  $B$  অণ্টৰ মোট প্ৰবাহ যেদিকে হয় এই যৌথ গতিবেগ তাৱ বিপৰীত দিকে হবে যাতে প্ৰবাহিত অণ্টৰ মোট সংখ্যা শূন্য হয়। ধৰা থাক এই গতিবেগেৰ জন্য একক সময়ে যথাক্রমে  $v \delta s \cdot n_a$  ও  $v \delta s \cdot n_b$  সংখাক  $A$  ও  $B$  অণ্টৰ  $\delta s$  তলেৰ মধ্যে দিয়ে গমন কৰবে।

#### 5.6.4 সূত্ৰ ব্যৱহাৰ ক'ৱে :

$$v \delta s (n_a + n_b) + \frac{1}{3} \frac{\partial n}{\partial z} (\bar{c}_a \lambda_a - \bar{c}_b \lambda_b) \delta s = 0$$

$$\text{অথবা } v = - \frac{\frac{\partial n}{\partial z}}{3(n_a + n_b)} (\bar{c}_a \lambda_a - \bar{c}_b \lambda_b) = 0 \quad 5.6.5$$

$A$  ও  $B$  অণুর মোট প্রবাহের হার এখন সহজেই পাওয়া থার।  $A$  অণুর  
প্রবাহহার =  $v \delta s \cdot n_a + \delta N_{Da}$

$$= \frac{n_b \bar{c}_a \lambda_a + n_a \bar{c}_b \lambda_b}{3(n_a + n_b)} \cdot \frac{\partial n}{\partial z} \cdot \delta s$$

$B$  অণুর সমহারেই প্রবাহিত হয়। এইভাবে একপ্রকার গ্যাসের মধ্যে অন্য এক  
অসমপ্রকারের গ্যাসের বাপনকে ‘অন্তর্ব্যাপন’ (interdiffusion) বলা হয়।

যদি  $D_{ab} - B$  গ্যাসের মধ্যে  $A$  গ্যাসের ‘অন্তর্ব্যাপনাংক’ হয় তবে এই হার  
অন্তর্ব্যাপনাংকের সংজ্ঞানুযায়ী

$$D_{ab} \frac{\partial n}{\partial z} \cdot \delta s$$

এর সমান। সূতরাং

$$D_{ab} = \frac{n_b \bar{c}_a \lambda_a + n_a \bar{c}_b \lambda_b}{3(n_a + n_b)} = D_{ba} \quad 5.6.6$$

৫.৬.৬ সূত্র ‘মেয়ারের (Meyer) সূত্র’ নামে পরিচিত। সহজেই বোঝা  
যায় যে অন্তর্ব্যাপনাংক প্রকৃতপক্ষে  $\frac{n_a}{n_b}$  অর্থাৎ গ্যাসের মিশ্রণের মধ্যে দুই প্রকার  
অণুর সংখ্যার অনুপাতের উপর নির্ভরশীল। মিশ্রণের গঠনের দুই চরম অবস্থায়  
অর্থাৎ  $n_a$  ও  $n_b$  যদি একে অপরের তুলনায় উপেক্ষণীয় হয় তবে মেয়ারের  
সূত্র থেকে :

$$D_{ab}(n_a < < n_b) = \frac{1}{3} \bar{c}_a \lambda_a$$

$$D_{ba}(n_b < < n_a) = \frac{1}{3} \bar{c}_b \lambda_b$$

$\lambda_a$  ও  $\lambda_b$  এর মান ৪.৯.৬ সূত্র থেকে পাওয়া যেতে পারে।

যখন  $n_a < < n_b$ , মোট ঘনসংখ্যা  $n$

$$\lambda_a = \frac{1}{\pi n(r_a + r_b)^2 \sqrt{1 + \frac{m_a}{m_b}}}$$

$$\text{অতএব, } D_{ab}(n_a < < n_b) = \frac{\bar{c}_a}{3\pi n(r_a + r_b)^2 \sqrt{1 + \frac{m_a}{m_b}}} \quad \text{অনুরূপভাবে } D_{ba}(n_b < < n_a) = \frac{\bar{c}_b}{3\pi n(r_a + r_b)^2 \sqrt{1 + \frac{m_b}{m_a}}}$$

$$\text{এবং উভয়ের অনুপাত } e = \frac{D_{ab}(n_a < < n_b)}{D_{ba}(n_b < < n_a)} = \frac{\bar{c}_a}{\bar{c}_b} \cdot \sqrt{\frac{m_b}{m_a} - \frac{m_b}{m_a}} \quad 5.6.7$$

*A* ও *B* গ্যাস বিভিন্ন হ'লেও যদি তাদের আণবিক ভৱ ও আকার সমান হয় তবে  $\bar{c}_a = \bar{c}_b$  এবং  $\lambda_a = \lambda_b$  হয়।  $CO_2$  ও  $N_2O$  গ্যাস দুইটিকে উদাহরণস্বরূপ নেওয়া যায়। এরূপ অবস্থায় ব্যাপনাঙ্ককে ‘সমব্যাপনাঙ্ক’ (coeff. of. self-Diffusion) বলা হয়। 5.6.6 সূত্র থেকে  $\bar{c}_a = \bar{c}_b = \bar{c}$  ও  $\lambda_a = \lambda_b = \lambda$  লিখলে সহজেই পাওয়া যায়

$$D_{ab}^S = \frac{1}{3} \bar{c} \lambda = D_{ba}^S \quad 5.6.8$$

ব্যাপনাঙ্কের এই হিসাবের মধ্যেও কিছুটা সূক্ষ্মতার অভাব আছে। 5.6.1 সূত্রের নির্ধারণকালে প্রকৃতপক্ষে গাতিবেগের উপর নির্ভরশীল গড় অবাধপথের মান  $\lambda_c$  বাবহার ক'রে ও বিভিন্ন গাতিবেগসীমার মধ্যে অবস্থিত অণুর প্রবাহ-সংখ্যা পৃথকভাবে নির্ণয় করে তার যোগফল বাব করাই সংগত ছিল। অন্তর্ব্যাপনের ক্ষেত্রে এই পক্ষতির বাবহার অতি কঠিন গার্গতিক সমস্যার উন্টব করে কেননা  $\lambda_c$  এর মান  $\frac{n_a}{n_b}$  অনুপাতের উপর নির্ভরশীল হয়। এই  $n_a$  অনুপাতের সংগে  $\lambda_c$  ও *z*-নির্দেশাঙ্কের সংগে পরিবর্তিত হয়। সমব্যাপনের ক্ষেত্রে  $\lambda_c \cdot \frac{n_a}{n_b}$  এর উপর নির্ভরশীল নয়। সমব্যাপনাঙ্কের মান পূর্বোক্ত পক্ষতিতে নির্ণয় করলে পাওয়া যায় :

$$D_{ab}^S = \frac{1.051}{3} \bar{c} \lambda = \frac{\eta T}{\rho} \quad (5.2.4 \text{ দ্রুতিব্য}) \quad 5.6.9$$

জীনস্ এর গাতিবেগের চ্ছিতপ্রবণতাজনিত শুল্ক প্রয়োগ করে সমব্যাপনাঙ্কের মান পাওয়া যায়

$$D_{ab}^S = 1.34 \frac{\eta}{\rho} \quad 5.6.10$$

অন্তর্ব্যাপনাঙ্কের ক্ষেত্রে এই শুল্কের প্রয়োগও অপেক্ষাকৃত জটিল। এই শুল্ক প্রয়োগ ক'রে দেখা যায় যে  $D_{ab}(n_a < < n_b)$  ও  $D_{ba}(n_b < < n_a)$  এই দুই অন্তর্ব্যাপনাঙ্কের মান কথনই  $3 : 4$  অনুপাতের অধিক অসম হয় না ( অর্থাৎ  $\frac{t}{e} \geq e \geq \frac{t}{3}$  )। মেয়াবের সূত্র অনুযায়ী এই অসমতা অধিকতর হ'তে পারে।

ম্যাক্সওয়েল ও বোল্টস্মানের গণনার  $r$  দূরত্বে অবস্থিত দুই অণুর মধ্যে বিকর্ষণী শক্তি  $\frac{1}{r^6}$  এর সমানুপাতী ধৰা হয়। এই পক্ষতিতে সমব্যাপনাঙ্কের মান পাওয়া যায়

$$D_{ab}^S = 1.504 \frac{\eta}{\rho} \quad 5.6.11$$

চাপম্যান ও এন্সকগ অণ্ডগুলিকে ছাঁতিষ্ঠাপক কঠিন গোলক হিসাবে কল্পনা ক'রে এই ফল লাভ করেন : :

$$D_{ab}^s = 1.200 \frac{\eta}{\rho} \quad 5.6.12$$

$$\text{ও } e = \frac{1 + \frac{m_a^2}{m_b^2}}{1 + \frac{12 m_a^2 + 16 m_a m_b + 30 m_b^2}{12 m_a^2 + 16 m_a m_b + 30 m_b^2}} \quad 5.6.13$$

পরীক্ষালক ফলের সংগে উল্লিখিত বিভিন্ন সূত্রের সঙ্গতি ও অসঙ্গতি পরবর্তী অংশে আলোচিত হ'ল ।

### ৫.৭ ব্যাপন সম্বৰ্কীয় পরীক্ষালক ফল এবং চাপ ও উষ্ণতার উপর ব্যাপনাংকের নির্ভরশীলতা

5.6.3 সূত্রে গ্যাসের যে ব্যাপনাংকের উল্লেখ আছে তার মান পরীক্ষার দ্বারা নির্ণয় করা যায় না । বরং যে সকল গ্যাস-বৃংগের অণ্ড ভর ও ব্যাসার্থ সমান, তাদের ক্ষেত্রে সমব্যাপনাংকের মান পরীক্ষার দ্বারা জানা যায় এবং ঐ মান থেকে ব্যাপনাংক  $D$  এর মান হিসাব করা যায় । বিভিন্ন গ্যাসের  $\frac{D\rho}{\eta}$  এর মান 1.2 ও 1.5 এর মধ্যে থাকতে দেখা যায়, সুতরাং ম্যারিওয়েল ও চাপম্যান-এন্সকগের গণনা মোটামুটি নির্ভুল বলা যেতে পারে ।

গ্যাসের মিশ্রণ-অনুপাতের সংগে অন্তর্ব্যাপনাংকের পরিবর্তনও পরীক্ষিত হ'য়েছে । অন্তর্ব্যাপনাংকের মান এই অনুপাতের সংগে পরিবর্তিত হ'লেও এই পরিবর্তন সচরাচর কয়েক শতাংশের বেশী হয় না ।  $H_2(A)$  ও  $CO_2(B)$  গ্যাসবৃংগের ক্ষেত্রে  $\frac{n_a}{n_b}$  . এর মান যথন 3, 1 ও  $\frac{1}{3}$ , তখন ' $D_{ab}$ ' এর মান যথাক্রমে 0.594, 0.605 ও 0.633 (একক -  $cm^2/sec$ ) । চাপম্যানের গণনা অনুযায়ী রাশিগুলির প্রত্যাশিত মান যথাক্রমে 0.589, 0.617 এবং 0.628 । উল্লিখিত রাশিগুলি নিঃসন্দেহে চাপম্যানের গণনার সমর্থন করে ।

ব্যাপনাংক বা  $D$  এর সংগে  $c_A$  সমানুপাত্তি । এর মধ্যে  $c \propto \sqrt{T}$  এবং নির্দিষ্ট চাপে  $\lambda \propto \frac{T}{1 + \frac{b}{T}}$  । আশা করা যায় যে ' $D$ '  $T^{\frac{1}{2}} / \left(1 + \frac{b}{T}\right)$  এর

সমানুপাত্তি হবে । নিরপেক্ষ উষ্ণতা  $T$  এর সংগে ব্যাপনাংকের পরিবর্তন

$T^{\frac{1}{2}}$  অপেক্ষা দ্রুত হ'তে দেখা যায়। ব্যাপনাক্রমে মান ঘটটা সূক্ষ্মভাবে নির্ণয় করা যায় তাতে উক্তার সঙ্গে  $D$  এর পরিবর্তন আশনুবৃপ্ত ব'সেই ধরে নেওয়া যায়।

নির্দিষ্ট উক্তায়  $C$  স্থির ধারকে এবং  $\lambda$  চাপ ' $p$ ' এর বাস্তানুপাতী হয়। ব্যাপনাক্রমে সেই কারণে ' $p$ ' এর বাস্তানুপাতী হওয়া উচিত এবং পরীক্ষায় রাও এবং পরিবর্তনই লক্ষিত হয়।

## ତତ୍ତ୍ଵତ୍ତ ଗ୍ୟାସେର ଆଚରଣ ବୈଶିଷ୍ଟ୍ୟ

### ୬.୧ ଅତି ଅଞ୍ଚ ଚାପେ ବିଭିନ୍ନ ପ୍ରକିଳ୍ପାର ପ୍ରକରିତ୍ସାଭନ୍ୟ

ଗ୍ୟାସ ଅଣ୍ଟର ଗଡ଼ ଅବାଧପଥ ସଂଖ୍ୟା ଅତି ଅନ୍ପ ଚାପେ ଆଧାରେ ପରିମାପେର ସଂଗେ ତୁଳନାଯିର ହ'ରେ ପଡ଼େ, ତଥନ ସାଧାରଣ ଚାପେ ଗ୍ୟାସେର ପ୍ରକର୍ତ୍ତି ସମ୍ପର୍କିତ ଗଣନା ପ୍ରୋଗ୍ରାମ୍ ଥାକେ ନା । ପରିବହଣ-ପ୍ରକିଳ୍ପାର ଆଲୋଚନାଯି ପୂର୍ବେଇ ଏହି ଅବଶ୍ଵାର ପରିଚର ପାଉଯା ଗେଛେ । ଉଦାହରଣସ୍ବରୂପ, ଗ୍ୟାସେର ସାନ୍ତ୍ରିତାଙ୍କ ସାଧାରଣ ଚାପେ ଚାପିଲିରପେକ୍ଷ ଥାକଲେଓ ଅତି ଅନ୍ପ ଚାପେ ସାନ୍ତ୍ରିତା ହ୍ରାସ ପାଇ, ଏବୁପ ଦେଖା ଗେଛେ । ପ୍ରକର୍ତ୍ତପକ୍ଷେ ବିଭିନ୍ନ ପରିବହଣ ପ୍ରକିଳ୍ପା ଓ ସଂଖ୍ୟାକ୍ଷେତ୍ର ଘଟନାବଳୀର ପ୍ରତ୍ୟେକଟିକେଇ ଏବୁପ ଚାପେ ନୃତ୍ୟ ଦୃଷ୍ଟିଭାବୀ ଥେକେ ପରିଷକ୍ଷା କରା ପ୍ରୋଜେକ୍ଟ ହୁଏ । ଅଣ୍ଟର ସଂଗେ ଆଧାରଗାତ୍ରେ ସଂସର୍ବେହି ଅତି ଅନ୍ପ ଚାପେ ପ୍ରାଧାନ୍ୟ ଲାଭ କରେ ସୁତରାଂ ଆଧାରେ ଜ୍ୟାମିତିକ ବିନାସ ପରିଲାଞ୍ଚିତ ଘଟନାର ବ୍ୟାଖ୍ୟାର ଗୁରୁତ୍ୱପୂର୍ଣ୍ଣ ହୁଏ । ଏହାଡ଼ା କଠିନ ଆଧାରଗାତ୍ରେ ସଂଗେ ଅଣ୍ଟର ସଂସର୍ବ୍ରକାଳେ ଭରବେଗ ଓ ଶକ୍ତିର ଆଦାନ-ପ୍ରଦାନ କି ଉପାରେ ଘଟେ ସେ ସହକ୍ରେଷ୍ଟ ପ୍ରଶ୍ନର ଅବକାଶ ଦେଖା ଦେଇ ।

ବର୍ତ୍ତମାନ ଅଧ୍ୟାୟେ ଅତି ଅନ୍ପ ଚାପେ ପରିଲାଞ୍ଚିତ କମ୍ପ୍ୟୁଟଟ ଘଟନାର ଆଣ୍ଟିକ ତତ୍ତ୍ଵଗତ ବ୍ୟାଖ୍ୟା ଆଲୋଚିତ ହବେ ।

### ୬.୨ କୈଶିକେର ମଧ୍ୟେ ଗ୍ୟାସେର ପ୍ରବାହ

ସାଧାରଣ ଚାପେ କୈଶିକେର ମଧ୍ୟେ ଗ୍ୟାସେର ପ୍ରବାହ ‘ପୋଇସ୍‌ଯେଇ’ର (Poiseuille) ସ୍ତର ପ୍ରାତିପାଳନ କରେ ।  $a$  ବ୍ୟାସାଧିବିରାଶିତ  $V$  ଦୈର୍ଘ୍ୟର କୈଶିକେର ପ୍ରାତିପଦ୍ୟର ମଧ୍ୟେ ଚାପେର ବ୍ୟାବଧାନ  $P$  ହ'ଲେ  $\eta$  ସାନ୍ତ୍ରିତାଙ୍କ ବିଶିଷ୍ଟ ଗ୍ୟାସେର ପ୍ରବାହର ହାର ହୁଏ

$$V = \frac{\pi Pa^4}{8l\eta} \quad 6.2.1$$

ଏହି ‘ $V$ ’ କୈଶିକେର ମଧ୍ୟେ ଗଡ଼ ଚାପେ ଏକକ ସମୟେ ପ୍ରବାହିତ ଗ୍ୟାସେର ଆଯତନ । ସାଧାରଣ ଚାପେ 6.2.1 ସ୍ତରେ ସାନ୍ତ୍ରିତାଙ୍କେର ମାନ ଚାପେର ସଂଗେ ପରିବାନ୍ତିତ ହୁଏ ନା । କିନ୍ତୁ ଅତି ଅନ୍ପଚାପେ ଅଣ୍ଟର ଗଡ଼ ଅବାଧପଥ ସଂଖ୍ୟା କୈଶିକ-ବ୍ୟାସାଧିର ସଂଗେ ତୁଳନାଯି ହୁଏ ତଥନ ଏହି ସ୍ତର ଥେକେ ନିର୍ଣ୍ଣୟ ସାନ୍ତ୍ରିତାଙ୍କେର ମାନ କ୍ରମଶଃ କମାନ୍ତେ ଥାକେ ।

এই অসঙ্গতিকে নিম্নবর্ণিত উপায়ে ব্যাখ্যা করা যায়। পোমাসোইল সূত্রের প্রতিপাদনে কম্পনা করা হয় যে কৈশিকের গাত্রসংলগ্ন প্রবাহীর কেন গতিবেগ নেই। কিন্তু অতি অল্প চাপে গ্যাসের ক্ষেত্রে কৈশিকের গাত্রে গতিবেগের মান শূন্য ধরা যায় না। ধরা যাক এই গতিবেগের মান  $v_0$ । কৈশিকের মোট  $2\pi al$  ক্ষেত্রফল-বিশিষ্ট গাত্রে প্রবাহীর ঘর্ষণজনিত বেগ  $2\pi alv_0 \epsilon$  পরিমাণ বলের সৃষ্টি করে। ' $\epsilon$ 'কে ঘর্ষণজনিত বোধের গুণাংক হিসাবে ধরা যেতে পারে।

কৈশিকের গাত্রসংলগ্ন অতি সূক্ষ্ম প্রবাহীর স্তরের উপর সান্ততাজনিত বল  $-2\pi al\eta \cdot \left(\frac{\partial v}{\partial r}\right)_{r=a}$  ( $v$  = কৈশিকের অক্ষ থেকে  $r$  দূরত্বে প্রবাহীর গতিবেগ)। স্তরের দুই প্রান্তে চাপের বিভিন্নতা হেতু প্রযুক্ত বলকে উপেক্ষা করা যায়। স্থির অবস্থায় সান্ততাজনিত বল ও ঘর্ষণজাত বোধের যোগফল শূন্য হয়, সূতরাং

$$-\frac{\eta}{\epsilon} \left(\frac{\partial v}{\partial r}\right)_{r=a} \quad 6.2.2$$

স্থির অবস্থায় কৈশিকের মধ্যে প্রবাহীর ভ্রমণ হয় না। কৈশিকের সংগে সমান্ক,  $r$  ব্যাসার্ধ ও  $l$  দৈর্ঘ্যের এক বেলনাকৃতি আয়তন কম্পনা করা যাক। এই স্থায়তন্ত্রের মধ্যস্থ গ্যাসের উপর চাপজনিত বল  $P \cdot \pi r^2$  এবং সান্ততাজনিত বল  $2\pi rl\eta \frac{\partial v}{\partial r}$ । ভ্রমণহীণ অবস্থায় মোট বল শূন্য, অর্থাৎ  $P \cdot \pi r^2 = -2\pi rl\eta \frac{\partial v}{\partial r}$ । কৈশিকের গাত্রে ( $r = a$ )  $v$  এর মান  $v_0$ , ধরে সমাকলনের সাহায্যে পাওয়া যায়

$$v - v_0 = \frac{P}{4l\eta} (a^2 - r^2) \quad 6.2.3$$

গ্যাসের প্রবাহের মোট হার

$$\begin{aligned} V &= \int_0^a 2\pi r \cdot v \cdot dr \\ &= \pi a^3 v_0 + \frac{\pi Pa^4}{8l\eta} \quad (6.2.3 \text{ সূত্রের সাহায্যে}) \end{aligned}$$

$$\text{কিন্তু } v_0 = -\frac{\eta}{\epsilon} \left(\frac{\partial v}{\partial r}\right)_{r=a} = \frac{Pa}{2l\epsilon}$$

$$\text{সূত্রাং } V = \frac{\pi Pa^4}{8l\eta} \left(1 + \frac{4\eta}{ae}\right) \quad 6.2.4$$

কার্য্যতঃ সান্ততাংকের মান  $\eta$  থেকে হুস পেরে  $\frac{\eta}{1 + \frac{4\eta}{ae}}$  হয়। তবে

সান্ততাংক হুস পাওয়ার কারণ ব্যাখ্যা করা গেলেও যে চাপে অণ্ডৰ অধিকাংশ সংঘর্ষই কৈশিকগাছের সংগে হয়, সেরূপ চাপে সান্ততার প্রচলিত ধারণাই প্রয়োগযোগ্য থাকে না।

ম্যাজ্ঞওয়েল  $v_0$  এর মান নির্ণয় করতে কম্পনা করেন যে যে সকল অণ্ড আধাৰগাছের সংগে সংঘর্ষে লিপ্ত হয় তাদের  $f$  অংশ কৈশিকের গাছে শোষিত ও পুনৰ্বাচ্চীভূত হয়। এই বাস্পীভবনের সময় অণ্ডগুলি বিভিন্ন দিকে সমভাবে নিগত হয়। অপরপক্ষে অবশিষ্ট  $(1-f)$  অংশ আলোকের অত প্রতিফলিত হয়। অণ্ডৰ গতিবেগের ম্যাজ্ঞওয়েলীয় বক্টরসূত্র ধ'রে নিম্নে কৈশিকগাছে গ্যাসের প্রবাহবেগের মান পাওয়া যায়

$$v_0 = \sqrt{\frac{\pi}{2\rho\rho}} \eta \left( \frac{2-f}{f} \right) \frac{\partial v}{\partial r}$$

$$\therefore 6.2.2 \text{ সূত্র থেকে } \frac{\eta}{\epsilon} = \sqrt{\frac{\pi}{2\rho\rho}} \eta \left( \frac{2-f}{f} \right) \quad 6.2.5$$

$$\eta = \frac{1}{3} \rho c \lambda \text{ ও } p = \frac{1}{3} \rho c^2 = \frac{\pi}{8} \rho (\bar{c})^3 \text{ লিখলে}$$

$$\frac{\eta}{\epsilon} = \frac{2}{3} \lambda \left( \frac{2-f}{f} \right) \quad 6.2.6$$

6.2.2 সূত্র থেকে বোঝা যায় যে  $\left( \frac{\partial v}{\partial r} \right)$  এর মান স্থির ধরলে  $a + \frac{\eta}{\epsilon}$  কার্পনিক ব্যাসার্ধে প্রবাহীর গতিবেগ শূন্য হয়। 6.2.6 অনুযায়ী  $\frac{\eta}{\epsilon}$  এর মান সাধাৰণভাৱে গড় অবাধপথ  $\lambda$  এর সংগে তুলনীয়। এবং পোয়াস্যোই সূত্রের থেকে উজ্জ্বলযোগ্য চূড়িত তথনই ঘটে যখন  $\frac{4\eta}{ae}$  অথবা  $\frac{\lambda}{a}$  এর মান 1 এর সংগে তুলনীয় হয়।

কুন্ট ও ভাৱুৰ্গেৰ (Kundt and Warburg, 1875) পৱীক্ষায় 6.2.4 সূত্রের পূৰ্ণ সমৰ্থন ঘৰে। এই পৱীক্ষায়  $\frac{\eta}{\epsilon}$  এর মান বিভিন্ন চাপে নির্ণয় কৰা হয় এবং দেখা যায় যে  $\frac{\eta}{\epsilon}$  সত্যই গড় অবাধপথের সংগে তুলনীয় এবং চাপের ব্যানুপাতী। তবে কুন্ট ও ভাৱুৰ্গেৰ পৱীক্ষায় গ্যাসেৰ যে সৰ্বনিম্ন

চাপ ব্যবহার করা হয়, তার চেয়েও অল্প চাপে ম্যার্কোয়েলের তত্ত্ব আর প্রযোজ্য থাকে না। তার কারণ অনুসন্ধান করা যাক।

$p$  চাপে গ্যাসের ঘনত্ব  $\rho = \frac{PM}{RT}$  ( $M$  = আণবিক ভর), সুতরাং একক সময়ে প্রবাহিত গ্যাসের ভর ( 6.2.4 থেকে )

$$w = V\rho = \frac{\pi Pa^4}{8I\eta} \cdot \frac{PM}{RT} \left(1 + \frac{4\eta}{a\epsilon}\right) \quad 6.2.7$$

সাধারণ চাপে, ঘনক্ষণ  $\eta/a\epsilon << 1$  থাকে,  $w$  ও  $p$  এর সমানুপাত বজায় থাকে। নুডসেনের (Knudsen, 1909-10) পরীক্ষায়  $\text{CO}_2$  গ্যাসের ক্ষেত্রে পারদের  $0.24$  সেমি চাপ পর্যন্ত এই সমানুপাত পরিলক্ষিত হয়। এর চেয়ে কম চাপে  $W/p$  অপেক্ষা অল্প হারে হাস পায়, যার ব্যাখ্যা  $\left(1 + \frac{4\eta}{a\epsilon}\right)$  উৎপাদকের সাহায্যে দেওয়া সম্ভব। কুট ও ভারবুর্গের পরীক্ষায় এর চেয়ে অল্প চাপ ব্যবহৃত হয়নি। নুডসেন আরও অল্প চাপে পরীক্ষা চালিয়ে লক্ষ্য করেন যে চাপ কমার সংগে  $w$  এর মান ক্রমশঃ সর্বনিম্নমান লাভ করে, এবং আরও অল্প চাপে কিছুটা বাধিত হ'য়ে অবশ্যে পুনরায় চাপনিরপেক্ষ হয়।  $\text{CO}_2$  গ্যাসের ক্ষেত্রে প্রায়  $0.035$  সেমি পারদের চাপে ( $0.35$  টর)  $w$  এর মান সর্বনিম্ন হয় এবং প্রায়  $2 \times 10^{-5}$  সেমি পারদ ( $.02$  টর) অপেক্ষা কম চাপে এই মান চাপনিরপেক্ষ থাকে। অতি অল্প চাপে  $w$  এর এই চাপ-নিরপেক্ষতা ম্যার্কোয়েলের প্রণালীতে ব্যাখ্যা করা যায় না। নুডসেনের তত্ত্বে এই ঘটনার ব্যাখ্যা পাওয়া যাবে।

### ৬.৩ নুডসেনের তত্ত্ব

ম্যার্কোয়েলে কৈশিকগাত্রে অণ্ড-র যে শোষণ-ভ্যাংশ  $f$  ব্যবহার করেন, প্রবর্ত্তিকালে ব্রান্কেনস্টাইন (Blankenstein, 1923) সূক্ষ্মভাবে তার মান নির্ধারণ করেন। দেখা যায় যে সব গ্যাসের ক্ষেত্রেই  $f=1$ । নুডসেন পূর্বেই এরূপ পরিকল্পনা ক'রেছিলেন। তিনি ধরে নেন যে আধারগাত্রে যে সকল অণ্ড-র সংবর্ষ হয় তার প্রতিটিই শোষিত ও পুনর্নিগত হয়। এছাড়া আধারগাত্রে লম্বের সংগে  $\theta$  কোণে নির্দিষ্ট ঘনকোণে নির্গত অণ্ড-র সংখ্যা  $\cos \theta$  এর সমানুপাতী হয়। মোটের উপর প্রবাহের দিক অভিযুক্তে নির্গত অণ্ড-র গড় গতিবেগের উপাংশ শূন্য হবে।

$$4.4.3 \text{ সূত্র } \text{অনুসারে প্রতি একক আয়তনে } dn_c = \frac{4n}{a^3 \sqrt{\pi}} e^{-\frac{c^2}{a^2}} c^2 dc$$

সংখ্যক অণুর গতিবেগ  $c$  ও  $c+dc$  সীমার মধ্যে থাকে। আধাৱগাত্রে এই অণুগুলিৰ সংঘাত সংখ্যা একক সময়ে ও একক ক্ষেত্ৰফলে ( 2.3.3 অনুষ্ঠানী )  $\frac{c}{4} dn_c$ । গতিবেগেৰ বে উপাংশ আধাৱগাত্রেৰ সমান্তৰাল ( অৰ্থাৎ কৈশিকেৰ অক্ষ বৱাবৱ ) তাৱ মান গড়ে  $w$  ধৰা ধাক।  $w$  কে  $c$  এৰ সমানুপাতী ধৰা যেতে পাৱে, সেক্ষেত্ৰে  $w = \beta c$  লেখা ধাক। অণু ও কৈশিক গাত্রেৰ মধ্যে প্রতি সংৰ্খণে গড়ে  $m\beta c$  পৰিমাণ ভৱবেগ কৈশিকে সঞ্চারিত হয়। এইভাৱে সকল গতিবেগেৰ অণুৰ দ্বাৱা মোট সঞ্চারিত ভৱবেগ একক সময়ে

$$\begin{aligned} Q &= \int_0^\infty \frac{c}{4} dn_c \cdot m\beta c \\ &= \frac{n\beta m}{a^3 \sqrt{\pi}} \int_0^\infty e^{-\frac{c^2}{a^2}} c^4 dc \\ &= \frac{3}{8} n\beta m a^3 \\ &= \frac{3\pi}{32} n\beta m (\bar{c})^2 \end{aligned} \quad 6.3.1$$

কিন্তু কৈশিকেৰ মধ্যে গ্যাসেৰ প্ৰাহৰ্জনিত বৌঝ গতিবেগ  $v = \beta \bar{c}$ ।

$$\text{সূত্ৰাঃ } Q = \frac{3\pi}{32} \rho \bar{c} v \quad (\rho = nm) \quad 6.3.2$$

কৈশিকেৰ মোট আভ্যন্তৰীণ ক্ষেত্ৰফল  $2\pi al$ , অৰ্থাৎ মোট

$$2\pi al \cdot Q$$

পৰিমাণ বল কৈশিকেৰ উপৰ কাজ কৰে। এই বল প্ৰকৃতপক্ষে কৈশিকেৰ দুই প্রাণ্ডে চাপেৰ প্ৰভেদজনিত এবং  $P \cdot \pi a^2$  ওৱ সমান।

$$\text{অতএব; } 2\pi al \cdot \frac{3\pi}{32} \rho \bar{c} v = P \cdot \pi a^2$$

অথবা একক সময়ে প্ৰবাহিত গ্যাসেৰ ভৱ

$$W = \pi a^2 \rho v = \frac{16}{3} \frac{Pa^3}{cl} \quad 5.3.3$$

$W$  এর এই মান চাপ  $p$  এর উপর নির্ভরশীল নয়। অতি অল্প চাপে নৃসন্দের পরীক্ষায়  $W$  এর যে চাপ নিরপেক্ষতা পরিদৃষ্ট হয় তার সঙ্গে এই মানের পরিমাণগত সঙ্গতি দেখা যায়।

### ৬.৪ নিঃসরণ

কোন গ্যাস শব্দের মধ্য দিয়ে নিঃসৃত হয় তখন তাকে নিঃসরণ বলা হয়। সাধারণ চাপে নিঃসরণ প্রবাহী গার্ডিবিদ্যার (hydrodynamics) নিয়ম অনুসরণ করে। গ্রেহাম (Graham, ১৮৪৬) পরীক্ষার দ্বারা নির্বাকভক্তে বিভিন্ন গ্যাসের নিঃসরণের সূত্র নির্ধারণ করেন। গ্রেহামের সূত্র অনুসারে নির্দিষ্ট চাপ ও উক্তভাবে  $\rho$  ঘনত্ববিশিষ্ট কোন গ্যাসের নিঃসরণের হার  $\frac{1}{\sqrt{\rho}}$  এর সমানুপাতী হয়।

অল্প চাপে শব্দের গাঢ় অবাধপথের দৈর্ঘ্য ছিদ্রের আকারের সঙ্গে তুলনীয় হয় তখন নিঃসরণের প্রকৃতি পরিবর্তিত হয়। এই অবস্থায় আণবিক তত্ত্বের সাহায্যে নিঃসরণের হার নির্ধারণ করা যেতে পারে।  $S$  ক্ষেত্রফল বিশিষ্ট ছিদ্রের উপর মোট  $\frac{nc}{4}$ .  $S$  সংখাক অণ্ট প্রতি সেকেন্ডে ছিদ্রের যে কোনও পার্শ্ব থেকে পার্তি হয় (২.৩.৩ সূচী)। অণুর ভর  $m$  হলে ছিদ্রের একক ক্ষেত্রফল পিছু  $\frac{mnc}{4} = \frac{\rho c}{4}$  ভর্বাবিশিষ্ট গ্যাস প্রতি সেকেন্ডে ছিদ্র দিয়ে নিঃসৃত হয়।  $\rho$  বা গ্যাসের ঘনত্ব যদি ছিদ্রের দুই পার্শ্ব  $p_1$  ও  $p_2$  হয় তবে প্রথম পার্শ্ব থেকে দ্বিতীয় পার্শ্ব অভিযুক্তে গ্যাসের প্রবাহের হার হবে

$$w = \frac{c}{4} (p_1 - p_2) \quad 6.4.1$$

ধরা বাক একক চাপে ঘনত্বের মান  $\rho_0$ । অর্থাৎ

$$\rho_0 = \frac{\rho}{p} = \frac{8}{\pi(c)^2} \quad 6.4.2$$

$$\text{সূতরাং } w = \frac{\rho_0 c}{4} (p_1 - p_2)$$

$$= \sqrt{\frac{\rho_0}{2\pi}} (p_1 - p_2)$$

একক চাপে অর্থাৎ  $\rho_0$  ঘনত্বে এই গ্যাসের আয়তন হবে

$$V_0 = \frac{w}{\rho_0} = \frac{P_1 - P_2}{\sqrt{2\pi\rho_0}} \quad 6.4.3$$

৬.৪.৩ সূত্র থেকে গ্রেহ্যামের পরীক্ষালক সূত্রের সমর্থন পাওয়া যায়।

নুডসেন  $10^{-3}$  টর থেকে  $100$  টর চাপে সূক্ষ্ম ছিদ্রের মধ্য দিয়ে  $H_2$ ,  $O_2$  ও  $CO_2$  গ্যাসের নিঃসরণ পর্যবেক্ষণ করেন। ছিদ্রের ব্যাস  $a$  হ'লে নুডসেনের সিঙ্কান্ত অনুযায়ী  $\lambda \geq 10a$  হ'লে ৬.৪.৩ সূত্র এবং  $\lambda \leq \frac{a}{10}$  হ'লে প্রবাহী-গতিবিদ্যার নিয়ম প্রযোজ্য হয়। ইতীয় অবস্থায়, অর্থাৎ অধিক চাপে গ্যাস-অণুগুলির পা রিঞ্চারিক সংঘর্ষ প্রাধান্য লাভ করে এবং তাদের গাতি সম্পূর্ণ স্বতন্ত্র থাকে না। নিঃসরণের পূর্বৰ্ণিত বিজ্ঞেষণও এই অবস্থায় প্রয়োগ করা যায় না।

## ৬.৫ তাপজ নির্গতি

নিঃসরণের ক্ষেত্রে যে ছিদ্রের মধ্য দিয়ে গ্যাস নিম্নৃত হয় তার দুই পার্শ্বে চাপের পার্থক্য কম্পনা করা হয়। যখন দুই পার্শ্বে চাপ সমান থাকে অথচ উভতার বিভিন্নতা হেতু গ্যাস ছিদ্রের মধ্য দিয়ে নির্গত হয় তখন তাকে তাপজ নির্গতি (Thermal Transpiration) বলা হয়।

কম্পনা করা যাক, কোন গ্যাসের আধারের মধ্যে এক অতি সূক্ষ্ম বিভাজক পাত আধারটিকে দুই অংশে বিভক্ত করে। এই দুই অংশে গ্যাসের চাপ  $P$  একই কিন্তু নিরপেক্ষ উভতা  $T_1$  ও  $T_2$ । উভতা বিভিন্ন হলে ঘনত্ব ও অণুর গড় গাতিবেগ বিভিন্ন হবে। দুই অংশে ঘনত্ব যথাক্রমে  $\rho_1$  ও  $\rho_2$  এবং গড় গাতিবেগ যথাক্রমে  $\bar{c}_1$  ও  $\bar{c}_2$  ধরা যাক। বিভাজকের মধ্যে কোন ছিদ্র থাকলে তার একক ক্ষেত্রফল পিছু ( ৬.৪.১ সূত্রের তুলনা দ্বারা )

$$w = \frac{1}{4}(\rho_1 \bar{c}_1 - \rho_2 \bar{c}_2) \quad 6.5.1$$

ভর্বিশিষ্ট গ্যাস একক সময়ে  $\rho_1$  থেকে  $\rho_2$  ঘনত্বের দিকে প্রবাহিত হবে।

$$\text{কিন্তু } \rho_1 \bar{c}_1 = \frac{mp}{kT_1} \sqrt{\frac{8kT_1}{\pi m}}$$

$$= p \sqrt{\frac{8m}{\pi kT_1}}$$

$$\text{এবং } \rho_2 \bar{c}_s = p \sqrt{\frac{8m}{\pi k T_2}}$$

$$\text{সূত্রাঃ } w = p \sqrt{\frac{m}{2\pi k}} \left( \frac{1}{\sqrt{T_1}} - \frac{1}{\sqrt{T_2}} \right) \quad 6.5.2$$

যদি  $T_2 > T_1$  হয় তবে  $w$  এর মান ঋগ্নাক হবে অর্থাৎ আধারের অপেক্ষাকৃত শীতল অংশ থেকে উক্তর অংশে গ্যাসের প্রবাহ ঘটবে। ক্রমশঃ ছিতীয় অংশের চাপ প্রথমাংশের তুলনায় বৃক্ষ পাবে এবং যখন

$$\frac{p_1}{\sqrt{T_1}} = \frac{p_2}{\sqrt{T_2}} \quad \text{অর্থাৎ} \quad \frac{p_2}{p_1} = \sqrt{\frac{T_2}{T_1}} \quad 6.5.3$$

এই সর্ত প্রতিপালিত হবে তখন  $\rho_1 \bar{c}_1 = \rho_2 \bar{c}_2$  হবে ও গ্যাসের প্রবাহ বন্ধ হবে।

রেনল্ডস (Reynolds, 1879) এর পরীক্ষায় গ্যাসের কক্ষের মধ্যস্থলে এক সচিদ্ব বিভাজক প্রাচীর রাখা হয় এবং প্রাচীরের দুইপার্শে উক্ত বিভিন্ন রাখা হয় (সাধারণত:  $8^{\circ}\text{C}$  এবং  $100^{\circ}\text{C}$ )। এই অবস্থায় কয়েক ষষ্ঠ রাখার পর কক্ষের উভয়াংশে গ্যাসের চাপ মাপা হয়। দেখা যায় যে অতি অল্প চাপে, অর্থাৎ যখন গ্যাসের গড় অবাধপথ ছিদ্র সম্মের ব্যাস বা দৈর্ঘ্যের তুলনায় দীর্ঘ থাকে তখন 6.5.3 সূত্র ঠিকই প্রতিপালিত হয়। অপেক্ষাকৃত উচ্চ চাপে ঐ সূত্র থেকে ব্যাতক্রম ঘটে।

নুডসেন সচিদ্ব বিভাজকের পরিবর্তে কৈশিকের গুচ্ছ ব্যবহার ক'রে এক কক্ষে গ্যাসের চাপ অপর কক্ষের দশগুণ করতে সক্ষম হন। উল্লেখযোগ্য এই যে এ ধরনের কৈশিকে বা কোন সচিদ্ব পদার্থের ছিদ্রের মধ্য দিয়ে গ্যাসের নির্গমনে কৈশিক বা ছিদ্রগুলির দৈর্ঘ্যকে উপেক্ষা করা যায় না এবং সেহেতু পূর্বের সর্ত বজায় থাকে না। এবং অবস্থায় যদি কৈশিক বা ছিদ্রের দৈর্ঘ্য বরাবর  $\frac{P}{\sqrt{T}}$  এর মান ক্ষুর থাকে তবেই গ্যাসের প্রবাহ বন্ধ হয়।

## ৬.৬ অল্প চাপে তাপের পরিবহণ

এই অধ্যায়ে আলোচিত অন্যান্য প্রক্রিয়ার মত অতি অল্প চাপে গ্যাসের মধ্যে তাপের পরিবহণও ভিন্ন উপায়ে ঘটে। বন্ধুত্বঃ এবৃপ্ত চাপে গ্যাস-আধারের প্রাচীরের যে অংশের বিভিন্ন উক্তায় অবস্থিত থাকে তাদের সংগে গ্যাস-অণুর সংঘর্ষই গুরুত্বপূর্ণ করে, এক অণুর সংগে অপর অণুর সংঘর্ষ তুলনায় কমই ঘটে।

ধৰা থাক তাপের পরিবহণ  $T_a$  ও  $T_b$  উক্তার রাস্কিত  $A$  ও  $B$  দুই তলের মধ্যে কোন গ্যাসের মধ্যমে সংর্ভিত হয়।  $A$  অথবা  $B$  এর সংগে সংর্ঘে লিপ্ত হওয়ার পর কোন অণুর গতিবেগ যথাক্রমে  $T_a$  ও  $T_b$  উক্তার অবস্থিত গ্যাসের অণুর গতিবেগে মত যাজ্ঞওয়েলীয় সৃষ্টি অনুযায়ী বট্টিত হয়, এবং অঙ্গীকার বর্তমান আলোচনার স্বীকার করা হবে।

গ্যাসের অণুর ঘনত্বসংখ্যা  $n$ , তার মধ্যে একক আয়তনে  $n_a$  সংখ্যার গতিবেগ  $A$  তল অভিযুক্তি এবং  $n_b$  সংখ্যার গতিবেগ  $B$  তল অভিযুক্তি।  $T_a$  ও  $T_b$  অসমান হওয়ায় গ্যাসের মধ্যে প্রতিসাম্য (Symmetry) থাকে না; সূতরাং  $n_a \neq n_b$ ।  $A$  ও  $B$  তল থেকে বিকীর্ণ অণুগুলি যথাক্রমে  $B$  ও  $A$  তল অভিযুক্ত যে গতিবেগ লাভ করে তার গড় মান  $\bar{c}_a$  ও  $\bar{c}_b$ ।

গ্যাসের মধ্যে  $B$  তল অভিযুক্তি  $c_a$  ও  $c_a + dc_a$  সীমার মধ্যে গতিবেগ-বিশিষ্ট অণুর ঘনত্বসংখ্যা ( 4.4.3 অনুসারে )

$$dn_a = \frac{4n_a}{\alpha_a^3 \sqrt{\pi}} e^{-\frac{(c_a)^3}{\alpha_a^2}} c_a^2 dc_a$$

এখানে  $\sigma_a = \sqrt{\frac{2kT_a}{m}}$ । এই অণুসমূহের  $\frac{1}{2} dn_a c_a$  সংখ্যক অণু একক সময়ে  $B$  তলের একক ক্ষেত্রফলে পার্তি হয়। ( এখানে 2.3.3 সূত্রকে সামান্য পরিবর্তিত করা হ'য়েছে।  $dn_a$  সংখ্যক অণুর প্রতিটি  $B$  তল অভিযুক্তি এবং  $4\pi$  এর পরিবর্তে  $2\pi$  ঘনক্ষেত্রে সমভাবে বিনাশ। এইজন্য 2 গুণকের প্রভেদ হয় ) প্রতিটি অণু  $\frac{1}{2} mc_a^2$  পরিমাণ গতীয় শক্তি  $B$  তলে আনয়ন করে। অবশ্য অণুর বৈধিক ব্যতীত অন্যথকার গতীয় শক্তি থাকা সম্ভব, তবে উপরিচ্ছিত শুধু বৈধিক গতিই বিবেচিত হবে।  $A$  তল থেকে  $B$  তলে আন্তিম মোট গতীয় শক্তির পরিমাণ

$$\begin{aligned} E_a &= \int_0^{\infty} \frac{1}{2} dn_a c_a \cdot \frac{1}{2} mc_a^2 \\ &= \frac{mn_a}{\alpha_a^3 \sqrt{\pi}} \int_0^{\infty} e^{-\frac{(c_a)^3}{\alpha_a^2}} \cdot c_a^5 dc_a \\ &= \frac{\pi mn_a \bar{c}_a^3}{8} \quad \left( \because \bar{c}_a = \frac{\sqrt{\pi}}{2} \bar{c}_a \right) \end{aligned} \quad 6.6.1$$

ক্ষেত্রফলাপনে

$$E_b = \frac{\pi m n_b \bar{c}_b^3}{8}$$

পরিমাণ গতীয় শক্তি আবীর্ত হয়। যদি  $T_a > T_b$  হয় তবে B তল একক সময়ে একক ক্ষেত্রফলাপনে  $E_T$  পরিমাণ গতীয় শক্তি লাভ করে, যেখানে

$$E_T = E_a - E_b = \frac{\pi m}{8} (n_a \bar{c}_a^3 - n_b \bar{c}_b^3) \quad 6.6.2$$

A ও B তলের একক ক্ষেত্রফলে অণুরূপ সংঘাতের হার ঘথাক্রমে  $\frac{n_b \bar{c}_b}{2}$  ও  $\frac{n_a \bar{c}_a}{2}$ ।

যে কোনও তলে সংঘাতের হার ও অণুরূপিকরণের হার অবশ্যই সমান, সুতরাং  $n_a \bar{c}_a = n_b \bar{c}_b$ । এছাড়া মোট ঘনত্ব সংখ্যা  $n = n_a + n_b$  এবং গড় গতিবেগ

$$\bar{c} = \frac{n_a \bar{c}_a + n_b \bar{c}_b}{n}, \text{ অর্থাৎ } n_a \bar{c}_a = n_b \bar{c}_b = \frac{1}{2} n \bar{c}$$

$$\text{এবং } E_T = \frac{\pi m}{16} \cdot n \bar{c} (\bar{c}_a^2 - \bar{c}_b^2) \quad 6.6.4$$

$E_T$  এর এই মানকে সহজেই গ্যাসের উক্ততা ও চাপের মাধ্যমে প্রকাশ করা যায়। ধরা যাক একক চাপে  $0^{\circ}\text{C}$  উক্তায় গ্যাসের ঘনত্ব  $\rho_{00}$ । গ্যাসের গড় উক্তায় ( $T^{\circ}\text{C}$ ) ও একক চাপে এই ঘনত্ব হবে  $\rho_0 = \rho_{00} \frac{273}{T}$ । এখন

#### 6.4.2 অনুবৃত্তি

$$\bar{c} = \left( \frac{8}{\pi \rho_{00}} \cdot \frac{T}{273} \right)^{\frac{1}{2}}$$

$\bar{c}_a$  ও  $\bar{c}_b$  এর অনুবৃত্তি মান বাবহার করা হ'লে পাওয়া যায়

$$E_T = p \left( \frac{2}{273 \pi \rho_{00}} \right)^{\frac{1}{2}} \frac{T_a - T_b}{\sqrt{T}} \quad 6.6.5$$

6.6.5 সূত্র থেকে কেবলমাত্র রৈখিক গতীয় শক্তির পরিবহণের হার পাওয়া যায়। যদি অণুসমূহের গতীয় শক্তির কিছু অংশ ঘূর্ণন বা কম্পনজ্ঞাত হয় তবে 6.6.5 সূত্রের কিছু সংশোধন প্রয়োজন হয়। দেখা যায় যে যদি অণুরূপ রৈখিক ব্যতীত অন্যপ্রকার স্থাত্যাসংখ্যা  $\beta$  হয় ( $5.4$  অংশ দ্রষ্টব্য) তবে এবৃপ্ত গতীয় শক্তির পরিবহণের হার হয়

$$E_R = \frac{3}{4} \cdot \frac{\beta}{3} E_T \quad 6.6.6$$

অর্থাৎ এন্টে শক্তির পরিবহণে অণ্ডুর দক্ষতা ত্রৈখিক গতীয় শক্তির তুলনায়  
হ'ল গুণ।

### মোট পরিবাহিত শক্তির পরিমাণ

$$E = E_T + E_R - \left(1 + \frac{\beta}{4}\right) E_T - \frac{p}{4} \cdot \frac{\gamma+1}{\gamma-1} \left(\frac{2}{273\pi\rho_{00}}\right)^{\frac{1}{2}} \frac{T_a - T_b}{\sqrt{T}} \quad (5.4.6 \text{ সূত্র থেকে})$$

যদি গ্যাসের আণবিক ভৱ =  $M$  হয় তবে

$$\rho_{00} = \text{Mgm}/22414 \text{ cc} \times 1.0132 \times 10^6 \text{ dyne/cm}^2$$

এবং  $\rho_{00}$  এর এই মান বাবহার ক'রে পাওয়া যায়

$$E = 1819 p \frac{\gamma+1}{\gamma-1} \cdot \frac{T_a - T_b}{\sqrt{MT}} \quad 6.6.7$$

6.6.7 সূত্র থেকে বোৰা যায় যে অপ্চাপে তাপের পরিবহণ সাধারণ  
চাপের থেকে সম্পূর্ণ ভিন্ন প্রকৃতিৰ। তাপপরিবহণের হার এক্ষেত্ৰে চাপের  
সমানুপাতী। তাছাড়া যে দুই তলের মধ্যে তাপের পরিবহণ ঘটে, পরিবহণের  
হার তাদেৱ মধ্যেকার দূৰত্বের উপর নিৰ্ভৰশীল হয় না।

পৰীক্ষাৰ দ্বাৰা তাপপরিবহণের যে হার নিৰ্ণ্যাত হয় তাৰ মান চাপ  $p$  ও  
উক্তার প্ৰভেদ  $T_a - T_b$  এৰ সমানুপাতী হ'লেও 6.6.7 সূত্র থেকে প্ৰত্যাশিত  
মান অপেক্ষা অনেক কম। স্মলুকভৰ্স্কি (Smoluchowski) ও নুডসেনেৱ  
মত অনুযায়ী এই অসঙ্গতিৰ কাৰণ পূৰ্বেৰ অঙীকাৰেৱ অসত্যতা— $A$  বা  $B$   
তলেৱ সংগে সংৰ্বৰ্ধেৰ পৰ কোন অণ্ডাই প্ৰকৃতপক্ষে ঐ তলেৱ উক্তা অনুযায়ী  
গতীয় শক্তি লাভ কৰে না। যদি অণ্ডুৰ গড় গতীয় শক্তি সংৰ্বৰ্ধেৰ পূৰ্বে  $E_i$ ,  
সংৰ্বৰ্ধেৰ পৰে  $E_f$  এবং সংৰ্বৰ্ধেৰ তলেৱ উক্তা অনুযায়ী  $E_T$  হয় তবে ধৰা  
যেতে পাৰে যে

$$E_f - E_i = a (E_T - E_i) \quad 6.6.8$$

এই সূত্ৰে ব্যবহৃত ‘ $a$ ’ শুবকেৱ মান 1 অপেক্ষা কম। বলুতঃ, সংৰ্বৰ্ধতল  
বৰতই অসমান হবে অর্থাৎ ঐ তল থেকে পুনৰ্বিকীৰ্ণ হওয়াৰ পূৰ্বে কোন অণ্ড  
তলমধ্যস্থ কণিকাগুলিৰ সংগে যত বেশীবাৰ সংৰ্বৰ্ধে লিপ্ত হবে, সংৰ্বৰ্ধতলেৱ  
সংগে তাপসাম্যে আসাৱ জন্য ঐ অণ্ড তত বেশী সুযোগ পাবে। ‘ $a$ ’ শুবকেৱ  
মানও এই অবস্থায় 1 এৰ কাছাকাছি অগ্ৰসৱ হবে।

ধরা যাক,  $A$  ও  $B$  তল থেকে বিকীর্ণ অণ্ডের উফতা  $T'_a$  ও  $T'_b$ । উফতা ও গতীয় শক্তি যেহেতু সমানপাতী,  $5.6.8$  সূত্র থেকে লেখা যায় :

$$A \text{ তলে } \text{সংবর্ধের জন্য } T'_a - T_b' = a(T_a - T_b')$$

$$\text{এবং } B \text{ তলে } \text{সংবর্ধের জন্য } T'_b - T'_a = a(T_b - T_a)$$

দুই সমীকরণের অন্তরফল থেকে  $T'_a - T'_b = \frac{a}{2-a} (T_a - T_b)$  6.6.9

নৃডসেন পরীক্ষার দ্বারা প্রমাণ করেন যে ‘ $a$ ’ ধূবকের মান বৈধিক এবং ঘূর্ণন বা কম্পনজ্ঞাত গতীয় শক্তির ক্ষেত্রে একই। গতীয় শক্তি বহনকারী অণ্ডগুলির উফতা যেহেতু  $T_a$  ও  $T_b$  এর পরিবর্তে প্রকৃতপক্ষে  $T'_a$  ও  $T'_b$  থাকে,

$$6.6.7 \text{ সূত্রে } (T_a - T_b) \text{ এর স্থানে } (T'_a - T'_b) \text{ বা } \frac{a}{2-a} (T_a - T_b)$$

ব্যবহার করাই বিধেয়। ঐ সূত্রের পরিশোধিত রূপ :

$$E = 1819 p \cdot \frac{a}{2-a} \cdot \frac{\gamma+1}{\gamma-1} \cdot \frac{T_a - T_b}{\sqrt{MT}} \quad 6.6.10$$

‘ $a$ ’ ধূবকটিকে ‘উপর্যোজন গুণাংক’ (accommodation co-efficient) বলা হয়। 6.6.10 সূত্রের সাহারে এই গুণাংকের মান পরীক্ষার দ্বারা নির্ণয় করা যায়। দেখা গেছে যে এই গুণাংক উফতা, তাপপরিবাহী গ্যাস ও  $A$  বা  $B$  তলের প্রকৃতির উপর বহু পরিমাণে নির্ভরশীল।

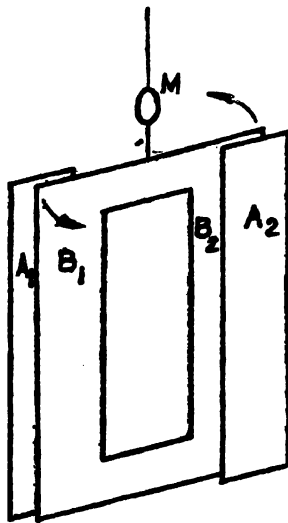
### ৬.৭ নৃডসেনের নিরপেক্ষ প্রেষমান (absolute manometer)

অতি অল্পচাপে গ্যাসের তাপপরিবহণের প্রকৃতির উপর ভিত্তি ক'রে নৃডসেন এক নিরপেক্ষ প্রেষমানের পরিকল্পনা করেন। এই যন্ত্রে গ্যাসের চাপ প্রত্যক্ষভাবে মাপা যায়, অর্থাৎ অন্য কোন প্রেষমানের সাহার্যে এই যন্ত্রের ক্রমাঙ্কনের প্রয়োজন হয় না।

এই যন্ত্রে ( ৬.১ চিত্র ) প্রধান অংশ দুইটি নিশ্চল পাত  $A_1, A_2$  এবং কোরাজ সূত্র দ্বারা প্রলম্বিত ও একটি ফ্রেমের সংগে সংযুক্ত দুইটি ঘূর্ণনশীল পাত  $B_1$  ও  $B_2$ ।  $A_1, A_2$  পাত দুইটিকে বৈদ্যুতিক উপায়ে উচ্চল করা যায় এবং  $B_1, B_2$  পাত দুইটির ঘূর্ণনের পরিমাণ  $M$  আয়নার সাহার্যে নির্ণয় করা যায়। সমগ্র যন্ত্রটি যে গ্যাসের চাপ নির্ণয় করা প্রয়োজন তার মধ্যে রাখা হয়।

ধরা যাক  $A$  ও  $B$  পাতের নিরপেক্ষ উফতা ব্যাক্তমে  $T_a$  ও  $T_b$ , গ্যাস-অণ্ডের ভর  $m$ ,  $A_1B_1$  এবং  $A_2B_2$  পাতগুলির মধ্যবর্তী সংকীর্ণ আয়নারে  $A$  ও  $B$  পাত অভিযুক্তি গতিসম্পন্ন অণ্ডের অন্তসংথ্যা ব্যাক্তমে  $n_a$  ও  $n_b$ ।

অণ্ডুর গড় অবাধপথ  $A_1B_1$  বা  $A_2B_2$  পাতগুলির মধ্যে দূরত্বের তুলনায় দীর্ঘ ব'লে ধরা হবে।



চিত্র ৬.১—নৃজসেনের প্রয়মান

$A$  থেকে নির্গত  $B$  অভিযুক্তি গতিসম্পর্ক অণ্ডগুলি পুরাপূরি  $A$  পাতের উক্ততায় থাকে (অর্থাৎ  $a=1$ ) এবং কম্পনা করা যাক। এই অণ্ডগুলির দ্বারা এককসময়ে  $B$  পাতের একক ক্ষেত্রফলাংশে আনীত ভরবেগের পরিমাণ  $n_a k T_a$ । অনুরূপভাবে ঐ ক্ষেত্রফলে ঐ সময়ে  $B$  পাত থেকে বিকীর্ণ অণ্ডগুলির দ্বারা প্রদত্ত প্রতিক্রিষ্ণ (recoil) ভরবেগ  $n_b k T_b$ । মোটের উপর,  $B$  পাতের বে তলগুলি  $A$ -অভিযুক্তি তাদের উপর চাপ

$$n_a k T_a + n_b k T_b$$

$B$  পাতের অপর তলগুলিতেও গ্যাস অণ্ডগুলি চাপ প্রদান করে। যদি গ্যাসের উক্ততা  $B$  পাতের সমান অর্থাৎ  $T_b$  হয় এবং গ্যাসঅণ্ডের মোট ঘনত্বসংখ্যা  $n$  হয়, তবে এই চাপের পরিমাণ  $p = n k T_b$  হবে।  $B$  পাতের একক ক্ষেত্রফল গিছু মোট বলের পরিমাণ

$$P = n_a k T_a + n_b k T_b - n k T_b \quad 6.7.1$$

যেহেতু গড় গতিবেগ সর্বদাই উক্ততার বর্গমূলের সমানুপাতী, অতএব 6.6.3 স্থ থেকে

$$n_a \sqrt{T_a} = n_b \sqrt{T_b} = \frac{1}{2} n \sqrt{T_b}$$

$$\text{অথবা } n_a = \frac{n}{2} \sqrt{\frac{T_b}{T_a}} ; \quad n_b = \frac{n}{2} \quad \text{এবং } 6.7.1 \text{ সূত্র থেকে}$$

$$P = \frac{2P}{\sqrt{\frac{T_a}{T_b}} - 1} \quad 6.7.2$$

$$\text{যদি } T_a \text{ ও } T_b \text{ প্রায় সমান হয়, তবে } P = 4PT_b/(T_a - T_b) \quad 6.7.3$$

*B* পাতগুলির উপর এই বল পাতগুলিকে *A*-পাত থেকে দূরে বিকর্ণ করে। ধরা যাক *B* পাতগুলির প্রতিটির ক্ষেত্রফল  $\alpha$  এবং প্রস্থন-অক্ষ থেকে গড় দূরত্ব  $d$ । মোট কোণিক বিক্ষেপণকারী বলযুগ্মের পরিমাণ একেতে  $2P \alpha \cdot d$ । *B* পাতসংলগ্ন ফেরের কোণিক বিক্ষেপ যদি  $\theta$  হয় ও কোরাজ' সূত্রের একক কোণিক বিক্ষেপের জন্য যদি  $\tau$  বলযুগ্মের প্রয়োজন হয় ( $\tau$  = ব্যাবর্তন-ধূবক, torsional constant) তবে

$$P = \frac{\tau \theta}{2\alpha d} \quad 6.7.4$$

শেষেও সূত্র থেকে  $P$  এর মান নির্ণয় করলে 6.7.2 বা 6.7.3 সূত্র থেকে চাপ  $p$  জানা যায়।

উপর্যোজন-গুণাংক 'a' এর মান যদি 1 না হয় তবে  $p$  এর মান শুরু করা আবশ্যিক। তবে যদি  $T_a = T_b$  হয় তবে দেখা যায় যে এই সংশোধন ব্যাতীতও মোটামুটিভাবে শুরু মান পাওয়া যায়।

নূডসেনের প্রেমান দ্বারা চাপের যে মান পাওয়া যায়, তা যত্রের মধ্যে ব্যবহৃত গ্যাসের কোন ধর্মের উপর নির্ভরশীল নয়। এই অধ্যেই এই প্রেমানকে 'নিরপেক্ষ' বলা যায়। তবে অতি অন্প চাপে ব্যাতীত এই প্রেমান ব্যবহার করা যায় না কেননা সে অবস্থায় গড় অবাধপথ যথেষ্ট দীর্ঘ থাকে না, উপরন্তু গ্যাসের পরিচলন-প্রোত (convection current) *B* পাতগুলির এলোমেলো বিক্ষেপ সৃষ্টি করে।

## বাস্তব গ্যাস

### ৭.১ বাস্তব গ্যাসের আচরণ

বিভিন্ন অধ্যায়ে কল্পনা করা হয়েছে যে গ্যাস অণুর আয়তন উপেক্ষণীয় এবং এক সংর্বকাল ব্যতীত অণুগুলির মধ্যে আকর্ষণ বা বিকর্ষণের অস্তিত্ব নেই। মৃদুত: এই দুই অঙ্গীকারের উপর ভিত্তি ক'রে আদর্শ গ্যাসের বয়েল ও চার্লস্ সূত্র পাওয়া গেছে—এক গ্রাম অণু গ্যাসের ক্ষেত্রে

$$pV_0 = \frac{1}{3} M c^2 - RT$$

যে সমীকরণের সাহায্যে নির্দিষ্ট পরিমাণ পদার্থের অবস্থাঞ্জাপক করেকটি চলরাশির মধ্যে সম্পর্ক দেখানো ষায় তাকে ঐ পদার্থের অবস্থা সমীকরণ বলে। উপরের সূত্রে আদর্শ গ্যাসের চাপ, আয়তন ও নিরপেক্ষ উষ্ণতার মধ্যে সম্পর্ক প্রদর্শিত হ'য়েছে। তাই এই সূত্রকে আদর্শ গ্যাসের অবস্থা সমীকরণ বলে। স্বভাবিকভাবেই আশা করা ষায় যে উল্লিখিত দুই অঙ্গীকার ষথন মোটামুটিভাবে গ্রহ্য হয় অর্থাৎ ষথন গ্যাসের চাপ অন্প ও উষ্ণতা অধিক থাকে কেবল তখনই এই সমীকরণ প্রযোজ্য হবে বিভিন্ন বিজ্ঞানীর পরীক্ষা থেকে দেখা গেছে যে অন্য অবস্থার গ্যাসের আচরণে বয়েল ও চার্লস্ সূত্র থেকে অণ্পবিক্ষুল ব্যাত্যন্ন ঘটে।

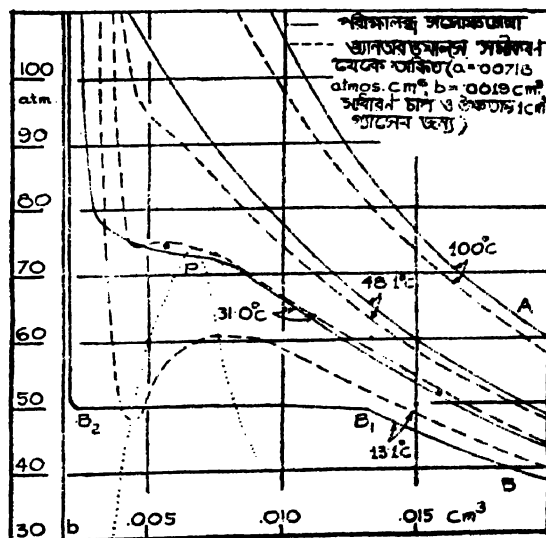
এই ব্যাত্যন্ন স্বয়ং বয়েলের পরীক্ষাতেও লক্ষিত হ'য়েছিল। পরবর্তীকালে রেনো (Regnault), অ্যান্ড্রেজ (Andrews), আমাগাট (Amagat), কামারলিং অনাস (Kamerling Onnes) প্রমুখ বিজ্ঞানীর উচ্চচাপে অথবা নিম্ন উষ্ণতায় সম্পাদিত পরীক্ষায় বাস্তব গ্যাসের আচরণ পরিমাণগতভাবে নির্ধারিত হয় এবং এই সকল পরীক্ষালক্ষ ফলের সাহায্যে বাস্তব গ্যাসের অবস্থা সমীকরণ নির্ণয়ের প্রচেষ্টা হয়। অ্যান্ড্রেজ ও আমাগাটের পরীক্ষার ফল পরবর্তী অংশে বর্ণিত হবে।

বাস্তব গ্যাসের আচরণের বৈশিষ্ট্য আরও এক উপায়ে পরিদৃষ্ট হয়। আদর্শ গ্যাসের আভাস্তুরীণ শক্তি কেবলমাত্র অণু-র গতীয় শক্তির ষেগফল, এই শক্তির কোন অংশই স্বৈর্য্যত নয়। কিন্তু বাস্তব গ্যাসের ক্ষেত্রে চাপের হ্রাস বা আয়তনের বৃদ্ধির সংগে অণুগুলি পরম্পরারের আকর্ষণের বিরুদ্ধে অপস্তু হয় ও

শৈর্ষিতক শক্তি ক্রমশঃ বৃদ্ধি পায়। বৃক্ষতাপ অবস্থার কোন বাহ্যিক কার্য ছাড়াই এই প্রক্রিয়ায় গ্যাসের অণ্টর গতীয় শক্তি বা গ্যাসের উক্ততা কিন্তুটা হ্রাস পায়। অপর পক্ষে উক্ততা স্থির থাকলে আভ্যন্তরীণ শক্তি বাড়ে বায় ফলে  $\left(\frac{\partial U}{\partial V}\right)_T$  সর্বদা ধনাত্মক ও  $\left(\frac{\partial U}{\partial P}\right)_T$  সর্বদা ঋণাত্মক হয়। আদর্শ গ্যাসের ক্ষেত্রে উভয়রাশিরই প্রত্যাশিত মান শূন্য এবং এই নিয়ম জুলের সূত্র (Joule's Law) রূপে পরিচিত। জুল ও কেলভিনের (Lord Kelvin বা W. Thomson) পরীক্ষায় (1852) বাস্তব গ্যাসের আচরণে যুগপৎ বয়েল ও জুলের সূত্র থেকে ব্যতীয় দেখা যায়।

## ৭.২ অ্যাণ্ড্রেজ ও আগাগাটের পরীক্ষা

অ্যাণ্ড্রেজের পরীক্ষায় অতি উচ্চাপ পর্যন্ত বিশুদ্ধ কার্বন-ডাই-অক্সাইড গ্যাসের সমোক রেখার প্রকৃতি নির্ধারিত হয়। ৭.১ চিত্রে  $CO_2$  গ্যাসের



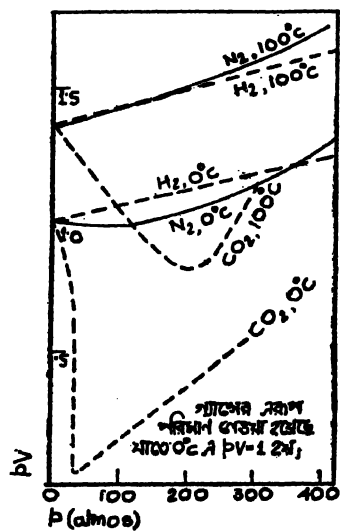
চিত্র ৭.১— $CO_2$  গ্যাসের সমোকরেখা

সমোক রেখা প্রদৰ্শিত হ'ল। লক্ষ্য করলে দেখা যায় যে সমোক রেখাগুলির মধ্যে দুই প্রকার প্রকৃতি বর্তমান।  $31.0^{\circ}C$  অপেক্ষা উচ্চতর উক্ততার সমোক রেখাগুলি মোটামুটি আয়তপরাবৃত্তের আকার ধারণ করে (স্থা A)। এবং উক্ততার গ্যাসীয় কার্বন-ডাই অক্সাইডের উপর চাপ ক্রমশঃ বৃদ্ধি প্রাপ্ত হ'লে আয়তন ক্রমাগতভাবে হ্রাস পায়, কিন্তু গ্যাসটি কখনই তরলীভূত হয় না।  $31.0^{\circ}C$

আপেক্ষা অল্প উক্তার (সমোক রেখা  $B$ ) কোন নির্দিষ্ট চাপে ( $B_1$  বিন্দু) গ্যাসীয় কার্বন-ডাই-অক্সাইডের তরলীভূত আরম্ভ হয়। যতক্ষণ না সমন্ত গ্যাস তরলীভূত হয় ততক্ষণ চাপ অপরিবর্তিত থাকে। গ্যাস সম্পূর্ণরূপে তরলীভূত হ'লে চাপের উত্তরোন্তর বৃক্ষির সংগে তরলের আয়তনে পূর্বের তুলনায় সামান্য হ্রাস দেটে। উক্ততা বৃদ্ধি হয়ে যত  $31\cdot0^{\circ}\text{C}$  এর নিকটবর্তী হয়, সমোক রেখার  $B_1B_2$  অংশের অনুরূপ অনুভূমিক অংশ দৈর্ঘ্যে ততই হ্রাস পাওয়। অবশেষে  $31\cdot0^{\circ}\text{C}$  উক্তায় এই অনুভূমিক অংশ কেবলমাত্র এক বিন্দুতে ( $P$ ) পরিণত হয়, সমোকরেখার নির্দিষ্ট  $\left[\left(\frac{\partial P}{\partial V}\right)_T\right]$  মান থেখানে শূন্য।

এই  $31\cdot0^{\circ}\text{C}$  উক্তাকে কার্বন-ডাই-অক্সাইডের সজ্ঞ-উক্তা (Critical temperature) বলে ও  $P$  বিন্দুকে সজ্ঞবিন্দু (Critical point) বলে।  $P$  বিন্দুতে চাপ ও গ্যাসের আপেক্ষিক আয়তনকে যথাক্রমে সজ্ঞচাপ (Critical pressure) ও সজ্ঞ-আয়তন (Critical volume) বলে। কার্বন-ডাই-অক্সাইডের ক্ষেত্রে সজ্ঞচাপ ও সজ্ঞ-আয়তনের মান যথাক্রমে  $73\cdot8$  atoms. &  $2\cdot14 \text{ cm}^3/\text{gm}$ ।

আমাগাটে অধিকতর উচ্চ চাপ পর্যন্ত বিভিন্ন গ্যাসের আচরণ লক্ষ্য



চিত্র ৭.২—আমাগাটের পরীক্ষার ফল

করেন। আমাগাটের পরীক্ষার ফল ৭.২ চিত্রে দেখা যাবে। এই চিত্রে বিভিন্ন স্থিতির উক্তার  $P$  এর সংগে গুণফল ' $pV$ ' এর পরিবর্তন প্রদর্শিত হয়েছে।

বয়েল-সৃষ্টি কার্যকরী হ'লে  $pV$  চাপের উপর নিভরশীল হয় না এবং সেক্ষেত্রে উভিজ্ঞাখিত চিত্রের রেখাগুলি প্রতিটিই অনুভূমিক সরলরেখা হত। হাইড্রোজেন ও হিলিয়ামের ক্ষেত্রে সাধারণ উক্তায় এই গুণফলের মান ক্রমান্বয়ে বৃদ্ধি পায়। আবার  $N_2$ ,  $O_2$ ,  $CO_2$  প্রভৃতির ক্ষেত্রে ' $pV$ ' এর মান প্রথমে হ্যাসপ্রাণ্ট হ'য়ে এক সর্বীনম মান লাভ করে এবং চাপের অধিকতর বৃদ্ধির সংগে ক্রমশঃ বৰ্ধিত হয়।

কামারলিং অনাম অর্তানন্দ উক্তায় বিভিন্ন গ্যাসের উপর পরীক্ষার ফল থেকে এই সিদ্ধান্তে উপনীত হন যে নির্দিষ্ট উক্তায়

$$pV = A + Bp + Cp^2 + Dp^3 + \dots \quad 7.2.1$$

এই সমীকরণ দ্বারা গ্যাসের আচরণ নির্দেশিত করা যায়। এর মধ্যে  $A$ ,  $B$  ইত্যাদি রাশিগুলি চাপানিরপক্ষে হ'লেও উক্তা নির্ভর এবং ভিরিয়াল গুণাংক (Virial coefficients) নামে পরিচিত। যেহেতু অতি অল্প 'চাপে সকল গ্যাসই আদর্শ গ্যাসের মত আচরণ করে, সুতরাং  $A = Lt$   $pV = RT$ ।

$$p \rightarrow 0$$

$B$ , অর্থাৎ দ্বিতীয় ভিরিয়াল গুণাংকের মান উক্তার সংগে ক্রমান্বয়ে বৃদ্ধি পায়। নিম্ন উক্তায় খণ্ডাঙ্ক মান থেকে বৰ্ধিত হ'য়ে যে উক্তায়  $B$  এর মান শূন্য হয় সেই উক্তাকে বয়েল-উক্তা (Boyle-temp. বা Boyle point) বলে। এই উক্তায়  $\left[ \frac{\partial(pV)}{\partial p} \right]_{p=0}$  রাশির মান শূন্য হওয়ায় অতি অল্প চাপে বয়েল সৃষ্টি কার্যকরী থাকে। অধিকতর উক্তায় ' $B$ ' এর মান ধনাত্মক হয়।

তৃতীয় ভিরিয়াল গুণাংক,  $C$ , সর্বদাই ধনাত্মক থাকে। 7.2.1 সৃষ্টি থেকে

দেখা যাবে যে বয়েল উক্তার উপরে কোন বাস্তব চাপেই  $\left( \frac{\partial(pV)}{\partial p} \right)$  শূন্য হয় না। এর অর্থ এই যে বয়েল উক্তার উপরে সকল গ্যাসের ক্ষেত্রে ' $pV$ ' চাপের সংগে ক্রমান্বয়ে বৃদ্ধি পায় এবং ঐ উক্তার নীচে ' $pV$ ' রাশির মান প্রথমে হ্যাসপ্রাণ্ট হ'য়ে পরে বৰ্ধিত হয়। সাধারণ উক্তায় ( $=300^\circ K$ ) হাইড্রোজেন (বয়েল উক্তা বা  $T_B = 104^\circ K$ ) বা হিলিয়াম ( $T_B = 19^\circ K$ ) এই কারণে  $N_2(T_B = 323^\circ K)$ ,  $O_2(T_B = 423^\circ K)$  বা  $O_3(T_B = 772^\circ K)$  থেকে বিভিন্নরূপ আচরণ করে।

### ৭.৩ ভ্যানডারওয়ালসের অবস্থা সমীকরণ

ইতিপূর্বে আলোচিত বিভিন্ন পরীক্ষার ফল থেকে সহজেই উপর্যুক্ত করা যায় যে আদর্শ গ্যাসের সৃষ্টি থেকে বাস্তব গ্যাসের আচরণে প্রচুর পার্থক্য

বিদ্যমান। এই পার্থক্যের কারণ অণুর নির্দিষ্ট আয়তন ও পরম্পরারের উপর প্রযুক্ত বল। উচ্চ উক্তা ও অপ্পচাপে এই দুই প্রভাব প্রকৃতপক্ষেই উপেক্ষণীয় হয়। অপ্পচাপে গ্যাসের আপেক্ষিক আয়তন অধিক হয়, ফলে অণুগুলির নিজস্ব আয়তন গ্যাসের মোট আয়তনের তুলনায় অতি ক্ষুদ্র থাকে। অধিক উক্তায় অণুগুলির গতীয় শক্তিও বৰ্ধিত হয় ফলে তারা সহজেই পারম্পরিক আকর্ষণী বলের প্রভাব অতিক্রম করতে পারে। কিন্তু অন্য অবস্থায় এই দুই প্রভাব কোনমতেই উপেক্ষা করা যায় না।

ভ্যানডার ওয়াল্স (Van der Waals, 1873) গ্যাস অণুর নির্দিষ্ট আয়তন এবং পারম্পরিক বলের প্রভাব বিচার ক'রে বাস্তবগ্যাসের নির্বালিখিত অবস্থা সমীকরণ উপস্থাপিত করেন :

$$\left( p + \frac{a}{V^2} \right) (V - b) = RT \quad 7.3.1$$

এখানে  $p$ ,  $V$  ও  $T$  যথাক্রমে গ্যাসের চাপ, গ্যাস-অণু গ্যাসের আয়তন ও নিরূপেক্ষ উক্তা,  $a$  ও  $b$  দুই ধূবক ও  $R$  গ্যাস-ধূবক। ভ্যানডার ওয়ালসের সমীকরণের যুক্তিগত প্রমাণ এই অংশে আলোচিত হ'ল।

### ভ্যানডার ওয়াল্স অবস্থা সমীকরণের প্রমাণ :

ভ্যানডার ওয়াল্স সমীকরণে (7.3.1)  $a$  ও  $b$  এই দুই ধূবকের উৎপাদিত যথাক্রমে অণুর পারম্পরিক আকর্ষণ ও নির্দিষ্ট আয়তন থেকে। তৃতীয় অধ্যায়ের অতি কম্পনা করা যাক কঠিন বর্তুলাকৃতি প্রতিটি অণুর ব্যাস ০। অন্তরণ্ক আকর্ষণী বল অতি স্বচ্ছ পাঞ্জাব এবং বর্তমানে আলোচনার জন্য কেবল এটুকুই স্বীকার করা প্রয়োজন যে আধাৱেৰ পৰিসৱেৰ সংগে তুলনীয় দূৰহৈ এই আকর্ষণী বলের কোন প্রভাবই থাকে না। চাপ ' $p$ ' ও আয়তন ' $V$ ' এর উপর প্রযোজ্য শুরুৱি এখন পৃথক বিশ্লেষণ করা যেতে পারে।

### চাপ ' $p$ ' এর শুরুৱি :

যে সকল অণু গ্যাসের আয়তনের অভ্যন্তরে থাকে, সেগুলি চারিদিকের অন্যান্য অণুগুলির দ্বারা সমভাবে আকৃষ্ণ হয়। ফলে তাদের উপর কোন কুক্ষ (resultant) বল কাজ করে না। আয়তনের সীমানাস্থ অণুগুলির ক্ষেত্রে এ কথা থাটে না। এবং কোন অণুর কেবলমাত্র একপাশেই অন্যান্য অণু অবস্থিত থাকে, ফলে ঐ অণুর উপর মোট প্রযুক্ত বল অণুটিকে গ্যাসের ভিত্তি দিকে আকর্ষণ করে। অণুর পারম্পরিক আকর্ষণ স্বচ্ছ-

পাঞ্জার হওয়াতে ঐ পাঞ্জার সমান ব্যাসার্থ বিশিষ্ট ও অণ্ডুর সংগে সমকেন্দ্রিক এক অর্ধগোলকের মধ্যে যে সকল অণ্ডুর অবস্থিত কেবল সেগুলিই আকর্ষণই সীমানাছ অণ্ডুর উপর কার্যকরী হয়। এইপ্রকার অণ্ডুর সংখ্যা ঘনত্বসংখ্যা  $n$  এর সমানুপাতী। অপরপক্ষে গ্যাসের সীমানায় একক ক্ষেত্রফলে অবস্থিত অণ্ডুর সংখ্যাও  $n$  এর সমানুপাতী। অর্থাৎ সীমানার একক ক্ষেত্রফলে অবস্থিত অণ্ডুসমূহের উপর মোট প্রযুক্ত বল  $n^2$  এর সমানুপাতী। এই বল এক অতিরিক্ত চাপের তুল্য। বিদ্রিষ্ট পরিমাণ গ্যাসের ক্ষেত্রে  $n \propto \frac{1}{V}$ ; সুতরাং এই অতিরিক্ত চাপকে  $\frac{a}{V^2}$  লেখা যেতে পারে।

চাপের এই শূন্কির কারণ অন্যভাবেও অনুসন্ধান করা যায়। 2.5.7 সূত্রানুযায়ী  $p = nkT = \frac{2}{3} n\epsilon$ ,  $\epsilon$  = অণ্ডুর গড় গতীয় শক্তি। অন্তরণ্ডুক আকর্ষণের ফলে গ্যাসের অভাসের অণ্ডুর ক্ষেত্রিকশক্তি ঝণাঝক থাকে। কোন অণ্ডু আধারের প্রাচীরে আঘাত করতে যখন গ্যাসের আয়তনের সীমানায় আসে এই ক্ষেত্রিক শক্তি তখনও ঝণাঝক থাকে তবে তুলনায় বৃক্ষ পায় (অর্থাৎ শূন্যের আরও নিকটবর্তী হয়)। ক্ষেত্রিক শক্তির এই বৃক্ষ ঘনত্বসংখ্যার সমানুপাতী—ধরা যাক  $n\epsilon'$  এর সমান। এই সংগে গতীয় শক্তি অবশাই সমপরিমাণে ছাপ পাবে অর্থাৎ গড় গতীয় শক্তির মান হবে  $\epsilon - n\epsilon'$ । চাপের মানও পরিবর্তিত হ'য়ে  $\frac{2}{3} n\epsilon$  এর স্থানে  $\frac{2}{3} n(\epsilon - n\epsilon')$  হবে। এখন

$$nkT = \frac{2}{3} n\epsilon = p + \frac{2}{3} \epsilon' \cdot n^2$$

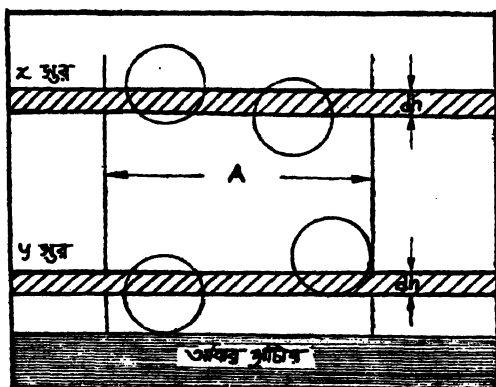
$\frac{2}{3} \epsilon' n^2$  কে পূর্বের মত  $\frac{a}{V^2}$  লেখা যায়।

মোটের উপর অবস্থা সমীকরণে ' $p$ ' এর স্থানে ' $p + \frac{a}{V^2}$ ' লেখাই যুক্তিযুক্ত ব'লে প্রমাণিত হয়। ক্ষেত্রিক শক্তির উপর ঘনত্বসংখ্যার নির্ভরশীলতা এই বিপ্লবে উপেক্ষা করা হ'য়েছে। অন্যথায় দেখা যায় যে ' $a$ ' ধূক্ত উক্তা-নির্ভর হয়।

### আয়তন ' $V$ ' এর শক্তি

তৃতীয় অধ্যায়ে দেখা গেছে যে ০ ব্যাসার্থিক্ষণ প্রতিটি অণ্ডু ০ ব্যাসার্থ বিশিষ্ট এক প্রভাবগোলক অধিকার ক'রে থাকে বার মধ্যে অন্য কোন অণ্ডুর ক্ষেত্র অবস্থিত হ'তে পারে না। অণ্ডুর আয়তন  $V$  হ'লে প্রভাবগোলকের আয়তন  $8V$ ।

গ্যাস আধারের মধ্যে প্রাচীরের নিকটবর্তী কিছুটা অংশ  $\sigma$ . $d$  চিরে দেখানো হ'ল। আধারপ্রাচীরের সমান্বয় অতিক্ষেপ বেছ  $dh$  এর দুইটি স্তর  $x$  ও  $y$  এর  $A$  ক্ষেত্রফলবিশিষ্ট কিছুটা অংশ কম্পনা করা যাক। ধরা যাক  $dh < < \sigma$  এবং  $A > > \sigma^2$ ।  $x$  স্তর আধারের অভ্যন্তরে এবং  $y$  স্তর আধারপ্রাচীর থেকে  $\frac{\sigma}{2}$  দূরত্বে অবস্থিত।



চিত্র ৭.৩

যদি মোট  $N$  সংখ্যক অণু  $V$  আয়তনে অবস্থিত হয় তবে অণুগুলি  $x$  স্তরে  $Adh$  আয়তনের মোট  $Adh \cdot \frac{N}{V} \cdot 8\pi$ , আয়তন অধিকার করে।

মোট  $(2\sigma + dh) \cdot A \cdot \frac{N}{V}$  সংখ্যক অণুর প্রভাবগোলকের কোন না কোন অংশ  $x$  স্তরের মধ্যে থাকবে। তার মধ্যে  $\sigma \cdot A \cdot \frac{N}{V}$  সংখ্যক অণুর কেন্দ্র  $x$  স্তরের উপরে, সমসংখ্যক অণুর কেন্দ্র  $x$  স্তরের নাচে এবং  $dh \cdot A \cdot \frac{N}{V}$  সংখ্যক অণুর কেন্দ্র  $x$  স্তরের মধ্যে থাকবে। শেষেও সংখ্যা উপেক্ষণীয় ক্ষেত্র  $dh < < \sigma$ ।

$y$  স্তরের নিয়ে কোন অণুর কেন্দ্র অবস্থিত হ'তে পারে না। সুতরাং  $(\sigma + dh) \cdot A \cdot \frac{N}{V}$  সংখ্যক অণু  $y$  স্তরের কিছু আয়তন অধিকার করে।  $\sigma$  এর তুলনায়  $dh$  কে উপেক্ষা ক'রে দেখা যায় এই সংখ্যা  $x$  স্তরের ক্ষেত্রে

প্রাপ্ত সংখ্যার অর্থেক।  $y$  শ্রেণির অধিকৃত আয়তনও  $x$  শ্রেণির প্রস্তুতাম অর্থেক, অর্থাৎ মোট  $Adh \cdot \frac{N}{V} 4v_0$  হবে।

এখন যে কোনও একটি নির্দিষ্ট অণ্ডুর ( $M$ )  $x$  অথবা  $y$  শ্রেণির থাকার সম্ভাব্যতা বিবেচনা করা যাক।

$$\frac{M \text{ অণ্ডুর } x \text{ শ্রেণির থাকার সম্ভাব্যতা}}{M \text{ অণ্ডুর } y \text{ শ্রেণির থাকার সম্ভাব্যতা}} = \frac{x \text{ শ্রেণির অর্ধাধিকৃত আয়তন}}{y \text{ শ্রেণির অর্ধাধিকৃত আয়তন}$$

$$= \frac{Adh - Adh \frac{N}{V} \cdot 8v_0}{Adh - Adh \frac{N}{V} \cdot 4v_0}$$

$$= 1 - \frac{N}{V} \cdot 4v_0 \quad (\because Nv_0 \ll V)$$

কিন্তু  $x$  ও  $y$  শ্রেণির অণ্ডুর ঘনসংখ্যা  $n_x$  ও  $n_y$  এই দুই শ্রেণি  $M$  অণ্ডুর থাকার সম্ভাব্যতার সংগে সমানুপাতী। সুতরাং

$$\frac{n_x}{n_y} = 1 - \frac{N}{V} 4v_0 \quad !$$

এখন গ্যাসের আয়তনের প্রায় সকল অংশই  $x$  শ্রেণির অনুরূপ। সুতরাং  $n_x = \frac{N}{V}$ । কিন্তু আধাৰের প্রাচীরে প্রদত্ত চাপ  $y$  শ্রেণির অণ্ডগুলির সংঘর্ষের ফলেই উচ্চত হয়। সুতরাং এই চাপের প্রকৃত মান 2.4.1 স্থানুষারী

$$p = \frac{1}{3} m n_y \bar{c}^2$$

$$\frac{\frac{1}{3} m n_x \bar{c}^2}{1 - \frac{N}{V} \cdot 4v_0}$$

$$\frac{1}{3} m \cdot \frac{N}{V - b} \quad (\because N = Vn_x)$$

এখানে  $b = N \cdot 4v_0$  = গ্যাসঅণ্ডগুলির মোট আয়তনের চারগুণ। স্পষ্টই বোকা হার যে অণ্ডুর নির্দিষ্ট আয়তনের ফলে আধাৰের কার্দকী আয়তন  $V$  এর পরিবর্তে  $V - b$  হয়।

$$p \text{ ও } V \text{ এর স্থলে উভয়ের সংশোধিত মান বথাজমে } p + \frac{a}{V^2} \text{ ও } V - b$$

ব্যবহার করলে আদর্শ গ্যাসের অবস্থা সমীকরণ থেকে ভ্যানডার ওয়াল্স্‌ সমীকরণ পাওয়া যায় :

$$\left( p + \frac{a}{V^2} \right) (V - b) = RT$$

৮ গ্রাম-অণু গ্যাসের ক্ষেত্রে এই সমীকরণের রূপ হয় :

$$\left( p + \frac{n^2 a}{V^2} \right) (V - nb) = nRT \quad 7.3.2$$

### ৭.৪ ভ্যানডার ওয়াল্স্‌ সমীকরণের আলোচনা

ভ্যানডারওয়াল্স্‌ সমীকরণের লেখাকলনের জন্য 'a' ও 'b' খুবক্ষয়ের মান জানা প্রয়োজন। পরবর্তী অংশে বর্ণিত পরীক্ষাগত উপায়ে এই খুবক্ষয়ের মান নির্ণয় করা যায়।  $CO_2$  গ্যাসের ক্ষেত্রে  $a = 7.18 \times 10^{-8}$  atmos. cm<sup>6</sup> ও ' $b = 1.9 \times 10^{-3}$  cm<sup>3</sup>' ব্যবহার ক'রে অঙ্কিত সমোক্ষরেখার ৭.১ চিত্রে দেখানো হ'য়েছে। অ্যান্ডেজের পরীক্ষালক্ষ সমোক্ষরেখার সংগে এগুলির তুলনা করলে দেখা যায় :

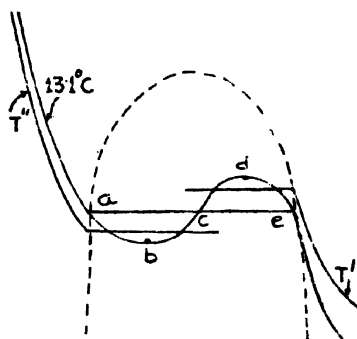
(ক)  $31^\circ C$  এর অধিক উষ্ণতায় সমোক্ষরেখাগুলির আকৃতি মোটাঘুটিভাবে অ্যান্ডেজের পরীক্ষার সঙ্গে মেলে না।

(খ)  $31^\circ C$  অপেক্ষা কম উষ্ণতার ভ্যানডারওয়াল্স্‌ সমীকরণ থেকে অঙ্কিত সমোক্ষরেখার আকৃতিও বিভিন্ন হয়। বাস্পীভবন ও ঘনীভবনকালে অ্যান্ডেজের সমোক্ষরেখায় যেমন এক অনুভূমিক অক্ষুণ্ণ অংশ দেখা যায়, সেরূপ কোন অংশই এই সমীকরণ থেকে পাওয়া যায় না।

তবে এই অসঙ্গতিগুলির কারণ অস্তিত নয়। প্রথমতঃ 'a' ও 'b' খুবক্ষয়ের উষ্ণতার উপর নির্ভরশীল হবে এবং আশা করা যায়। 'a' খুবক্ষের এবং আচরণ চাপের শুরু নির্ণয়কালে প্রত্যাশিত হয়েছে। ৩.৩ অংশে অণুর ব্যাস উষ্ণতানির্ভর ব'লে ধরা হয়েছে, সুতরাং 'b' খুবক্ষেরও উষ্ণতার উপর নির্ভরশীলতা আশা করা যায়। পরীক্ষা দ্বারাও 'a' ও 'b' খুবক্ষের উষ্ণতার সংগে পরিবর্তিত হ'তে দেখা গেছে। মোটের উপর 'a' ও 'b' এর একপ্রক্ষেত্রে নির্দিষ্ট মান ব্যবহার ক'রে সকল উষ্ণতায় সমোক্ষরেখার অবস্থান নির্ভুলভাবে নির্ণয় করা সম্ভব হ'তে পারে না।

দ্বিতীয়তঃ, সঞ্চিউফতা অপেক্ষা কম উষ্ণতাস্ত (  $13.1^\circ C$  ) ভ্যানডার ওয়াল্স্‌ সমীকরণ থেকে অঙ্কিত সমোক্ষরেখার মধ্যে ( চিত্র ৭.৪ )  $bd$  অংশের মত এমন এক অংশ পাওয়া যায় যেখানে  $\left(\frac{\partial P}{\partial V}\right)_T$  এর মান ধনাত্মক।

এবং অংশ পরীক্ষা দ্বারা লভ্য নয়। কেননা এবং অবস্থায় পরীক্ষাধীন পদার্থের উপর চাপ সামান্য বর্ধিত হ'লে আয়তন আরও বর্ধিত হওয়ার চেষ্টা করে। নির্দিষ্ট আয়তনের আধারের মধ্যে যেহেতু আয়তন যথেচ্ছভাবে বাড়তে



চিত্র ৭.৪

পারে না, অতএব চাপ এইভাবে উন্নতোত্তর বাড়তে পারে। অপরপক্ষে চাপ সামান্য হ্রাস পেলে আয়তনের সংজ্ঞোচন হেতু চাপ উন্নতোত্তর কমতে থাকে। স্পষ্টতই  $bd$  অংশ পদার্থের এক স্থিতিশীলতাহীন (unstable) অবস্থা সৃচিত করে এবং কোন পরীক্ষায় পদার্থকে এই অবস্থায় রাখা যায় না।

ধরা যাক  $ace$  সরলরেখা একই উক্তায় পরীক্ষা দ্বারা লক্ষ সমোক্ষরেখার অনুভূমিক অংশ।  $de$  গ্যাসীয় অবস্থারই বর্ধিতাংশ।  $131^{\circ}\text{C}$  উক্তায় অক্ষিত সমোক্ষরেখার উপর অবস্থিত হ'লেও এর প্রতিটি বিন্দুই কোন উচ্চতর উক্তায় ( $T'$ ) পরীক্ষালভ্য সমোক্ষরেখার উপর পড়ে। সাম্যাবস্থার জন্য প্রয়োজনীয় উক্তা অপেক্ষা এই অংশে উক্তা কম। এই অবস্থাকে অতি-শীতাত্ত্বিক বাষ্প (supercooled vapour) বলা হয়। অনুরূপভাবে দেখা যায় যে  $ab$  অংশ দ্বারা সৃচিত অবস্থা  $131^{\circ}\text{C}$  অপেক্ষা অন্প কোন উক্তায় ( $T''$ ) তরলের সাম্যাবস্থা হ'তে পারে। তাই এই অবস্থাকে অতিতাপিত তরল (superheated liquid) বলা হয়। দুই অবস্থার কোনটিই স্থিতিশীল নয় এবং সেই হেতু অপক্ষণের জন্যই পদার্থকে এবং অবস্থায় রাখা যায়।

অপরপক্ষে  $ac$  সরলরেখা তরল ও বাষ্পের মিশ্রণকে সৃচিত করে। এই দুই অবস্থায় আপেক্ষিক আয়তনের মান বিভিন্ন হওয়ায় মিশ্রণটি স্থিতিশীল অবস্থায় থাকে, কেননা তরল ও বাষ্পের অনুপাত পরিবর্তিত হ'লে আয়তনের হ্রাসবৃক্ষ ঘটলেও চাপ অপরিবর্তিত রাখে।

*ae* সরলরেখার অবস্থান, অর্থাৎ তরঙ্গের লীনতাপশোষণ ও বাঞ্চীভবনের কালে চাপের মান তরঙ্গ ও বাঞ্চের “লভ্যশক্তি”র (Helmholtz's Free Energy, F) উপর নির্ভর করে। *ae* সরলরেখা বরাবর পদার্থের প্রসারণ সমান উচ্চতা ও চাপে সংঘটিত হয়। এবং প্রতিক্রিয়ার ক্ষেত্রে

$$\int_a^f dF = - \int_a^f p dV, \text{ অথবা } F_f - F_a = p(V_f - V_a) ;$$

শেষোন্ত সমীকরণই *ae* সরলরেখার অবস্থান নির্দেশ করে।

### ৭.৫ পরীক্ষাভারা ‘*a*’ ও ‘*b*’ প্রতিক্রিয়ের মান নির্ণয়

(i) সমোক্তরেখার সাহায্যে :

পরীক্ষালক্ষ সমোক্তরেখার থেকে নির্দিষ্ট উচ্চতার (নিরপেক্ষ তাপমাত্রা *T*) *p*, *V* ও  $\left(\frac{\partial p}{\partial V}\right)_T$  এর মান জানা যায়। 7.3.1 সূত্র থেকে

$$p = \frac{RT}{V-b} - \frac{a}{V} . \quad 7.5.1$$

$$\text{ও } \left(\frac{\partial p}{\partial V}\right)_T = \frac{2a}{V^3} - \frac{RT}{(V-b)^2} . \quad 7.5.2$$

সমীকরণসমূহ থেকে ‘*a*’ ও ‘*b*’ এর মান পাওয়া যায়। এই প্রকারে লক্ষ মান নির্দিষ্ট উচ্চতাতেই প্রযোজ্য।

(ii) গ্যাসের চাপ ও আয়তনের প্রসারণ-গুণাঙ্ক (Coefficient of expansion) থেকে :

চাপ ও আয়তনের প্রসারণ-গুণাঙ্কের সংজ্ঞা অনুযায়ী

$$\text{চাপের প্রসারণ-গুণাঙ্ক}, \beta = \frac{1}{p} \left(\frac{\partial p}{\partial T}\right)_V$$

$$\text{ও আয়তনের প্রসারণ-গুণাঙ্ক}, \alpha = \frac{1}{V} \left(\frac{\partial V}{\partial T}\right)_p ,$$

ভ্যানডার ওয়াল্স্ সমীকরণ প্রতিপালনকারী গ্যাসের ক্ষেত্রে 7.5.1 সূত্র থেকে

$$p\beta = \left(\frac{\partial p}{\partial T}\right)_V = \frac{R}{V-b} = \frac{1}{T} \left( p + \frac{a}{V^2} \right)$$

$$\text{সূত্রাং } a = pV^2(\beta T - 1) \quad 7.5.3$$

আবার চিহ্ন ঢাপে, 7.3.1 থেকে অন্তরকলনের সাহায্যে

$$RdT = \left( p + \frac{a}{V^2} \right) dV - (V - b) \frac{2a}{V^3} dV$$

$$= \left( p - \frac{a}{V^2} \right) dV + \left( \frac{ab}{V^2} \right) \text{ রাশিকে উপেক্ষা ক'রে \Big)$$

পুনরাবৃত্তি 7.3.1 সূত্রের সাহায্যে

$$\frac{\left( p - \frac{a}{V^2} \right)}{\left( p + \frac{a}{V^2} \right) (V - b)} dV = \frac{dT}{T}$$

$$\text{সূত্রাঃ } a = \frac{1}{V} \left( \frac{\partial V}{\partial T} \right)_p = \frac{1}{T} \quad \frac{\left( p + \frac{a}{V^2} \right) (V - b)}{V \left( p - \frac{a}{V^2} \right)}$$

যেহেতু  $\frac{a}{V^2} < < p$  এবং  $b < < V$ , দ্বিপদ (binomial) সূত্রের সাহায্যে

‘ $a$ ’ কে লেখা যাবে :

$$a = \frac{1}{T} \left( 1 + \frac{2a}{pV^2} - \frac{b}{V} \right)$$

$$\text{সূত্রাঃ } b = V \left( 1 - \alpha T + \frac{2a}{pV^2} \right) \quad 7.5.4$$

এখন ‘ $a$ ’ শুধুকের মান 7.5.3 সূত্রের সাহায্যে জানা যেতে পারে। ‘ $b$ ’ শুধুকের মান  $p\beta = R/(V - b)$  সম্পর্ক থেকেও নির্ণয় করা যেতে পারে আবার ‘ $a$ ’ এর মান জানা থাকলে 7.5.4 সূত্রের থেকেও বার করা যেতে পারে।

লক্ষণগীয় যে 7.5.3 ও 7.5.4 সূত্র বাবহার করতে হলে  $(1 - \alpha T)$  ও  $(\beta T - 1)$  এর মান জানা দরকার। বাস্তব গ্যাসের ক্ষেত্রেও ‘ $\alpha T$ ’ ও ‘ $\beta T$ ’ এর মান 1 এর খুবই নিকটবর্তী, সূত্রাঃ ‘ $a$ ’ ও ‘ $b$ ’ এর মান এখানে অত্যন্ত সূক্ষ্মভাবে নিরূপিত হওয়া প্রয়োজন।

(iii) সঞ্চিক্ষণিক (Critical constants) গুলির সাহায্যে :

পরবর্তী 7.6 অংশে সঞ্চিক্ষণিক  $p_c$ ,  $V_c$  ও  $T_c$  এর তাত্ত্বিক মান নির্ণয় হবে। এগুলির যে কোনও দুইটির মান থেকেই ‘ $a$ ’ ও ‘ $b$ ’ এর মান জানা

যাই। তবে সক্রিয় আয়তনের সূত্র পরিমাপ অপেক্ষাকৃত কঠিন হওয়ায়  $p_c$  ও  $T_c$  এর মান ব্যবহারই যুক্তিযুক্ত। সহজেই দেখানো যাই যে

$$a = \frac{27}{64} \cdot R^2 T_c$$

$$b = \frac{RT_c}{8p_c}$$

7.5.5

এই পদ্ধতির সুবিধা এই যে 'a' ও 'b' এর মান দুইটি অপেক্ষাকৃত বৃহৎ রাশির বিবরণফল হিসাবে নির্ণয় হয় না। কিন্তু এই উপারে নির্ণয় মান কেবলমাত্র সক্রিয়বিলুপ্তি অগ্নিলৈ থাটে, অন্প ঘনত্ববিশিষ্ট অবস্থায় খুবকম্ভয়ের একই মান আশা করা যাই না। ৭.১ সারণীতে সক্রিয়বিলুপ্তির সাহায্যে কয়েকটি গ্যাসের ক্ষেত্রে 'a' ও 'b' এর মান নির্ণয় হ'ল।

(iv) জুল-কেলভিন অভিক্রিয়ায় পরিদ্রষ্ট বিপর্যয় উক্তা (inversion temperature) থেকে :

জুল-কেলভিন অভিক্রিয়ায় এক নির্দিষ্ট উক্তার নীচে গ্যাসের প্রসারণ বা চাপের হ্রাসের সংগে উক্তার হ্রাস ঘটে। এই উক্তার উপরে একই অবস্থায় গ্যাসের উক্তা আরও বৃদ্ধি পায়। এই উক্তাকে বিপর্যয় উক্তা,  $T_i$ , বলে। ভ্যানডার ওয়াল্স সমীকরণ অনুযায়ী

$$\frac{a}{b} = \frac{1}{2} RT_i$$

7.5.6

এই সূত্রের সাহায্যে 'a' ও 'b' এর একটি জানা থাকলে  $T_i$  এর মান ব্যবহার ক'রে অপরটি জানা যেতে পারে।

গ্যাস	$T_c$ (°K)	$p_c$ ( $10^{-6}$ dyne/ cm $^2$ )	$V_c$ গ্যাস-অণুক (cm $^3$ )	$a$ গ্যাস-অণুক ( $10^{10}$ dyne. cm $^4$ )	$b$ গ্যাস-অণুক (cm $^3$ )	$\frac{RT_c}{p_c V_c}$
He	5.2	2.29	58	3.44	23.6	3.26
H <sub>2</sub>	32.99	12.94	65.5	24.5	26.5	3.24
A	150.7	48.6	75.2	136	32.2	3.42
O <sub>2</sub>	154.8	50.8	78	138	31.7	3.25
N <sub>2</sub>	126.2	33.9	90.1	137	38.7	3.44
CO <sub>2</sub>	304.2	73.8	94.0	366	42.8	3.65
NH <sub>3</sub>	405.4	113	72.5	424	37.3	4.12
H <sub>2</sub> O	647	221	59.1	552	30.4	4.12

৭.১ সারণী—'a', 'b' ও  $\frac{RT_c}{p_c V_c}$  এর মান

৭.৬ ভ্যানডার ওয়াল্স সমীকরণ অনুসারী সঞ্চি-ধূবক সমূহের মান  
পদার্থের সঞ্চি-ধূবক সমূহের ( $T_c$ ,  $p_c$  ও  $V_c$ ) মান ভ্যানডার ওয়াল্স  
সমীকরণে ব্যবহৃত ধূবক 'a' ও 'b' এর দ্বারা নির্দেশ করা যায়। সমোষ্ট-  
রেখাগুলির উপর স্পর্শক যেখানে অনুভূমিক সেখানে  $\left(\frac{\partial p}{\partial V}\right)_T = 0$

$$\text{অথবা } 7.5.2 \text{ থেকে } \frac{RT}{V-b} - \frac{2a(V-b)}{V^2} \quad 7.6.1$$

7.5.1 ও 7.6.1 থেকে  $T$  কে অপনীত (eliminate) করলে পাওয়া যায়

$$p = \frac{a}{V^2} \left( 1 - \frac{2b}{V} \right) \quad 7.6.2$$

যে সকল বিন্দুতে সমোষ্টরেখাগুলির স্পর্শক অনুভূমিক হয় সেগুলি 7.6.2  
সমীকরণ দ্বারা সূচিত রেখার উপর অবস্থিত হবে। ৭.১ চিত্রে এই রেখা  
বিন্দু দ্বারা অঙ্কিত হয়েছে। সঞ্চিবিন্দু এই রেখার সর্বোচ্চ বিন্দু সুতরাং এই  
বিন্দুতে রেখাটির  $\frac{dp}{dV}$  এর মান শূন্য।

$$\text{অর্থাৎ সঞ্চিবিন্দুতে } \frac{d}{dV} \left[ \frac{a}{V^2} \left( 1 - \frac{2b}{V} \right) \right] = 0 \\ V = V_c$$

$$\text{বা } V_c = 3b \quad 7.6.3a$$

$$7.6.2 \text{ সূত্র থেকে } p_c = \frac{a}{27b^2} \quad 7.6.3b$$

বেহেতু  $T = T_c$ ,  $V = V_c$  7.6.1 সূত্রকে সম্মত করে

$$\therefore T_c = \frac{8a}{27Rb} \quad 7.6.3c$$

7.6.3 সূত্রগুলি থেকে দ্বাত্তবিহীন রাশি  $\eta = \frac{RT_c}{p_c V_c}$  এর মান পাওয়া যায়  
৩ বা 2.667। এই রাশি সঞ্চি গুণাংক (critical coefficient) নামে পরিচিত  
এবং বিভিন্ন অবস্থা সমীকরণের সার্থকতা নির্ধারণে এটি একটি গুরুত্বপূর্ণ সংখ্যা।  
বাত্তব গ্যাসের ক্ষেত্রে এই রাশির পরীক্ষালক্ষ মান ৭.১ সারণীতে দেখানো

হ'য়েছে। পরীক্ষালক্ষ মানগুলি স্পষ্টই হ' অপেক্ষা বৃহত্তর এবং গ্যাসের আণবিক গঠনের উপর নির্ভরশীল।\*

ভানডার ওয়াল্স সমীকরণ থেকে বয়েল উক্তার মানও সংক্ষি-উক্তার মাধ্যমে প্রকাশ করা যাব। যেহেতু এই সমীকরণকে  $V = f(p)$  আকারে লেখা যায় না, অতএব এক্ষেত্রে  $PV$  কে  $\frac{1}{V}$  এর ঘাতশ্রেণী (power series) হিসাবে লেখা যাক :

$$pV = \frac{RTV}{V-b} - \frac{a}{V} = RT + (bRT - a) \left( \frac{1}{V} \right) + b^2 RT \left( \frac{1}{V} \right)^2 + \dots$$

অথবা  $\left( \because \frac{1}{V} = \frac{p}{RT} \right)$

$$pV = RT + \frac{bRT - a}{RT} \cdot p + \dots$$

বয়েল উক্তার  $p$  এর সহগ খুনা হ'য়, সূতরাং বয়েল উক্তা

$$\text{বা } T_B = \frac{a}{bR} = \frac{3}{8} T_C \quad 7.6.4$$

$\frac{T_B}{T_C}$  এর প্রত্যাশিত মান  $\frac{3}{8}$  বা  $3\cdot375$ । কিন্তু পরীক্ষালক্ষ মান বেশীর ভাগ ক্ষেত্রে  $2\cdot7$  থেকে  $3\cdot2$  এর মধ্যে থাকে, উপরন্তু এই প্রাপ্তিকে মোটেই ঝুঁক বলা চলে না। অর্থাৎ এক্ষেত্রেও ভানডার ওয়াল্স সমীকরণের সাফল্য সন্তোষজনক বলা চলে না।

### ৭.৭ ক্রসিয়াসের ভিত্তিক উপপাদ্য

কোন গ্যাস এক বৃহৎস্থাক বস্তুকণকার সমষ্টিমাত্র। ক্রসিয়াস এই কণিকাগুলির উপর সাধারণ বলবিদ্যার প্রয়োগের দ্বারা ‘ভিত্তিক উপপাদ্য’ প্রমাণ করেন। প্রথমে এই উপপাদ্যের প্রমাণ আলোচনা করা যাক।

ধরা যাক  $m$  ভর্যাশক্তি কোন গ্যাস অণ্টর অবস্থান নির্দেশক ভেক্টর  $r$  এবং তার উপর মোট কার্যকরী বল  $\vec{F}$ । নিউটনের গতিসূচ অনুসারে

$$m \ddot{r} = \vec{F}$$

\* অন্যভাবে বলা যায় যে  $V_0$  এর প্রত্যাশিত মান থেকানে  $3b$ , পরীক্ষালক্ষ মান সেখানে  $b \left( -\frac{RT_0}{8p_e} \right)$  এর প্রায়  $2\cdot2\cdot5$  গুণ।

$$\text{এখন } \frac{d^2}{dt^2} (\vec{r}^2) = \frac{d}{dt} (2\vec{r} \cdot \dot{\vec{r}}) = 2(\dot{\vec{r}})^2 + 2\vec{r} \cdot \ddot{\vec{r}}$$

$$\text{অর্থাৎ } \frac{1}{2} m (\dot{\vec{r}})^2 = \frac{m}{4} \frac{d^2}{dt^2} (\vec{r}^2) - \frac{1}{2} \vec{r} \cdot \vec{F} \quad 7.7.1$$

এই সূত্র প্রতিটি গ্যাস অণুর ক্ষেত্রে সর্বদাই প্রযোজ্য। সূত্রাং গ্যাসের সমস্ত অণুর জন্য এই সূত্রের উভয় দিকের ঘোগফল এবং দীর্ঘ সময়ের জন্য গড় মান ব্যবহার করলে পাওয়া যায়

$$\frac{1}{2} \sum \overline{mc^2} = \frac{1}{2} \sum m \overline{\frac{d^2}{dt^2} (\vec{r}^2)} - \frac{1}{2} \sum \overline{\vec{r} \cdot \vec{F}} \quad (c = \vec{r}) \quad 7.7.2$$

কিন্তু : সময়ের জন্য গড় মান

$$\sum \overline{m \frac{d^2}{dt^2} (\vec{r}^2)} = \sum \frac{m}{t} \int \frac{d^2}{dt^2} (\vec{r}^2) dt$$

$$= \sum \frac{m}{t} \left[ \frac{d}{dt} (\vec{r}^2) \right]_0^t$$

$$= \sum \frac{2m}{t} \left[ \vec{r} \cdot \vec{c} \right]^t_0$$

$$= 0$$

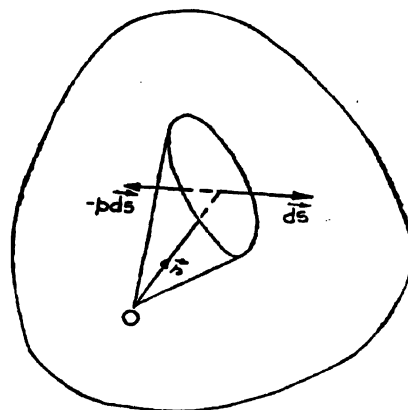
কেবল  $\vec{r} \cdot \vec{c}$  ক্ষেত্রে গুণফলের মান ধনাঘাত ও অণাঘাত উভয়ই হ'তে পারে। এবং বৃহৎ সংখাক অণুর ক্ষেত্রে আলোচ্য ঘোগফলের মান সর্বদাই শূন্য হবে। সূত্রাং 7.7.2 থেকে

$$\frac{1}{2} \sum \overline{mc^2} = - \frac{1}{2} \sum \overline{\vec{r} \cdot \vec{F}}$$

এই সূত্রে বার্মাদিকের রাশি গ্যাসের অণুর মোট গতীয় শক্তি। ডার্নিদিকের রাশিটিকে গ্যাসের ভিরিয়াল বলা হয়। বিশেষ অবস্থার এই ভিরিয়ালের মান নির্ণয় করলেই গ্যাসের অবস্থা-সমীকরণ পাওয়া যায়। 7.7.3 সূত্রকেই “ভিরিয়াল উপপাদ্য” (Virial Theorem) বলা হয়।

### ৭.৮ ভিরিয়াল উপপাদ্যের প্রয়োগ

কোন গ্যাসের ক্ষেত্রে ভিরিয়াল উপপাদ্য প্রয়োগ করা যাক। ধরা যাক প্যাস আধারের প্রাচীর গ্যাসের উপর  $p$  চাপ প্রয়োগ করে। প্রাচীরের  $ds$  ক্ষেত্রফলবিশিষ্ট অংশ যে বল প্রয়োগ করে তার ভেট্টের মান  $-p \vec{ds}$  ( এখানে  $\vec{ds}$  ভেট্টের মান  $ds$  ও দিক  $ds$  তলের উপর বহুরূপী লরের অত ; চিত্ৰ ৭.৫ )। এই প্রকার বল থেকে উভ্যত ভিরিয়ালের মান



চিত্ৰ ৭.৫

$$W_1 = -\frac{1}{2} \int \vec{r} \cdot (-p \vec{ds})$$

$$= -\frac{p}{2} \int \vec{r} \cdot \vec{ds}$$

$$= -\frac{p}{2} p V \quad (V = \text{গ্যাসের আয়তন}) \quad 7.8.1$$

কেননা  $\frac{1}{2} \vec{r} \cdot \vec{ds} = ds$  ভূমি ও ০ শীর্ষবিশিষ্ট শক্তির ঘনফল।

গ্যাস-অণুগুলি সংস্থর্ভের সময় পরম্পরের উপর যে বল প্রয়োগ করে তার জন্য ভিরিয়ালের তারতম্য ঘটে না। যদি  $i$ - ও  $j$ -তম দুই অণু পরম্পরের উপর বিপরীতমে  $\vec{F}_{i,j}$  ও  $\vec{F}_{j,i}$  এই দুই বল প্রয়োগ করে তবে  $\vec{F}_{i,j} = -\vec{F}_{j,i}$  হয়।

সম্বৰ্ব বিপুর অবস্থান ভেট্টের  $r$  হ'লে ভিরিয়ালে যোজনীয় গ্রাশ

$$W_s = -\frac{1}{2} \sum (\vec{r} \cdot \vec{F}_{i,j} + \vec{r} \cdot \vec{F}_{j,i}) = 0 \quad 7.8.2$$

অবশ্য পরম্পর থেকে দূরবর্তী দুই অণুর মধ্যে আকর্ষণ বা বিকর্ষণ থাকলে অনুরূপ ফল পাওয়া যায় না। ধরা যাক দুই অণুর অবস্থান ডেক্টের  $\vec{r}_i$  ও  $\vec{r}_j$ , তাদের মধ্যে দূরত্ব  $r_i - r_j = r_{ij}$  এবং পরম্পরের উপর প্রভৃতি বল  $\vec{f}_{ij}$  ও  $\vec{f}_{ji}$  ( $= -\vec{f}_{ij}$ )। এক্ষেত্রে ভিত্তিরালে যোজনীয় রাশি

$$\begin{aligned} W_s &= -\frac{1}{2} \sum (\vec{r}_i \cdot \vec{f}_{ij} + \vec{r}_j \cdot \vec{f}_{ji}) \\ &= -\frac{1}{2} \sum \vec{r}_{ij} \cdot \vec{f}_{ij} \end{aligned} \quad 7.8.3$$

দুই অণুর মধ্যে কার্যকরী বল র্যাদি কেন্দ্রগ (central) এবং কেবলমাত্র অণুস্থানের মধ্যস্থ দূরত্বের উপর নির্ভরশীল হয় তবে

$$W_s = -\frac{1}{2} \sum r_{ij} f(r_{ij})$$

এখানে  $f(r_{ij})$  ' $r_{ij}$ ' এর উপর নির্ভরশীল ক্ষেত্রাব রাশি। গ্যাসের মোট  $N$ -সংখ্যক অণুর প্রতিটির ভর  $m$  হ'লে 7.7.3 সূত্র অর্থাৎ ভিত্তিরাল উপপাদ্য থেকে :

$$\begin{aligned} \frac{1}{2} \sum m \vec{c}^2 &= \frac{3}{2} p V - \frac{1}{2} \sum r_{ij} f(r_{ij}) \\ \text{অথবা } pV &= \frac{1}{2} m N \vec{c}^2 + \frac{1}{2} \sum r_{ij} f(r_{ij}) \\ &= NkT + \frac{1}{2} \sum r_{ij} f(r_{ij}) \end{aligned} \quad 7.8.4$$

মোগফলের মধ্যে এ ক্ষেত্রে অণুর প্রতি যুগ্মকে বিবেচনা করতে হবে। যখন  $r_{ij} = 0$ , অর্থাৎ অণুগুলি ব্যবহৃত পরম্পর স্পর্শকারী বিস্তৃত, তখন উক্ত যোগফলের মান শূন্য হয়। এমন কি যখন  $r_{ij} \neq 0$ , তখন র্যাদি  $f(r_{ij}) = 0$  হয় অর্থাৎ দুই অণুর মধ্যে সংঘর্ষ ব্যাতীত অন্য ক্ষেত্রে কোনও প্রকার বল বা থাকে তবে সে ক্ষেত্রেও উক্ত যোগফল শূন্য হয়। এবং এই দুই অবস্থাতেই 7.8.4 সূত্র থেকে আদর্শ গ্যাসের অবস্থা সমীকরণ  $pV = NkT$  পাওয়া যায়। বাস্তু গ্যাসের ক্ষেত্রে র্যাদি  $f(r_{ij})$  এর মান জানা যায় তবে 7.8.4 সূত্রের সাহায্যে সহজেই বাস্তু গ্যাসের অবস্থা সমীকরণ নির্ণয় করা যেতে পারে। কিন্তু বল  $f$  এর মান বাস্তবক্ষেত্রে সঠিক জানা যায় না। এই বল অণুর ছৈতিক শক্তি থেকে জাত, অর্থাৎ  $f(r) = -\frac{\partial E(r)}{\partial r}$  এবূপ ধরা যেতে পারে। ম্যাক্সওয়েল-

বোল্টসমান সূত্র অনুযায়ী গ্যাসের মধ্যে হৈর্ভিক শক্তিহীন অঞ্চলে অণুর ঘনসংখ্যা  $n_0$  হ'লে কোন অণুর কেন্দ্র থেকে  $r$  দূরহে অন্যান্য অণুর ঘনসংখ্যা হবে

$$n_r = n_0 e^{-E(r)/kT} \quad 7.8.5$$

কোন নির্দিষ্ট অণু এবং ঐ অণু থেকে  $r$  ও  $r + dr$  এর মধ্যবর্তী দূরহে অবস্থিত  $4\pi r^2 dr \cdot n_r$  সংখ্যক অণুর সমসংখ্যক যুগ্ম রচনা করে। 7.8.4 সূত্রের  $\sum r_{i,j} f(r_{i,j})$  যোগফলে এই যুগ্মগুলির দ্বারা মোট যুক্ত রাশি  $4\pi r^2 dr \cdot n_r \cdot r + -\frac{\partial E(r)}{\partial r}$ । মোট  $N$  সংখ্যক অণুর জন্য  $\sum r_{i,j} f(r_{i,j})$  যোগফলের মান

$$\frac{1}{2}N \int_{-\infty}^{\infty} 4\pi r^2 dr \cdot n_r \cdot r + -\frac{\partial E(r)}{\partial r}$$

(  $\frac{1}{2}$  উৎপাদকটি যোগ করার কারণ এই যে আমাদের হিসাবে প্রতি অনুযুগ দুইবার পরিগণিত হয়, ফলে যোগফলের মানও দ্বিগুণ দাঁড়ায়। )

$$= \frac{2\pi N^2}{V} \int_{r=0}^{\infty} -r^3 \frac{\partial E(r)}{\partial r} e^{-\frac{E(r)}{kT}} dr$$

এখানে  $n_0 = \frac{N}{V}$  ধরা হ'য়েছে। প্রকৃতপক্ষে  $n_r$  এর গড় মানই  $\frac{N}{V}$  এর সমান। তবে  $E(r) \ll kT$  হ'লে  $\frac{N}{V}$  কে  $n_0$  এর আসম মান ধরা যেতে পারে। 7.8.4 সূত্রে এখন ফিরে যাওয়া যাক।

$$pV = NkT - \frac{2\pi N^2}{3V} \int_{0}^{\infty} r^3 \cdot \frac{\partial E(r)}{\partial r} e^{-\frac{E(r)}{kT}} dr$$

$$= NkT + \frac{2\pi N^2}{3V} \left[ \left\{ r^3 \left( kT e^{-\frac{E(r)}{kT}} + c \right) \right\} \right]_0^{\infty}$$

$$- \int_0^{\infty} 3r^2 \left( kT e^{-\frac{E(r)}{kT}} + c \right) dr \left. \right]$$

( আংশিক সমাকলন দ্বারা )। এখানে  $c$  সমাকলন খুবক।  $c$  এর মান এবং প্রয়োজন যেন  $r \rightarrow \infty$  সীমায়  $pV$  র মান অসীম না হয়। যখন  $r \rightarrow \infty$ ,  $E(r) \rightarrow 0$  অথবা

$$r^3(kTe^{-E(r)/kT} + c) \rightarrow r^3(kT + c)$$

এই রাশির মান সসীম হ'লে  $c = -kT$  হওয়া প্রয়োজন।  $c$  এর এই মান ব্যবহার করে পাওয়া যাবে

$$pV = NkT + \frac{2\pi N^{\circ} kT}{V} \int_0^{\infty} r^3 \left(1 - e^{-\frac{E(r)}{kT}}\right) dr \quad 7.8.6$$

কেননা  $r^3(e^{-\frac{E(r)}{kT}} - 1)$  এর মান  $r=0$  ও  $r=\infty$  দুই সীমাতেই শূন্য। 7.8.6 সূত্র থেকে গ্যাসের অবস্থা সমীকরণ পেতে হ'লে  $E(r)$  সরকে কিছু ধারণা প্রয়োজন।

দুই অণু যখন অন্প দূরত্বে থাকে তখন উভয়ের মধ্যে এক স্পন্দনাত্মক দুর্বল আকর্ষণ কাজ করে। অণু-অণুর যখন নিকটবর্তী হয় এবং তাদের ইলেক্ট্রন-মেঘ যখন পরস্পরকে স্পর্শ করে তখন উভয়ের মধ্যে এক প্রবল বিকর্ষণ দেখা দেয়। স্থৈর্যক শক্তি  $E(r)$  এর হিসাবে—

যদি  $r > \sigma$  হয় তবে  $E(r)$  এর মান অন্প ও অণুস্থান

যদি  $r < \sigma$  হয় তবে  $E(r) = \infty$  ( $\sigma$  = অণুর ব্যাস)

7.8.6 সূত্রের সমাকলনের মান এই সর্তানুষারী

$$\int_0^{\sigma} r^3 dr + \int_{\sigma}^{\infty} r^2 \cdot \frac{E(r)}{kT} dr = \frac{\sigma^3}{3} - \frac{I}{kT},$$

$$\text{এখানে } I = - \int_{\sigma}^{\infty} r^3 E(r) dr, \quad \text{ধনাত্মক রাশি।}$$

এখন 7.8.6 সূত্র থেকে

$$pV = NkT + \frac{2\pi N^{\circ} kT}{V} \left( \frac{\sigma^3}{3} - \frac{I}{kT} \right) \quad 7.8.7$$

এক গ্যাস-অণু গ্যাসের ক্ষেত্রে  $N = N_0$  ( আভোগাড়ো-সংখ্যা ) এবং

$$pV = RT + \frac{RT}{V} \left( b - \frac{a}{RT} \right) \quad 7.8.8$$

এখানে  $b = \frac{2}{3}\pi N_0 \sigma^3$  ও  $a = 2\pi N_0 \sigma^4 I$ । লক্ষণীয় যে  $b$  এর মান  $N_0$ -সংখ্যক অণুর মোট নিজস্ব আয়তনের চারগুণ এবং ধনাঞ্চক রাশি।

7.8.8 সূত্র ভ্যানডার ওয়াল্স্‌ সমীকরণের সমার্থক। এই সূত্র থেকে পাওয়া যায়

$$pV + \frac{a}{V} = RT \left(1 + \frac{b}{V}\right)$$

$$\text{অথবা } \left(p + \frac{a}{V^2}\right) (V - b) = RT$$

কেননা সাধারণভাবে  $b \ll V$  হওয়ার  $\left(1 + \frac{b}{V}\right)^{-1} = 1 - \frac{b}{V}$ ।

পূর্বের গণনায়  $E(r)$  এর মেরুপ মান ব্যবহার করা হয়েছে তা কঠিন গোলকের মত অণুর ক্ষেত্রেই খাটে। সুতরাং স্বাভাবিকভাবেই ভিরিয়াল উপপাদ্য থেকে ভ্যানডার ওয়াল্সের সমীকরণ পাওয়া গেছে। যদি  $E(r)$  এর মান আরও বিশদভাবে জানা যায় তবে তার সাহায্যে ভিরিয়াল উপপাদ্য থেকে আরও নির্ভুল অবস্থা সমীকরণ পাওয়া সম্ভব হবে। এই কারণেই ভিরিয়াল উপপাদ্যের প্রস্তুত গুরুত্ব।

### ৭.৯ সর্কিঞ্চিতকের সাহায্যে অবস্থা সমীকরণের সংক্ষেপণ

7.6.3 সূত্রসমূহে লক্ষ সর্কিঞ্চিতকগুলির মান ব্যবহার ক'রে ভ্যানডারওয়াল্স্‌ সমীকরণকে নিম্নের মত লেখা যায় :

$$\left(p_r + \frac{3}{V_r^2}\right) (V_r - \frac{b}{r}) = \frac{RT_r}{r}, \quad 7.9.1$$

এখানে  $p_r = \frac{p}{p_c}$ ,  $V_r = \frac{V}{V_c}$  ও  $T_r = \frac{T}{T_c}$ । এই সমীকরণকে ভ্যানডার-ওয়াল্স্‌ সমীকরণের সংক্ষিপ্ত (reduced) রূপ বলা যায়। 7.9.1 সমীকরণে এমন কোন ধূধূক নেই যার এক এক পদার্থের জন্য এক এক মান ব্যবহার করা প্রয়োজন। সর্কিঞ্চিতকগুলির মান জানা থাকলে এই সমীকরণ যে কোনও পদার্থের ক্ষেত্রে  $p_r$ ,  $V_r$ ,  $T_r$  এই তিনিটি চলরাশির যে কোনও দুইটি যদি এক হয় তবে তৃতীয় চলরাশিটিও এক হবে। এই নিয়মকে ‘তুল্যাবস্থার নিয়ম’ (Law of Corresponding States) বলে।

বাস্তবক্ষেত্রে এই নিয়ম খাটে না। বিভিন্ন পদার্থের অণুর গঠন এবং সেইহেতু তাদের পারম্পরিক আকর্ষণের প্রকৃতি ও সমোক্তরেখার আকৃতি

বিভিন্ন। কেবলমাত্র অক্ষের সঙ্কোচন বা প্রসারণ থাকা বিভিন্ন পদার্থের সমূক্ষেরেখাগুলিকে সমস্থানিক (coincident) করা যায় না।

### ৭.১০ অক্ষাংশ অবস্থা সমীকরণ

বাস্তব গ্যাসের আচরণ ভ্যানডার ওয়াল্স সমীকরণ অপেক্ষা আরও সঠিকভাবে নির্দেশিত করার জন্য বহুসংখ্যক অবস্থা সমীকরণ প্রস্তুতি হ'য়েছে। এগুলির কোনটির তত্ত্বগত যৌক্তিকতা বর্তমান, কোনটি সম্পূর্ণ প্রায়োগিক (empirical)। এরূপ কয়েকটি সমীকরণ এখানে আলোচিত হ'ল।

#### (i) বার্থেলেটের (Berthelot) সমীকরণ :

ভ্যানডারওয়াল্স সমীকরণের ধূবক ' $a$ ' এর পরিবর্তে  $\frac{a}{T}$  ব্যবহার করে এই সমীকরণ পাওয়া যায় :

$$\left( p + \frac{a}{V^2 T} \right) (V - b) = RT \quad 7.10.1$$

ভ্যানডারওয়াল্সের ' $a$ ' ধূবকের উক্তভান্নির্ভরতা পূর্বেই অনুমিত হয়েছে, সূতৰাং এক্ষেত্রে  $\frac{a}{T}$  এর ব্যবহার সম্পূর্ণ অযোক্তিক নয়। সর্কিবিল্ডুর সমীপবর্তী অঞ্চলে এই সমীকরণ ভ্যানডারওয়াল্স সমীকরণের মতই অপ্রযোজ্য। অপেক্ষাকৃত অস্প চাপে এই সমীকরণ ভ্যানডার ওয়াল্স সমীকরণ অপেক্ষা ভাল কাজ করে, যদিও এই সমীকরণে বাবস্তু ধূবকের সংখ্যা ভ্যানডারওয়াল্স সমীকরণের চেয়ে বেশী নয়।  $V_c$  এবং  $\frac{RT_c}{P_c V_c}$  এর মান এই সমীকরণেও ব্যাক্তমে 3b ও  $\frac{1}{V_c}$  পাওয়া যায়।

বার্থেলেটের সমীকরণকে সংকুচিত করে লেখা যায় :

$$pV \left( 1 + \frac{3}{p_r V_r^2 T_r} \right) \left( 1 - \frac{1}{3V_r} \right) = RT \quad 7.10.2$$

পরীক্ষালক্ষ ফলের সংগে অধিকতর সংক্ষিপ্ত জন্য সম্পূর্ণ প্রায়োগিকভাবে এই সমীকরণকে কিছুটা পরিবর্তিত করা হয় :

$$pV \left( 1 + \frac{16}{3p_r V_r^2 T_r} \right) \left( 1 - \frac{1}{4V_r} \right) = RT \quad 7.10.3$$

সর্কিবিল্ডুর নিকটবর্তী অঞ্চল ব্যতীত শেষোন্ত সমীকরণ সুপ্রযোজ্য হতে দেখা দেখা যায়।

## (ii) ক্লসিয়াসের (Clausius) সমীকরণ :

বার্থেলট সমীকরণে চাপের শূন্ধি নির্দেশক রাশিতে  $V$  এর পরিবর্তে  $V + c$  ব্যবহার করলে ক্লসিয়াসের সমীকরণ পাওয়া যায় :

$$\left( p + \frac{a}{(V+c)^2 T} \right) (V - b) = RT \quad 7.10.4$$

অর্তারিত ধূৰক  $c$  ব্যবহারের ফলে এই সমীকরণ কোন কোন গ্যাসের ক্ষেত্রে ভ্যানডার ওয়াল্স সমীকরণ অপেক্ষা ভাল কাজ করে কিন্তু সব গ্যাসের ক্ষেত্রে নয়। মোটের উপর এই সূত্র ব্যবহারের কোন বাড়িত সুবিধা নেই।

## (iii) ডিটেরিসি (Dieterici) সমীকরণ :

গ্যাস-অণুর আসঞ্চন (cohesion) জ্ঞানত বলের জন্য গ্যাসের সীমানাম অণুর দ্বন্দ্বের পরিবর্তন বিবেচনা ক'রে ডিটেরিসি এই সমীকরণে উপনীত হন :

$$p = \frac{RT}{V-b} e^{-\frac{a}{RTV}} \quad 7.10.5$$

অল্পচাপে ষথন  $V$  এর মান  $b$  অথবা  $\frac{a}{RT}$  এর তুলনাম বৃহৎ হয়, তখন

7.10.5 সমীকরণ ভ্যানডার ওয়াল্স সমীকরণে পরিগত হয়, কেননা এই অবস্থায়

$$p e^{\frac{a}{RTV}} = p \left( 1 + \frac{a}{RTV} \right) = p + \frac{a}{V} \text{।}$$

ডিটেরিসি সমীকরণ অনুধাবী  $V_0 - 2b$  এবং  $\frac{RT_0}{p_0 V_0} - \frac{e^a}{2}$  বা  $3.695$ । এই দুই মান পরীক্ষালক্ষ মানের অপেক্ষাকৃত অধিক নিকটবর্তী।

## (iv) সাহা ও বস্তুর সমীকরণ :

$$p = \frac{RT}{2b} e^{-\frac{a}{RTV} \log_e \left( \frac{V-2b}{V} \right)} \quad 7.10.6$$

সাহা ও বস্তু পরিসংখ্যানমূলক তাপগার্তিবিদ্যা থেকে এই সমীকরণ প্রতিষ্ঠিত করেন।  $b << V$  হ'লে এই সমীকরণ ডিটেরিসি সমীকরণের অনুরূপ হয়।  $\frac{RT_0}{p_0 V_0}$  রাশির মান এই সমীকরণ অনুধাবী  $3.53$ , সুতরাং ভ্যানডার ওয়াল্স সমীকরণ অপেক্ষা এই মান অধিকত ব্যাক্তবানুগ।

## (v) ক্যালেন্ডার (Callendar) সমীকরণ :

$$V - b = \frac{RT}{P} - c \left( \frac{T^{\circ}}{T} \right)^n$$

এই সমীকরণ বিশেষতঃ স্টীমের ক্ষেত্রে প্রযুক্ত হয়।  $b$  ও  $c$  এখানে অনিদিক্ষিত মূলক এবং  $n$  স্টীমের বৃক্ষতাপ প্রক্রিয়ার সূত্ৰ

$$\frac{P}{T^{n+1}} - মূলকাণ্ড$$

এর মধ্যে ব্যবহৃত পর্যাপ্তি (parameter)।

অধিকতর সংখ্যক অনিদিক্ষিত মূলক ব্যবহার ক'রে আৱও অনেক অবস্থা সমীকরণ প্রক্রিয়াজ হ'য়েছে। এই সকল সমীকরণের ব্যবহারিক উপযোগিতা থাকলেও তত্ত্বগত সাফল্য ততটা উল্লেখযোগ্য নয় কেননা যথেষ্ট অধিকসংখ্যক অনিদিক্ষিত মূলকাণ্ডশক্তি কোনও সমীকরণের সংগে যে কোনও সেখেরই সমস্য হ'তে পারে। প্রকৃতপক্ষে কোন অবস্থা সমীকরণই সকল গ্যাসের ক্ষেত্রে সমানভাবে কাজ করতে পারে না। অণ্ডুর গঠনের সংগে  $E(r)$  (7.8.6 সূত্র) এর সম্পর্ক বিদ্যমান, সুতরাং অবস্থা সমীকরণও বিশেষ গ্যাসের প্রকৃতির উপর নির্ভরশীল হবে।

## ব্রাউনোয় গতি

### ৮.১ আউনৌয় গতির প্রকৃতি

গ্যাসের অণ্ড সাধারণভাবে অতি শক্তিশালী অণ্ডবীকণের সাহায্যেও দেখা যায় না। সুতরাং অণ্ডে যে অবিরাম গতির উপর গ্যাসের আণবিক তত্ত্বের ভিত্তি, সেই গতি প্রতাক্ষ করা যায় না। অপরপক্ষে যে সকল বৃহৎ (macroscopic) বস্তুর গার্তিবিধি সহজেই লক্ষ্য করা যায় সেরূপ কোন বস্তুকে কোন গ্যাসের মধ্যে রাখা হ'লে তার উপর যুগপৎ বিশালসংখ্যক গ্যাস-অণ্ডের সংঘর্ষ ঘটে। কিন্তু এই সংঘর্ষগুলি চতুর্দিক থেকে সমানভাবে হয়, ফলে লক্ষ ভরবেগের হার অতি সামান্যই হয়। উপরন্তু ঐ বস্তুর ভর তুলনায় অধিক হওয়ায় সামান্য বল থেকে জাত হৃত ইন্সুয়্যুল হ'তে হ'লে পৃথিবীর বাতাসবরণে জীবনযাপন দুর্বল হ'ত।) আণবিক ও বৃহৎ, এই দুই পরিমাপের মাঝামার্বি, অণ্ডবীক্ষণদৃশ্য (microscopic) পরিমাপের বস্তুকণার ক্ষেত্রে সময়বিশেষে এই দুই অসুবিধাই দূরীভূত হ'তে পারে। তরল বা গ্যাসের মধ্যে এই ধরনের বস্তুকণ প্রলাহিত (suspended) রেখে অণ্ডবীক্ষণের সাহায্যে তার গতি-প্রকৃতি নির্ধারণ করা যায়। বর্তমান অধ্যায়ে এই ধরনের পরীক্ষার বিষয় আলোচনা করা হবে।

অণ্ডবীক্ষণদৃশ্য বস্তুকণার গার্তিবিধি সর্বপ্রথম লক্ষ্য করেন রবার্ট ব্রাউন (Robert Brown, 1827) নামে এক উচ্চদর্শী। অণ্ডবীক্ষণের সাহায্যে জলের মধ্যে প্রলাহিত পরাগরেণ্ডু নিরীক্ষণের সময় তিনি রেণ্ডগুলির এক অবিরাম ইত্ততঃ সগ্নরণ লক্ষ্য করেন। এই গতি সম্পূর্ণ অনিয়ন্ত্রিত ও বিশৃঙ্খল (random); কোন একটি রেণ্ডকণার গতি নিকটবর্তী অন্য রেণ্ডকণার গতির সংগে সম্পূর্ণ সম্পর্কবিহীন। সুতরাং ঐ রেণ্ডের গতি জলের মধ্যে কোন ঘূর্ণস্থোত বা পরিচলন-স্থোত থেকে উৎপন্ন এবং ব্যাখ্যাও থাটে না। পরবর্তী অংশে বর্ণিত জাঁ পেরিন (Jean Perrin)র পরীক্ষা থেকে আরও সুলভভাবে প্রমাণিত হয় যে তরল বা গ্যাসের মধ্যে প্রলাহিত বস্তুকণার এই গতির কারণ এ তরল বা গ্যাসের অণ্ডের সংগে সংঘর্ষ দ্বারা প্রাপ্ত ভরবেগ।

প্রকৃতপক্ষে এই ধরনের ব্যুকণাকে তরল বা গ্যাসের সংগে তাপসাময়ে অবস্থিত আদর্শ গ্যাসের অণু হিসাবে দেখা যায়। তাপসাময়ের ফলে প্রলম্বিত ব্যুকণ নিজস্ব আকার নির্বিশেষে গড়ে  $\frac{1}{2} kT$  পরিমাণ ঐরাধিক গতীয় শক্তি লাভ করে। ব্যুকণের ভর যত অধিক হয় তার গতিবেগ ততই অপে হয়, সেইজন্মাই অতি বৃহৎ কণার গতি দৃশ্যমান হয় না। পেরী (1908) এক পরীক্ষার উচ্চতার সংগে তরলের মধ্যে প্রলম্বিত ব্রাউনীয় কণকার ঘনত্বসংখ্যার পরিবর্তন পর্যবেক্ষণ করেন। পরবর্তী দুই অংশে আলোচিত পেরীর এই পরীক্ষায় উপরের ধারণার সমর্থন পাওয়া যায়।

## ৪.২ পেরীর পরীক্ষার উভগত ভিত্তি

ব্রাউনীয় কণকাগুলি যদি আদর্শ গ্যাস-অণুর মত আচরণ করে তবে অভিকর্ষক্ষেত্রে আদর্শ গ্যাস-অণুর উচ্চতার বন্টনসূত্র প্রলম্বিত কণকাগুলির উপরেও প্রযোজ্য হবে।

সমান উচ্চতা ও একক প্রস্থচ্ছেদবিশিষ্ট গ্যাসের এক উপরে স্থত কম্পনা করা যাক। যে কোনও অনুভূমিক তল থেকে  $z$  উচ্চতায় এই গ্যাসের এক অনুভূমিক স্তরের বেধ  $dz$  ধরা যাক। এই স্তরের উপরে ও নীচে গ্যাসের চাপ যথাক্রমে  $p + dp$  ও  $p$ । অণুর ভর  $m$  ও ঘনত্বসংখ্যা  $n$  হ'লে  $p = nkT$  এবং শ্রমধ্যস্থ গ্যাসের ঘনত্ব  $\rho = mn$ ।  $dz$  বেধের এই গ্যাস স্তরের সাম্য বিবেচনা করে পাওয়া যায়

$$p = p + dp + gpdz \quad \text{অর্থাৎ} \quad dp = -gpdz \quad 4.2.1$$

$dp$  এর মান খণ্ডাক হওয়ার অর্থ এই যে উচ্চতাবৰ্ধক সংগে চাপ কমে।  $p$  ও  $\rho$  এর মান বাবহার ক'রে পাওয়া যায়

$$dn \cdot kT = -mgndz$$

এই সূত্রকে সমাকলন ক'রে এবং  $z_0$  উচ্চতায়  $n$  এর মান  $n_0$  ধ'রে পাওয়া যায়

$$n = n_0 e^{-\frac{mg}{kT}(z - z_0)} \quad 4.2.2$$

4.2.2 সূত্র বায়ুমণ্ডলে উচ্চতার সঙ্গে বায়ুর অণুসমূহের ঘনত্বসংখ্যার পরিবর্তন সূচিত করে এবং সাধারণভাবে এই সূত্র ‘লাপ্লাসের বায়ুমণ্ডল সূত্র’ (Laplace's Law of Atmospheres) নামে খ্যাত। পূর্বোত্ত ধারণা অনুযায়ী এই সূত্র ব্রাউনীয় কণকার ক্ষেত্রেও প্রয়োগ করা যেতে পারে।

একেকে  $m$  এর প্রলম্বে তরলে প্রলম্বিত গ্রাউন্ডের কণিকার কার্যকরী ভর, অর্থাৎ তরলের প্রবর্তা (buoyancy) হেতু কণিকার হূসপ্রাপ্ত ভর ব্যবহৃত হবে :

### ৮.২.২ স্থানুযায়ী, র্দিস গোলকারূপি গ্রাউন্ডের কণিকার ব্যাসার্থ - a

$$\text{কণিকা ও তরলের ঘনত্ব } (\text{ব্যাক্তিমে}) = d, d'$$

$$\text{ও আভোগাড়ো সংখ্যা} \quad = N_o$$

হয় তবে

$$n = n_o e^{-\frac{4\pi a^3 N_o g}{3RT} (d - d') (z - z_o)} \quad 8.2.3$$

এবং সেই সংগে

$$N_o = \frac{3RT}{4\pi a^3 g (d - d') (z - z_o)} \cdot \log_e \frac{n_o}{n} \quad 8.2.4$$

পেরীর পরীক্ষার গ্রাউন্ডের কণিকার ক্ষেত্রে উপরের আলোচনার ব্যাথার্থ দুইভাবে পরীক্ষিত হয়। প্রথমতঃ, উচ্চতার সংগে  $n$  এর পরিবর্তন 8.2.3 স্থানুযায়ী হয় কিনা দেখা যেতে পারে। দ্বিতীয়তঃ, 8.2.4 সূত্র থেকে আভোগাড়ো সংখ্যার মান নির্ণয় ক'রে অন্যান্য উপায়ে নির্ণীত মানের সংগে মেলানো যেতে পারে। এই দুই উদ্দেশ্যে পরিচালিত পেরীর পরীক্ষা পরবর্তী অংশে বর্ণিত হবে।

## ৮.৩ পেরীর পরীক্ষার বর্ণনা

পেরীর পরীক্ষার জলের মধ্যে গ্যাসেজ ও ম্যাস্টিকের (বৃক্ষজাত রস্তন-জাতীয় গিদ) গোলকারূপি কণিকার প্রলম্বন ব্যবহৃত হয়। আংশিক অপকেন্দ্রনের (fractional centrifuging) সাহায্যে প্রলম্বনের মধ্যে কেবলমাত্র সমান আকারের কণিকা পৃথক ক'রে নেওয়া হয়। এই প্রলম্বনের কয়েক বিচ্ছুমাত্র ০.১ মিলিমিটার গভীর কাচের পাতের আবরণবিশিষ্ট এক কক্ষে রাখা হয়। অতি অল্প ফোকাস-গভীরতা (depth of focus) বিশিষ্ট অণু-বীক্ষণের সাহায্যে এই প্রলম্বনের মধ্যে দৃষ্টিপাত করলে দৃষ্টিক্ষেত্রে মাত্র কয়েক মাইক্রো গভীরতার মধ্যে অবশ্যিত কণিকাগুলি স্পষ্টভাবে নজরে আসে। একই ক্ষেত্রে স্পষ্টভাবে দৃষ্টি কণিকার সংখ্যা অনেকবার গণনা করলে গড় সংখ্যাটিকে ঐ ক্ষেত্রের ঘনত্ব সংখ্যার সমানুপাতী হিসাবে ধরা যায়। অণু-বীক্ষণিটিকে বিভিন্ন ক্ষেত্রের উপর ফোকাস ক'রে এই উপায়ে বিভিন্ন উচ্চতার প্রলম্বিত কণিকার ঘনত্বসংখ্যার তুলনামূলক মান সহজেই নির্ণীত হয়। পেরীর পরীক্ষার  $\log_e \frac{n_o}{n}$

ও  $(z - z_0)$  সমানুপাতী হ'তে দেখা যাব, যার থেকে  $n$  এর উচ্চতানির্ভরতার সূচক (exponential) নিয়মের সত্ত্বা প্রমাণিত হয়।

আভোগাড়ো সংখ্যা নির্ণয়ের জন্য কণিকাগুলির আকার ও ঘনত্বও জানা প্রয়োজন। কণিকার আকার জানার জন্য সাধারণভাবে স্টোকস সূত্রের (Stokes' law) সাহায্য নেওয়া হয়। একই প্রস্তুতি কোন কৈশিক নলের মধ্যে রাখা হ'লে কণিকাগুলি সমগ্রিতে নিম্নাভিমুখে পড়তে থাকে। প্রলম্বনের উপরের স্থচ অংশের দৈর্ঘ্য যে হাবে বৃক্ষ পায় তার থেকে কণিকার পতনের বেগ পাওয়া যাব। স্টোকস সূত্র অনুযায়ী এই বেগের মান ( $v$ ) থেকে কণিকার ব্যাসার্ধ  $a$  এর মান পাওয়া যাব। তরলের সম্মতাক্ষ  $\eta$  হ'লে

$$a = \left[ \frac{9}{2g} \cdot \frac{\eta v}{d - d'} \right]^{\frac{1}{2}} \quad 8.3.1$$

কণিকার ঘনত্ব  $d$  নির্ণয় করতে  $V$  আয়তনের প্রলম্বনের ভর  $m$  ও তার মধ্যে কণিকাগুলির ভর  $m'$  জানা প্রয়োজন। নির্দিষ্ট আয়তনের প্রলম্বনের জলীয়াৎ বাস্পীভূত ক'রে অবশিষ্ট কঠিন অংশের ভর নির্ণয় করেই  $m'$  পাওয়া যাব। জলের ঘনত্ব  $d_0$  হ'লে  $V$  আয়তনের মধ্যে কেবলমাত্র জলের আয়তন  $\frac{m - m'}{d_0}$ । কণিকার মোট আয়তন  $V - \frac{m - m'}{d_0}$ , সূতৰাং

$$d = \frac{m'}{V - \frac{m - m'}{d_0}} \quad 8.3.2$$

$a$  ও  $d$  এর মান জানা গেলে 8.2.4 সূত্র থেকে সহজেই  $N_0$  এর মান জানা যাব। পের্য়া এবং পরীক্ষার সাহায্যে আভোগাড়ো সংখ্যার মান নির্ধারণ করেন  $(6.5-7.2) \times 10^{23}$ । এই সংখ্যা আভোগাড়ো সংখ্যার সূক্ষ্মভাবে নির্ণিত মান অপেক্ষা কিছু অধিক হ'লেও মোটামুটিভাবে সঠিক। বিশেষতঃ  $\eta$ ,  $a$  ও উক্তার অতিমাত্রায় বিভিন্ন মানেও পের্য়ার পরীক্ষায়  $N_0$  এর মান প্রায় একই পাওয়া যাব। এবং এর থেকে আমাদের 8.2.3 ও 8.2.4 সূত্রের ভিত্তিবৃত্ত অঙ্গীকার—ଆউনীয় কণিকা ও গ্যাস-অণ্ড আচরণসাদৃশ্য—সম্মেহাত্মকভাবে প্রমাণিত হয়।

## ৮.৪ ত্রৈধিক আউনীয় গতি

ଆউনীয় গতির প্রকৃতি সম্পর্কে যে ধারণা ইতিপূর্বে প্রতিষ্ঠিত হয়েছে এখন তার উপর ভিত্তি ক'রে আউনীয় কণিকার ত্রৈধিক গতির (translational

motion) তত্ত্বগত আলোচনা করা যেতে পারে। আইনস্টাইন (Einstein, 1906), অলুকভীস্কি (Smoluchowski, 1906) ও লাঙ্জৰ্ভার (Langevin, 1908) বিশ্লেষণে নির্দিষ্ট সময়ে কোন একটি ব্রাউনীয় কণিকার মোট সরণের (displacement) গড় মানের সংগে আভোগাঞ্জোর সংখ্যার সম্পর্ক নির্ণ্যাত হয়। এই অংশে লাঙ্জৰ্ভার ও আইনস্টাইনের পক্ষাত্তে উল্লিখিত সম্পর্ক প্রমাণিত হবে।

### লাঙ্জৰ্ভার পক্ষতি

কোন একটি ব্রাউনীয় কণিকার উপর প্রলম্বনের মধ্যস্থ অন্যান্য অণু-সর্বদাই যে বল প্রয়োগ করে, তার মিলিত ঘোগফলকে দুইভাগে ভাগ করা যায়। ধরা যাক, কণিকার নিশ্চল অবস্থাতেও তার উপর প্রযুক্ত বলসমূহের অপ্রতিমিত (unbalanced) ঘোগফল, অর্থাৎ যে বল ব্রাউনীয় গতি উৎপন্ন করে, তার মান:  $\vec{P}$ । এছাড়া  $v$  গতিবেগবিপিষ্ঠ ব্রাউনীয় কণিকার উপর প্রলম্বনের তরল বা গ্যাসের সান্ততা হেতু যে বল ক্রিয়া করে তার মান  $\vec{F}$ । গোলাকার কণিকার ক্ষেত্রে স্টোক্স সূত্র অনুযায়ী

$$\vec{F} = -6\pi a \eta v$$

যার মধ্যে  $a$ —কণিকার ব্যাসার্ধ ও  $\eta$  প্রলম্বনের সান্ততাপ্রক।  $\vec{F}$  এর মান অণুস্থাক কেননা সান্ততাজনিত বল সর্বদাই গতিবেগের বিপরীতদিকে ক্রিয়া করে। ব্রাউনীয় কণিকার গতিবেগের সূত্র লেখা যেতে পারে :

$$mr = \vec{P} - 2br \quad (2b = 6\pi a \eta) \quad 8.4.1$$

কোন ব্রাউনীয় কণিকা নির্দিষ্ট সময়ে যে দূরত্ব অর্তক্রম করে, বিশেষ কোন এক অক্ষ  $x$ -অভিযুক্ত তার উপাংশের মান  $\Delta x$  ধরা যাক। পরীক্ষার দ্বারা প্রকৃতপক্ষে  $(\Delta x)^2$  এর গড় মানই পর্যামিত হয়।  $(\overline{\Delta x})^2$  এর তাত্ত্বিক মান নির্ণয় করতে 8.4.1 সূত্রের  $x$ -উপাংশ ব্যবহার করা প্রয়োজন :

$$m\ddot{x} = P_x - 2bx' \quad (P_x = \vec{P} \text{ এর } x \text{ উপাংশ})$$

উপরের সূত্রকে  $x$  দ্বারা গুণ ক'রে, ও

$$x \dot{x} = \frac{d}{dt} (x^2)$$

$$x \ddot{x} = \frac{d^2}{dt^2} (x^2) - (\dot{x})^2$$

সূত্রম ব্যবহার ক'রে পাওয়া থায়

$$\frac{m}{2} \frac{d^2}{dt^2}(\bar{x}^2) - m(\dot{x})^2 = xP_x - b \frac{d}{dt}(\bar{x}^2) \quad 8.4.2$$

এক বৃহৎসংখাক কণিকার ক্ষেত্রে 8.4.2 সমীকরণের উভয় পার্শ্বের গড় মান নির্ধারণ করা থাক। গতীয় অঙ্কিত সময়ভাজন নীতি থেকে  $\overline{m(\dot{x})^2} = kT$ ; এবং যেহেতু  $x$  ও  $P_x$  এর মান সমান সন্তান্যতায় ধরায়ক ও অগোল্পিত হ'তে পারে,  $\bar{xP_x} = 0$ । এই উপায়ে পাওয়া থায় :

$$\frac{m}{2} \frac{d^2}{dt^2}(\bar{x}^2) - kT = -b \frac{d}{dt}(\bar{x}^2) \quad 8.4.3$$

ধরা থাক  $\frac{d}{dt}(\bar{x}^2) = z$ । 8.4.3 থেকে

$$\frac{m}{2} \frac{dz}{dt} = kT - bz \quad 8.4.4$$

এই সমীকরণ সমাকলনযোগ্য।  $t=0$  সময়ে  $\frac{d}{dt}(\bar{x}^2) - 2\bar{x}\dot{x} = 0$  কেননা

এই সময়ে  $x$ -এর মান শূন্য থাকে।

$$\text{সূত্রাঃ } \int^z_{kT-bz} \frac{dz}{kT-bz} = \int^t_0 \frac{2}{m} dt$$

$$\text{বা } z = \frac{kT}{b} \left( 1 - e^{-\frac{2b}{m} \cdot t} \right) \quad 8.4.5$$

$\bar{x}^2$  এর মান পরীক্ষাধারা পরিমাপযোগ্য।  $t=0$  ও  $t=\tau$  সময়ের মধ্যে অণুর  $x$ -অক্ষে সরণ ঘন্ডি  $\Delta x$  হয় তথ্যে

$$(\bar{\Delta x})^2 = \int_0^\tau z dt = \frac{kT}{b} \left[ \tau + \frac{m}{2b} \left( e^{-\frac{2b}{m} \cdot \tau} - 1 \right) \right]$$

ভাউনীয় কণিকার ক্ষেত্রে, মোটায়ুটিভাবে  $a=10^{-4}$  cm,  $\eta=10^{-2}$  poise ও  $d=1$  gm cm<sup>-3</sup> ধরা হ'লে

$$\frac{m}{2b} = \frac{\frac{4}{3}\pi a^3 d}{6\pi a\eta} = 10^{-7} \text{ sec}$$

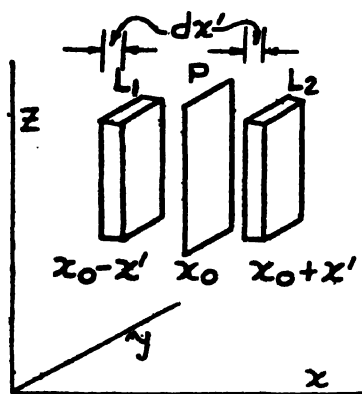
এই অবস্থায়  $\frac{m}{2b} < < \tau$ , কেননা পরীক্ষায়  $\tau$  এর ব্যবস্থত মান=20 sec।

$$\text{সূত্রাঃ } (\bar{\Delta x})^2 = \frac{kT}{b} \cdot \tau = \frac{RT}{3\pi a\eta N_0} \cdot \tau \quad 8.4.6$$

## আইনস্টাইলের পদ্ধতি

আইনস্টাইল প্রথমতঃ ভাউনীয় কণকার বিশ্লেষণ গতিজ্ঞিত ব্যাপমের পরিমাণ নির্ধারণ করেন। কণকার আপ্তবণপ্রসূত (Osmotic) চাপের ফলে ব্যাপনের যে পরিমাণ প্রত্যাখা করা যায় তার সঙ্গে পূর্বের পরিমাণের সমতা থেকে আইনস্টাইল ৪.৬ সূত্র প্রমাণ করেন।

ধরা যাক প্রতিষ্ঠিত কণকার ঘনসংখ্যা  $n$   $x$ -অক্ষ অভিমুখে  $\frac{dn}{dx}$  হারে শৃঙ্খল পায়।  $x$ -অক্ষের উপর লম্ব এক সমতল  $P$  (চিত্র ৮.১) কম্পনা করা



চিত্র ৮.১

যেখানে ঘনসংখ্যার মান  $n_0$ ।  $P$  সমতলের নির্দেশাংক  $x - x_0$ ।  $x = x_0 - x'$  ও  $x = x_0 + x'$  নির্দেশাংকে  $P$  তলের সমান্তরাল,  $A$  ক্ষেত্রফল ও  $dx'$  বেধিবিশিষ্ট দুইটি শরণ  $L_1$  ও  $L_2$  কম্পনা করা যাক। এই দুই শরণে কণকার ঘনসংখ্যা বিধানমে  $n_0 - \frac{dn}{dx} \cdot x'$  ও  $n_0 + \frac{dn}{dx} \cdot x'$ । ভাউনীয় গতির ফলে কোন একটি কণকা  $\tau$  সময়ে  $x$  অক্ষ অভিমুখে যে দূরত্ব অতিক্রম করে তার মান  $\xi$  ও  $\xi + d\xi$  এর মধ্যে থাকার সম্ভাব্যতা  $f(\xi)d\xi$  ধরা যাক।

$$\int_{-\infty}^{\infty} f(\xi)d\xi = 1$$

$$\text{এবং } f(\xi) = f(-\xi)$$

$L_1$  শরে থেকে বাই হ'য়ে যে সংখ্যক কণিকা  $\tau$  সময়ে  $P$  কে অভিক্রম করে তার মান

$$A dx' \left( n_0 - \frac{dn}{dx} \cdot x' \right) \int_{x'}^{\infty} f(\xi) d\xi \quad 8.4.7 a$$

এবং অনুরূপভাবে  $L_2$  থেকে বাই হ'য়ে যে সংখ্যক কণিকা  $\tau$  সময়ে  $P$  কে অপর দিক থেকে অভিক্রম করে তার মান

$$A dx' \left( n_0 + \frac{dn}{dx} \cdot x' \right) \int_{-\infty}^{-x'} f(\xi) d\xi \quad 8.4.7 b$$

$p$  তলের মধ্য দিয়ে  $\tau$  সময়ে  $L_2$  শরের দিক থেকে  $L_1$  এর দিকে ( অর্থাৎ  $n$  এর উর্ধ্বাতির বিপরীত মুখে ) প্রবাহিত কণিকার মোট সংখ্যা 8.4.7 সূত্রসমের বিবরণফলকে  $x'$  এর সকল মানের জন্য সমাকলন ক'রে পাওয়া যাবে :

$$\begin{aligned} & \int_{x'=0}^{\infty} A dx' \left[ \left( n_0 + \frac{dn}{dx} \cdot x' \right) \int_{-\infty}^{-x'} f(\xi) d\xi - \left( n_0 - \frac{dn}{dx} \cdot x' \right) \int_{x'}^{\infty} f(\xi) d\xi \right] \\ &= - \int_{x'=0}^{\infty} 2A dx' \cdot \frac{dn}{dx} \cdot x' \int_{x'}^{\infty} f(\xi) d\xi \quad (\because \int_{-\infty}^{-x'} f(\xi) d\xi = - \int_{x'}^{\infty} f(\xi) d\xi) \\ &= 2A \frac{dn}{dx} \int_{\xi=0}^{\infty} f(\xi) d\xi \int_{x'=0}^{\xi} x' dx' \quad (\text{সমাকলনের সীমা পুর্ণবিন্যাসের সাহায্যে}) \\ &= - A \frac{dn}{dx} \cdot \int_0^{\infty} \xi^2 f(\xi) d\xi \quad 8.4.8 \\ &= - \frac{1}{2} A \frac{dn}{dx} \cdot \overline{\xi^2} \end{aligned}$$

এখানে  $\overline{\xi^2} = \int_{-\infty}^{\infty} \xi^2 f(\xi) d\xi = \tau$  সময়ে কণিকার সরণের  $x$ -উপাংশের গড়-

বগমান। গ্রাউনীয় কণকার ব্যাপনাকের মান  $D$  হলে ৪.৪.৮ গ্রামিলা  $DA\tau \frac{dn}{dx}$  এর সমান হবে। অর্থাৎ

$$D = \frac{\xi^*}{2\tau} \quad 8.4.9$$

এই ব্যাপন আন্তরণপ্রসূত চাপের তাত্ত্বিক ফলে ঘটে এই দৃষ্টিভঙ্গী থেকে ব্যাপনাকের মান নির্ণয় করা যাব। এই চাপের পরিমাণ যে কোনও বিশুভ্রত

$$p = nkT$$

এবং একক আয়তনের মধ্যস্থ অণুসমূহের উপর মোট কার্যকরী বলের  $x$ -উপাংশ  $\frac{dp}{dx}$  বা  $kT \frac{dn}{dx}$ । প্রতি কণকার উপর প্রযুক্ত বলের  $x$ -উপাংশ  $\frac{kT}{n} \cdot \frac{dn}{dx}$ ।

এই বলের জন্য কণকার কোন স্থির ভরণ উৎপন্ন হয় না। তরঙ্গের সামূহিক জন্য গোলকাকৃতি কণকা এমন এক প্রাপ্তিক বেগ (terminal velocity) লাভ করে যাতে নিম্নের সূত্র সিদ্ধ হয় :

$$\frac{kT}{n} \cdot \frac{dn}{dx} = 6\pi a\eta v \quad (v = \text{প্রাপ্তিক বেগ}) \quad 8.4.10$$

কিন্তু একক সময়ে  $nv$  সংখ্যক অণু  $yz$  তলে একক ক্ষেত্রফল-বিশিষ্ট প্রস্তুত অতিক্রম করে। সূতরাং

$$nv = D \cdot \frac{dn}{dx} \quad 8.4.11$$

$$8.4.10 \text{ ও } 8.4.11 \text{ সূত্রের সাহায্যে } D = \frac{kT}{6\pi a\eta} = \frac{RT}{6\pi a\eta N_0} \quad 8.4.12$$

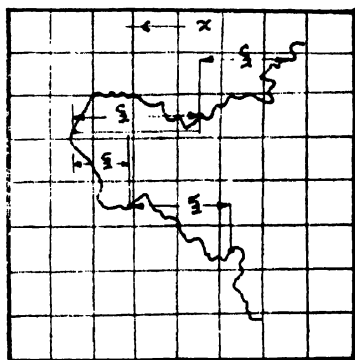
এখন ৪.৪.৯ ও ৪.৪.১২ সূত্রের  $D$  এর দুই মানকে সমান ধরে পাওয়া যাব।

$$\xi^* = \frac{RT}{3\pi a\eta N_0} \cdot \tau \quad 8.4.13$$

৪.৪.৬ বা ৪.৪.১৩ সূত্রকে আইনস্টাইন-স্যালুক্তিক সূত্র বলা হয়।

আইনস্টাইন-স্যালুক্তিক সূত্রের সত্ত্বাত পরীক্ষার জন্য গ্রাউনীয় কণকার ক্ষেত্রে  $\xi^*$  এর মান জানা প্রয়োজন।  $\xi^*$  এর মান নির্ণয় করতে পেরো নিরোক্ত উপায় অবলম্বন করেন।

অনুবীক্ষণে ভাউনীয় কাণিকার গতি পর্যবেক্ষণকালে পের্সো এক অঙ্গার্থিত (calibrated) পচাদপট ব্যবহার করেন (চিত্র ৮.২)। নির্দিষ্ট সময় অন্তর কোন এক কাণিকার অবস্থান পরিলক্ষিত হয় এবং সেই অবকাশে কাণিকাটি  $x$ -অক্ষ অভিযুক্ত যে দূরত্ব অতিক্রম করে তার মান নির্ণ্য হয়। ৬ এক অনেকগুলি মান থেকে  $\xi^*$  এর মান নির্ধারিত হয়।



চিত্র ৮.২— $\xi^*$  এর মান নির্ণয়

পের্সো গ্যারোজ প্রলম্বনের ক্ষেত্রে  $\xi$  এর অতি বৃহৎ সংখ্যক মান নির্ণয় করেন এবং সেগুলির বক্টর পরীক্ষা করেন। তত্ত্বগত ভাবে  $\xi$  এর মান  $\xi_1$  ও  $\xi_2$  এর মধ্যে থাকার সম্ভাব্যতা

$$\int_{\xi_1}^{\xi_2} \frac{1}{\sqrt{2\pi}} \cdot \frac{1}{\xi} \cdot e^{-\xi^2/\xi^2} d\xi$$

$\xi$  এর পরিলক্ষিত বক্টর ও এই স্তোর মধ্যে সুন্দর সঙ্গতি দেখা যায়। আইনস্টাইন-স্মার্কভ-ক্ষ স্তোর সমর্থনে পের্সোর পরীক্ষায় যে সকল তথ্য পাওয়া গেছে সেগুলি হ'ল : (i)  $\xi^* \tau$  এর সমানুপাতী (ii) বিভিন্ন উক্ফতায়  $\xi^*$  এর মান নির্ণয় ক'রে দেখা যায়  $\xi^* \propto \frac{T}{\eta_T - T}$  ( $\eta_T - T$  উক্ফতায়  $\eta$  এর মান) (iii) বিভিন্ন সাম্ভৃতাত্মক বিশিষ্ট তরলের প্রলম্বন ও বিভিন্ন ব্যাসার্ধ বিশিষ্ট গোলাকার কাণিকা ব্যবহার ক'রে ঐ স্তোর থেকে আভোগাড়ো সংখ্যার যে সকল মান পাওয়া যায় সেগুলি প্রায় এক। এই ধরণের পরীক্ষা থেকে পের্সোর বীক্ষিত মান  $6.85 \times 10^{38}$ ।

পেরার পরীক্ষার আইনস্টাইন-অলুকভ্র্তি সূত্রের সত্ত্বা মোটামুটিভাবে প্রমাণিত হয়। কিন্তু পরীক্ষার ফলের সৎগে এই সূত্রের পূর্ণ সম্ভতি আশা করা যায় না। তার কারণ, প্রথমতঃ, আইনস্টাইন-অলুকভ্র্তি সূত্র কেবলমাত্র আদর্শ গ্যাসের ক্ষেত্রেই প্রযোজ্য।<sup>1\*</sup> তরলে প্রলোভিত কর্ণিকা আদর্শ গ্যাস-অণুর মত আচরণ করে এই ধারণা সম্পূর্ণ বৃক্ষিক্ষুত নয়। দ্বিতীয়তঃ যেহেতু কর্ণিকাগুলি অত্যন্ত ক্ষুদ্র এবং সেগুলি সম্পূর্ণ গোলাকার নাও হতে পারে, সেগুলির উপর স্টোকসু সূত্রের প্রয়োগও বাহ্যনীয় নয়। পেরার নির্ণিত আভোগ্যাড্রোসংখ্যার মান বিভিন্ন প্রকার প্রলম্বনের ক্ষেত্রে প্রায় এক হ'লেও সম্ভবতঃ তত্ত্বগত মুটির (Systematic error) জন্য এই মানগুলি অন্যান্য পরীক্ষার দ্বারা নির্ণিত প্রামাণ্য মান ( $6 \cdot 064 \times 10^{23}$ , রসায়ন ব্যবহৃত মাত্রায়) অপেক্ষা কিছু অধিক।

### ৮.৫ গ্যাসের মধ্যে বৈদ্যুতিক আভোগীয় গতির পর্যবেক্ষণ

মিলিক্যান (Millikan) ও ফ্লেচার (Fletcher) পরিবর্ত্তাকালে (1911) তরলের পরিবর্তে গ্যাসের মধ্যে প্রলোভিত তৈলকর্ণিকার ব্রাউনীয় গতি পরীক্ষা করেন। এই পরীক্ষায় ব্যবহৃত ঘন্টা মিলিক্যানের ইলেকট্রনের আধান নির্ণয়ের জন্য ব্যবহৃত ঘন্টের অনুরূপ। অঙ্গ ক্ষুদ্র তৈলকর্ণিকাকে আহিত অবস্থায় বায়ু-বা অন্য কোন গ্যাসের মধ্যে ভাসমান রাখা হয় এবং প্রয়োজন মত তার উপর কোন বৈদ্যুতিক ক্ষেত্র প্রয়োগ করা যায়।

ধরা যাক এরূপ কর্ণিকার ক্ষেত্রে গ্যাসের সাম্ভতা হেতু যে মন্দনকারী বল ক্রিয়া করে তার মান  $F = Kv$  ( $v$  = কর্ণিকার গতিবেগ)। লক্ষণীয় যে এক্ষেত্রে  $K$  ধূরকের প্রকৃত মান জানার প্রয়োজন নেই। কর্ণিকার ভর  $m$  ও আধান ইলেকট্রন-আধানের  $n$  গুণ, অর্থাৎ  $-ne$ । কোন বৈদ্যুতিক ক্ষেত্র ব্যতীত যদি কর্ণিকাটি  $V_1$  উল্লম্ব-গতিবেগে পর্যট হয় তবে  $mg = Kv_1$ । এখন যদি  $X$  শক্তির উল্লম্ব ও নিম্নাভিমুখী বৈদ্যুতিক ক্ষেত্রে কর্ণিকাটি  $V_2$  গতিবেগে উর্ধ্বত হয় তবে  $neX - mg = Kv_2$ ।

\* ব্রাউনীয় কর্ণিকার আদর্শ গ্যাস অণুর মত আচরণ লাজভা ও আইনস্টাইন, উভয়ের গণনাতেই ধ'রে নেওয়া হ'য়েছে। আইনস্টাইনের গণনার খোলাখুলিভাবেই আদর্শ গ্যাসের  $p = nkT$  সূত্র ব্যবহৃত হ'য়েছে। লাজভা'র প্রয়াগে  $\bar{x}P_a = 0$  ধরার মধ্যে আদর্শ গ্যাসের অঙ্গীকার নিহিত আছে।  $\bar{x}P_a$  মাপণ গ্যাসের ডিজিনেলের সৎগে সম্পর্কিত ( $7 \cdot 7$  অংশ দ্রষ্টব্য)। এই মাপণের মান তখনই শূন্য হবে বখন অণুগুলিকে বিন্দুভূমি ধরা যাবে ও সংর্বকাল ব্যতীত অণুর পারম্পরিক বল ধাককে না।

$$\text{অতএব, } K = \frac{neX}{V_2 + V_1} \quad 8.5.2$$

বিজ্ঞ কণকার জন্য  $n$  এর মান বিভিন্ন পৃষ্ঠায় সমান। ফলে  $(V_1 + V_2)$  এর মানসমূহ এক সাধারণ রাশি  $\Delta(V_1 + V_2)$  এর গুণিতক হয়। এই রাশির মান থেকে  $K$  খুবকের মান জানা যায়।

$$K = \frac{eX}{\Delta(V_1 + V_2)} \quad 8.5.3$$

আইনস্টাইন-স্মাকভিক্স সূত্রে ‘ $6\pi a^2$ ’ এর পরিবর্তে 8.5.2 সূত্র দ্বারা নির্ণাত  $K$  ব্যবহার করলে পাওয়া যাবে

$$\bar{\xi}^2 = \frac{2RT}{KN_0} \tau \quad 8.5.3$$

মিলিক্যান ও ঝেচার তৈলকণ্ঠকার ড্রাউনীয় গতি পর্যবেক্ষণের জন্য বৈদ্যুতিক ক্ষেত্রে শক্তি নির্বাচিত ক'রে কণকার উপর গতি প্রতিষ্ঠিত করেন। এই অবস্থায় দুৰ্ব-ফোকাস বিশিষ্ট দূরবীক্ষণের সাহায্যে দৃষ্টিরেখার লম্ব-অভিমুখে কণকার অনুভূমিক গতিবেগ লক্ষ্য করা যায়। দূরবীক্ষণের দৃষ্টিক্ষেত্রে নির্দিষ্ট দূরত্বে অবস্থিত দুইটি কুশ-তারের (cross-wire) উপর তৈলকণ্ঠকার সংক্রমণের সময় নির্ণয় ক'রে নির্দিষ্ট সময়  $\tau$  এর জন্য  $\bar{\xi}$  এর গড় মান অর্থাৎ  $\bar{\xi}^2$  নিরূপিত হয়।  $\bar{\xi}^2$  এর মান

$$\bar{\xi}^2 = \frac{\pi}{2} (\bar{\xi})^2 \quad 8.5.4$$

সূত্র থেকে জানা যায়

মিলিক্যান ও ঝেচারের পরীক্ষা পেরার পরীক্ষা অপেক্ষা অনেক বেশী সূক্ষ্ম ও তত্ত্বগত অব্যোক্তিকৃত থেকে মুক্ত। এই পরীক্ষায় স্টোক্স সূত্র ব্যবহারের অথবা কণকার ব্যাসার্ধ নির্ণয়ের প্রয়োজন হয় না। গ্যাসের মধ্যে প্রলিপ্ত অবস্থায় কোন তৈলকণ্ঠকা তরলের পৃষ্ঠাটিন হেতু স্বতঃই গোলকাকৃতি লাভ করে, সূতরাং  $F = KV$  সূত্রের সত্যতা সংক্ষেপে নিশ্চিত হওয়া যায়। উপরস্থি গ্যাসের সামৃতাঙ্ক তরলের চেয়ে মোটামুটিভাবে 100 গুণ কম সূতরাং একই আকারের কণকার জন্য গ্যাসের মধ্যে  $\frac{\bar{\xi}^2}{\tau}$  এর মান 100 গুণ অধিক হয় এবং সেই অনুযায়ী অধিকতর সূক্ষ্মতার সংগে মাপা যায়।

$\bar{\xi}^2$  এর মান থেকে 8.5.2 ও 8.5.3 সূত্রের সাহায্যে  $N_0 e$  এর মান জানা যায়। এই রাশির মিলিক্যান ও ঝেচার নির্ণাত মান  $2.88 \times 10^{14}$  c.s.u.।

$e$  এবং অনুর্গাত মান ( $4.77 \times 10^{-10}$  c.s.u) ব্যবহার ক'রে মিলকান  $N_0$  এর মান পেরেছিলেন  $6.06 \times 10^{23}$  ।

#### ৮.৬ কৌণিক ভ্রাউনীয় গতি

ভ্রাউনীয় কণিকার উপর কার্যকরী বলের প্রামক কণিকাটির কৌণিক গতি সম্ভাব করে। উচ্চ সুবেদিতাসম্পন্ন ব্যাবর্ত-তুলার (torsion balance) এরূপ কৌণিক ভ্রাউনীয় গতি গবেষণাগারেই পরিলক্ষিত হ'য়েছে।

শক্তির সমর্বিভাজন নীতি থেকে আইনস্টাইন গোলার্কাত ভ্রাউনীয় কণিকার  $\tau$  সময়ের মধ্যে কৌণিক বিক্ষেপের গড় বর্গের মান নির্ধারণ করেন :

$$\bar{\theta^2} = \frac{RT}{4\pi a^3 \eta N_0} \cdot \tau \quad 8.6.1$$

( বিভিন্ন চিহ্নের অর্থ 8.4.13 সূত্রের অনুরূপ )

পেরী অপেক্ষাকৃত বড় আকারের গোলাকার ম্যাস্টিকের কণার কৌণিক ভ্রাউনীয় গতি লক্ষ্য করেন। এরূপ কণার উপর কোন দুটিচিহ্নের গার্ডিবিধি লক্ষ্য ক'রে কণার ঘূর্ণনকাল (period of rotation) নির্ণয় করা যায়। এই উপায়ে নির্ধারিত  $\frac{\bar{\theta^2}}{\tau}$  এর মান থেকে পেরী  $N_0$  এর মান লাভ করেন  $6.5 \times 10^{23}$ । পেরীর অন্যান্য পরীক্ষালক্ষ মানের সংগে এই মানের সন্তোষজনক সমস্য বর্তমান।

ଅନ୍ତର୍ଜାଲ

## ଆଣବିକ ତତ୍ତ୍ଵର ପ୍ରୟୋଗ

### ୧.୧ ଶୁଚଳା

ଗ୍ୟାସେର ଆଣବିକ ତତ୍ତ୍ଵର ବିଷୟେ ପୂର୍ବେ ଅଧ୍ୟାୟସମ୍ମହେ ସେ ଆଲୋଚନା କରା ହ'ଲ ତାର ଥେକେ ଗ୍ୟାସେର ଆଚରଣେ କରେକଟି ଦିକ୍ ସରକ୍ଷେ କିଛୁଟା ପରିମାଣଗତ ଧାରଣା ଜୟାବେ । ସେଇ ସଂଗେ ଗ୍ୟାସେର ଆଚରଣ ବିଶ୍ଲେଷଣେ କିଛୁ ପ୍ରଚାଳିତ ( ଏବଂ ପ୍ରାକ୍-କଣିକାବାଦୀ ) ଗାଣିତିକ ପର୍ଦ୍ଦିତର ସଂପର୍କେଓ ପରିଚାଳନା କରା ଯାବେ । ତବେ ଆଣବିକ ତତ୍ତ୍ଵର ଆଲୋଚନା ପଦାର୍ଥେର ସେ ପରିଧିର ମଧ୍ୟେ ସୀମିତ ରାଖା ହ'ରେହେ ସ୍ଵଭାବତଃଇ ତାର ସନ୍ଧାବ ପ୍ରୟୋଗେର ପରିଧି ତାର ଚରେ ଅନେକ ବେଶୀ ବିକୃତ । ବସ୍ତୁତଃ ପଦାର୍ଥେର ସକଳ ଧର୍ମେରଇ ଚରମ ବାଖ୍ୟା ଆଣବିକ ତତ୍ତ୍ଵର ମଧ୍ୟେ ନିହିତ । ଆଣବିକ ତତ୍ତ୍ଵର ସ୍ଵିକୃତ ପରିଧିର ବିହିର୍ଭୂତ ସେ ସବ ବିଷୟେ ଏହି ତତ୍ତ୍ଵର ଧାରଣାବଳୀ ପ୍ରୟୋଗ କ'ରେ ସାଫଲ୍ୟ ଲାଭ କରା ଗେଛେ ଏହି ଅଧ୍ୟାୟେ ସେଗୁଲିର କରେକଟି ସମ୍ଭାବିତ ହ'ଲ ।

ସେ ସକଳ ବିଷୟ ଏଥାନେ ଆଲୋଚିତ ହବେ ସେଗୁଲି ହ'ଲ (କ) ପଦାର୍ଥେର ମେରୁପ୍ରଗତା (polarizability) ଏବଂ କୋନ କୋନ ବସ୍ତୁର କ୍ଷେତ୍ରେ ଏହି ଗ୍ରାହଣ ଆପାତ-ବ୍ୟତାଯେର ବାଖ୍ୟା ଏବଂ (ଖ) ଗ୍ୟାସେର ମଧ୍ୟେ ବିଦ୍ୟୁତ-ପରିବହଣ ସଂକ୍ରାନ୍ତ ବିଭିନ୍ନ ପ୍ରକିଳ୍ପାର ବିଶ୍ଲେଷଣ ।

### ୧.୨ ପଦାର୍ଥର ମେରୁପ୍ରବଣତା

କୋନ ଅନ୍ତରକ (dielectric) ପଦାର୍ଥ ବୈଦ୍ୟୁତିକ କ୍ଷେତ୍ରର ମଧ୍ୟେ ରାଙ୍କିତ ହ'ଲେ ଏ ପଦାର୍ଥେର ମେରୁପାଦନ (polarization) ଘଟେ । ବୈଦ୍ୟୁତିକ ଶକ୍ତି  $\vec{E}$  ଓ ପଦାର୍ଥେର ଏକକ ଆୟତନେ ଆବିଷ୍ଟ ହିମେରୁଶକ୍ତି (induced dipole-moment)  $\vec{P}$  ପରମ୍ପରା ସମାନୁପାତୀ, ଅର୍ଥାତ୍

$$\vec{P} = \eta \vec{E}$$

9.2.1

ଯ କେ ଅନ୍ତରକର ବୈଦ୍ୟୁତିକ ଗ୍ରାହିତା (dielectric susceptibility) ବଲା ହର ।

ଏକକ ଆୟତନେ ଅଣ୍ଠର ସଂଖ୍ୟା  $n$  ହ'ଲେ ଏବଂ ପ୍ରାତି ଅଣ୍ଠର ଗଡ଼ ହିମେରୁଶକ୍ତି  $\vec{m}$  ହ'ଲେ  $\vec{P} = n \vec{m}$  । ଅଣ୍ଠର ହିମେରୁଶକ୍ତି ଅନ୍ତରକର ମଧ୍ୟେ ଅଣ୍ଠର ଉପର

মোট কার্বকরী বৈদ্যুতিক ক্ষেত্র  $\vec{F}$  এর সমানুপাতী। অন্তরকের মধ্যস্থ অন্যান্য অণুর দ্বিমূল ক্ষেত্রের প্রভাবে মোট কার্বকরী ক্ষেত্র,  $\vec{F}$ , প্রযুক্ত ক্ষেত্র  $\vec{E}$  অপেক্ষা কিছু অধিক হয়। বিশেষতঃ অণ্ডগুলি বাদি গোলকীয় প্রতিসাম্য (spherical symmetry) বিশিষ্ট হয় অথবা সেগুলির বিন্যাস বাদি বিশিষ্ট হয় তবে দেখানো যাব যে

$$\vec{F} = \vec{E} + \frac{4\pi}{3} \vec{P} \quad 9.2.2$$

ধরা যাক  $m = \gamma \vec{F}$ ।  $\gamma$  কে ‘আণবিক মেরুপ্রবণতা’ (molecular polarizability) বলা হয়। এখন

$$\begin{aligned} \vec{P} &= n\gamma \vec{F} \\ &= n\gamma \left( \vec{E} + \frac{4\pi}{3} \vec{P} \right) \end{aligned}$$

$$\text{অর্থাৎ } \vec{P} = \frac{n\gamma}{1 - \frac{4\pi}{3} n\gamma} \vec{E}$$

$$9.2.1 \text{ সূত্রের সংগে তুলনায় দেখা যাব } \eta = \frac{n\gamma}{1 - \frac{4\pi}{3} n\gamma}$$

অন্তরকের বৈদ্যুতিক আবেশাংক (dielectric constant)

$$\epsilon = 1 + 4\pi\eta = 1 + \frac{4\pi n\gamma}{1 - \frac{4\pi}{3} n\gamma}$$

$$\text{সূত্রাং } \gamma = \frac{3}{4\pi n} \cdot \frac{\epsilon - 1}{\epsilon + 2} = \frac{3M}{4\pi N_0 \rho} \cdot \frac{\epsilon - 1}{\epsilon + 2} \quad 9.2.3$$

এখানে  $M$ —গ্যাস-আণবিক ভর,  $N_0$ —আভোগাড়ো সংখ্যা

এবং  $\rho$ —পদার্থের ঘনত্ব।

$$\frac{M}{\rho} \cdot \frac{\epsilon - 1}{\epsilon + 2} \text{ রাখিকে ‘গ্যাস-আণবিক মেরুপ্রবণতা’ } (P_o) \text{ বলা হয়।}$$

$$9.2.3 \text{ সূচনামূলী } P_o = \frac{M}{\rho} \cdot \frac{\epsilon - 1}{\epsilon + 2} - \frac{4\pi}{3} N_0 \gamma \quad 9.2.4$$

9.2.3 বা 9.2.4 সূচন ক্লাইসিয়াস-মোসোত্তি (Clausius-Mosotti) সমীকরণ নামে খ্যাত।

ক্রিসয়াস-মোসোটি সমীকরণের প্রমাণে স্থির বৈদ্যুতিক ক্ষেত্রের কল্পনা করা হ'লেও দুটি কল্পনশীল বৈদ্যুতিক ক্ষেত্রের জন্মও এই সূত্র ব্যবহার করা হতে পারে। গ্যাসীয় বা তরল মাধ্যমে দৃশ্যমান আলোকতরঙ্গের ক্ষেত্রে এই সূত্র প্রয়োগকালে  $\epsilon = \mu^2$  ( $\mu$  = মাধ্যমের প্রতিসরাংক, refractive index) লেখা হতে পারে, কেননা সাধারণতঃ এই সকল মাধ্যমের চৌম্বক গ্রাহিতার (magnetic susceptibility) মান প্রায় শূন্য ধরা যায়। 9.2.4 সূত্র থেকে পাওয়া যায়, মাধ্যমের ‘গ্রাম-আণবিক প্রতিসরাংক’ বা

$$A = \frac{M}{\rho} \cdot \frac{\mu^2 - 1}{\mu^2 + 2} = \frac{4\pi}{3} N_0 \gamma \quad 9.2.5$$

শেষোন্ত সূত্র লোরেন্জ-লোরেন্জ (Lorentz-Lorenz) সমীকরণ নামে পরিচিত।

বাস্তব অবস্থার সংগে 9.2.5 সূত্রের সুন্দর সময় দেখা যায়। যেহেতু  $\gamma$  অণ্টুর বা পরমাণুর নিজস্ব ধর্ম, পদার্থের সকল অবস্থাতেই  $A$  রাশির মান স্থির থাকা উচিত। পরীক্ষার দেখা যায় পদার্থের গ্যাসীয় ও তরল অবস্থায় এবং গ্যাসের ক্ষেত্রে বিভিন্ন চাপে  $A$  রাশির মান সত্তাই অপরিবর্তিত থাকে। রাসায়নিক ঘোগের ক্ষেত্রে ঘোগের বিভিন্ন পরমাণুর জন্ম  $\gamma$  এর মান ( $\gamma_1, \gamma_2$  ইত্যাদি) থেকে  $A$  রাশির মান পাওয়া যায়  $A = \frac{4\pi}{3} N_0 \sum \gamma_i$ । এই মানের সংগে পরীক্ষালক্ষ মানের সঙ্গতি দেখা যায়।

9.2.5 সূত্র পূর্বের 9.2.4 সূত্র থেকে পাওয়া গেলেও 9.2.4 সূত্র বা ক্রিসয়াস-মোসোটি সমীকরণের সংগে পরীক্ষার ঘটে অসংগতি দেখা যায়। এই অসংগতি বিশেষতঃ  $\text{NH}_3, \text{HCl}$  প্রভৃতি অণ্টুর ক্ষেত্রে ঘটে। ক্রিসয়াস-মোসোটি সমীকরণের  $P_0$  রাশির মান বিভিন্ন উক্তায় ও পদার্থের বিভিন্ন অবস্থায় স্থির থাকে না। ঘোগের ক্ষেত্রে ‘আণবিক মেরুপ্রবণতা’ বিভিন্ন ‘পর-মাণবিক মেরুপ্রবণতা’র ঘোগফলের সমান হয় না।

ডিবাই (Debye, 1912) ক্রিসয়াস-মোসোটি সমীকরণের ব্যৰ্থতার কারণ নির্দেশ করেন। অণ্টুর মেরুপাদন যখন কেবল বৈদ্যুতিক ক্ষেত্রের প্রভাবে গ্যাসঅণ্টুর ধনাঞ্চক ও ধূণাঞ্চক আধানের আনুপাতিক স্থানচুক্তির ফলে ঘটে কেবল তখনই এই সমীকরণ প্রযোজ্য। স্থায়ী বৈদ্যুত-বিমেরু (electric dipole) বিশিষ্ট অণ্টুর ক্ষেত্রে এছাড়াও অন্য এক প্রকৃত্যার স্থিমেরুর উৎপাদন হয়। বৈদ্যুতিক ক্ষেত্রের মধ্যে এই প্রকার অণ্টুর বিমেরু তাপজ আলোড়ন

অতিক্রম ক'রে ক্ষেত্রের দিক অভিযুক্ত বিন্যাস হ'তে চেষ্টা করে। উক্ততা যত অল্প হয় দ্বিমেরুর বিন্যাস তত অধিক পরিমাণে বৈদ্যুতিক ক্ষেত্রাভিযুক্তি হয় এবং মেরুৎপাদনের মাত্রাও তত বৃদ্ধি পায়।

ধৰা থাক প্রতি অণুর স্থানী দ্বিমেরুশক্তি  $\mu$  এবং বৈদ্যুতিক ক্ষেত্র ও দ্বিমেরুর মধ্যে কোণের পরিমাণ  $\theta$ ।  $F$  বৈদ্যুতিক ক্ষেত্র দ্বিমেরুর স্রষ্টাত্বক শক্তির মান হয়  $-\mu F \cos \theta$ । ম্যাজওয়েল-বোলৎস্মান সূত্র অনুযায়ী যে সকল দ্বিমেরুর অক্ষের দিক  $\theta$  কোণে  $d\Omega$  ঘনকোণের মধ্যে থাকে সেগুলির সংখ্যা  $e \frac{\mu F \cos \theta}{kT} d\Omega$  এর সমানুপাতী হয়। সুতরাং বৈদ্যুতিক ক্ষেত্র অভিযুক্ত অণুর দ্বিমেরুশক্তির উপাংশের গড় মান হবে

$$m = - \int_0^{\pi} \mu \cos \theta \ e^{\frac{\mu F \cos \theta}{kT}} d\Omega$$

$$\int_0^{\pi} e^{\frac{\mu F \cos \theta}{kT}} d\Omega$$

$d\Omega = 2\pi \sin \theta \ d\theta$ ,  $\alpha = \frac{\mu F}{kT}$  এবং  $x = \cos \theta$  ব্যবহার করে পাওয়া যায়

$$\frac{m}{\mu} = \frac{\int_{-1}^1 x e^{\alpha x} dx}{\int_{-1}^1 e^{\alpha x} dx} = \frac{e^{\alpha} + e^{-\alpha}}{e^{\alpha} - e^{-\alpha}} - \frac{1}{\alpha} = \operatorname{Coth} \alpha - \frac{1}{\alpha}$$

9.2.6

$\operatorname{Coth} \alpha - \frac{1}{\alpha}$  কে 'লাইজ্বৰ্ড অপেক্ষক' বা  $L(\alpha)$  বলা হয়।  $\alpha$  এর মান অতিক্রম ( $\alpha^2 < < 1$ ) হ'লে  $L(\alpha) \approx \frac{\alpha}{3}$  এবং বৃহৎ ( $\alpha > > 1$ ) হ'লে  $L(\alpha) \approx 1$  হয়। সেই অনুযায়ী  $m$  এর মান যথাক্রমে  $\frac{1}{3} \frac{\mu^2 F}{kT}$  এবং  $\mu$  হয়। সাধারণ পরীক্ষার ক্ষেত্রে ' $\alpha$ ' এর মান বিবেচনা ক'রে দেখা যাক।  $300^\circ K$  উক্ততাম  $\mu = 10^{-18}$  e.s.u. cm (HCl অণুর ক্ষেত্রে) ও  $F = 3000$  volt/cm হ'লে

$$\alpha \text{ বা } \frac{\mu F}{kT} = \frac{10^{-18} \times 10}{1.38 \times 10^{-16} \times 300} \approx 2 \times 10^{-4}$$

অর্থাৎ  $m = \frac{1}{3} \frac{\mu^2 F}{kT}$  লেখা সম্পূর্ণ যুক্তিশুস্ত।

বিমেরুশুস্ত অণুর ক্ষেত্রেও স্থির আণবিক মেরুপ্রবণতা, অপরিবর্তিত থাকে। সুতরাং ঘোট মেরুপ্রবণতার মান

$$\gamma_T = \gamma + \frac{m}{F}$$

$$\gamma + \frac{1}{3} \frac{\mu^2}{kT} \quad 9.2.7$$

ক্লাসিয়াস-মোসোট সমীকরণ এখন এইভাবে লেখা যায় :

$$P_0 = \frac{4\pi}{3} N_0 \gamma_T = \frac{4\pi}{3} N_0 \left( \gamma + \frac{1}{3} \frac{\mu^2}{kT} \right) \quad 9.2.8$$

$P_0$  রাশির উক্তা-নির্ভরতার ব্যাখ্যা এখন সহজেই পাওয়া যায়। 9.2.8 সূত্র অনুসারে

$$P_0 T = \frac{4\pi}{3} N_0 \gamma T + \frac{4\pi}{9} \frac{N_0 \mu^2}{k}$$

অর্থাৎ কোন লেখচিত্রে  $P_0 T$  রাশিকে নিরপেক্ষ উক্তা  $T$  এর সংগে অঙ্গিত করলে এক সরলরেখা পাওয়া যাবে। উল্লম্ব অক্ষের যে অংশ এই সরলরেখার দ্বারা ছিন্ন হয় তার মান  $\frac{4\pi}{9} \frac{N_0 \mu^2}{k}$ ; সুতরাং এই প্রক্রিয়ার দ্বারা অণুর বিমেরুশুস্তও নির্ণয় করলে দেখা যায় " $e$ " ( $e$  = ইলেক্ট্রনের আধান) এর মান  $10^{-8} \text{ cm}$  এর মত হয়। অর্থাৎ যদি ধৰা যায় যে আণবিক বিমেরু  $-e$  ও  $+e$  পরিমাণের দুই বৈদ্যুতিক আধানের দ্বারা উৎপন্ন হয় তবে ঐ দুই আধানের মধ্যে দূরত্ব  $10^{-8} \text{ cm}$  এর মত হবে। লক্ষ্যণীয় যে এই দূরত্ব অণুগুলির মধ্যে আন্তর্পরমাণুক (interatomic) দূরত্বের সমতুল্য।

ষোগের মধ্যে মেরুপ্রবণতা কেন পারমাণবিক মেরুপ্রবণতার যোগফলের সমান হয় না তাও সহজেই বোঝা যায়। অণুর মধ্যে বৈদ্যুতিক আধানের বিন্যাস, এবং সেইহেতু আণবিক বিমেরুশুস্ত অণুর গঠনবৈশিষ্ট্যের উপর নির্ভর করে। অণুর গঠনকালেই এই বিন্যাস পরিবর্তিত হয়, সুতরাং মেরু-

প্রবণতার ষে অংশ স্থায়ী হিমেরু থেকে উন্নত সেটি অবশ্যই ঘোগফলের নিয়ম পালন করতে পারে না।

লোরেনৎস-লোরেনৎস সমীকরণের ক্ষেত্রে স্থায়ী হিমেরুর প্রভাবের জন্য কোন শুরুদ্বিক প্রয়োজন হয় না। আলোকতরঙ্গের সংগে সংগ্রহিত বৈদ্যুতিক ক্ষেত্র এত দ্রুত দিক্পরিবর্তন করে ষে কোন হিমেরুবিশিষ্ট অণু সমগ্রে ঘূরতে পারে না। সুতরাং সাধারণভাবে ৯.২.৫ সৃষ্টি সত্ত্ব হয়। অবশ্য যদি আলোকতরঙ্গের কম্পাঙ্ক অণুর বৈদ্যুতিক আধানের কোন আভাবিক কম্পাঙ্কের সমান বা নিকটবর্তী হয় তবে ঐ কম্পনের অনুনাদ (resonance) ঘটে এবং লোরেনৎস-লোরেনৎস সমীকরণও আর প্রয়োগ করা যায় না।

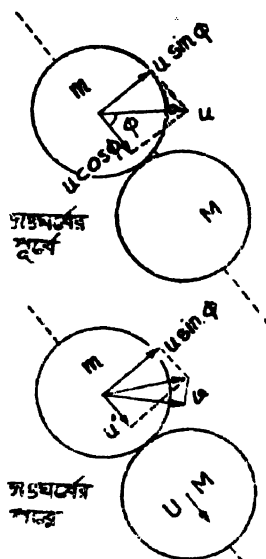
### ৯.৩ গ্যাসীয় আয়নের সচলতা ও ব্যাপনাংক

গ্যাসের মধ্যে বিদ্যুৎ পরিবাহিত হয় গাত্তিশীল ইলেকট্রন এবং আহিত অণু বা আয়নের দ্বারা। আয়ন ও ইলেকট্রনের গাত্তিবিধি নির্ণয় করতে গ্যাসীয় আয়নের স্বরূপ ঘটে কিন্তু অন্যান্য অণুর সংগে সংঘর্ষের ফলে ঐ আয়ন নির্ণয় ভরবেগ হারাতে থাকে। ফলে আয়নগুলির বৈদ্যুতিক ক্ষেত্র অভিযুক্ত এক চ্ছির যৌথ গাত্তিবেগ উন্নত হয়। এই যৌথ গাত্তিবেগ বৈদ্যুতিক শক্তির এক বিশ্বৃত সীমার মধ্যে ঐ শক্তির সমানুপাতী থাকে। বৈদ্যুতিক ক্ষেত্রের প্রতি একক শক্তির জন্য কোন আয়নসমষ্টির যৌথ গাত্তিবেগকে ঐ আয়নের সচলতা (mobility) বলে। গ্যাস অণুর মত গ্যাসের ষে কোনও ধরণের আয়নও ব্যাপনের দ্বারা বিস্তৃত হয়। আয়নের ব্যাপনাংক সচলতার উপর নির্ভরশীল। বর্তমান অংশে আণবিক তত্ত্বের সাহায্যে আয়নের সচলতা ও ব্যাপনাংকের মান নির্ণয় করা হবে।

আয়নের সচলতার মান লাইজ্বা (1903-05) ও মেয়ারের (Mayer, 1920) পর্যাপ্তিতে নির্ণয় করা যেতে পারে। ধরা যাক কোনও প্রকার আয়নের ভর  $m$  ও বৈদ্যুতিক আধান  $e$ । বৈদ্যুতিক ক্ষেত্রের মধ্যে চলার সময় এই আয়নের  $M$ -ভরবিশিষ্ট অণুর সংগে সংঘর্ষ হয়। আয়ন ও অণু উভয়ই গোলাকার এবং তাদের সংঘর্ষ সম্পূর্ণরূপে স্থিতিস্থাপক।

গণনার সূবিধার জন্য এমন এক নির্দেশতত্ত্ব ব্যবহার করা যাক যেখানে সংঘর্ষের পূর্বে অণুর গাত্তিবেগ শূন্য এবং আয়নের গাত্তিবেগ ০। অর্থাৎ ০ অণুর তুলনায় আয়নের আপোনিক গাত্তিবেগ। সংঘর্ষের মুহূর্তে দুই অণুর কেন্দ্রস্থল

ও স্পর্শবিন্দু যে সরলরেখায় থাকে তাকে সংবর্ধরেখা বলা হবে ( চিত্র ৯.১ ) ।  $u$  ও সংবর্ধরেখার মধ্যে কোণ ঘন্ডা  $\phi$  হল তবে সংবর্ধের ফলে  $u$  এর অভিলম্ব উপাংশ ' $u \cos \phi$ ' এবং পরিবর্তন ঘটে, স্পার্শক উপাংশ ' $u \sin \phi$ ' এর



চিত্র ৯.১

পরিবর্তন হয় না । ধরা যাক, সংবর্ধের পর আবনের গতিবেগের অভিলম্ব উপাংশের মান  $u'$  হয় । সংবর্ধের ফলে অগ্র যে গতিবেগ লাভ করে তা সংবর্ধরেখা অভিমুখী হয় । ধরা যাক এই গতিবেগের মান  $U$  ।

ভববেগ ও গতীয় শক্তির নিয়ত্যতা থেকে পাওয়া যায়

$$\begin{aligned} mu \cos \phi &= mu' + MU \\ \frac{1}{2}m(u \cos \phi)^2 &= \frac{1}{2}mu'^2 + \frac{1}{2}MU^2 \end{aligned} \quad \left. \right\} 9.3.1$$

### 9.3.1 সমীকরণসম থেকে পাওয়া যায়

$$u' = \frac{m - M}{m + M} u \cos \phi \quad 9.3.2$$

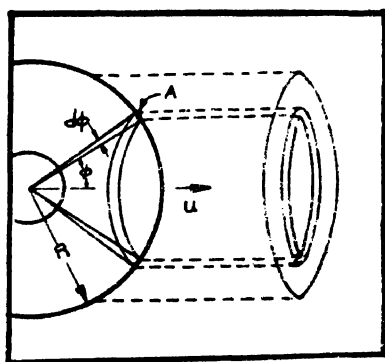
( সমীকরণের সমাধানে  $u'$  এর অপর মান পাওয়া যায়  $u \cos \phi$  ; এই সমাধান উপেক্ষণীয়, কেবলা সেক্ষেত্রে সংবর্ধ ঘটেন ব'লে ধরে নেওয়া যায় । )

সংঘর্ষের পর আয়নের গতিবেগের দিক ও পরিমাণের পরিবর্তন ঘটে।  
পূর্বের গতিবেগের দিক অভিযুক্ত পরিবর্তিত গতিবেগের উপাংশ

$$v = u \sin\phi \cdot \sin\phi + \frac{m-M}{m+M} u \cos\phi \cdot \cos\phi$$

$$= u \left[ \sin^2\phi + \frac{m-M}{m+M} \cos^2\phi \right]$$

$\phi$  এর বিভিন্ন মানের জন্য এই উপাংশের গড় মান নির্ণয় করতে হ'লে  $\phi$  এর মান নির্দিষ্ট সীমার মধ্যে থাকার স্থাব্যতা জানা প্রয়োজন। ধরা যাক অণ্ড ও আয়নের ব্যাসার্ধের যোগফল  $R$ । আয়নের প্রভাবগোলকের ব্যাসার্ধও এক্ষেত্রে  $R$  হবে। ধরা যাক এই প্রভাবগোলক  $u$  গতিতে অগ্রসর হয় ও সংঘর্ষের মুহূর্তে অণুর কেন্দ্র  $A$  বিন্দুতে এই প্রভাবগোলককে স্পর্শ করে (চিত্র ৯.২)।  $\phi$  এর মান  $\phi$  ও  $\phi + d\phi$  সীমার মধ্যে অবস্থিত হ'লে  $A$



চিত্র ৯.২

বিন্দু গোলকের উপর  $2\pi R^2 \sin\phi d\phi$  ক্ষেত্রফলের উপর অবস্থিত হবে।  $u$  এর উপর উল্লম্ব তলে এই ক্ষেত্রফলের অভিক্ষেপ  $2\pi R^2 \sin\phi \cos\phi d\phi$ । একই তলে সমগ্র গোলকের ক্ষেত্রফলের অভিক্ষেপ  $\pi R^2$ । যেহেতু অণুর কেন্দ্র আয়নের প্রভাব গোলকের দ্বারা অভিক্ষান্ত আয়নতনের যে কোণও বিন্দুতে অবস্থিত হওয়ার স্থাব্যতা সমান,  $\phi$  এর মান উল্লিখিত সীমার মধ্যে থাকার স্থাব্যতা।

$$\frac{2\pi R^2 \sin\phi \cos\phi d\phi}{\pi R^2} = 2 \sin\phi \cos\phi d\phi \quad 9.3.3.$$

পূর্বোক্ত উপাংশ  $v$  এর গড় মান

$$\bar{v} = \int_0^{\pi/2} u \left[ \sin^2 \phi + \frac{m - M}{m + M} \cos^2 \phi \right] 2 \sin \phi \cos \phi d\phi$$

$$m \\ m+M$$

গড়ে প্রতি সংবর্ষে আয়নের গতিবেগের যে অংশ হ্রাস হয় তার মান

$$u - \bar{v} = \frac{M}{m + M} \cdot u \quad 9.3.4$$

এখন ধরা যাক সংবর্ষমান আয়নের গতিবেগ উপাংশ  $c_x, c_y, c_z$  এবং অণুর গতিবেগ উপাংশ  $C_x, C_y, C_z$ ।  $x$ -অক্ষ অভিমুখে  $X$  শক্তির বৈদ্যুতিক ক্ষেত্রের প্রভাবে আয়নগুলির ঐ অক্ষ বরাবর এক ঘোথ গতিবেগ  $w$  উৎপন্ন হয়। আয়নের গতিবেগ—উপাংশ সমূহের মান  $c_x$  ও  $c_x + dc_x, c_y$  ও  $c_y + dc_y$  এবং  $c_z$  ও  $c_z + dc_z$  সীমার মধ্যে থাকার সম্ভাবতা যদি  $df$  হয় তবে (4.3.11 সূচী মুক্তি)

$$df = \frac{1}{\alpha^3 \pi^{3/2}} e^{-\frac{1}{\alpha^2} [(c_x - w)^2 + c_y^2 + c_z^2]} dc_x dc_y dc_z \quad (\alpha = \sqrt{\frac{2kT}{m}}) \quad 9.3.5$$

সাধারণভাবে ঘোথগতিবেগ  $w$  তাপজ গতিবেগের তুলনায় অতি ক্ষুদ্র।  $w^2$  কে উপেক্ষা করলে লেখা যায়

$$df = \frac{1}{\alpha^3 \pi^{3/2}} e^{-\frac{1}{\alpha^2} (c_x^2 + c_y^2 + c_z^2)} \left( 1 + \frac{2c_x w}{\alpha^2} \right) dc_x dc_y dc_z \quad 9.3.5$$

অণুর গতিবেগ উপাংশগুলি  $C_x$  ও  $C_x + dC_x, C_y$  ও  $C_y + dC_y$  এবং  $C_z$  ও  $C_z + dC_z$  এর মধ্যে থাকার সম্ভাবতা অনুরূপভাবে

$$dF = \frac{1}{\beta^3 \pi^{3/2}} e^{-\frac{1}{\beta^2} (C_x^2 + C_y^2 + C_z^2)} dC_x dC_y dC_z \quad (\beta = \sqrt{\frac{2kT}{M}}) \quad 9.3.6$$

অণু ও আয়নের গতিবেগ উল্লেখকার হ'লে অণুর তুলনায় আয়নের আপোক্ষিক গতিবেগ

$$c_r = [(c_x - C_x)^2 + (c_y - C_y)^2 + (c_z - C_z)^2]^{\frac{1}{2}} \quad 9.3.7$$

এবং একক সময়ে আয়নের সংঘর্ষের সংখ্যা  $\pi R^2 \cdot n dF \cdot c_r$  ( $n$  = অণুর দলক সংখ্যা)। এখন 9.3.4 স্থ অনুষ্ঠানী প্রাপ্ত সংঘর্ষে গতিবেগের  $x$ -উপাংশের হাসের মান

$$\frac{M}{m+M} (c_x - C_x)$$

[কেননা মোট আপোক্ষক গতিবেগ  $c_r$  এর হাস  $\frac{M}{m+M} \cdot c_r$  এবং  $x$ -উপাংশের হাস তার  $\frac{c_x - C_x}{c_r}$  অংশ]

সুতরাং একক সময়ে আয়নের গতিবেগের  $x$ -উপাংশের গড় হাস

$$\iint_m \frac{M}{m+M} (c_x - C_x) \pi R^2 n c_r df dF$$

9.3.5 ও 9.3.6 সৃষ্টিদ্বয় ব্যবহার করে\* এই রাশির মান পাওয়া যায়

$$3 \frac{8w}{\sqrt{\pi}} \pi R^2 n \alpha \sqrt{\frac{M}{m+M}}$$

কিন্তু  $X$  শক্তির বৈদ্যুতিক ক্ষেত্রে আয়নের  $\frac{Xe}{m}$  পরিমাণ ভরণ হয়। সুতরাং স্থির অবস্থায়, আয়নের যৌথগতিবেগ মধ্যে  $w$  এর সমান,

$$\frac{Xe}{m} = 3 \frac{8w}{\sqrt{\pi}} \cdot \pi R^2 n \alpha \sqrt{\frac{M}{m+M}}.$$

\* সমাকলনের জন্য নিম্নলিখিত প্রতিস্থাপন (Substitution) অয়োজন :

$$c_x = X + \frac{M}{m+M} x, \quad c_y = Y + \frac{M}{m+M} y, \quad c_z = Z + \frac{M}{m+M} z,$$

$$C_x = X - \frac{m}{m+M} x, \quad C_y = Y - \frac{m}{m+M} y, \quad C_z = Z - \frac{m}{m+M} z$$

$$dc_x dc_y dc_z dC_x dC_y dC_z = dx dy dz dX dY dZ$$

$$\text{এখন } c_x - C_x = x \text{ ইত্যাদি, } \frac{c_x^2}{\alpha^2} + \frac{C_x^2}{\beta^2} = \frac{1}{2kT} \left[ (m+M)X^2 + \left(\frac{mM}{m+M}\right)x^2 \right]$$

ইত্যাদি লিখে বে রাশিগালা পাওয়া যাবে তার মধ্যে গোলীয় নির্দেশাঙ্কে  $x = r \cos\theta$ ,  $y = r \sin\theta \cos\phi$ ,  $z = r \sin\theta \sin\phi$ ,  $X = R \cos\theta'$ ,  $Y = R \sin\theta' \cos\phi$ ,  $Z = R \sin\theta' \sin\phi'$ ,  $dx dy dz = 2\pi r^2 \sin\theta d\theta dr$ ,  $dX dY dZ = 2\pi R^2 \sin\theta' d\theta' dR$  প্রতিস্থাপন করলে সমাকলনটির মান সহজেই নির্ণয় করা যাবে।

$$\text{আয়নের গড় গতিবেগ } \bar{c} = \frac{2\alpha}{\sqrt{\pi}}, \text{ গড় অবাধপথ } \lambda = \frac{1}{\sqrt{2\pi R^2 n}} \text{ অর্থাৎ}$$

$$\frac{Xe}{m} = \frac{2\sqrt{2}}{3} \frac{w\bar{c}}{\lambda} \sqrt{\frac{M}{m+M}} \quad 9.3.8$$

আয়নের সচলতা,  $K$ , সংজ্ঞানুসারে  $\frac{w}{X}$  এর সমান। সূতরাং

$$K = \frac{3}{2\sqrt{2}} \frac{\lambda e}{mc} \sqrt{\frac{m+M}{M}} \quad 9.3.9a$$

9.3.9a সূত্র অণ্টুর গড় গতিবেগের মাধ্যমেও প্রকাশ করা যায়। অণ্টুর গড় গতিবেগ  $c$  হ'লে  $mc^2 = M\bar{C}^2$ । এই সমীকরণের সাহায্যে লেখা যায়

$$K = \frac{3}{2\sqrt{2}} \cdot \frac{\lambda e}{M\bar{C}} \sqrt{\frac{m+M}{m}} \quad 9.3.9b$$

9.3.9 সূত্রটির থেকে আয়নের সচলতার মান নির্ণয় করা যেতে পারে। অথবা, সচলতার মান পরীক্ষার দ্বারা নির্ণীত হ'লে তার থেকে আয়নের গড় অবাধ পৃথের মান জানা যেতে পারে।

**আয়নের ব্যাপনাংক :** বৈদ্যুতিক ক্ষেত্রের মধ্যে আয়নের যে সার্বিগ্রাম গাত্তি উৎপন্ন হয় সেটিকে এখন একপ্রকার ব্যাপন হিসাবেও দেখা যেতে পারে। ধরা যাক আয়নের ঘনসংখ্যা  $n$  এবং ব্যাপনাংক  $D$ । ব্যাপনাংকের সংজ্ঞানুযায়ী  $x$ -অক্ষের উপর অভিস্থ এবং একক ক্ষেত্রফলের মধ্য দিয়ে প্রবাহিত আয়নের সংখ্যা  $-D \frac{dn}{dx}$ ।  $x$ -অক্ষ অভিযুক্তে আয়নের ঘোঁষ গতিবেগ  $w$  হ'লে এই সংখ্যা  $nw$  এর সমান। সূতরাং

$$w = - \frac{D}{n} \cdot \frac{dn}{dx} \quad 9.3.10$$

আয়নের আংশিক চাপ  $p$  কে ঘনসংখ্যার সমানুপাতী ব'লে ধরা যেতে পারে। অবশ্য আয়নের অধিক ঘনত্বে পারম্পরিক বিকর্ষণ হেতু চাপ অপেক্ষাকৃত অধিক হয়। তবে সাধারণতঃ পরীক্ষাগারে এই ঘনসংখ্যা  $10^6/cm^3$  এর অধিক হয় না এবং আয়নের বিকর্ষণের প্রভাব উপেক্ষা করা যেতে পারে।

$p$  ও  $n$  সমানুপাতী হ'লে

$$\frac{dp}{p} = \frac{dn}{n}$$

$$\text{অর্থাৎ } w = - \frac{D}{p} \cdot \frac{dp}{dx} \quad 9.3.11$$

w পরিমাণ ঘোথ গতিবেগ সৃষ্টি করতে প্রতি আয়নের উপর কার্যকরী

$$\text{বল} \quad -\frac{1}{n} \cdot \frac{dp}{dx} = \frac{pw}{Dn} \quad 9.3.12$$

সম্পরিমাণ ঘোথ গতিবেগ সৃষ্টির জন্য প্রয়োজনীয় বৈদ্যুতিক বল  $Xe$  এর মান 9.3.8 সূত্র থেকে জানা যায়। এই মান 9.3.12 সমীকরণের কার্যকরী বলের সমান, সূত্রাঃ

$$D = \frac{3}{2\sqrt{2}} \frac{p\lambda}{nm c} \sqrt{\frac{m+M}{M}} \\ = \frac{3\pi}{16\sqrt{2}} \lambda \bar{c} \sqrt{\frac{m+M}{M}} \quad \left[ \because p = \frac{\pi}{8} nm(\bar{c})^2 \right] \quad 9.3.13$$

আয়ন ও অণুর ভর সমান, অর্থাৎ  $m = M$  হ'লে 9.3.13 সূত্র থেকে পাওয়া যায়

$$D = 0.589 \lambda c \quad 9.3.14$$

5.6.6 সূত্রে  $n_A$  (অণু) =  $n$ ,  $n_B$  (আয়ন) <<  $n$  ধরলে ব্যাপনাংকের মান  $\frac{1}{2}\lambda c$  পাওয়া যায়। এই মান 9.3.14 সূত্রের মানের সংগে তুলনীয়। আয়নের সচলতা ও ব্যাপনাংক পরস্পর সম্পর্কযুক্ত। 9.3.9a ও 9.3.13 সূত্রদ্বয় থেকে

$$\frac{K}{D} = \frac{ne}{p} = \frac{e}{kT} \quad 9.3.15$$

শেষেওজ্য সূত্রের সূবিধা এই যে  $K$  ও  $D$  এর পরীক্ষালক্ষ মানের সাহায্যে সহজেই এই সূত্রের সত্ত্বা নির্ধারণ করা যায়। উদাহরণস্বরূপ,  $0^{\circ}\text{C}$  উক্তায় বায়ুতে খণ্ডক আধাৰ্নাৰ্বিশিষ্ট আয়নের সচলতা ও ব্যাপনাংকের মান যথাক্রমে  $1.8 \text{ cm sec}^{-1}/\text{volt cm}^{-1}$  এবং  $0.043 \text{ cm}^3 \text{ sec}^{-1}$ । অতএব  $\frac{K}{D} = 42 \text{ volt}^{-1}$ ।

অপরপক্ষে এই উক্তায়

$$\frac{e}{kT} = \frac{1.60 \times 10^{-19} \text{ coul.}}{1.38 \times 10^{-23} \times 273 \text{ Joule}} = 42.5 \text{ volt}^{-1}$$

দুই রাশির সমতা 9.3.15 সূত্রের সত্ত্বা প্রমাণিত করে। সেই সংগে আয়নের ব্যাপনসংক্রান্ত আলোচনার শার্থার্থে প্রতিপম হয় এবং দেখা যায় যে সাধারণ গ্যাসের মতই আয়নের ক্ষেত্রেও আংশিক চাপের ক্ষেপনা অর্যোক্তিক নয়।

সচলতা ও ব্যাপনাংকের পরীক্ষালক্ষ মান থেকে দেখা যায় যে আয়নের গড় অবাধপথ সমতুল্য অণুর গড় অবাধপথ অপেক্ষা ছুট। গড়

অবাধপথের উপর আয়নের বৈদ্যুতিক আধানের প্রভাব দুইভাবে পড়ে। প্রথমতঃ আয়নের পথের নিকটবর্তী অঞ্চলে অবস্থিত কোন অণু তার স্বাভাবিক অথবা আয়নের দ্বারা আবিষ্ট হিমেরূশক্তির ফলে আয়নের দ্বারা আকৃষ্ট হ'তে পারে। এরূপ ক্ষেত্রে প্রকৃত সংবর্ধ না ঘটলেও আয়ন ও ঐ অণুর মধ্যে শক্তি ও ভরবেগের আদানপ্রদান ঘটে এবং আয়ন পূর্বের গতিপথ থেকে বিচ্ছিন্ন হয়। দ্বিতীয়তঃ, আয়নের বৈদ্যুতিক ক্ষেত্রে নিকটবর্তী অণুগুলি আকৃষ্ট ও আয়নের সংগে সংঘর্ষ হয়। এই প্রকারে ক্রমশঃ আয়ন ও অণুর এক গুচ্ছ সৃষ্টি হয়, যার আকার ও ভর, উভয়ই শুধুমাত্র আয়ন অপেক্ষা অনেক বেশী। বাঁধিত আকারের ফলে আয়নের গড় অবাধপথ স্বতঃই ছুস পায়। আলোচিত দুই প্রক্রিয়ার তুলনামূলক গুরুত্ব অবশ্যই আয়ন ও গ্যাসের প্রকৃতির উপর নির্ভরশীল।

#### ৯.৪ আয়নের পুনর্মিলন

একসূ রশ্মি বা অন্য কোন বিকিরণ দ্বারা কোনও গ্যাসকে আয়নিত করলে গ্যাসের মধ্যে ধনাত্মক ও ঋণাত্মক আধানবিশিষ্ট (অথবা পজিটিভ ও নেগেটিভ) আয়ন যুগ্মভাবে ও সমসংখ্যায় উৎপন্ন হয়। উৎপাদনের সংগে সংগেই বিপরীত আধানবিশিষ্ট আয়নের পারস্পরিক আকর্ষণের ফলে সেগুলি পুনরায় মিলিত হয়, ফলে যদি আয়নীকরণ (ionisation) অবিচ্ছিন্নভাবে চালু না থাকে তবে উভয়প্রকার আয়নের ঘনত্বসংখ্যা ক্রমশঃ কমতে থাকে।  $n_+$  ও  $n_-$  দ্বারা যথাক্রমে পজিটিভ ও নেগেটিভ আয়নের ঘনত্বসংখ্যা নির্দেশিত করা যাক। গ্যাসের আয়ননের মধ্যে উভয়প্রকার আয়ন যদি সর্বদা সম্পূর্ণ বিশৃঙ্খলভাবে বিশিষ্ট থাকে তবে পুনর্মিলনের ফলে ঘনত্বসংখ্যা কমার হার

$$-\frac{dn_+}{dt} = -\frac{dn_-}{dt} = \alpha n_+ n_- \quad 9.4.1a$$

$$\text{অথবা } \text{যেহেতু } n_+ = n_- = n, \quad -\frac{dn}{dt} = \alpha n^2 \quad 9.4.1b$$

এখানে  $\alpha$  সমানুপাত ধূবক। প্রার্থাগিক আলোচনায় কম্পনা করা যেতে পারে যে এই ধূবকের মান সময়ের সংগে অপরিবর্তিত থাকে।  $\alpha$  ধূবককে 'পুনর্মিলনাংক' (recombination coefficient) নামে অভিহিত করা হয়। যদি  $t_1$  ও  $t_2$  এই দুই সময়ে আয়নের ঘনত্বসংখ্যা বা  $n$  এর মান যথাক্রমে  $n_1$  ও  $n_2$  হয় তবে 9.4.1b সূত্রের সমাকলন দ্বারা পাওয়া যায়

$$\frac{1}{n_2} - \frac{1}{n_1} = \alpha(t_2 - t_1) \quad 9.4.2$$

এই সূত্রের সাহায্যে আয়নীকরণের পর বিভিন্ন সময়ে ‘ $n$ ’ এর মান থেকে পুনর্মিলনাঙ্কের মান নির্ণয় করা যায়।

সূক্ষ্মভাবে পরীক্ষা করলে দেখা যায় যে ‘ $n$ ’ এর মান আয়নীকরণের অব্যবহিত পরে অপেক্ষাকৃত অধিক থাকে। ‘ $n$ ’ বা পুনর্মিলনাঙ্কের সময়ের সংগে পরিবর্তনের কারণ সহজেই উপলব্ধ করা যায়। আয়নের বন্টন যখন সম্পূর্ণ বিশৃঙ্খল (random) থাকে কেবল তখনই ‘ $n$ ’ এর স্থিত মান আশা করা যায়। কিন্তু আয়নীকরণের ঠিক পরেই অনেক আয়নযুগ্ম পরস্পরের অতি নিকটে থাকে। এগুলির যখন পুনর্মিলন ঘটে ‘ $n$ ’ এর মান তখন অধিক ব’লে মনে হয়। আয়নীকরণ বন্ধ থাকলে ব্যাপনের জন্য আয়নযুগ্মের মধ্যে দূরত্ব ক্রমশঃ বৃদ্ধি পায়। ফলে ক্রমশঃ বিশৃঙ্খল অবস্থা প্রতিষ্ঠিত হয় এবং পুনর্মিলনাঙ্কের মানও স্থিতিশীল হয়।

পুনর্মিলনাঙ্কের প্রকৃত তাত্পর্য টমসনের (J. J. Thomson, 1924) তত্ত্বে পরিস্কৃত হয়। টমসনের ধারণা অনুসারী দুইটি বিপরীত আধানযুক্ত আয়নের মিলন তখনই ঘটে যখন আয়ন দুইটি পরস্পরের চতুর্দিকে উপবৃত্তাকার কক্ষপথে বিচরণ করে, অর্থাৎ আয়নযুগ্মের মোট শক্তি ঝণাঝক হয়। প্রতি আয়নই গ্যাসের অভ্যন্তরস্থ তাপজ গাত্তিতে অংশগ্রহণ করে, সুতরাং কোন সংঘর্ষের পরেই আয়নের গতীয় শক্তি গড়ে  $\frac{e^2}{4\pi kT}$  হয়। তবে সংঘর্ষের পর কোন বৈদ্যুতিক ক্ষেত্রে দ্বারিত হ'য়ে এই গতীয় শক্তি বৃদ্ধি পেতে পারে। দুই আয়নের আধান  $e$ ,  $-e$  হ'লে এবং তাদের মধ্যে দূরত্ব  $d$  হ'লে পারস্পরিক আকর্ষণ হেতু ছৈতিক শক্তির মান  $-\frac{e^2}{d}$  হয়। অর্থাৎ  $e^2/4\pi kT$  অপেক্ষা অল্প দূরত্বে দুই বিপরীত আধানের আয়ন অবস্থায় কোন সংঘর্ষের ফলে অন্ততঃ একটির গতীয় শক্তি  $\frac{e^2}{4\pi kT}$  তে উপরীত হ'লে আয়নযুগ্মের মোট শক্তি ঝণাঝক হবে। এর থেকে বোধ যায় যে পুনর্মিলনের জন্য একটি আয়নের বিপরীত আধানের কোন আয়নের থেকে  $e^2/4\pi kT$  দূরত্বের মধ্যে এক সংমর্শ হওয়া প্রয়োজন। ধরা যাক  $d = e^2/4\pi kT$ । এছাড়া, পজিটিভ ও নেগেটিভ আয়নের জন্য যথাক্রমে

$n_+$  ও  $n_-$  = আয়নের ঘনত্বসংখ্যা

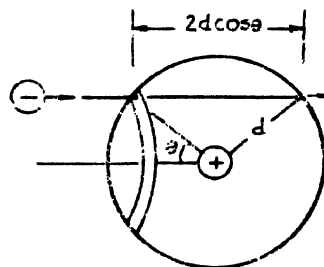
$c_+$  ও  $c_-$  = আয়নের মূল গড় বর্গবেগ

$\lambda_+$  ও  $\lambda_-$  = গ্যাসের মধ্যে গড় অবাধপথ

$w_+$  ও  $w_-$  = বিপরীত আধানের আয়নের  $d$  দূরত্বের মধ্যে কোন গ্যাস-অণুর সংগে সংঘর্ষের সম্ভাব্যতা।

নেগেটিভ আয়নের তুলনায় পজিটিভ আয়নের আপেক্ষিক গতিবেগের মূল গড় বর্গ মান  $\sqrt{c_+^2 + c_-^2}$ । এখন  $d$  ব্যাসার্ধের এক গোলক, যার কেন্দ্রে কোন একটি পজিটিভ আয়ন অবস্থিত, একক সময়ে  $\pi d^2 \sqrt{c_+^2 + c_-^2}$  আয়নতনের মধ্যে মোট  $\pi d^2 n_- \sqrt{c_+^2 + c_-^2}$  সংখ্যক নেগেটিভ আয়নকে অতিক্রম করে। একক আয়নতনে ও একক সময়ে, মোট  $n_+$  সংখ্যক পজিটিভ আয়নের হিসাব করলে, মোট  $\pi d^2 n_+ n_- \sqrt{c_+^2 + c_-^2}$  সংখ্যক নেগেটিভ আয়ন কোন এক পজিটিভ আয়নের  $d$  দূরত্বের মধ্যে আসে।

এর পরের সমস্যা পজিটিভ আয়নের  $d$  দূরত্বের মধ্যে নেগেটিভ আয়ন ও অণুর সংঘর্ষের সম্ভাব্যতা নির্ণয়। পজিটিভ আয়নকে এখন স্থির ধরা যাক। নেগেটিভ আয়নের গতিবেগ এখন পূর্বের বিপরীত দিকে  $\sqrt{c_+^2 + c_-^2}$  হবে। দুই আয়নের আকর্ষণ হেতু নেগেটিভ আয়নের গতিপথ কিছুটা বক্তুরে ত্বরণ উপস্থিত এই বক্তুতা উপেক্ষা করা হবে। পজিটিভ আয়নকে কেন্দ্র ক'রে অঙ্কিত  $d$  ব্যাসার্ধের এক গোলক কল্পনা করা যাক (চিত্র ৯.৩)। নেগেটিভ আয়নের গতিবেগ ও ঐ আয়নের গোলকে প্রবেশবিন্দুতে অঙ্কিত ব্যাসার্ধের মধ্যে কোণ  $\theta$ । নেগেটিভ আয়নের পথের  $2d \cos \theta$  দৈর্ঘ্য গোলকের মধ্যে অবস্থিত হয়। এই দৈর্ঘ্যের মধ্যে নেগেটিভ আয়নের সংঘর্ষের সম্ভাব্যতা  $(1 - e^{-2d \cos \theta / \lambda_-})$ ।



চিত্র ৯.৩

$\theta$  কোণের  $\theta$  ও  $\theta + d\theta$  সীমার মধ্যে ধাকার সম্ভাব্যতা ( 9.3.3 সূত্রানুযায়ী )  $2 \sin \theta \cos \theta d\theta$ । সুতরাং  $\theta$  এর বিভিন্ন মানের জন্য গোলকের মধ্যে নেগেটিভ আয়নের সংঘর্ষের গড় সম্ভাব্যতা বা

$$w_- = \int_{\theta=0}^{\pi/2} \left(1 - e^{-\frac{2d \cos \theta}{\lambda_-}}\right) 2 \sin \theta \cos \theta d\theta$$

$$= 1 - \frac{\lambda_-^2}{2d^2} \left[ 1 - \left( \frac{2d}{\lambda_-} + 1 \right) e^{-\frac{2d}{\lambda_-}} \right] \quad 9.4.3 \text{ a}$$

$$\text{অনুরূপভাবে, } w_+ = 1 - \frac{\lambda_+^2}{2d^2} \left[ 1 - \left( \frac{2d}{\lambda_+} + 1 \right) e^{-\frac{2d}{\lambda_+}} \right] \quad 9.4.3 \text{ b}$$

পরম্পরের  $d$  দূরত্বের মধ্যে পজিটিভ ও নেগেটিভ আয়নের অন্ততঃ একটির সংঘর্ষের সম্ভাব্যতা

$$1 - (1 - w_-)(1 - w_+) = w_- + w_+ - w_-w_+$$

অতএব একক সময়ে একক আয়নে মোট

$$\pi d^2 n_+ n_- \sqrt{c_+^2 + c_-^2} (w_- + w_+ - w_-w_+)$$

সংখ্যক পুনর্মিলন ঘটে। পুনর্মিলনাংকের সংজ্ঞা (9.4.1 a) অনুযায়ী

$$\alpha = \pi d^2 \sqrt{c_+^2 + c_-^2} (w_- + w_+ - w_-w_+) \quad 9.4.4$$

এরূপ মতবাদও প্রচলিত আছে যে পরম্পরের  $d$  দূরত্বের মধ্যে উভয় আয়নেরই সংঘর্ষ হওয়া প্রয়োজন কেননা দুই আয়নের পুনর্মিলন আয়নযুগ্মের ভরকেন্দ্রিক নির্দেশাংকে মোট গতীয় শক্তির উপর নির্ভর করে। উভয় আয়নের যুগপৎ সংঘর্ষের সম্ভাব্যতা  $w_-w_+$ , সুতরাং এই মত অনুযায়ী পুনর্মিলনাংকের মান

$$\alpha' = \pi d^2 \sqrt{c_+^2 + c_-^2} w_-w_+ \quad 9.4.5$$

বিভিন্ন চাপ ও উষ্ণতার বায়ুর মধ্যে আয়নের পুনর্মিলনাংকের মানের সংগে টমসনের সূত্র থেকে নির্ণীত মানের, বিশেষতঃ  $\alpha'$  এর কিছুটা পরিমাণগত সঙ্গতি দেখা যায়। তবে এই ধরণের পরীক্ষার সূক্ষ্মতা অতি সীমিত—বিশেষতঃ বায়ুর মত গ্যাসের মিশ্রণের ক্ষেত্রে পরীক্ষালক্ষ ফলের প্রকৃত তাৎপর্য অনুধাবন করা যায় না। উপরস্তু টমসনের গণনাপদ্ধতি যুক্তিপূর্ণ হ'লেও সর্বতোভাবে নিখুঁত নয়। এই কারণে টমসনের তত্ত্বের কোন সূক্ষ্ম প্রতিপাদনের আশা করা যায় না।

ନିଶ୍ଚର୍ମ ଅଧ୍ୟାତ୍ମ

## ପଦାର୍ଥର ଆଣବିକ ପରିସଂଖ୍ୟାଳ

### ୧୦.୧ ଆଣବିକ ପରିସଂଖ୍ୟାଲେର ପ୍ରଯୋଜନୀୟତା

ଗ୍ୟାସେର ପ୍ରଚାଳିତ ଆଣବିକ ତତ୍ତ୍ଵର ମୂଳ ଉଦ୍ଦେଶ୍ୟ ଅଣୁର ପାରିଷ୍ପରିକ ବଲେର ପ୍ରଭାବେ ଗ୍ୟାସ-ଅଣୁ ଗତିବିଧିର ବିଶ୍ଳେଷଣ । ବିନ୍ତତ ପ୍ରଯୋଗକ୍ଷେତ୍ରେ ଏହି ପ୍ରକାର ବିଶ୍ଳେଷଣେ ଆଣବିକ ତତ୍ତ୍ଵ ସଥେଷ୍ଟ ସାଫଲାଲାଭ କରରେଛେ । ତବେ ଏ କଥାଓ ଅନୁଷ୍ଠାକାର୍ୟ ସେ ଆଣବିକ ତତ୍ତ୍ଵେ ବ୍ୟବହରତ ପଢ଼ାଇର କ୍ଷମତା ସୀମିତ । ତାର କାରଣ ହିରିଧି :

(କ) ବିଭିନ୍ନ ପ୍ରକାର ଅଣୁର ପାରିଷ୍ପରିକ ବଲେର ପ୍ରକୃତି ସଂପୂର୍ଣ୍ଣରୂପେ ଜ୍ଞାତ ନନ୍ଦ । ଏହି ବଲେର ସଂପର୍କେ ନାନା ଗୁଣଗତ ଅନ୍ତିକାର ମେନେ ନିତେ ହୟ ଥାର ଫଳେ ଆଣବିକ ତତ୍ତ୍ଵର ବିଶ୍ଳେଷଣ ବାପକଭାବେ ପ୍ରଯୋଜ୍ୟ ହୟ ନା । ଏମନ କି ଏହି ବଲେର ପ୍ରକୃତି ସାଠିକଭାବେ ଜାନା ଥାକଲେଓ ବିଶାଲସଂଖ୍ୟାକ ଅଣୁର କ୍ଷେତ୍ରେ ପ୍ରାତିଟିର ଉପର ଅନ୍ୟ ସକଳ ଅଣୁର ପ୍ରୟୁକ୍ତ ବଳ-ସମ୍ବନ୍ଧକେ ବିବେଚନା କ'ରେ ତାର ଗତିବିଶ୍ଳେଷଣ ଏକ ଅସମ୍ଭବ ବ୍ୟାପାର । ସର୍ବୋପାର, ସମସ୍ତ ଗ୍ୟାସେର ସମ୍ପର୍କିତ ଆଚରଣ ଏବଂ ଏହି ଆଚରଣ-ସଂକ୍ରାନ୍ତ କରେକଟି ରାଶିର ଗଡ଼ ମାନଇ ( ସଥା ଚାପ, ଉକ୍ତା ) ପଦାର୍ଥବିଦ୍ୟାର ଉପଜୀବ୍ୟ ବିଷୟ । ନିର୍ଦ୍ଦିଷ୍ଟ କୋନ ଅଣୁର ଗତିପ୍ରକୃତିର ପୂର୍ଣ୍ଣ ବିଶ୍ଳେଷଣ ତାଇ ଶୁଭ୍ୟ ଅସମ୍ଭବ ନନ୍ଦ, ଅପ୍ରୟୋଜନୀୟ ଓ ବଟେ ।

(ଖ) କେବଳମାତ୍ର ବଳିବିଦ୍ୟାର ବ୍ୟବହାର ଦ୍ୱାରା ଗ୍ୟାସେର ସର୍ବପ୍ରକାର ଆଚରଣେର ବାଖ୍ୟା ଦେଉୟା ସମ୍ଭବ ନନ୍ଦ । କୋନ କୋନ କ୍ରିୟାର ଅପ୍ରତାବର୍ତ୍ତନ୍ୟୋଗାତା (irreversibility) ଅଥବା ତାପଗତିବିଦ୍ୟାର ଦ୍ୱିତୀୟ ସୂତ୍ରେର ବାଖ୍ୟା ବଳିବିଦ୍ୟାର ଆଓତାର ସଂପୂର୍ଣ୍ଣ ଦାଇରେ । ବନ୍ତତଃ, ଏଗୁଲିର ବାଖ୍ୟା ସଂପୂର୍ଣ୍ଣ ନିର୍ଭର କରେ ଘଟନାର ସନ୍ତାବାତାର ଉପର । ଉଦାହରଣ-ଦ୍ୱାରା ବଲା ଯାଇ ସେ ଦୁଇଟି ପରିମଳ ସଂଯୁକ୍ତ ଆଧାରେ ସିଦ୍ଧ କୋନ ଗ୍ୟାସ ଥାକେ ତବେ କୋନଓ ବିଶେଷ ମୁହଁରେ ସମସ୍ତ ଗ୍ୟାସ ଅଣୁଇ ଏକ ଆଧାରେ ଚଲେ ଆସନ୍ତେ ପାରେ । ଅନ୍ତତଃ ଏବୁପ ଘଟନା ବଳିବିଦ୍ୟା ଅନୁଯାୟୀ ଅସମ୍ଭବ ନନ୍ଦ ଏବଂ ଆଣବିକତତ୍ତ୍ଵ ଏହି ଘଟନାକେ 'ସମ୍ଭବ' ଅର୍ଭାହିତ କରେଇ କ୍ଷାନ୍ତ ହୟ । ବାନ୍ଧବକ୍ଷେତ୍ରେ ଏବୁପ ଘଟନା ଘଟିଲେ ଦେଖା ଯାଇ ନା କେବଳା ଏବୁପ ଘଟନା ଅତ୍ୟନ୍ତ ଅସନ୍ତାବା ।

ଏହି ସନ୍ତାବାତା-ଅସନ୍ତାବାତାର ବିଚାରଇ ଆଣବିକ ପରିସଂଖ୍ୟାଲେର ମୂଳ କଥା ।

## ১০.২ বোল্ট্জমান উপপার্ক্ষটি—অবিন্যস্ততা ও সম্ভাব্যতার সম্পর্ক

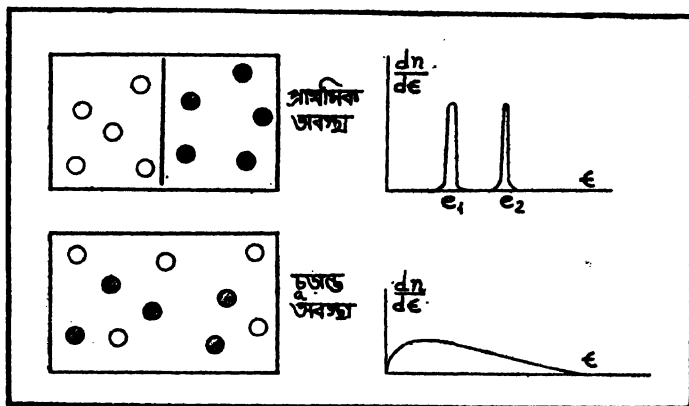
তাপগার্তিবিদ্যার অভিজ্ঞতা থেকে জানা যায় যে কোনও অবরুদ্ধ বন্ধু-সমষ্টির অরিন্যস্ততা (entropy) কখনও কমানো যায় না। এবৃপ বন্ধুসমষ্টির মধ্যে কোনও প্রকৃত্যা যদি প্রত্যাবর্তক হয় তবে তার ক্ষেত্রে অবিন্যস্ততার পরিবর্তন  $\Delta S = 0$  হয় ; সমস্ত অপ্রত্যাবর্তক প্রকৃত্যাতেই  $\Delta S$  এর মান শূন্য অপেক্ষা বৃহত্তর হয়। যখন এই অবিন্যস্ততা এক গরিষ্ঠ মান লাভ করে তখনই বন্ধুসমষ্টি সাম্যাবস্থায় উপনীত হয়।

সমগ্র বিশ্বের (universe) অবিন্যস্ততার ক্ষেত্রেও একই কথা বলা চলে। যখনই কোন অপ্রত্যাবর্তক ঘটনা ঘটে—যথা তাপের উৎক থেকে শীতল স্থানে প্রবাহ, গ্যাসের ব্যাপন, ঘর্ষণজনিত রোধের বিবুদ্ধে যাঁত্রিক শক্তির বায়—তখনই বিশ্বের অবিন্যস্ততা বৃদ্ধি পায় : (বিশ্বের প্রতিটি ঘটনাই প্রকৃতপক্ষে অপ্রত্যাবর্তক ; প্রত্যাবর্তক ঘটনা তাপগার্তিবিদ্যার পুনরুৎসরের বাইরে ঘটে না।) বিশ্বের অবিন্যস্ততা এইভাবে নিয়ন্তই বর্ধিত হয়।

এ পর্যন্ত আমরা গাণিতিক অবিন্যস্ততার কথা চিন্তা করলাম। বাস্তবক্ষেত্রে কোন বন্ধুসমষ্টি স্বতঃই সুশৃঙ্খল অবস্থা থেকে অবিন্যস্ত বা বিশৃঙ্খল অবস্থায় উপনীত হয়। এই তথ্যের অনুশীলনের জন্য আমরা এক কম্পিত পরামীক্ষা করব। মধ্যস্থলে বিভাজক বিশিষ্ট কোন অবরুদ্ধ আধারের দুই অংশে সমসংখ্যাক দুই প্রকার আদর্শ গ্যাসের অণু ছাড়া যাক। প্রথম প্রকারের (সাদা) প্রতিটির গতীয় শক্তি  $e_1$ , দ্বিতীয় প্রকারের (কালো) ক্ষেত্রে  $e_2$ । বিভাজকটিকে এখন সরিয়ে নেওয়া যাক। দুই প্রকারের অণুই এখন সমগ্র আধারের মধ্যে ছাঁড়ে পড়বে। এছাড়া, দুই প্রকারের অণুর নিজেদের ও পরস্পরের মধ্যে সংঘর্ষের ফলে গতীয় শক্তির বিনিময় ঘটবে। ক্রমশঃ অণুগুলির গতীয় শক্তির বক্টন পরিবর্তিত হ'য়ে এক চূড়ান্ত স্থিরবৃপ্ত গ্রহণ করবে। ১০.১ চিত্রে গতীয় শক্তির প্রাথমিক ও চূড়ান্ত বক্টন দেখানো হ'ল। অবস্থান ও গতীয় শক্তির বক্টন—উভয় দিক দিয়েই অণুগুলি প্রাথমিক সুবিন্যস্ত অবস্থা থেকে চরম বিশৃঙ্খলায় পৌছায়।

অণুসমষ্টির ক্রমবর্ধমান বিশৃঙ্খলার কারণ বিভিন্ন অবস্থার আপেক্ষিক সম্ভাব্যতার মধ্যে নির্হিত। গ্যাসের কোন বিশেষ অবস্থার এই সম্ভাব্যতার ব্যাখ্যা প্রয়োজন। ধরা যাক কোন গ্যাস  $N$ -সংখ্যক অণুর সমষ্টি। প্রতিটি

অণুৰ অবস্থা তিনটি অবস্থানসূচক ( $x, y, z$ ) ও তিনটি ভৱেগ-উপাখনসূচক ( $p_x, p_y, p_z$ )—মোট এই ছয়টি রাশিৰ দ্বাৰা নিৰ্দেশ কৰা যাব।



চিত্ৰ ১০.১

হয়মাত্রার এক নিৰ্দেশতত্ত্বে  $N$ -সংখ্যক বিন্দুৰ দ্বাৰা সমষ্টি গ্যাসেৰ অবস্থাই চিহ্নিত হতে পাৰে।

হয়মাত্রার এই আয়তনকে অণুৰ শক্তি  $\epsilon$  অনুসাৰে বিভিন্ন কক্ষে ভাগ কৰা যাব। অণুৰ কোন বিশেষ বট্টন ব্যবস্থায়  $S_1, S_2, \dots, S_j, \dots$  প্ৰভৃতি কক্ষে অণুৰ সংখ্যা বথাক্তমে  $n_1, n_2, \dots, n_j, \dots$  এবং তাদেৱ শক্তি বথাক্তমে  $\epsilon_1, \epsilon_2, \dots, \epsilon_j, \dots$  ধৰা যাক। অবশ্যই  $\sum n_j = N$ । অণুৰ এই বিশেষ প্ৰকাৰ বিনামস ৰত উপাৰে হ'তে পাৰে তাৰ সংখ্যা  $W(n_1, n_2, \dots, n_j, \dots)$ ।  $n_1, n_2$  প্ৰভৃতি রাশিৰ মানও বিভিন্ন হ'তে পাৰে এবং এইভাৱে সকল প্ৰকাৱ বিনামস মোট ৰত প্ৰকাৱে হ'তে পাৰে তাৰ সংখ্যা  $\sum W(n_1, n_2, \dots, n_j, \dots)$ । সুতৰাং অণুৰ প্ৰৰ্বোজ বিশেষ প্ৰকাৱ বিন্যাসেৰ গাণিতিক সম্ভাব্যতা

$$P(n_1, n_2, \dots, n_j, \dots) = \frac{W(n_1, n_2, \dots, n_j, \dots)}{\sum W(n_1, n_2, \dots, n_j, \dots)} \quad 10.2.1$$

লক্ষণীয় যে  $P$  এবং  $W$  সমানুপাতী।  $P$  এৰ মান ব্যৱহাৰ সৰ্বাধিক হৰ, তথন  $W$  এৰ মানও সৰ্বাধিক হৰ।  $W$  রাশিকে আমৱা ‘বিন্যাসক’ নামে অভিহিত কৰিব।\*

$W$  কে ‘তাপগাতিক সম্ভাব্যতা’ (thermodynamic probability) ও বলা হৰ।

পূর্বালোচিত অণুসমষ্টির বিভিন্ন স্থানক ও ভৱবেগ-উপাখ্যসমূহের বিন্যাস এবং ভাবে পরিবর্তিত হয় বাতে 'বিন্যাসাঙ্কে'র মান ত্বরণঃ এক গুরুত মানের দিকে ঘেটে পারে। চূড়ান্ত অবস্থার থথন এই বিন্যাসাঙ্ক সর্বাধিক মান লাভ করে তখন অণুসমষ্টি সাম্যাবস্থার পৌছাই কেননা বিন্যাসাঙ্ক আর বাড়তে পারে না। বিন্যাসাঙ্কের এই বৃক্ষিক অণুসমষ্টির বিশ্বব্লার বৃক্ষবূপে প্রতিভাত হয়।

দেখা গেল যে বক্তুর সাম্যাবস্থার অবিন্যাসিতা  $S$  ও বিন্যাসাঙ্ক  $W$  উভয়ই সর্বাধিক হয়।  $S$  ও  $W$  এর মধ্যে এই কারণে এক অপেক্ষকীয় সম্পর্ক আশা করা যায়। ধরা যাক

$$S = f(W) \quad 10.2.2$$

এই সম্পর্ক সূচিত করে।  $f(W)$  এর প্রকৃতি নির্ণয় করা প্রয়োজন।

পৰম্পর সম্পর্কহীন দুই বক্তুসমষ্টির অবিন্যাসিতার মান থাকলে  $S_1$  ও  $S_2$  এবং বিন্যাসাঙ্ক থাকলে  $W_1$  ও  $W_2$  ধরা যাক। দুই বক্তুসমষ্টিকে যদি একটি সমষ্টিবূপেই কম্পনা করা যায় তবে এই বক্তুসমষ্টির মোট বিন্যাসাঙ্ক হবে  $W = W_1 W_2$  এবং মোট অবিন্যাসিতার মান হবে  $S = S_1 + S_2$ । 10.2.2 অনুযায়ী

$$f(W) = f(W_1 W_2) = f(W_1) + f(W_2) \quad 10.2.3$$

শেষোক্ত সূত্র থেকেই  $f(W)$  এর প্রকৃতি নির্ণয় করা যায়। 10.2.3 সূত্রের উভয় পার্শকে থাকলে  $W_1$  ও  $W_2$  দ্বারা অন্তর্কালিত (differentiate) করলে পাওয়া যায় :

$$W_2 \frac{df(W_1 W_2)}{d(W_1 W_2)} = \frac{df(W_1)}{dW_1}$$

$$\text{এবং} \quad W_1 \frac{df(W_1 W_2)}{d(W_1 W_2)} = \frac{df(W_2)}{dW_2}$$

$$\text{অথবা} \quad W_1 \frac{df(W_1)}{dW_1} = W_2 \frac{df(W_2)}{dW_2} = W_1 W_2 \frac{df(W_1 W_2)}{d(W_1 W_2)} \quad ।$$

এর থেকে স্পষ্ট হয় যে প্রত্যেক বক্তুসমষ্টির ক্ষেত্রেই  $W \frac{df(W)}{dW}$  এক ধূবরাণি।

এই ধূবরাণির মান  $C$  ধরলে সমাকলনের দ্বারা পাওয়া যায়

$$f(W) \text{ বা } S = C \ln W + C' \quad 10.2.4$$

$C$  ও  $C'$  উভয়ই ধূবরাণি হ'লেও  $C'$  এর মান বিভিন্ন বক্তুসমষ্টির ক্ষেত্রে বিভিন্ন হ'তে পারে।  $C$  এর মান সর্বক্ষেত্রেই এক এবং নিম্নবর্ণিত উপায়ে সহজেই নির্ণয় করা যায়।

ধরা যাক কোন গ্যাসের আয়তন  $V$ , অবিন্যসিতা  $S$  এবং বিন্যাসাঙ্ক  $W$ । গ্যাসের যে কোনও অণুর অপেক্ষাকৃত সম্পর্ক আয়তন  $V - \Delta V$  ( $\Delta V \ll V$ ) এর মধ্যে অবস্থিত হওয়ার সম্ভাব্যতা  $1 - \frac{\Delta V}{V}$ । অণুর মোট সংখ্যা  $N$  হ'লে প্রত্যেক অণুর একই সংগে  $V - \Delta V$  আয়তনে অবস্থিত হওয়ার সম্ভাব্যতা  $(1 - \frac{\Delta V}{V})^N$ । এই অবস্থায় গ্যাসের উক্ততা এক থাকলেও অবিন্যসিতা ও বিন্যাসাঙ্কের মান ক'মে যথাক্রমে  $S - \Delta S$  ও  $W - \Delta W$  হয়। যেহেতু বিন্যাসাঙ্কের বিভিন্নতা কেবলমাত্র অণুসমূহের অবস্থানের তারতম্যের জন্যই ঘটে, অতএব

$$\frac{W - \Delta W}{W} = \left( 1 - \frac{\Delta V}{V} \right)^N$$

$$\text{অথবা } \frac{\Delta W}{W} = N \frac{\Delta V}{V}$$

$$10.2.4 \text{ সূত্র থেকে } \Delta S = C \frac{\Delta W}{W} = CN \frac{\Delta V}{V}$$

$$\text{অর্থাৎ } \left( \frac{\partial S}{\partial V} \right)_T = \frac{CN}{V} \quad 10.2.5$$

এখানে যে প্রকার গ্যাসের কম্পনা করা হ'য়েছে তা প্রকৃতপক্ষে আদর্শ গ্যাস। সুতরাং একেতে

$$\left( \frac{\partial S}{\partial V} \right)_T = \frac{p}{T} \quad (p = \text{চাপ}) \quad 10.2.6$$

10.2.5 ও 10.2.6 থেকে পাওয়া যায়  $pV = CNT$ । এই সূত্র আদর্শ গ্যাসের সূত্র  $pV = NkT$  এর সংগে তুলনা করলে দেখা যায়  $C = k$ , বোল্ডস্মান ঝুক। 10.2.4 সূত্রকে এখন লেখা যেতে পারে

$$S = k \ln W + C' \quad 10.2.7$$

10.2.7 সূত্র 'বোল্ডস্মান উপপাদ্য' রূপে পরিচিত। এই সূত্রের সাহায্যে বল্টি-সমষ্টির কোনও নির্দিষ্ট অবস্থায় অবিন্যসিতার মান সূরিন্দিতরূপে জানা যায় না; তবে দুই অবস্থায় অবিন্যসিতার মধ্যে পার্থক্য নির্ণয় করা যায়। প্লাঙ্ক (Planck) 10.2.7 সূত্রে  $C'$  ঝুকের মান শূন্য কম্পনা করেন। এই মত অনুযায়ী লেখা যেতে পারে

$$S = k \ln W \quad 10.2.8$$

### ১০.৩ প্রাক্ক-কণিকাবাদী ও কণিকাবাদী বট্টনসূত্র

সাধ্যাবদ্ধাম কোন কণিকাসমষ্টির গাণিতিক সম্ভাব্যতা  $P$  এবং সেইহেতু বিন্যাসাত্মক  $W$  গরিষ্ঠ মান লাভ করে—এই সত্ত্বেও সাহায্যে বিভিন্ন প্রকৃতিতে কণিকার বট্টনসূত্র নির্ণয় করা যায়। প্রাক্ক-কণিকাবাদ যুগে গ্যাসের অণুর ক্ষেত্রে  $W$  এর মান নির্ণয়ের জন্য ধ'রে নেওয়া হ'ত যে অণুগুলিকে পরম্পরার থেকে আলাদা ক'রে ঢেনা যায়। সেই সংগে শক্তির দুই নির্দিষ্ট সীমা  $e$  ও  $e+de$  এর মধ্যে যে সংখ্যাক অণু থাকতে পারে তার কোন উৎকর্ষ সীমা কম্পন করা হ'ত না। দেখা যাবে এই ধারণা অনুযায়ী যে প্রাক্ক-কণিকাবাদ বট্টনসূত্র পাওয়া যাবে তা প্রকৃতপক্ষে পূর্বীর্ণাত ম্যাঝওয়েল-বোল্ট্সমান সূত্র। এই সূত্র সাধারণ গ্যাস অণুর ক্ষেত্রে প্রযোজ্য হ'লেও আলোককণিকা বা পরিবাহীর মধ্যে ইলেকট্রন গ্যাসের ক্ষেত্রে প্রয়োগ করা যায় না। এই সকল অবস্থার পক্ষে উপরুক্ত বট্টন সূত্র নির্ধারণের জন্য কণিকাবাদের যুগে পূর্বের ধারণা সংশোধিত হয়। প্রথমতঃ, কণিকাসমূহের পারম্পরিক অভিষ্ঠতা স্বীকার করা হয়। তার ফলে কণিকার যে কোনও বট্টনে দুই কণিকা পরম্পর স্থানবিনিয়ন করলে অন্য নৃতন কোন বট্টনের উন্নত হয় না। দ্বিতীয়তঃ, ১০.২ অংশে কম্পত বড়মার্গিক আয়তনে\* শক্তির সীমা  $e$  ও  $e+de$  এর মধ্যে অবস্থিত কক্ষের আয়তন যদি  $dc$  হয় তবে এই আয়তনে কেবলমাত্র  $\frac{dc}{h^3}$  ( $h$  = প্রাক্কের ধূবুক) সংখ্যক কোষ থাকবে। এই কোষগুলির প্রতিটির সংগে কণিকার স্থানাত্মক, ভরবেগ-উপাখণ ইত্যাদির নির্দিষ্ট মান জড়িত, যার ফলে কোষগুলি পরম্পর থেকে বিভিন্ন। যে সকল কণিকার ক্ষেত্রে পাউলির অপবর্জন নীতি (Pauli's Exclusion Principle) প্রযোজ্য নয়, প্রতি কোষে সেরূপ কণিকা যে কোনও সংখ্যার অবস্থিত হ'তে পারে। কিন্তু অপবর্জন নীতি পালনকারী কণিকার ক্ষেত্রে প্রতি কোষে সর্বাধিক একটি কণিকাই থাকা সম্ভব। এই দুই অবস্থার যে দুই বিভিন্ন কণিকাবাদী বট্টনসূত্র পাওয়া যায় সেগুলি শর্থাক্রমে বস্তু-আইনস্টাইন (Bose-Einstein) ও ফার্মি-ডির্যাক (Fermi-Dirac) বট্টনসূত্র নামে পরিচিত।

বরুতঃ সকল প্রকার কণিকাই কণিকাবাদের নির্ম অনুসরণ করে। সুতরাং প্রাক্ক-কণিকাবাদ পক্ষতে নির্ণাত ম্যাঝওয়েল-বোল্ট্সমান সূত্র কখনই শর্থার্থ সূত্র হিসাবে পরিগণিত হ'তে পারে না। কণিকাবাদী পক্ষতে যে দুই প্রকার

\* কণিকার দ্বারা কৌণিক ভরবেগ (intrinsic angular momentum) আকলে এই আয়তনের আরও একটি মাত্রা বোগ হবে।

ব'লনসৃষ্টি পাওয়া যাই প্রত্যেক প্রকারের কণিকাই তার কোন একটিকে পালন করে। তবে সাধারণ গ্যাস সচরাচর যে উক্ততা ও ঘনত্বে থাকে, তাতে প্রার্থ কক্ষে অবস্থানকারী অণুর সংখ্যা কক্ষে যতগুলি কোষের স্থান সম্বুদ্ধান হয় তার সংখ্যা অপেক্ষা অনেক কম হয়। পরে দেখা যাবে যে এই অবস্থার দুই কণিকাবাদী ব'লনসৃষ্টিভাবে ম্যাজ্ঞওয়েল-বোল্টস্মান সূত্রের বৃপ্ত গ্রহণ করে। সূত্রাং সাধারণ গ্যাসের ক্ষেত্রে ম্যাজ্ঞওয়েল-বোল্টস্মান সূত্র ব্যাখ্যা না হ'লেও মোটামুটিভাবে পুঁটিহীন ব'লে ধরে নেওয়া যায়।

### (i) ম্যাজ্ঞওয়েল-বোল্টস্মান ( আক-কণিকাবাদী ) ব'লন

ধৰা যাক  $\epsilon_1, \epsilon_2, \dots, \epsilon_r$ , শার্জিবিশিষ্ট বিভিন্ন কক্ষের কণিকাসংখ্যা  $n_1, n_2, \dots, n_r$ । মোট কণিকাসংখ্যা  $\sum_j n_j = N$ ।  $N$  সংখ্যক কণিকার এই প্রকার ব'লনের বিন্যাসাঙ্ক নির্ণয় করা যাক। প্রথম  $n_1$  সংখ্যক কণিকা  $N_{C_{n_1}}$  উপারে নির্বাচন করা যেতে পারে। অবশিষ্ট  $(N - n_1)$  সংখ্যক কণিকার মধ্যে পরবর্তী  $n_2$  সংখ্যক কণিকা নির্বাচন করা যায়  $N - n_1 C_{n_2}$  উপায়ে। এইভাবে মোট বিন্যাসাঙ্ক

$$\begin{aligned} W &= N_{C_{n_1}} \cdot N - n_1 C_{n_2} \cdot \dots \\ &= \frac{N!}{n_1! (N - n_1)!} \cdot \frac{(N - n_1)!}{n_2! (N - n_1 - n_2)!} \cdot \dots \\ &= \frac{N!}{n_1! n_2! \cdots n_r!} \end{aligned}$$

অথবা  $\ln W = \ln (N!) - \sum \ln (n_j !)$  10.3.1  
 $= N \ln N - N - \sum (n_j \ln n_j - n_j)$

( স্টার্লিং সূত্র\* অনুসারে আসুন মান )

$$= N \ln N - \sum n_j \ln n_j \quad ( \text{কেননা } N = \sum n_j ) \quad 10.3.2$$

$W$  এর সর্বাধিক মানের ক্ষেত্রে  $dW = 0$ , সূত্রাং  $d(\ln W) = 0$ ।

10.3.2 থেকে, যেহেতু  $N$  খুবরাশি,

$$\sum (1 + \ln n_j) dn_j = 0 \quad 10.3.3a$$

\* স্টার্লিং (Stirling) সূত্র অনুসারে যদি  $N >> 1$  হয় তবে  
 $\ln N! = N \ln N - N$

কণিকার মোট সংখ্যা  $N = \sum n_j$  এবং মোট শক্তি  $E = \sum n_j \epsilon_j$  উভয়ই ধূরূপ। সুতরাং

$$dN = \sum dn_j = 0 \quad 10.3.3b$$

$$\text{ও } dE = \sum \epsilon_j dn_j = 0 \quad 10.3.3c$$

10.3.3 সূত্রসমূহকে লাগ্নজের অনীন্দ্য ধূক ব্যবহার করে একত্রিত করা যাব :

$$\Sigma (1 + \ln n_j) dn_j + \alpha' \Sigma dn_j + \beta \Sigma \epsilon_j dn_j = 0$$

$$\text{অথবা } \Sigma (\ln n_j + \alpha + \beta \epsilon_j) dn_j = 0 \quad (\alpha' + 1 - \alpha)$$

এই সূত্র  $\alpha$  ও  $\beta$  এর যে কোনও মানের জন্য সিক হ'তে হ'লে মৌগিকের প্রতিটি রাশির মানই শূন্য হবে। অতএব

$$\ln n_j + \alpha + \beta \epsilon_j = 0$$

$$\text{বা } n_j = e^{-\alpha - \beta \epsilon_j} \quad 10.3.4$$

$\alpha$  ও  $\beta$  ধূকসমূহের মান নিম্নোক্ত উপায়ে নির্ণয় করা যাব। 10.3.4  
অনুসারে

$$N = \sum n_j = e^{-\alpha} \sum e^{-\beta \epsilon_j} = f e^{-\alpha}$$

এখানে  $f = \sum e^{-\beta \epsilon_j}$ , ' $f$ ' কে 'গুরুত্ব-সমষ্টি' বলা যেতে পারে।

[ ' $f$ ' কে ডারউইন (Darwin) ও ফাউলার (Fowler) 'partition function'  
ও প্রাঙ্গ 'Zustandsumme' (State-sum) বলেছেন। ]

$$\text{এখন } e^{-\alpha} = \frac{N}{f}, \text{ অথবা}$$

$$n_j = \frac{N}{f} e^{-\beta \epsilon_j} \quad 10.3.5a$$

' $\beta$ ' এর মান বোল্ট্সমান উপপাদ্যের সাহায্যে নিরূপণ করা যাব।  
10.2.7 ও 10.3.2 সূত্র থেকে

$$\begin{aligned} S &= k (N \ln N - \sum n_j \ln n_j) + C' \\ &= k (N \ln N - \ln N \sum n_j + \ln f \sum n_j + \beta \sum n_j \epsilon_j) + C' \\ &= k (N \ln f + \beta E) + C' \end{aligned}$$

$$\begin{aligned} \text{এখন } \left(\frac{\partial S}{\partial E}\right)_V &= k \left[ \frac{N}{f} \left(\frac{\partial f}{\partial \beta}\right)_V + E \left(\frac{\partial \beta}{\partial E}\right)_V + \beta \right] \\ &= k\beta \end{aligned}$$

$$\text{কেননা, } \left(\frac{\partial f}{\partial \beta}\right)_v = -\sum e_j e^{-\beta \epsilon_j} = -\sum e_j \frac{f}{N} n_j = -\frac{f}{N} E$$

অপরপক্ষে তাপগার্তিবিদ্যার সূত্র  $TdS = dE + pdV$  থেকে

$$\left(\frac{\partial S}{\partial E}\right)_v = \frac{1}{T}$$

$$\text{অতএব, } k\beta = \frac{1}{T} \quad \text{অথবা} \quad \beta = \frac{1}{kT}$$

10.3.5a সূত্রকে এখন আরও সুনির্দিষ্ট করা যাব :

$$n_j = \frac{N}{f} e^{-\frac{\epsilon_j}{kT}} \quad 10.3.6b$$

এই সূত্রই ম্যাজওয়েল-বোল্টস্মান সূত্র।  $f$  এর আন নির্ণয় করলে এই সূত্রকে অপেক্ষাকৃত সুপরিচিতরূপে লেখা যাব। অবস্থান-নির্দেশাবক  $(x, x+dx)$ ,  $(y, y+dy)$  ও  $(z, z+dz)$  সীমার মধ্যে এবং ডরবেগ নির্দেশাবক  $(p_x, p_x+dp_x)$ ,  $(p_y, p_y+dp_y)$  ও  $(p_z, p_z+dp_z)$  সীমার মধ্যে অবস্থিত কণকার সংখ্যা  $d^6 n$  ধরা যাব। এরূপ ক্ষেত্রে 10.3.6b সূত্রকে লেখা যেতে পারে :

$$d^6 n = \frac{N e^{-\frac{\epsilon}{kT}}}{f dx dy dz dp_x dp_y dp_z} dx dy dz dp_x dp_y dp_z \quad 10.3.7$$

$\epsilon$  কে এখানে নিরবচ্ছিম (continuous) চেলাশ ধরা হ'বেছে। একই কারণে  $f$  কে ঘোঁগের পরিবর্তে সমাকলনরূপে প্রকাশ করা যেতে পারে। অর্থাৎ

$$f dx dy dz dp_x dp_y dp_z = \int_{x, y, z} e^{-\frac{\epsilon}{kT}} dx dy dz dp_x dp_y dp_z$$

$$-\frac{p_x^2 + p_y^2 + p_z^2}{2mkT} \quad dp_x dp_y dp_z$$

$$-\int_{x, y, z} dx dy dz \int_{p_x, p_y, p_z} e^{-\frac{p_x^2 + p_y^2 + p_z^2}{2mkT}} dp_x dp_y dp_z$$

$$-V(2\pi mkT)^{\frac{3}{2}} \quad [ V = \text{মোট আয়তন} ]$$

এই মান 10.3.7 সূত্রে ব্যবহার করা হতে পারে। উপরন্তু

$$dx dy dz dp_x dp_y dp_z = dV p^3 \sin \theta dp d\theta d\phi$$

( $p$  = লক্ষ ভরবেগের পরিমাণ,  $\theta$  ও  $\phi$  = লক্ষ ভরবেগের নতাংশ ও দিগংশ নির্দেশক কোণসময়) লিখলে এবং  $p$  ব্যতীত অপর সকল চলরাশির উপর 10.3.7 সূত্রের উভয় পার্শ্বের সমাকলন করলে পাওয়া যাবে

$$dn = \frac{Ne}{V(2\pi mkT)^{\frac{3}{2}}} \cdot V \cdot 4\pi p^2 dp$$

$$-\frac{\epsilon}{kT}$$

এখন  $p^2 = 2m\epsilon$ ,  $dp = \sqrt{2m} \cdot \frac{d\epsilon}{2\sqrt{\epsilon}}$  ব্যবহার করলে  $\epsilon$  ও  $\epsilon + d\epsilon$

সীমার মধ্যে শান্তিবিশিষ্ট অণুর সংখ্যা পাওয়া যাবে :

$$dN_{\epsilon} = \frac{2Ne}{\sqrt{\pi(kT)^{\frac{3}{2}}}} \sqrt{\epsilon} d\epsilon \quad 10.3.8$$

এই সূত্র 4.5.1 সূত্রের অনুরূপ।

(ii) কণিকাবাদী বষ্টন

(ক) বসু-আইমস্টাইন বষ্টন

কণিকাবাদী বষ্টনের ক্ষেত্রে  $\epsilon$ , শান্তিবিশিষ্ট  $j$ -তর কক্ষে কোষের সংখ্যা  $c_j$  থাকা হবে। যে সকল কণিকা বসু-আইমস্টাইন বষ্টনসূত্র প্রতিপালন করে তাদের ক্ষেত্রে প্রাপ্ত কোষে যে কোনও সংখ্যাক কণিকাই অবস্থিত হ'তে পারে।

$c_j$  সংখ্যাক কোষে মোট  $n_j$  সংখ্যাক কণিকা বিন্যাসের সম্ভবপূর্ণ উপায় গণনা করা থাক।  $A_1, A_2, \dots, A_{c_j}$  থাকা  $c_j$  সংখ্যাক কোষ ও  $P_1, P_2, \dots, P_{n_j}$  থাকা  $n_j$  সংখ্যাক কণিকা সংজৰ্জ হবে।

$$(A_1 P_1 P_s)(A_2 P_1 P_4 P_s) \dots (A_{c_j} P_1 P_4 P_s)$$

শ্রেণীর থাকা কণিকাগুলির এক বিশেষ বিন্যাস নির্দেশ করা থাক। এই বিন্যাসে  $P_s P_s$  কণিকা  $A_1$  কোষে,  $P_1, P_4, P_s$  কণিকা  $A_2$  কোষে, এইবৃপ্তে অন্যান্য কণিকা অপরাপর কোষে অবস্থিত।  $A_1$  থেকে  $A_{c_j}$  এর যে কোনওটিকে প্রথমে রেখে মোট  $c_j(n_j + c_j - 1)$ ! উপায়ে এবূপ একটি শ্রেণীকে লেখা থাক কেননা প্রথম চিহ্নটি স্থির থাকলে অপর  $(n_j + c_j - 1)$  সংখ্যক চিহ্ন

$(n_j + c_j - 1)$  ! উপায়ে স্থান-বিনিময় করতে পারে। তবে এইভূপে সৃষ্টি শ্রেণীগুলির প্রতোকাটী কোন ন্তুল বিন্যাস সূচিত করে না।  $n_j$  সংখ্যক কণক নিজেদের মধ্যে স্থানবিনিময় করে  $n_j$  ! উপায়ে বিবান্ত হ'তে পারে কিন্তু কণকাগুলি অভিম হওয়ায় এইভূপে লক্ষ  $n_j$  ! সংখ্যক শ্রেণী একই বল্টন সূচিত করে। অনুরূপভাবে শ্রেণীর বকলীভূত অংশগুলি, যাদের সংখ্যা  $c_j$ , মোট  $c_j$  ! উপায়ে সংজ্ঞিত হ'তে পারে এবং তার দ্বারাও ন্তুল কোন বিন্যাসের উন্নত হয় না। এইভাবে মোট

$$\frac{c_j(c_j + n_j - 1) !}{c_j ! n_j !} = \frac{(c_j + n_j - 1) !}{(c_j - 1) ! n_j !}$$

সংখ্যক উপায়ে  $j$ -তম কক্ষে  $n_j$  সংখ্যক কণক বিন্যাস হ'তে পারে। এইভূপে সকল কক্ষের হিসাব করলে পাওয়া যায়

$$\text{মোট বিন্যাসসম্ভ } W = \prod_j \frac{(c_j + n_j - 1) !}{(c_j - 1) ! n_j !}$$

অথবা, স্টোর্লিং সূত্রের সাহায্যে,

$$\begin{aligned} \ln W &= \sum_j [\ln(c_j + n_j - 1) ! - \ln(c_j - 1) ! - \ln n_j !] \\ &= \sum_j [(c_j + n_j) \ln(c_j + n_j) - (c_j + n_j) - c_j \ln c_j \\ &\quad + c_j - n_j \ln n_j + n_j] \\ &\quad (\because n_j \text{ বা } c_j > > 1) \\ &= \sum_j [(c_j + n_j) \ln(c_j + n_j) - c_j \ln c_j - n_j \ln n_j] \quad 10.3.9 \end{aligned}$$

সাম্যাবস্থায়  $W$  এর সর্বাধিক মানের ক্ষেত্রে  $d(\ln W) = 0$ , সুতরাং

$$\sum_j \ln\left(1 + \frac{c_j}{n_j}\right) dn_j = 0 \quad (\because dc_j = 0) \quad 10.3.10$$

কণকার মোট সংখ্যা ও মোট শীক্ষ ঝুঁকাশি হওয়ায় 10.3.3 b ও 10.3.3 c সূত্রের এখানেও প্রযোজ্য। পূর্বের মত এই দুই সূত্রকে 10.3.10 এর সংগে একাগ্রত ক'রে পাওয়া যাব

$$\sum_j \left[ \ln\left(1 + \frac{c_j}{n_j}\right) - \alpha - \beta \epsilon_j \right] dn_j = 0$$

অথবা পূর্বের মুক্তি অনুযায়ী,

$$\ln\left(1 + \frac{c_j}{n_j}\right) - \alpha - \beta \epsilon_j = 0 \quad 10.3.11$$

$$\text{বা } n_j = \frac{c_j}{e^{\alpha + \beta \epsilon_j} - 1}$$

10.3.11 সূত্রই বসু-আইনস্টাইন বল্টনসূত্র। লক্ষণীয় যে যেহেতু  $\epsilon_j$  বিজিম মান গ্রহণ করতে পারে এবং  $n_j$  কখনও অগোড়াক হ'তে পারে না, অতএব সর্বদাই  $e^{\alpha + \beta \epsilon_j} > 1$  হয়।

#### (খ) ফার্মি-ডি঱্যাক বল্টন

বসু-আইনস্টাইন সূত্রের সর্তের থেকে এই সূত্রের সর্তের প্রভেদ এই যে এক্ষেত্রে প্রতি কোষে মাত্র একটি কঠিনকাই অবিচ্ছিন্ত হ'তে পারে।  $c_j$  সংখ্যক কোষে  $n_j$  সংখ্যক কঠিনক মোট

$$c_j C_{n_j} = \frac{c_j !}{n_j ! (c_j - n_j) !}$$

উপরে বিলাস হ'তে পারে। মোট বিলাসসংখ্যা এক্ষেত্রে

$$W = \prod_j \frac{c_j !}{n_j ! (c_j - n_j) !}$$

স্টার্নিং সূত্রের সাহায্যে

$$\ln W = \sum_j [c_j \ln c_j - n_j \ln n_j - (c_j - n_j) \ln (c_j - n_j)] \quad 10.3.12$$

সর্বাধিক সম্ভাব্যতার ক্ষেত্রে  $d(\ln W) = 0$ , সূত্রাঃ

$$\sum_j \ln\left(\frac{c_j}{n_j} - 1\right) dn_j = 0 \quad (\because dc_j = 0) \quad 10.3.13$$

পূর্বের মত 10.3.3 b ও 10.3.3 c সূত্রসমকে একই ক'রে

$$\sum_j \left[ \ln\left(\frac{c_j}{n_j} - 1\right) - \alpha - \beta \epsilon_j \right] dn_j = 0$$

সূত্রাঃ পূর্বের মুক্তি অনুযায়ী

$$n_j = \frac{c_j}{e^{\alpha + \beta \epsilon_j} + 1} \quad 10.3.14$$

10.3.14 সূত্র ফার্মি-ডি঱্যাক বল্টনসূত্র নামে পরিচিত।

10.3.11 ও 10.3.14 সূত্ৰকৰে পৱীক্ষা কৰলে দেখা থাব যে বৰি  
 $c_j > > n_j$ , অৰ্থাৎ  $e^{\epsilon_j} > > 1$  হয় তবে উভয় সূত্ৰই

$$n_j = \frac{c_j}{e^{\alpha + \beta \epsilon_j}} \quad 10.3.15$$

বৃপ্ত লাভ কৰে।  $c_j$  উৎপাদক বাতীত এই সূত্ৰ 10.3.4 অৰ্থাৎ ম্যাক্সওয়েল-  
 ৰোল্ডস্মান সূত্ৰের অনুৰূপ।  $c_j$  এখানে বিভিন্ন শক্তিবিশিষ্ট কক্ষেই  
 ‘পৰিসংখ্যালগত গুৰুত্ব’ (statistical weight) হিসাবে ধৰা থেকে পাৰে।

গ্যাসেৰ প্ৰকৃতি নিৰ্ধাৰণে  $e^{\epsilon_j}$  রাশিটিৰ এক বিশেষ গুৰুত্ব আছে। ‘ $e^{\epsilon_j}$ ’  
 এৱং মান যত বেশী হয় গ্যাসেৰ প্ৰকৃতি ততই প্ৰাক-কণিকাবাদী সূত্ৰ অনুধাৰণ  
 কৰে। প্ৰাক-কণিকাবাদী সূত্ৰ থেকে গ্যাসেৰ প্ৰকৃতিৰ বিভিন্নতাকে গ্যাসেৰ  
 “অপচাৰ” (degeneracy) বলা হয়।  $e^{\epsilon_j} > 1$ , অথবা 1 এৱং সংগে তুলনীয়  
 হ'লে সেই গ্যাস (অৰ্থাৎ কণিকাসমৰ্পিত) ‘স্বল্পাপচাৰী’ (weakly degenerate)  
 নামে অভিহিত হয়।  $e^{\epsilon_j} \leq 1$  হ'লে গ্যাসকে অতি-অপচাৰী (strongly  
 degenerate) বলা হয়। বসু-আইনস্টাইন বটনসূত্ৰ প্ৰতিপালনকাৰী গ্যাস এই  
 অৰ্থে সৰ্বদাই স্বল্পাপচাৰী। ফাৰ্মি-ডিৱ্যাক গ্যাসেৰ অপচাৰ স্বল্প ও অধিক  
 উভয়ই হ'তে পাৰে।

পৰ্যালোচিত তিনটি বটনসূত্ৰই নিষ্ঠালিখিত উপায়ে একত্ৰে প্ৰকাশ  
 কৰা থাব :

$$n_j = \frac{c_j}{e^{\alpha + \beta \epsilon_j} + \gamma} \quad \begin{array}{ll} \text{যেখানে বসু-আইনস্টাইন সূত্ৰ } \gamma = -1 \\ \text{ফাৰ্মি-ডিৱ্যাক সূত্ৰ } \gamma = +1 \\ \text{ম্যাক্সওয়েল-ৰোল্ডস্মান সূত্ৰ } \gamma = 0 \end{array} \quad 10.3.16$$

#### ১০.৪ কোৰসংখ্যা $c_j$ এবং $\alpha$ ও $\beta$ ক্ষেত্ৰকলায়েৰ আৰম্ভ

$c_j$  : বড়মাটিক নিৰ্দেশতত্ত্বে ( $x, y, z, p_x, p_y, p_z$ )  $\in \mathbb{C}$  ও  $\epsilon + d\epsilon$   
 শক্তিসীমাবৰণেৰ মধ্যে মোট আয়তন

$$V \cdot 4\pi p^3 dp = 4\sqrt{2\pi} V m^{\frac{3}{2}} \epsilon^{\frac{1}{2}} d\epsilon$$

একই নিৰ্দেশতত্ত্বে প্ৰতি কোৰেৰ আয়তন

$\Delta x \cdot \Delta y \cdot \Delta z \cdot \Delta p_x \cdot \Delta p_y \cdot \Delta p_z = h^3$ , কেন্তাৰ কণিকাবাদীৰ নীতি  
 অনুযায়ী  $\Delta x \cdot \Delta px = \Delta y \cdot \Delta py = \Delta z \cdot \Delta pz = h$  ( $h$ —প্ৰাক-ভূক্ত)

সুতরাং  $\epsilon$  ও  $\epsilon + d\epsilon$  শর্কিসৌমাত্রদের মধ্যে কোষসংখ্যা

$$c_j = \frac{4 \sqrt{2\pi} V m^{\frac{3}{2}} \epsilon^{\frac{1}{2}} d\epsilon}{h^3} \quad 10.4.1$$

$\beta$  : 10.2.7 সূচ থেকে

$$\left(\frac{\partial S}{\partial E}\right)_V = k \left[ \frac{\partial}{\partial E} (\ln W) \right]_V$$

ফিল্ট, 10.3.16 সূচ থেকে

$$d(\ln W) \text{ বা } \sum \ln \left( \frac{c_j}{n_j} - \gamma \right) dn_j$$

$$= \Sigma (a + \beta \epsilon_j) dn_j$$

$$= \beta dE$$

$$\text{অতএব, } \left(\frac{\partial S}{\partial E}\right)_V = k\beta \quad 1$$

$$\text{পূর্বে দেখা গেছে } \left(\frac{\partial S}{\partial E}\right)_V = \frac{1}{T}, \quad \text{সুতরাং } \beta = \frac{1}{kT} \quad 10.4.2$$

$e^\alpha$  :  $a$  বা  $e^\alpha$  এর মানের জন্য  $N = \Sigma n_j$  এই সম্পর্কের ব্যবহার অযোজন। 10.3.16 থেকে

$$\Sigma n_j = \sum \frac{c_j}{e^{\alpha} + \beta \epsilon_j + \gamma}$$

' $c_j$ ' এর পূর্ণিন্দীত মান ব্যবহার ক'রে এই যোগফলের মান সমাকলন দ্বারা নির্ণয় করা যেতে পারে—

$$\begin{aligned} \sum n_j &= \int_{\epsilon=0}^{\infty} \frac{4 \sqrt{2\pi} V m^{\frac{3}{2}}}{h^3} \cdot \frac{\epsilon^{\frac{1}{2}} d\epsilon}{e^{\alpha} + \beta \epsilon + \gamma} \\ &= \frac{4 \sqrt{2\pi} V m^{\frac{3}{2}} \beta^{-\frac{3}{2}}}{e^{\alpha} h^3} \int_{x=0}^{\infty} \frac{x^{\frac{1}{2}} dx}{e^{\alpha} + \gamma e^{-\alpha}} \quad (x = \beta \epsilon) \end{aligned}$$

সমাকলনটিকে  $I$  দ্বারা চিহ্নিত করলে

$$e^\alpha = \frac{4 \sqrt{2\pi} V (mkT)^{\frac{3}{2}}}{Nh^3} \cdot I \quad 10.4.3$$

অনপচারী (non-degenerate) অর্থাৎ ম্যাক্সেল-বোল্ডসমান গ্যাসের ক্ষেত্রে  $\gamma = 0$ , সুতরাং

$$I = \int_0^{\infty} e^{-ax} x^{\frac{1}{2}} dx = \Gamma(\frac{1}{2}) = \sqrt{\frac{\pi}{2}}$$

$$\text{এবং } e^a = \frac{(2\pi mkT)^{\frac{3}{2}}}{nh^3} \quad \left( n = \frac{N}{V} = \text{কণকার দ্বন্দ্বসংখ্যা} \right) \quad 10.4.4$$

$e^a$  এর এই মানকে  $f_0$  অভিহিত করা যাক।

স্প্যাপচারী গ্যাসের ক্ষেত্রে যদি  $e^a >> 1$  হয় তবে

$$I = \frac{\sqrt{\pi}}{2} \left[ 1 - \frac{\gamma}{2^{\frac{3}{2}}} e^{-a} + \frac{\gamma^2}{3^{\frac{3}{2}}} e^{-2a} - \dots \right]$$

$$\text{অর্থাৎ } e^a = f_0 \left[ 1 - \frac{\gamma}{2^{\frac{3}{2}}} e^{-a} + \frac{\gamma^2}{3^{\frac{3}{2}}} e^{-2a} - \dots \right]$$

$e^a$  এর এই মান মোটামুটিভাবে  $f_0$  এর সমান। সুতরাং বকলীভুক্ত অংশের মধ্যে  $e^a$  এর পরিবর্তে  $f_0$  ব্যবহার করে লেখা যায়—

$$e^a = f_0 \left[ 1 - \frac{\gamma}{2^{\frac{3}{2}} f_0} + \frac{1}{3^{\frac{5}{2}} f_0} \right] \quad (\because \gamma^2 = 1) \quad 10.4.5$$

বসু-আইনস্টাইন গ্যাসের চরম অপচারের ক্ষেত্রে  $e^a = 1$ । এবুপ অবস্থায় ( $\because \gamma = -1$ )

$$I = \frac{\sqrt{\pi}}{2} \left[ 1 + \frac{1}{2^{\frac{3}{2}}} + \frac{1}{3^{\frac{5}{2}}} + \dots \right] = 2.612 \sqrt{\pi}$$

$$\text{অর্থাৎ } f_0 = \frac{(2\pi mkT)^{\frac{3}{2}}}{nh^3} = \frac{1}{2.612} \quad 10.4.6$$

যে কোনও বসু-আইনস্টাইন গ্যাসের চরম অপচারী অবস্থায় (অর্থাৎ বখন  $e^a = 1$ ) কণকার দ্বন্দ্বসংখ্যা ও উক্তার সম্পর্ক 10.4.6 সূত্র দ্বারা নির্দিষ্ট হয়।

অতি-অপচারী ফার্মি-ডি঱্যাক গ্যাসের ক্ষেত্রে  $\gamma = 1$  এবং  $e^a << 1$ । এই অবস্থায়  $a$  অণ্টারক, সুতরাং  $-a = a$  ধরা যাক। এখন

$$I = \Gamma(\frac{1}{2}) \frac{4}{3\sqrt{\pi}} e^a a^{\frac{3}{2}} \left( 1 + \frac{\pi^2}{8a^2} + \dots \right)$$

### অর্থাৎ 10.4.3 অনুমানী

$$e^{\alpha} = f_0 \cdot \frac{4}{3\sqrt{\pi}} e^{\alpha} a^{\frac{5}{2}} \left( 1 + \frac{\pi^2}{8a^2} + \dots \right)$$

$$\text{বা } \frac{3\sqrt{\pi}}{4f_0} = a^{\frac{5}{2}} \left( 1 + \frac{\pi^2}{8a^2} + \dots \right)$$

যেহেতু  $a^2 >> 1$ , মোটার্গুটিভাবে 'a' রাশির শূক্র মান পাওয়া যায়

$$a_0 = \left( \frac{3\sqrt{\pi}}{4f_0} \right)^{\frac{2}{5}} \quad 10.4.7$$

এবং এই মানের সাহায্যে লেখা যায়

$$a^{\frac{5}{2}} = a_0^{\frac{5}{2}} \left( 1 + \frac{\pi^2}{8a_0^2} \right)^{-1}$$

$$\text{বা } a = a_0 \left( 1 + \frac{\pi^2}{8a_0^2} \right)^{-\frac{2}{5}}$$

$$= a_0 \left( 1 - \frac{\pi^2}{12a_0} \right) \quad 10.4.8$$

10.4.7 ও 10.4.8 সূত্রসম থেকে এখন  $e^{\alpha}$  এর মান পাওয়া যাবে।

### ১০.৫ বিভিন্ন গ্যাসের পরিসংখ্যালগত প্রকৃতি

বিভিন্ন প্রকার গ্যাসের ক্ষেত্রে  $e^{\alpha}$  রাশির মান নিরূপণ ক'রে তাদের অপচারগত প্রকৃতি জানা যায়।  $e^{\alpha}$  রাশিটি এই কারণে 'অপচার পরমিতি' (degeneracy parameter) নামে অভিহিত হয়।

সাধারণ গ্যাসের ক্ষেত্রে  $p = nkT$  সূত্রের সাহায্যে  $f_0$  কে লেখা যেতে পারে—

$$f_0 = \frac{(2\pi)^{\frac{5}{2}} k^{\frac{5}{2}}}{h^5} \cdot \frac{m^{\frac{5}{2}} T^{\frac{5}{2}}}{p}$$

$$= 1.21 \times 10^{40} \cdot \frac{m^{\frac{5}{2}} T^{\frac{5}{2}}}{p}$$

সাধারণ চাপ ও উক্তার নাইট্রোজেন গ্যাসের ক্ষেত্রে  $m = 4.65 \times 10^{-28}$  gm,  $T = 273^{\circ}\text{K}$  ও  $p = 1.01 \times 10^6$  dyne cm<sup>-2</sup>, সূতরাং  $f_0 = 4.7 \times 10^6$ ।

কাজেই  $e^{\alpha} >> 1$  এবং ম্যারকেল-বোল্টস্মান সূত্র এখানে সুপ্রযোজ্য।

একই চাপে হিলিয়াম ( $\text{He}^+$ )  $4.24^\circ\text{K}$  উক্তাতেও গ্যাসীয় অবস্থাতে থাকে। পূর্বের সূত্র অনুযায়ী এই অবস্থায়  $f_0 \approx 7.5$ । এই মান 1 এর তুলনীয়, সুতরাং হিলিয়াম গ্যাসকে এই অবস্থায় অণ্পাপচারী বলা যায়। অবশ্য  $\text{He}^+$  গ্যাস বসু-আইনস্টাইন ও ফার্মি-ডিরাক বক্টনের কোনটি অনুসরণ করবে তা এ থেকে বলা যায় না।

আলোককণিকা বা ফোটনের (photon) সমষ্টির ক্ষেত্রে পাউলীর নীতি প্রযোজ্য নয়, তাই বসু-আইনস্টাইন বক্টনসূত্রের সৰ্ব ফোটনগ্যাস প্রতিপালন করে। উপরন্তু, যেহেতু বিভিন্ন ভৌতিক ঘটনায় [ যথা অভ্যন্তরিক বিকিরণ (Bremsstrahlung), কণকাযুগ্মের সৃষ্টি (pair creation) ] ফোটন নিয়ন্ত্রিত সৃষ্টি ও শোষিত হয়, ফোটনসমষ্টির ক্ষেত্রে  $\Sigma dn_j = 0$  সৰ্ব আন্তরিক ঘটনায় নাই। এই কারণে 10.3.11 সূত্রে  $\propto$  খুকের অনুপ্রবেশ ঘটে না। এবং ফোটনের ক্ষেত্রে বক্টনসূত্র এই রূপ গ্রহণ করে—

$$n_j = \frac{c_j}{e \epsilon_j / kT - 1} \quad 10.5.1$$

এক্ষেত্রে ' $c_j$ ' এর মান সহজেই নির্ণয় ক'রে পারে। ফোটনের ভরবেগ  $p = \frac{hv}{c}$  ( $v$  = ফোটনের কম্পাক্ষ ) ব্যবহার ক'রে এবং ফোটনের সমবর্তনের দুই দিক গণনা ক'রে

$$c_j = 2 \cdot \frac{4\pi p^2 dp \cdot V}{h^3} = \frac{8\pi V v^3 dv}{c^3}$$

অতএব  $v$  ও  $v + dv$  এর মধ্যে বে সকল ফোটনের কম্পাক্ষ, সেগুলীর জন্য মোট শক্তির ঘনত্ব

$$n_v dv = \frac{hv \cdot n_j}{V} = \frac{8\pi h v^3 dv}{c^3 (e^{hv/kT} - 1)} \quad 10.5.2$$

এই বক্টনসূত্র 'ঝাকের বিকিরণ সূত্র' রূপে পরিচিত। ফোটনসমষ্টির ক্ষেত্রে  $\propto = 0$ , বা  $e^{\infty} = 1$ । বসু-আইনস্টাইন গ্যাসের ক্ষেত্রে এটিই  $e^{\infty}$  এর সর্বনিম্ন মান, সুতরাং ফোটনসমষ্টিকে বসু-আইনস্টাইন গ্যাসের চরণ অপচারের উদাহরণ বলা যায়।

পাউলীর নীতি পালন করে এরূপ গ্যাসের উদাহরণ ইলেক্ট্রন-গ্যাস। ইলেক্ট্রনসমষ্টিকে সাধারণ গ্যাসের মত আধাৰে রাখা সম্ভব না হ'লেও

ধাতুর মধ্যে পরিবাহী ইলেকট্রনগুলি প্রায় সাধারণ গ্যাস অণুর মতই আচরণ করে। পরিবাহী ইলেকট্রনের সংখ্যা ধাতুপরমাণ— পিচু 1 ধরলে মোটামুটি গণনার  $n = 10^{28}$  নেওয়া যেতে পারে।  $300^{\circ}K$  উক্তার  $f_0 \simeq 10^{-6}$ । যেহেতু  $f_s << 1$ , এই অবস্থার ইলেকট্রন গ্যাসকে অতি-অপচারী ফার্মিডিয়াক গ্যাস বলা যায়।

কোন কণকার পাউলীর নীতি পালন করা বা না করা কণকার তরঙ্গ-অপেক্ষকের (wave-function) প্রকৃতির উপর নির্ভরশীল। দেখা যায় যে সকল কণকার অকীয় কৌণিক ভরবেগ  $\frac{nh}{2\pi}$  ( $n$ -পৃথিবী) সেগুলি বসু-আইন্স্টাইন বক্টর প্রতিপালন করে। আলোককণকা বা ফোটন ( $n=1$ ), পাই ( $\pi$ ) মেসন ( $n=0$ ) এই জাতীয় কণকা। অপরপক্ষে অকীয় কৌণিক ভরবেগ  $(n+\frac{1}{2}) \frac{h}{2\pi}$  হ'লে সেবৃপ কণকা পাউলীর নীতি এবং সেই সংগে ফার্মি-ডিয়াক বক্টনসূত্র মেনে চলে। ইলেকট্রন, প্রোটন, নিউট্রন (প্রার্টিউ জন্য  $n=0$ ) এবৃপ কণকার উদাহরণ। বক্টনসূত্র অনুযায়ী প্রথম ও দ্বিতীয় প্রকার কণকাকে যথাক্রমে বোসন (Boson) ও ফার্মিয়ন (Fermion) নামে অভিহিত করা হয়।

## এই পুস্তকে ব্যবহৃত পরিভাষার তালিকা

অতিতাপিত—superheated	ক্রিলাস—crystal
অতিশীতাপিত—supercooled	ক্রুশ-তার—cross-wire
অনুবন্ধ—correlation	গ্রাহিতা—susceptibility
অন্তরক—dielectric	গড় অবাধপথ—mean free path
অন্তরকলন—differentiation	ধাতগ্রেণী—power series
অন্তরণুক—intermolecular	ঘনৈভবন—condensation
অপকেজন—centrifuging	ছায়াঙ্কিত—shaded
অপচার—degeneracy	ডেরার—fringe
অপবর্জন নীতি—exclusion principle	তনুভবন—rarefaction
অবাধপথ—free path	তন্ত্রগত গুটি—systematic error
অবিনাশতা—entropy	তরঙ্গ-অপেক্ষক—wave-function
অপ্রতিমিত—unbalanced	তর্ডিংস্বার—electrode
অপ্রত্যাবর্তক—irreversible	তাপমাত্রা—scale of temperature
অপ্রত্যাবর্তনযোগ্যতা—irreversibility	তুল্যাবস্থা—corresponding state
অর্ধশিরঃ কোণ—semi-vertical angle	দিগংশ—azimuth
অংশাঙ্কিত—calibrated	দৃঢ়—rigid
আন্তরমাণুক—interatomic	বিপদসূত্র—binomial theorem
আপেক্ষিকবাদী—relativistic	দিমেরু শক্তি—dipole moment
আভ্যন্তরীণ শক্তি—internal energy	নতাংশ—zenith distance
আলোকমিতি—photometry	নিরবিড়তা—density (of current)
আসঞ্চন—cohesion	নিরপেক্ষ উষ্ণতা—absolute temperature
আপ্লবণ—osmosis	পরামিতি—parameter
আপ্লবণপ্রসূত চাপ—osmotic pressure	পরিচলন স্নোত—convection current
আয়তফলক—rectangular parallelopiped	পরিবহণ—conduction
আয়নীকরণ—ionisation	পরিবহণ-প্রক্রিয়া—transport phenomenon
উৎক্ষেপণ—excitation	পর্যায় ( ডোরার )—order
উন্নতি—gradient	পুনর্মিলন—recombination
উপবোজন গুণাংক—accommodation coefficient	পৃষ্ঠটান—surface tension
উষ্ণতা—temperature	প্রতিক্রিপ্তি—recoil
	প্রতিসাম্য—symmetry

প্রতিস্থাপন—substitution	রাশিঘালা—expression
প্রত্যাবর্তক—reversible	বৃক্ষতাপ—adiabatic
প্রভাব-গোলক—sphere of influence	লক্ষ—resultant
প্রস্তুতেদ—cross-section	সচলতা—mobility
প্রলম্বন—suspension	সমকেন্দ্রিক—concentric
প্রায়োগিক—empirical	সমদৈশিক—isotropic
বর্ণন—distribution	সমবর্তন—polarization (optical)
বহিমূল্যায়ন—extrapolation	সমবিভূত—equipotential
বাষ্প—vapour	সমস্থানিক—coincident
বাষ্পীভবন—vaporisation	সমাকলন—integration
বিক্ষেপণ—scattering	সমাক্ষ—coaxial
বেগবর্ণালি—velocity-spectrum	সম্পৃক্ত—saturated
ব্যতিচার—interference	সরণ—displacement
ব্যতায়—deviation	সংঘাত-পরামর্শি—impact
ব্যাপন—diffusion	parameter
ব্যাবর্তন—torsion	সংনমন—compression
ব্যাবর্ত-তুলা—torsion-balance	সংযুক্ত—composition
অমক—moment	সাঞ্চতা—viscosity
মেন্সন-বিকিরণ—bremsstrahlung	সাম্য—equilibrium
মেরুপ্রবণতা—polarizability	সূচক নিয়ম—exponential law
মেরুৎপাদন—polarization (electric or magnetic)	স্ফৰীয় কৌণিক ভরবেগ—intrinsic angular momentum
ষাণ্ট্রিক তুল্যাক্ষ—mechanical equivalen	স্বাতন্ত্র্যসংখ্যা—no. of degrees of freedom

## গ্রন্থসূচী

এই পুস্তক রচনায় নিম্নলিখিত গ্রন্থসমূহের সাহায্য নেওয়া হয়েছে :

1. The Kinetic Theory of Gases—L. B. Loeb, New York, Dover Publications, 3rd. Ed., 1961.
2. A Treatise on Heat—M. N. Saha and B. N. Srivastava, 5th. Ed., Allahabad, Indian Press (Publishers) Pvt. Ltd, 1965.
3. The Dynamical Theory of Gases—J. H. Jeans, 4th Ed., Cambridge, Dover Publications, 1954.
4. Heat and Thermodynamics—J. K. Roberts, revised by A. R. Miller, 5th. Ed., Blackie & Son Ltd. 1960.
5. The Feynman Lectures on Physics—R. P. Feynman, R. B. Leighton and M. Sands, Addison—Wesley Publishing Co., 1963.
6. The Nature of the Chemical Bond—Linus Pauling, 3rd. Ed., 1960, Cornell University Press.
7. Kinetic Theory of Gases—W. Kauzmann, New York, W. A. Benjamin, 1966.
8. Tables of Physical and Chemical Constants—G. W. C. Kaye and T. H. Laby (Now prepared under the direction of an Editorial Committee), 14th Ed., Longman, 1973.

পুস্তকে সর্বানিবন্ধ বিভিন্ন সারণী ব্যতৌর সভ্য শেষেজু নির্দেশযোগ্য থেকে সংকলিত হয়েছে। বিভিন্ন শব্দের বাংলা পরিভাষা (ক) চৰাঞ্চিকা অভিধান—রাজশেখের বস্তু (এম. সি. সরকার আঙ্গ সন্স্কৃত প্রাঃ লিঃ) (খ) সংসদ বাংলা অভিধান—সাহিত্য সংসদ ও (গ) বৈজ্ঞানিক পরিভাষা—কলিকাতা বিশ্ববিদ্যালয় থেকে গ্রহীত হ'য়েছে। বিদেশী বৈজ্ঞানিকদের নামের সঠিক উচ্চারণ নির্ণয়ে সভ্যসচলে Webster's Seventh New Collegiate Dictionary (Scientific Book Agency, 22, Raja Woodmunt St., Cal-1) অনুসরণ করা হয়েছে।

## গুরুত্বপূর্ণ

নং	পংক্তি	আছে	হবে
১	১	পরিচয়	ইতিহাস
৪	১৭	সম্বর্ধে	সম্বর্ধে
১১	২৫	করে।	করে
১১	২৯	কঠিক	কঠিন
১৮	১৫	সাহায্যে	সাহায্যে
২১	১২	শীর্ষে	শীর্ষে
২৭	৪	প্রতিপথে	গতিপথে
৩১	১৬	$\phi(c^2) = \phi(\dots)$	$\Phi(c^2) = \Phi(\dots)$
৪২	৪	$+du$	$u + du$
৪৪	৫	এরস কল	এর সকল
৪৬	১	সংস্কর্ষে	সংস্কর্ষে
৫৪	৭	$c + dc \dots c \cos S$	$C + dC \dots C \cos S$
৫৫	১১	$s_0$	$S_0$
৬২	২	$e^{-u_0/c^2}$	$e^{-u_0^2/c^4}$
৬২	২০	ডিব্যাক	ডিব্যাক
৬৬	১৯	$p'$	$P,$
৬৭	১৩	$c$	$C$
৬৮	২২	অণুপাত	অনুপাত
৮০	১৫	$\infty$	$\infty$
৮৫	১	৫.২	৫.১
৯৩	৯	গভিবেগ	গতিবেগ
৯৬	১	$-c^2/\alpha^2$	$c^{-c^2/\alpha^2}$
১০০	৪	গতিবেগে	গতিবেগের
১০০	২৪	$\therefore$	$\therefore$
১০৩	৭	কল্পন	কল্পন
১০৬	২৪	গ্যাসের	গ্যাসের

পৃষ্ঠা	পঁক্তি	আছে	হবে
১০৮	৪	$\left[ \left( \frac{\partial p}{\partial v} \right)_T \right]$	$\left[ \left( \frac{\partial p}{\partial v} \right)_T \right]$
১০৯	২৫	বা $O_2$	বা $CO_2$
১১৪	১০	সমোকরেখার	সমোকরেখা
১১৪	১৫	উক্তার	উক্তার
১২১	১৫	সূত্রসংখ্যা 7.7.3 হবে।	
১৩৯		চিত্র ৪.২ উপর আছে।	
১৪০	২২	$Kv_1$	$KV_1$
১৪০	২৪	$Kv_2$	$KV_2$
১৫২	২০	$R \sin \theta' \cos \phi$	$R \sin \theta' \cos \phi'$
১৭৮	২২	equivalen	equivalent